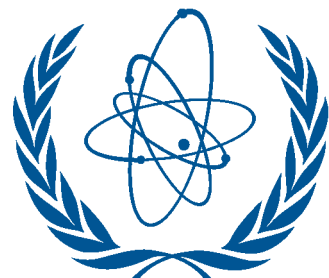


# الكميات الخطرة من المواد المشعة (قيم التويدات المشعة)

تاريخ النشر: شباط/فبراير ٢٠١١

الوكالة الدولية للطاقة الذرية

IAEA



# منشورات الوكالة الدولية للطاقة الذرية المتعلقة بالأمان

## معايير الأمان الخاصة بالوكالة الدولية للطاقة الذرية

الوكالة مختصة، بموجب أحكام المادة الثالثة من نظامها الأساسي، بأن تضع أو تعتمد معايير أمان يقصد حماية الصحة والتقليل إلى أدنى حد من الأخطار على الأرواح والممتلكات، وأن تتخذ ترتيبات لتطبيق هذه المعايير.

وتصدر المنشورات التي تضع الوكالة بواسطتها هذه المعايير ضمن سلسلة معايير أمان الوكالة. وتشمل هذه السلسلة الأمان النووي والأمان الإشعاعي وأمان النقل وأمان النفايات. وتصنف المنشورات الصادرة ضمن هذه السلسلة إلى الفئات التالية: أساسيات الأمان، ومتطلبات الأمان، وأدلة الأمان.

ويعرض موقع شبكة الإنترنت الخاص بالوكالة الوارد أدناه معلومات عن برنامج معايير أمان الوكالة:

<http://www-ns.iaea.org/standards/>

ويتضمن الموقع نصوص معايير أمان المنشورة ومسوداتها باللغة الانكليزية. كما تتوفر أيضاً نصوص معايير أمان الصادرة باللغات العربية والصينية والفرنسية والروسية والاسبانية، بالإضافة إلى مفرد مصطلحات الأمان الذي وضعته الوكالة وتقرير عن حالة معايير أمان. وللحصول على مزيد من المعلومات يُرجى الاتصال بالوكالة على العنوان التالي:

P.O. Box 100, 1400 Vienna, Austria.

والدعوة موجهة إلى جميع مستخدمي معايير أمان الوكالة لإبلاغها بالخبرة المكتسبة من استخدامها (كأساس للوائح الوطنية واستعراضات الأمان والدورات التدريبية مثلًا)، بما يكفل أن تبقى هذه المعايير قادرة على تلبية احتياجات المستخدمين ويمكن توفير المعلومات عن طريق موقع الوكالة على شبكة الإنترنت أو بالبريد، كما هو مبين أعلاه، أو بواسطة البريد الإلكتروني على العنوان التالي: [Official.Mail@iaea.org](mailto:Official.Mail@iaea.org).

## المنشورات الأخرى المتعلقة بالأمان

تتخذ الوكالة ترتيبات لتطبيق معايير أمان. وتتوفر، بموجب أحكام المادة الثالثة والفقرة جيم من المادة الثامنة من نظامها الأساسي، معلومات بشأن الأنشطة النووية السلمية وتيسير تبادلها وتقوم لهذا الغرض بدور الوسيط بين دولها الأعضاء.

وتتصدر التقارير عن الأمان والوقاية في الأنشطة النووية في هيئة تقارير أمان التي توفر أمثلة عملية وأساليب تفصيلية يمكن استخدامها دعماً لتطبيق معايير أمان.

وهناك منشورات أخرى تصدرها الوكالة بشأن أمان وهي: سلسلة تقارير التقييم الإشعاعي، وسلسلة تقارير الفريق الدولي للأمان النووي، وسلسلة التقارير التقنية، وسلسلة الوثائق التقنية. كما تصدر الوكالة تقارير عن الحوادث الإشعاعية وأدلة تدريبية وأدلة عملية ومنشورات خاصة أخرى تتعلق بأمان. وتتصدر النشرات التي تتعلق بأمان ضمن سلسلة الوكالة الخاصة بأمان النووي.

الكميات الخطرة من  
المواد المشعة  
(قيم النويدات المشعة)

تاريخ النشر: شباط/فبراير ٢٠١١



قسم الوكالة الذي تولى مهمة إصدار هذا المنشور هو:

قسم الأمان الإشعاعي وأمان النقل  
International Atomic Energy Agency  
Wagramer Strasse 5  
P.O. Box 100  
A-1400 Vienna, Austria

## الكميات الخطرة من المواد المشعة (قيم النويدات المشعة)

IAEA, VIENNA, 2011  
IAEA-EPR-D-Values (2006)

© الوكالة الدولية للطاقة الذرية، ٢٠١١  
طبع بمعرفة الوكالة الدولية للطاقة الذرية في النمسا  
شباط/فبراير ٢٠١١

## تصدير

تستخدم المواد المشعة على نطاق واسع في الصناعة والطب والتعليم والزراعة. وبالإضافة إلى ذلك فإنها توجد بصورة طبيعية. وتتفاوت المخاطر الصحية التي تشكلها تلك المواد تفاوتاً كبيراً تبعاً لعدة عوامل، أهمها كمية تلك المواد وتركيبها الفيزيائي والكيميائي. ولذلك لا بد من تحديد كمية ونوع المادة المشعة التي تبرر التأهب للطوارئ واتخاذ ترتيبات أخرى (مثل الترتيبات الأمنية) بسبب ما تشكله من خطر على الصحة.

والهدف من هذا المنشور هو توفير إرشادات عملية للدول الأعضاء بشأن كميات المواد المشعة التي قد تعتبر خطيرة. والكمية الخطيرة هي الكمية التي يمكن، إذا خرجت عن نطاق السيطرة، أن تؤدي في الحدود المعقولة إلى سيناريو ينطوي على موت الشخص الذي يتعرض لها أو تسبب إصابة دائمة تتৎقص من نوعية حياة ذلك الشخص.

وهذا المنشور الذي يصدر ضمن سلسلة وثائق الوكالة بشأن التأهب للطوارئ والتصدي لها، يدعم عدة منشورات، بما في ذلك منشور متطلبات الوكالة بشأن الأمان المعنون "التأهب للطوارئ النووية أو الإشعاعية والتصدي لها"، سلسلة معايير الأمان، رقم GS-R-2.1، الوكالة الدولية للطاقة الذرية، فيينا (٢٠٠٢)؛ ودليل الأمان الصادر عن الوكالة بعنوان "تصنيف المصادر المشعة"، سلسلة معايير الأمان، رقم RS-G-1.9، الوكالة الدولية للطاقة الذرية، فيينا (٢٠٠٥)؛ ودليل الأمان المعنون "ترتيبات التأهب للطوارئ النووية أو الإشعاعية"، سلسلة معايير الأمان، رقم GS-G-2.1، الوكالة الدولية للطاقة الذرية، فيينا (٢٠٠٦).

وقد روعيت الدقة الواجبة في إعداد الإجراءات والبيانات الواردة في هذا المنشور. على أن هذه الإجراءات والبيانات تخضع لاختبارات مستمرة لضمان جوانتها في إطار عملية الاستعراض. وترحب الوكالة بأى تعليقات على هذا المنشور الذي قد تقوم بتنفيذها في إطار عملية التحسين المتواصل بعد انتهاء مدة تسمح بإجراء استعراض أشمل.

ويُستخدم في هذا المنشور عدد من سيناريوهات التعرض ونماذج المخاطر وبيانات قياس الجرعات التي يمكن استخدامها في التصدي للطوارئ النووية أو الإشعاعية أو في غير ذلك من الأغراض. على أنه ينبغي عدم القيام بذلك إلا بعد استعراض مادة المنشور ومواعمتها بدقة.

وتعرب الوكالة عن امتنانها للعديد من الخبراء في الدول الأعضاء على ما قدموه من مساهمات في إعداد هذا المنشور. والوكالة ممتنة بشكل خاص لكل من V. Kutkov (معهد خورشاتوف، الاتحاد الروسي) لدوره في وضع النهج القائم على المخاطر؛ وEckermann K. (مختبر أوك ريدج الوطني في الولايات المتحدة الأمريكية) لدوره في حساب معاملات تحويل الجرعات الخارجية في التذيل الرابع، وB.Dodd (الولايات المتحدة الأمريكية) لما قام به من مراجعة وما أبداه من تعليقات. وموظفو الوكالة المسؤول عن إصدار هذا المنشور هو T. Mckenna من شعبة الأمان الإشعاعي وأمان النقل والسفارات.

## **ملحوظة تحريرية**

استخدام مسميات معينة للبلدان أو للأقاليم لا ينطوي على أي حكم تقديرية من جانب الناشر، أي الوكالة، فيما يخص الوضع القانوني لمثل هذه البلدان أو الأقاليم أو سلطاتها ومؤسساتها أو لترسيم حدودها.

ونذكر أسماء شركات أو منتجات معينة (سواء كانت مبنية باعتبارها مسجلة أم لا) لا ينطوي على أية نية للمساس بحقوق الملكية، كما لا ينبغي تفسيره على أنه مصادقة أو توصية من جانب الوكالة.

## المحتويات

### الصفحة

١	.....	مقدمة	- ١
١	.....	الخلفية	- ١-١
١	.....	الهدف	- ٢-١
٢	.....	النطاق	- ٣-١
٢	.....	هيكل المنشور	- ٤-١
٣	.....	قيم D الموصى بها	- ٢
١٤	.....	النظر في الآثار الصحية	- ٣
١٤	.....	الآثار الصحية القطعية الممينة	- ١-٣
١٥	.....	الآثار الصحية القطعية غير الممينة	- ٢-٣
١٦	.....	السيناريوهات ومسارات التعرض	- ٤
١٧	.....	خصائص المصادر المهمة	- ٥
١٩	.....	نهج حساب قيم D	- ٦
٢٣	.....	ال المستوى الأول: المستويات المرجعية والعبارات الحدية للآثار القطعية	التدليل الأول:
٣٩	.....	سيناريوهات تحديد قيم D	التدليل الثاني:
٥١	.....	حساب قيم D	التدليل الثالث:
٧٦	.....	معاملات تحويل معدل الجرعة الخارجية	التدليل الرابع:
٩١	.....	معاملات تحويل جرعة الاستنشاق والغمر والجلد المستخدمة في النهج المبني على الخبرة	التدليل الخامس:
٩٥	.....	معاملات التحويل المستخدمة في النهج القائم على المخاطر للجرعات المأخوذة عن طريق الاستنشاق والابتلاع والغمر والجلد	التدليل السادس:
١٢١	.....	تقييم قيم D	التدليل السابع:
١٢٧	.....	خصائص المصادر المشعة	التدليل الثامن:
١٤٥	.....		المراجع:
١٥٣	.....		التعاريف:
١٥٩	.....	الرموز وشكل المؤشرات القياسية	المرفق الأول:
١٦٠	.....	الرموز النوعية	المرفق الثاني:
١٦٧	.....	المساهمون في الصياغة والاستعراض	



## ١- مقدمة

صدق مجلس محافظي الوكالة في آذار/مارس ٢٠٠٢ على منشور متطلبات الأمان المعنون "التأهب للطوارئ النووية أو الإشعاعية والتصدي لها" [١] الذي تشاركت في رعايته سبع منظمات دولية ويرسي متطلبات الوصول إلى مستوى كاف من التأهب والتصدي للطوارئ النووية أو الإشعاعية في أي دولة من الدول الأعضاء. ويحدد المنشور أموراً من بينها متطلبات الطوارئ التي تتطوّر على مصدر خطر. وتعرّف المتطلبات المصدر الخطر بأنه "المصدر الذي يمكن، إذا ترك دون رقابة، أن يؤدي إلى تعرّض يكفي للتبّع في آثار مؤكدة خطيرة". وتعرّف المتطلبات بعد ذلك الآخر بأنه يكون حتمياً عنيفاً "إذا كان مميتاً أو ينطوي على خطر مميت أو إذا كان يؤدي إلى عجز دائم يحظر من نوعية الحياة".

وكان لا بد من وضع تعريف تشغيلي للمصدر الخطير حتى يمكن تطبيق المتطلبات [١]. وهذا التعريف التشغيلي للمصدر الخطير يعرف بأنه قيمة D، وهي كمية المادة المشعة التي يمكن، إذا خرجت عن نطاق السيطرة، أن تسفر عن موت الشخص الذي يتعرّض لها أو تسبّب إصابة دائمة تنتقص من نوعية حياة ذلك الشخص. ويتضمن المرجعان [٢] و[٣] قيم D لنحو ٦٥ نويدة مشعة، ولكنها لا يتناولان بالتفصيل الأساس الذي تستند إليه هذه القيم. وبالإضافة إلى ذلك فإن قيم D لم تحدّد لكل النويدات المشعة التي قد تتطوّر على ما يثير القلق. وبالنظر إلى الحاجة إلى تصنّيف المصادر المشعة على أساس دورها المحتمل في إحداث آثار صحية قطعية، استخدمت قيم D أيضاً كعوامل تعبيّرية للحصول على الترتيب النسبي العددي للمصادر والممارسات. ولذلك استخدمت قيم D الواردة في المرجع [٢] باعتبارها الأساس الذي يستند إليه نظام الوكالة في تصنّيف المصادر المشعة [٤] الذي ترد أجزاء منه في مدونة قواعد السلوك بشأن أمان المصادر الإشعاعية وأمنها [٥].

### ١-١- الخلفية

تستخدم مجموعة من سيناريوهات التعرّض عند تحديد قيم D، وتراعى احتمالات ازدياد خطورة المصادر بمرور الوقت (أي في مرحلة لاحقة من عمرها) بسبب النمو الداخلي لنوافذها. على أن قيم D يعبّر عنها من حيث نشاط النويدات المشعة الأم قبل اضمحلالها، أي عند تصنّيعها.

وقد ينشأ عن التحفظ الشديد في تحديد قيم D اتخاذ إجراءات واستعمال موارد دون مبرر، وقد يعطي ذلك صناع القرار وعامة الجمهور تصوّراً غير واقعي عن المخاطر. ولذلك فإن حساب قيم D يستند إلى تقديرات واقعية (وليس تقديرات متحفظة أكثر مما ينبغي) للخطر الذي تشكّله المادة المشعة إذا خرجت عن نطاق السيطرة.

وبيني ملاحظة الخطير المحتمل الذي يمكن أن تتطوّر عليه كميات المواد التي تقل عن قيم D المحدّدة في هذا التقرير. ويمكن أن يحدث ذلك في حالة ابتلاع مادة مشعة عمداً أو عندما يعرض شخص نفسه عمداً لمصدر مشع. ويتضمن المرجعان [٢] و[٤] شرحاً مبسطاً للمخاطر المرتبطة بمختلف مضاعفات قيم D.

### ١-٢- الهدف

يهدف هذا المنشور إلى تقديم وصف تفصيلي للأساس الذي يستند إليه حساب قيم D الواردة في المراجع [٢] و[٣] و[٤] وتوفير مجموعة موسعة من قيم D للنويّات المشعة الأخرى التي قد تتطوّر على أهمية في حالات الطوارئ النووية أو الإشعاعية.

### ٣-١ النطاق

يعرض المنشور قيم D للنوبيات المشعة غير المشتتة (قيم  $D_1$ ) وقيم D للنوبيات المشعة المشتتة (قيم  $D_2$ ) التي قد تهم في حالة وقوع طوارئ نووية أو إشعاعية. وهذه القائمة تشمل النوبيات المشعة التي تتناولها لائحة النقل [٦] بعد توسيعها لتشمل نواتج الانشطار المهمة والمواد الانشطارية الممكنة. ويتناول التقرير أثر التعرض الخارجي (البعيد والقريب) للمواد غير المشتتة. وفيما يتعلق بالمواد المشعة المشتتة، يتناول التقرير المخاطر التي ينطوي عليها الأخذ الداخلي لمواد مشعة مشتتة بدون قصد عن طريق شرب مياه ملوثة أو عن طريق الاستنشاق، بالإضافة إلى الأخطار الناجمة عن إصابة الجلد بالتلوث. وفيما يتعلق بالغازات الخاملة، يقتصر التقرير على تناول التعرض الخارجي عن طريق الغمر.

### ٤-١ هيكل المنشور

يتضمن القسم الثاني قائمة بقيم D الموصى بها. ويرد في الأقسام الثالث والرابع والخامس ملخص للأساس الذي يتحدد تبعاً له حدوث آثار صحية وسيناريوهات وخصائص المواد المشعة التي يتناولها التقرير. ويبين القسم السادس النهج المستخدمة في حساب قيم D.

وتتضمن التذبذبات معلومات عن قيم D والأساس التقني الذي يستند إليه استنتاجها. ويبين التذبذب الأول المستويات المرجعية والدنيا التي يبدأ عندها حدوث الآثار القطعية. ويعرض التذبذب الثاني سيناريوهات تحديد قيم D. ويتضمن التذبذب الثالث وصفاً تفصيلياً للنهج المستخدمة في تحديد قيم D. وتتناول التذبذبات الرابع والخامس والسادس معاملات تحويل جرعات التعرض للإشعاع الخارجي والداخلي والأساس الذي يستند إليه ذلك. ويشمل هذا التقييم مقارنة بين قيم D الموصى بها ونشاط المصادر المشعة في حالات الطوارئ الإشعاعية. ويتضمن التذبذب الثامن الخصائص النووية الأساسية للنوبيات المشعة، كما يتناول بالوصف النهج المستخدم في دراسة الأضمحلال الإشعاعي والنمو الداخلي للنواتج.

ويتضمن المرفقان الأول والثاني إرشادات بشأن الرموز المستخدمة في التقرير.

## ٢ - قيم D الموصى بها

لأغراض تحديد قيمة D، تنقسم سيناريوهات التعرض المستخدمة إلى مجموعتين، إحداهما للمواد غير المشتقة والأخرى للمواد المشتقة. وتترد قيم عدديّة مختلفة لكل مجموعة من هاتين المجموعتين:

(أ) قيمة  $D_1$  هي نشاط<sup>١</sup> نويدة مشعة في مصدر قد يسفر، إذا خرج عن نطاق السيطرة ولكنه لم يتشتت (أي إذا ظل مغفًى)، عن حالة طوارئ يمكن أن ينشأ عنها في حدود التوقعات المعقولة آثار صحية قطعية عنيفة؛

(ب) قيمة  $D_2$  هي نشاط<sup>١</sup> نويدة مشعة في مصدر قد يسفر، إذا خرج عن نطاق السيطرة وتشتت، عن حالة طوارئ يمكن أن تنشأ عنها في حدود التوقعات المعقولة آثار صحية قطعية عنيفة.

(ج) قيمة D لنويدة مشعة هي أقل قيمة لقيمتين  $D_1$  و  $D_2$ .

ويتضمن الجدول ١ قيم  $D_1$  و  $D_2$  الموصى بها.

## الجدول ١: قيم D الموصى بها

قيمة $D_2$	قيمة $D_1$	قيمة D	النويدة المشعة <sup>١</sup>
(تيرا بكريل)	(تيرا بكريل)	(تيرا بكريل)	
٢.E+03	٣UL	2.E+03	H-3
1.E+03	1.E+00	1.E+00	Be-7
3.E+01	3.E+02	3.E+01	Be-10
4.E+02	6.E-02	6.E-02	C-11
5.E+01	2.E+05	5.E+01	C-14
UL	6.E-02	6.E-02	N-13
3.E+01	6.E-02	6.E-02	F-18
2.E+01	3.E-02	3.E-02	Na-22
2.E+01	2.E-02	2.E-02	Na-24
1.E+01	2.E-02	2.E-02	Mg-28
5.E+00	3.E-02	3.E-02	Al-26
2.E+01	1.E+01	1.E+01	Si-31
7.E+00	1.E+01	7.E+00	Si-32+
2.E+01	1.E+01	1.E+01	P-32
2.E+02	7.E+03	2.E+02	P-33
6.E+01	4.E+04	6.E+01	S-35
٢.E+01	3.E+02	٢.E+01	Cl-36
1.E+01	5.E-02	5.E-02	Cl-38
٣UL	UL	٣UL	Ar-37
3.E+04	3.E+02	3.E+02	Ar-39
٣.E+00	5.E-02	5.E-02	Ar-41

<sup>١</sup> يراعي احتمال ازدياد خطورة المصادر في وقت لاحق من عمرها (خلال مدة تصل إلى ١٠ سنوات) بسبب النمو الداخلي لنواتجها، على أن قيمة D يغير عنها من حيث نشاط النويدات المشعة الأمل قبل اضمحلالها، أي عند تصنيعها على النحو المبين في التذييل الثامن.

D <sub>2</sub> قيمة (تيرا بكريل)	D <sub>1</sub> قيمة (تيرا بكريل)	D قيمة (تيرا بكريل)	النويدة المشعة <sup>أ</sup>
<sup>۱</sup> UL	UL	<sup>۱</sup> UL	K-40
1.E+01	2.E-01	2.E-01	K-42
3.E+01	7.E-02	7.E-02	K-43
<sup>۱</sup> UL	UL	<sup>۱</sup> UL	Ca-41
1.E+02	6.E+03	1.E+02	Ca-45
1.E+01	6.E-02	6.E-02	Ca-47+
1.E+01	3.E-02	3.E-02	Sc-44
4.E+01	3.E-02	3.E-02	Sc-46
8.E+01	7.E-01	7.E-01	Sc-47
3.E+01	2.E-02	2.E-02	Sc-48
9.E+00	3.E-02	3.E-02	Ti-44+
3.E+01	2.E-02	2.E-02	V-48
2.E+03	UL	2.E+03	V-49
5.E+03	2.E+00	2.E+00	Cr-51
2.E+01	2.E-02	2.E-02	Mn-52
<sup>۱</sup> UL	UL	<sup>۱</sup> UL	Mn-53
4.E+01	8.E-02	8.E-02	Mn-54
2.E+01	4.E-02	4.E-02	Mn-56
9.E+00	2.E-02	2.E-02	Fe-52+
8.E+02	UL	8.E+02	Fe-55
1.E+01	6.E-02	6.E-02	Fe-59
<sup>۱</sup> E+01	6.E-02	6.E-02	Fe-60+
2.E+02	3.E-02	3.E-02	Co-55+
2.E+01	2.E-02	2.E-02	Co-56
4.E+02	7.E-01	7.E-01	Co-57
7.E+01	7.E-02	7.E-02	Co-58
2.E+02	7.E-02	7.E-02	Co-58m+
3.E+01	3.E-02	3.E-02	Co-60
<sup>۱</sup> E+03	UL	<sup>۱</sup> E+03	Ni-59
6.E+01	UL	6.E+01	Ni-63
2.E+01	1.E-01	1.E-01	Ni-65
4.E+01	3.E-01	3.E-01	Cu-64
3.E+02	7.E-01	7.E-01	Cu-67
3.E+02	1.E-01	1.E-01	Zn-65
3.E+01	8.E+01	3.E+01	Zn-69
2.E+01	2.E-01	2.E-01	Zn-69m+
4.E+02	5.E-01	5.E-01	Ga-67
1.E+01	7.E-02	7.E-02	Ga-68
2.E+01	3.E-02	3.E-02	Ga-72
2.E+01	7.E-02	7.E-02	Ge-68+

D <sub>2</sub> قيمة (تيرا بكريل)	D <sub>1</sub> قيمة (تيرا بكريل)	D قيمة (تيرا بكريل)	النوبيدة المشعة <sup>أ</sup>
1.E+03	6.E+05	1.E+03	Ge-71
1.E+01	6.E-02	6.E-02	Ge-77+
9.E+01	4.E-02	4.E-02	As-72
1.E+02	4.E+01	4.E+01	As-73
3.E+01	9.E-02	9.E-02	As-74
1.E+01	2.E-01	2.E-01	As-76
4.E+01	8.E+00	8.E+00	As-77
2.E+02	2.E-01	2.E-01	Se-75
2.E+02	UL	2.E+02	Se-79
2.E+02	3.E-02	3.E-02	Br-76
7.E+02	2.E-01	2.E-01	Br-77
7.E+01	3.E-02	3.E-02	Br-82
7.E+02	3.E+01	3.E+01	Kr-81
2.E+03	3.E+01	3.E+01	Kr-85
3.E+01	5.E-01	5.E-01	Kr-85m
4.E+00	9.E-02	9.E-02	Kr-87
2.E+03	1.E-01	1.E-01	Rb-81
5.E+01	1.E-01	1.E-01	Rb-83
2.E+01	7.E-02	7.E-02	Rb-84
2.E+01	7.E-01	7.E-01	Rb-86
UL	UL	UL	Rb-87
5.E+00	6.E-02	6.E-02	Sr-82
7.E+01	1.E-01	1.E-01	Sr-85
3.E+02	1.E-01	1.E-01	Sr-85m+
9.E+01	2.E-01	2.E-01	Sr-87m
2.E+01	2.E+01	2.E+01	Sr-89
1.E+00	4.E+00	1.E+00	Sr-90+
2.E+01	6.E-02	6.E-02	Sr-91+
1.E+01	4.E-02	4.E-02	Sr-92+
2.E+02	9.E-02	9.E-02	Y-87+
2.E+01	3.E-02	3.E-02	Y-88
1.E+01	5.E+00	5.E+00	Y-90
2.E+01	8.E+00	8.E+00	Y-91
2.E+02	1.E-01	1.E-01	Y-91m+
1.E+01	2.E-01	2.E-01	Y-92
1.E+01	6.E-01	6.E-01	Y-93
3.E+01	2.E-02	2.E-02	Zr-88+
UL	UL	UL	Zr-93+
1.E+01	4.E-02	4.E-02	Zr-95+
9.E+00	4.E-02	4.E-02	Zr-97+

D <sub>2</sub> قيمة (تيرا بكريل)	D <sub>1</sub> قيمة (تيرا بكريل)	D قيمة (تيرا بكريل)	النويدة المشعة <sup>أ</sup>
3.E+02	2.E+03	3.E+02	Nb-93m
'3.E+01	4.E-02	4.E-02	Nb-94
6.E+01	9.E-02	9.E-02	Nb-95
2.E+01	1.E-01	1.E-01	Nb-97
'3.E+02	2.E+03	'3.E+02	Mo-93+
2.E+01	3.E-01	3.E-01	Mo-99+
6.E+01	1.E-01	1.E-01	Tc-95m
3.E+01	3.E-02	3.E-02	Tc-96
2.E+02	3.E-02	3.E-02	Tc-96m+
'UL	UL	'UL	Tc-97
4.E+01	2.E+02	4.E+01	Tc-97m
'1.E+01	5.E-02	5.E-02	Tc-98
3.E+01	UL	3.E+01	Tc-99
7.E+02	7.E-01	7.E-01	Tc-99m
5.E+02	3.E-01	3.E-01	Ru-97
3.E+01	1.E-01	1.E-01	Ru-103+
2.E+01	8.E-02	8.E-02	Ru-105+
1.E+01	3.E-01	3.E-01	Ru-106+
1.E+02	1.E-01	1.E-01	Rh-99
1.E+02	3.E-01	3.E-01	Rh-101
3.E+01	3.E-02	3.E-02	Rh-102
4.E+01	1.E-01	1.E-01	Rh-102m
1.E+04	9.E+02	9.E+02	Rh-103m
8.E+01	9.E-01	9.E-01	Rh-105
1.E+02	9.E+01	9.E+01	Pd-103+
'UL	UL	'UL	Pd-107
2.E+01	2.E+01	2.E+01	Pd-109
1.E+02	1.E-01	1.E-01	Ag-105
2.E+01	4.E-02	4.E-02	Ag-108m
2.E+01	2.E-02	2.E-02	Ag-110m
3.E+01	2.E+00	2.E+00	Ag-111
3.E+01	2.E+01	2.E+01	Cd-109
4.E+01	4.E+02	4.E+01	Cd-113m
2.E+01	2.E-01	2.E-01	Cd-115+
2.E+01	3.E+00	3.E+00	Cd-115m
1.E+02	2.E-01	2.E-01	In-111
5.E+01	3.E-01	3.E-01	In-113m
1.E+00	8.E-01	8.E-01	In-114m
3.E+01	4.E-01	4.E-01	In-115m
5.E+01	3.E-01	3.E-01	Sn-113+

D <sub>2</sub> قيمة (تيرا بكريل)	D <sub>1</sub> قيمة (تيرا بكريل)	D قيمة (تيرا بكريل)	النويدة المشعة <sup>أ</sup>
4.E+01	5.E-01	5.E-01	Sn-117m
1.E+02	7.E+01	7.E+01	Sn-119m
7.E+01	1.E+02	7.E+01	Sn-121m+
2.E+01	7.E+00	7.E+00	Sn-123
8.E+00	1.E-01	1.E-01	Sn-125
7.E+00	3.E-02	3.E-02	Sn-126+
2.E+01	1.E-01	1.E-01	Sb-122
1.E+01	4.E-02	4.E-02	Sb-124
3.E+01	2.E-01	2.E-01	Sb-125+
2.E+01	2.E-02	2.E-02	Sb-126
3.E+01	1.E-01	1.E-01	Te-121
8.E+00	1.E-01	1.E-01	Te-121m+
9.E+00	6.E-01	6.E-01	Te-123m
1.E+01	2.E+01	1.E+01	Te-125m
4.E+01	1.E+01	1.E+01	Te-127
3.E+00	1.E+01	3.E+00	Te-127m+
2.E+01	1.E+00	1.E+00	Te-129
2.E+00	1.E+00	1.E+00	Te-129m+
2.E-01	4.E-02	4.E-02	Te-131m+
8.E-01	3.E-02	3.E-02	Te-132+
3.E+01	5.E-01	5.E-01	I-123
4.E-01	6.E-02	6.E-02	I-124
2.E-01	1.E+01	2.E-01	I-125
2.E-01	1.E-01	1.E-01	I-126
UL	UL	UL	I-129
2.E-01	2.E-01	2.E-01	I-131
6.E+00	3.E-02	3.E-02	I-132
3.E-01	1.E-01	1.E-01	I-133
2.E+01	3.E-02	3.E-02	I-134
2.E+00	4.E-02	4.E-02	I-135
4.E+00	6.E-02	6.E-02	Xe-122
5.E+00	9.E-02	9.E-02	Xe-123+
2.E+01	3.E-01	3.E-01	Xe-127
7.E+02	1.E+01	1.E+01	Xe-131m
2.E+02	3.E+00	3.E+00	Xe-133
2.E+01	3.E-01	3.E-01	Xe-135
1.E+03	3.E-01	3.E-01	Cs-129
2.E+03	2.E+01	2.E+01	Cs-131
1.E+02	1.E-01	1.E-01	Cs-132
3.E+01	4.E-02	4.E-02	Cs-134

D <sub>2</sub> قيمة (تيرا بكريل)	D <sub>1</sub> قيمة (تيرا بكريل)	D قيمة (تيرا بكريل)	النويدة المشعة <sup>١</sup>
1.E+04	4.E-02	4.E-02	Cs-134m+
^UL	UL	^UL	Cs-135
2.E+01	3.E-02	3.E-02	Cs-136
2.E+01	1.E-01	1.E-01	Cs-137+
1.E+02	2.E-01	2.E-01	Ba-131+
7.E+01	2.E-01	2.E-01	Ba-133
2.E+02	3.E-01	3.E-01	Ba-133m
1.E+01	3.E-02	3.E-02	Ba-140+
^5.E+02	2.E+01	2.E+01	La-137
2.E+01	3.E-02	3.E-02	La-140
2.E+02	6.E-01	6.E-01	Ce-139
2.E+01	1.E+00	1.E+00	Ce-141
1.E+01	3.E-01	3.E-01	Ce-143+
9.E+00	9.E-01	9.E-01	Ce-144+
2.E+01	1.E+00	1.E+00	Pr-142
3.E+01	8.E+01	3.E+01	Pr-143
4.E+01	6.E-01	6.E-01	Nd-147+
1.E+01	2.E-01	2.E-01	Nd-149+
2.E+02	2.E-01	2.E-01	Pm-143
3.E+01	4.E-02	4.E-02	Pm-144
4.E+02	1.E+01	1.E+01	Pm-145
4.E+01	8.E+03	4.E+01	Pm-147
3.E+01	3.E-02	3.E-02	Pm-148m
2.E+01	6.E+00	6.E+00	Pm-149
3.E+01	2.E-01	2.E-01	Pm-151
2.E+02	4.E+00	4.E+00	Sm-145+
^UL	UL	^UL	Sm-147
5.E+02	UL	5.E+02	Sm-151
4.E+01	2.E+00	2.E+00	Sm-153
1.E+02	2.E-01	2.E-01	Eu-147
3.E+01	3.E-02	3.E-02	Eu-148
5.E+02	2.E+00	2.E+00	Eu-149
3.E+01	2.E+00	2.E+00	Eu-150b
4.E+02	5.E-02	5.E-02	Eu-150a
3.E+01	6.E-02	6.E-02	Eu-152
2.E+01	2.E-01	2.E-01	Eu-152m
2.E+01	6.E-02	6.E-02	Eu-154
1.E+02	2.E+00	2.E+00	Eu-155
3.E+01	5.E-02	5.E-02	Eu-156
8.E+00	3.E-02	3.E-02	Gd-146+

D <sub>2</sub> قيمة (تيرا بكريل)	D <sub>1</sub> قيمة (تيرا بكريل)	D قيمة (تيرا بكريل)	النويدة المشعة <sup>أ</sup>
4.E-01	UL	4.E-01	Gd-148
8.E+01	1.E+00	1.E+00	Gd-153
3.E+01	2.E+00	2.E+00	Gd-159
1.E+03	1.E+02	1.E+02	Tb-157
5.E+01	9.E-02	9.E-02	Tb-158
3.E+01	6.E-02	6.E-02	Tb-160
5.E+02	6.E+00	6.E+00	Dy-159
2.E+01	3.E+00	3.E+00	Dy-165
2.E+01	1.E+00	1.E+00	Dy-166+
2.E+01	2.E+00	2.E+00	Ho-166
3.E+01	4.E-02	4.E-02	Ho-166m
2.E+02	2.E+03	2.E+02	Er-169
2.E+01	2.E-01	2.E-01	Er-171
2.E+02	6.E-01	6.E-01	Tm-167
2.E+01	2.E+01	2.E+01	Tm-170
4.E+02	3.E+02	3.E+02	Tm-171
3.E+01	3.E-01	3.E-01	Yb-169
1.E+02	2.E+00	2.E+00	Yb-175
6.E+01	4.E-02	4.E-02	Lu-172
2.E+02	9.E-01	9.E-01	Lu-173
1.E+02	8.E-01	8.E-01	Lu-174
6.E+01	6.E-01	6.E-01	Lu-174m+
1.E+02	2.E+00	2.E+00	Lu-177
6.E+00	4.E-02	4.E-02	Hf-172+
3.E+01	2.E-01	2.E-01	Hf-175
1.E+01	1.E-01	1.E-01	Hf-181
UL	5.E-02	5.E-02	Hf-182+
4.E+03	7.E-02	7.E-02	Ta-178a
6.E+02	6.E+00	6.E+00	Ta-179
3.E+01	6.E-02	6.E-02	Ta-182
6.E+02	9.E-01	9.E-01	W-178
2.E+03	5.E+00	5.E+00	W-181
1.E+02	7.E+02	1.E+02	W-185
3.E+01	1.E-01	1.E-01	W-187
8.E+00	1.E+00	1.E+00	W-188+
3.E+01	8.E-02	8.E-02	Re-184
2.E+01	7.E-02	7.E-02	Re-184m+
1.E+01	4.E+00	4.E+00	Re-186
UL	UL	UL	Re-187
3.E+01	1.E+00	1.E+00	Re-188

D <sub>2</sub> قيمة (تيرا بكريل)	D <sub>1</sub> قيمة (تيرا بكريل)	D قيمة (تيرا بكريل)	النويدة المشعة <sup>١</sup>
1.E+01	1.E+00	1.E+00	Re-189
7.E+01	1.E-01	1.E-01	Os-185
9.E+01	2.E+00	2.E+00	Os-191
7.E+02	1.E+00	1.E+00	Os-191m+
3.E+01	1.E+00	1.E+00	Os-193
9.E+00	7.E-01	7.E-01	Os-194+
2.E+02	1.E+00	1.E+00	Ir-189
6.E+01	5.E-02	5.E-02	Ir-190
2.E+01	8.E-02	8.E-02	Ir-192
2.E+01	7.E-01	7.E-01	Ir-194
9.E+01	4.E-02	4.E-02	Pt-188+
3.E+02	3.E-01	3.E-01	Pt-191
3.E+03	1.E+05	3.E+03	Pt-193
4.E+02	1.E+01	1.E+01	Pt-193m
3.E+02	2.E+00	2.E+00	Pt-195m
5.E+01	4.E+00	4.E+00	Pt-197
2.E+01	9.E-01	9.E-01	Pt-197m+
1.E+03	6.E-01	6.E-01	Au-193
4.E+02	7.E-02	7.E-02	Au-194
1.E+02	2.E+00	2.E+00	Au-195
3.E+01	2.E-01	2.E-01	Au-198
3.E+02	9.E-01	9.E-01	Au-199
9.E+00	7.E-02	7.E-02	Hg-194+
1.E+01	2.E-01	2.E-01	Hg-195m+
3.E+01	2.E+00	2.E+00	Hg-197
2.E+01	7.E-01	7.E-01	Hg-197m+
2.E+00	3.E-01	3.E-01	Hg-203
2.E+02	5.E-02	5.E-02	Tl-200
1.E+03	1.E+00	1.E+00	Tl-201
2.E+02	2.E-01	2.E-01	Tl-202
2.E+01	7.E+01	2.E+01	Tl-204
8.E+02	9.E-02	9.E-02	Pb-201+
6.E+01	2.E-01	2.E-01	Pb-202+
2.E+02	2.E-01	2.E-01	Pb-203
UL	UL	UL	Pb-205
3.E-01	4.E+01	3.E-01	Pb-210+
9.E+00	5.E-02	5.E-02	Pb-212+
7.E+01	4.E-02	4.E-02	Bi-205
5.E+01	2.E-02	2.E-02	Bi-206
4.E+01	5.E-02	5.E-02	Bi-207

D <sub>2</sub> قيمة (تيرا بكريل)	D <sub>1</sub> قيمة (تيرا بكريل)	D قيمة (تيرا بكريل)	النويدة المشعة <sup>أ</sup>
8.E+00	5.E+01	8.E+00	Bi-210+
3.E-01	6.E-01	3.E-01	Bi-210m
1.E+01	5.E-02	5.E-02	Bi-212+
6.E-02	8.E+03	6.E-02	Po-210
1.E+01	5.E-01	5.E-01	At-211
<sup>9</sup> E+04	4.E-02	4.E-02	Rn-222
1.E-01	2.E-01	1.E-01	Ra-223+
3.E-01	5.E-02	5.E-02	Ra-224+
1.E-01	3.E-01	1.E-01	Ra-225+
7.E-02	4.E-02	4.E-02	Ra-226+
4.E-02	3.E-02	3.E-02	Ra-228+
9.E-02	3.E-01	9.E-02	Ac-225
4.E-02	2.E-01	4.E-02	Ac-227+
1.E+02	3.E-02	3.E-02	Ac-228
8.E-02	2.E-01	8.E-02	Th-227+
4.E-02	5.E-02	4.E-02	Th-228+
1.E-02	2.E-01	1.E-02	Th-229+
<sup>7</sup> E-02	9.E+02	<sup>7</sup> E-02	Th-230+
3.E+02	1.E+01	1.E+01	Th-231
<sup>8</sup> UL	UL	<sup>8</sup> UL	Th-232+
2.E+00	2.E+00	2.E+00	Th-234+
9.E-01	1.E-01	1.E-01	Pa-230+
6.E-02	8.E-01	6.E-02	Pa-231+
8.E+00	4.E-01	4.E-01	Pa-233
4.E-02	4.E+00	4.E-02	U-230+
<sup>6</sup> E-02	7.E-02	<sup>6</sup> E-02	U-232+
<sup>7</sup> E-02	<sup>7</sup> E-02	<sup>7</sup> E-02	U-233
<sup>1</sup> E-01	<sup>1</sup> E-01	<sup>1</sup> E-01	U-234+
<sup>8</sup> E-05	<sup>8</sup> E-05	<sup>8</sup> E-05	U-235+
<sup>2</sup> E-01	UL	<sup>2</sup> E-01	U-236
<sup>8</sup> UL	UL	<sup>8</sup> UL	U-238+
<sup>8</sup> UL	UL	<sup>8</sup> UL	U Natural
<sup>8</sup> UL	UL	<sup>8</sup> UL	U Depleted
<sup>8</sup> E-04	<sup>8</sup> E-04	<sup>8</sup> E-04	U Enriched 10-20%
<sup>8</sup> E-05	<sup>8</sup> E-05	<sup>8</sup> E-05	U Enriched >20 %
2.E+02	1.E+02	1.E+02	Np-235
<sup>7</sup> E-03	<sup>7</sup> E-03	7.E-03	Np-236b+
7.E+00	8.E-01	8.E-01	Np-236a
<sup>7</sup> E-02	<sup>3</sup> E-01	7.E-02	Np-237+
6.E+01	5.E-01	5.E-01	Np-239

قيمة $D_2$	قيمة $D_1$	قيمة D	النويدة المشعة <sup>أ</sup>
(تيرا بكريل)	(تيرا بكريل)	(تيرا بكريل)	
1.E-01	1.E+00	1.E-01	Pu-236
6.E+01	2.E+00	2.E+00	Pu-237
6.E-02	<sup>9</sup> 3.E+02	6.E-02	Pu-238
6.E-02	<sup>9</sup> 1.E+00	6.E-02	Pu-239
6.E-02	<sup>9</sup> 4.E+00	6.E-02	Pu-240
3.E+00	<sup>9</sup> 2.E+03	3.E+00	Pu-241+
<sup>9</sup> , <sup>5</sup> 7.E-02	<sup>9</sup> , <sup>5</sup> 7.E-02	<sup>9</sup> , <sup>5</sup> 7.E-02	Pu-242
<sup>9</sup> , <sup>5</sup> 3.E-04	<sup>9</sup> 3.E-04	<sup>9</sup> , <sup>5</sup> 3.E-04	Pu-244+
6.E-02	8.E+00	6.E-02	Am-241
3.E-01	<sup>9</sup> 1.E+00	3.E-01	Am-242m+
2.E-01	4.E-01	2.E-01	Am-243+
9.E+01	9.E-02	9.E-02	Am-244
3.E-01	1.E+00	3.E-01	Cm-240
7.E+00	1.E-01	1.E-01	Cm-241+
4.E-02	2.E+03	4.E-02	Cm-242
2.E-01	6.E-01	2.E-01	Cm-243
5.E-02	<sup>9</sup> 1.E+04	5.E-02	Cm-244
<sup>9</sup> 9.E-02	<sup>9</sup> 9.E-02	<sup>9</sup> 9.E-02	Cm-245
2.E-01	<sup>9</sup> 6.E+00	2.E-01	Cm-246
<sup>9</sup> 1.E-03	<sup>9</sup> 1.E-03	<sup>9</sup> 1.E-03	Cm-247
<sup>9</sup> 7.E-02	<sup>9</sup> 5.E-03	<sup>9</sup> 5.E-03	Cm-248
<sup>9</sup> 8.E-02	<sup>9</sup> 8.E-02	8.E-02	Bk-247
4.E+01	1.E+01	1.E+01	Bk-249
1.E-01	<sup>9</sup> 1.E+02	1.E-01	Cf-248+
1.E-01	2.E-01	1.E-01	Cf-249
1.E-01	4.E-01	1.E-01	Cf-250
1.E-01	7.E-01	1.E-01	Cf-251
1.E-01	2.E-02	2.E-02	Cf-252
4.E-01	1.E+01	4.E-01	Cf-253
2.E-03	3.E-04	3.E-04	Cf-254
<sup>9</sup> 6.E-02	<sup>9</sup> 1.E+00	<sup>9</sup> 6.E-02	<sup>239</sup> Pu/ <sup>9</sup> Be
<sup>9</sup> 6.E-02	<sup>9</sup> 1.E+00	<sup>9</sup> 6.E-02	<sup>241</sup> Am/ <sup>9</sup> Be

أخذت نواتج النمو الداخلي المشعة في الاعتبار عند حساب قيم D لكل النويدات المشعة كما هو مبين في التذييل الثامن. وتشير علامة "+" إلى النويدات المشعة التي تشكل نواتجها مصادر ملموسة للجرعة في السيناريوهات موضوع الدراسة.

"UL" هي كمية غير محددة كما هو محدد في التذييل الثاني. ضوعف الجزء الكسرى المأخوذ من الهيدروجين-3 لمراعاة امتصاص المادة المشتتة عن طريق الجلد. واستند هذا الافتراض المتحفظ إلى البيانات الواردة في المنشور رقم ٧١ الصادر عن اللجنة الدولية للوقاية من الإشعاعات [7] التي

أ

ب

ج

تشير إلى أن الامتصاص من خلال الجلد في حالة حدوث تلوث جوي بماء معالج بالتربيتيوم يسمم بنحو ثلث الأخذ الداخلي عن طريق الاستنشاق.

د قد تؤدي الطوارئ التي تتطوّر على هذه المقادير من التويدات المشعة إلى تركيزات عالقة في الهواء تتجاوز المستوى الذي يفترض أنه يمثل خطراً مباشراً يهدّد الحياة أو الصحة. انظر التنبيل الثامن لمزيد من التفاصيل.

ه قد تؤدي حالات الطوارئ التي تتطوّر على مقادير كبيرة من تلك التويدات المشعة إلى تركيزات عالقة في الهواء تتجاوز المستوى الذي يفترض أنه يشكل خطراً مباشراً على الحياة أو الصحة. انظر التنبيل الثامن لمزيد من التفاصيل.

و أخذت حدود الحرجية في الحساب عند اشتقاق قيمة D. انظر التنبيل الثامن لمزيد من التفاصيل.

ز نشاط التويدة المشعة المبعثة لأشعة ألفا، مثل البلوتونيوم-239 أو الأميريشيوم-241.

### ٣- النظر في الآثار الصحية

قيمة D هي كمية المادة المشعة التي يمكن، إذا خرجت عن نطاق السيطرة، أن تسفر عن موت الشخص الذي يتعرض لها أو تسبب إصابة دائمة تتৎقص من نوعية حياة ذلك الشخص. ويُشار إلى هذه الآثار الصحية بأنها آثار صحية قطعية عنيفة. وتحدث الآثار القطعية العنيفة في العادة بعد وقت قصير من التعرض. وتزداد شدة تلك الآثار كلما ازدادت الجرعة التي يتلقاها الشخص، وهناك عتبة فعالة إذا انخفضت الجرعة عنها لا تحدث تلك الآثار على الإطلاق.

وأخذ في الحسبان نوعان من الآثار الصحية القطعية العنيفة عند حساب قيم D، هما الآثار المميتة والآثار غير المميتة:

- (أ) الآثار المميتة هي الآثار التي يمكن إن حدثت أن تقضي إلى الموت. وتكشف الخبرة [٩، ٨] والبحوث عن أن حالات الوفاة الناجمة عن التعرض للإشعاع تنشأ في نهاية المطاف عن فشل في عدة أعضاء في الجسم. على أن الأعضاء والأنسجة التي يتناولها التقرير اختيارت لأن الضرر الذي يصيبها يعد حرجاً في كل حالات الطوارئ الإشعاعية أو النووية، أي أن إبقاء جرعة تعرض تلك الأعضاء دون عتبة الجرعة لابد وأن يحول دون وفاة الشخص المعرض.
- (ب) الآثار غير المميتة هي الآثار التي تتৎقص من نوعية الحياة وتحدث في عضو أو نسيج معين.

ويبيّن التذييل الأول عتبات الجرعات أو قيمها المرجعية المستخدمة للإشارة إلى الحالات التي يمكن فيها توقع حدوث آثار قطعية عنيفة، وأساليب قياس الجرعات المستخدمة في حساب الجرعة في مختلف سيناريوهات التعرض.

#### ١-٣- الآثار الصحية القطعية المميتة

النخاع الأحمر والقولون. تعرّض النخاع الأحمر (نظام الدم) أو القولون (الجهاز الهضمي) للإشعاع يمكن أن يسفر عن آثار تشكّل تهدينا للحياة أو تقضي إلى الموت. ويمكن أن ينشأ ذلك عن تعرّض الجسم بأكمله للإشعاع من مصدر خارجي أو من التعرّض الداخلي بعد الابتلاع أو الاستنشاق. والآثار التي تصيب النخاع الأحمر بسبب التعرّض الخارجي هي الآثار الحرجية. والآثار التي تنشأ عن الإشعاع في النخاع الأحمر أو القولون بعد الابتلاع قد تكون حرجية تبعاً للنوعية المشعة وشكلها الفيزيائي.

مناطق الرئة. تعرّض الرئة للإشعاع من معظم النويدات المشعة يكون حرجاً بعد الاستنشاق، ولكن ذلك قد يتوقف على الشكل الفيزيائي للمادة المستنشقة (مثل قابليتها للذوبان). ويمكن أن يؤدي تعرّض الرئة للإشعاع إلى آثر قاتل (التهاب الرئة) فضلاً عن آثار تتৎقص من نوعية الحياة (تليف الرئة). ويفترض هنا أن الإصابة بالتليف الرئوي تقضي إلى الموت في نهاية المطاف.

مناطق الجلد. تظهر الأعراض الإكلينيكية للآثار القطعية التي تنشأ عن تعرّض الجلد للإشعاع في شكل التهابات جلدية يمكن أن يعقبها تساقط الشعر وظهور قشور جافة أو رطبة وتكون بثور وتقريّات ونخر تبعاً للجرعة التي يتلقاها الشخص. ولا يعتبر التهاب الجلد أثراً قطعياً عنيفاً. وأما ظهور قشور رطبة وحدوث أضرار أشد بعد ذلك في الجلد فهما من الآثار القطعية العنيفة. ولا تتوقف شدة الإصابة على الجرعة ونوع الإشعاع فحسب، بل وكذلك على مكان ومساحة المنطقة المعرضة. ويعتبر ظهور قشور رطبة في مساحة كبيرة (أكثر من ١٠٠ سم<sup>٢</sup>) من الآثار التي يمكن أن تقضي إلى الوفاة، وبخاصة إذا اقترنـت بإصابات أو بأشكال أخرى من التعرّض مثلما حدث للإطفائيين في حادث تشرنوبل.

## ٢-٣ - الآثار الصحية القطعية غير المميتة

الأنسجة الرخوة. يمكن أن يسبب التعرض الخارجي للإشعاع من مصدر يحمله الشخص في يده أو جيده نخراً موضعياً (موت الأنسجة)، وهو من أكثر الأسباب شيوعاً للآثار الصحية القطعية العنيفة المستحثة بالإشعاع من مصادر مشعة (مسروقة أو مفقودة) غير خاضعة للسيطرة. وفي حين أن النخر الموضعي في الأنسجة الرخوة لا يشكل في العادة تهديداً للحياة فإنه يمكن أن يتسبب في فقد وظيفة العضو (مثل اليد) أو حدوث إصابات تتطلب جراحة بنائية. وتشير التجارب الإكلينيكية السابقة في معالجة إصابات الأنسجة الرخوة إلى أن النخر الذي يصيب منطقة تراوح مساحتها بين ٥٠ و١٠٠ سم<sup>٢</sup> بعمق ٥،٥ سنتيمتر تتطلب عمليات جراحية متعددة وهو بذلك يعد أثراً صحيّاً قطعياً عنيفاً. وتكشف التجربة أيضاً عن أن حدوث نخر بعمق يتراوح بين ١،٠ و٢،٠ سنتيمتر في اليد يمكن أن يفضي إلى فقد وظائفها، ولذلك يعتبر أثراً صحيّاً قطعياً عنيفاً.

الغدة الدرقية. تشمل أمثلة الآثار الصحية القطعية بعد تشيع الغدة الدرقية التهاب الغدة الدرقية الإشعاعي الحاد (يتميز بالتهاب ونخر في أنسجة الغدة الدرقية) وقصور الغدة الدرقية (حالة أيضية غير طبيعية ناتجة عن عدم إفراز كميات كافية من هرمونات الغدة الدرقية اللازمة للوظائف الفسيولوجية الطبيعية). وهذه الآثار غير مميتة في العادة إذا عولجت بطريقة سلية. على أن هذا العلاج يتطلب في كثير من الأحيان تعاطي عقاقير بديلة عن هرمون الغدة الدرقية مدى الحياة. ولذلك فإن إصابات الغدة الدرقية المستحثة بالإشعاع تعد آثاراً صحية قطعية عنيفة لأنها تقلص من نوعية الحياة.

عدسة العين. تتميز عدسة العين بحساسيتها الشديدة للإشعاع مما يتسبب بعد ذلك في إصابتها بالعتمة أو الماء الأبيض. وحدّدت حالات عتمة عدسة العين بأنها أثر صحي متأخر في الناجين من القابل الذريه وفي الكثير من حالات التعرض العرضي للإشعاع. ويمكن أن يسفر ذلك عن الإصابة بالعمى أو ضعف البصر على أقل تقدير، ويعُد أثراً صحيّاً قطعياً عنيفاً.

الأجهزة التناسلية. تشمل الآثار الصحية القطعية الناجمة عن تعرض الأجهزة التناسلية للإشعاع العقم المؤقت وال دائم، أو توقف التبويض وتكوين السائل المنوي. ويعتبر العقم الدائم أو التوقف الدائم عن التبويض وتكوين السائل المنوي من الآثار الصحية القطعية العنيفة لأنها تؤدي في الكثير من الحالات إلى تقليص نوعية الحياة.

الأجنة. تشمل الآثار الصحية القطعية غير المميتة التي تصيب الأجنة بسبب تعرضها للإشعاع زيادة التشوهات ونقص النمو العقلي عن معدلاته الطبيعية. ومعظم هذه الآثار لها عتبة تزيد على ما يتراوح بين ١٠٠ و ٢٠٠ ميغا بكريل. على أن تعرض الجنين لجرعة إشعاعية قدرها ١٠٠ ميغا بكريل أو أكثر خلال الأسبوع من الثامن حتى الخامس والعشرين من الحمل قد يتسبب في انخفاض واضح في نسبة الذكاء. ومن المرجح أن المرأة الحامل قلما تتعرض لحالة طوارئ إشعاعية خلال أكثر فترات تكون الجنين حساسية. وإذا أخذت هذه الآثار في الحسبان عند تحديد قيمة  $D_1$  فإن ذلك سيسفر عن تقييد يزيد عشرة أضعاف على قيمة  $D_1$  المحسوبة على أساس كل الآثار الصحية القطعية العنيفة الأخرى. وتعد هذه القيم متحفظة بدرجة كبيرة بالنسبة للأغلبية الواسعة من حالات الطوارئ الإشعاعية المحتملة. ولذلك تقرر عدم النظر في الآثار غير المميتة الناشئة عن تعرض الأجنة للإشعاع عند تحديد قيمة  $D_1$ .

## ٤- السيناريوهات ومسارات التعرض

حددت قيم D باستخدام عدة سيناريوهات محددة يمكن أن تفضي إلى تعرض البشر للإشعاع بعد فقد السيطرة على مصدر. ووضعت هذه السيناريوهات والافتراضات على أساس الخبرة السابقة<sup>٣</sup> والمسائل المهمة الأخرى ذات الصلة، من قبيل استخدام المواد المشعة لأغراض إيزانية (مثل استخدامها في أجهزة نشر الإشعاع). ويلخص الجدول ٢ السيناريوهات المأخوذة بعين الاعتبار، وترد تفاصيلها في التذييل الثاني.

**الجدول ٢ - السيناريوهات المستخدمة في تحديد قيم D**

قيمة $D_2$ مادة مشتقة					قيمة $D_1$ مادة غير مشتقة		
الغمر (ال السادس )	التلوث <sup>١</sup> ( الخامس )	الابتلاع ( الرابع )	الاستنشاق ( الثالث )	الغرفة ( الثاني )	الجيب ( الأول )	الأعضاء أو الأنسجة	
•	•	•	•	•	•	النخاع الأحمر	
•	•	•	•	•	•	القولون	
•	•	•	•	•	•	مناطق الرئة	
	•				•	مناطق الجلد	
		•			•	الأنسجة الرخوة	
•		•	•	•	•	الغدة الدرقية	
•				•	•	عدسة العين	
•				•	•	الجهاز التناسلي	
					•	أ تلوث الجلد	

وروعيت السيناريوهات التالية عند حساب قيمة  $D_1$  للنويدات المشعة في المواد غير المشتقة:

- (أ) سيناريو “الجيب” (السيناريو الأول) الذي يفترض أن الشخص يحمل مصدرًا غير مدروع ينشأ عنه ضرر موضعي في النسيج الرخوة؛
- (ب) سيناريو “الغرفة” (السيناريو الثاني) الذي يفترض وجود الشخص بالقرب من مصدر غير مدروع لمدة أيام أو أسابيع مما يؤدي إلى تعرض الجسم بأكمله للإشعاع مخترق خارجي.

وروعيت السيناريوهات التالية عند حساب قيمة  $D_2$  للنويدات المشعة في المواد المشتقة:

- (أ) سيناريو “الاستنشاق” (السيناريو الثالث) الذي يفترض فيه اندلاع حريق أو وقوع انفجار (مثلاً جهاز نشر الإشعاعات) مما يعرض شخصاً ما لمواد مشعة عالقة في الهواء؛
- (ب) سيناريو “الابتلاع” (السيناريو الرابع) الذي يستخدم فيه السيناريو الأكثر تقييداً من بين سيناريوهين يفترض في أولهما تسرب المصدر ولامسته ، مما يسفر عن ابتلاع المادة عن غير قصد، ويفترض في الثاني وضع المصدر في إمدادات المياه العامة، مما يسفر عن تلوث المياه التي تستخدم في الشرب بعد ذلك؛

٢ انظر التذييل السابع.

- (ج) سيناريو “التلوث” (السيناريو الخامس) الذي يفترض فيه تلوث الجلد بسبب مصدر متسلل؛  
 (د) سيناريو “الغمر” (السيناريو السادس) في حالة التعرض لغازات خاملة، ويفترض فيه انطلاق النشاط في غرفة، مما يعرض الأشخاص المتواجدون فيها للإشعاع. ولا تتناول هذه الحالة سوى تعرض النخاع الأحمر لإشعاع خارجي.

ووضع الافتراضات المستخدمة في اشتراق قيم D للنويدات المشعة بما يسمح بدرجة معقولة من الثقة في الآتي:

- (أ) أن إمساك أو حمل مقدار أقل من هذه الكمية من المادة المشعة غير المدرعة (في الحبيب مثلاً)  
 لا يسفر عن إصابة تنتقص من نوعية الحياة؛  
 (ب) أن وجود مقدار أقل من هذه الكمية من المادة المشعة غير المدرعة في المنزل أو في مكان العمل لا يسفر عن تعرض يشكل تهديداً للحياة أو يمكن أن يتسبب في إصابة تنتقص من نوعية الحياة؛  
 (ج) أن التشتت العالق في الهواء بفعل حريق أو انفجار إذا كان ينطوي على أقل من هذه الكمية من المادة المشعة لا يسفر عن إصابات تهدد الحياة أو تنتقص من نوعية الحياة بسبب الاستنشاق؛  
 (د) أن ملامسة حافظة ممزقة محتوية على أقل من هذه الكمية من المادة القابلة للتشتت لا تسفر عن ابتلاع غير مقصود أو إصابة الجلد بتلوث يشكل تهديداً للحياة أو يمكن أن يتسبب في إصابة تنتقص من نوعية الحياة؛  
 (ه) أن المصدر الذي يحتوي على أقل من هذه الكمية من المادة القابلة للتشتت في إمدادات المياه العامة لا يسفر عن أي آثار قطعية عنيفة بسبب تلوث المياه؛  
 (و) أن المصدر الذي يحتوي على أقل من هذه الكمية من المادة المشعة لا يمكن أن يصل إلى حالة الحرجة.

## ٥- خصائص المصادر المهمة

يناقش هذا القسم خصائص مواد المصادر المهمة في تحديد قيمة D. ويتناول التذليل الثامن تلك الخصائص بمزيد من التفصيل.

الاض محلل والنمو الداخلي. المصدر المشع له عمر يبدأ بمجرد تصنيعه وينتهي بعد وقف استعماله وتحويله إلى نهاية مشعة. وتتغير الخواص الفيزيائية للمصدر خلال تلك الفترة. ويتناقص نشاط النويدة المشعة الأم وقت التصنيع (النشاط الأولي) بسبب الاض محلل، وإن كان من المحتمل حدوث زيادة في نشاط نويدات مشعة أخرى (يطلق عليها النواتج أو العناصر الوليدة) نتيجة للاض محلل. وهذه الزيادة تعرف في كثير من الأحيان بالنمو الداخلي. ويقل الخطير في معظم النويدات المشعة مع تقدم عمرها بسبب تناقص النشاط الكلي. على أن النويدات المشعة الوليدة في بعض سلاسل اضمحلال النويدات المشعة (مثل البلوتونيوم- ٢٤١ – الأميريشيوم- ٢٤١) سامة إشعاعياً أكثر من النويدة المشعة الأم في بعض المسارات، ولذلك فإن الخطير قد يزداد بتقدم عمر المصدر. ولا يمكن التنبؤ بالوقت الذي قد تقع فيه حالة طوارئ منطقية على المصدر، وبالتالي لا يمكن التنبؤ بنشاط المصدر عند وقوع حالة طوارئ. ومراعاة لذلك، حُسبت قيم D لأخطر مجموعة من النويدات المشعة الأم والوليدة في أي مدة حتى ١٠ سنوات. على أن قيم D يعبر عنها من حيث ”النشاط الأولي“ (أي النشاط قبل النمو الداخلي) للنويدة الأم في المصدر. ويبين التذليل الثامن التفاصيل المتعلقة بكيفية النظر في ذلك.

الإشعاع النووي وتفاعلاته. يمكن للتحولات النووية<sup>٣</sup> في النوايدة المشعة أن تولد إشعاعات مؤينة مختلفة. وهناك مجموعات المهمة في هذا التقرير، بما مجموعة الإشعاعات ذات الانتقال الخطى المرتفع للطاقة، مثل جسيمات ألفا والنيوترونات، ومجموعة الإشعاعات ذات الانتقال الخطى المنخفض للطاقة، بما فيها جسيمات بيتا والفوتونات.

(أ) تشكل النوايدات المشعة المبتاعدة للفوتوныات خطراً داخلياً وخارجياً على السواء. والفوتونات هي أحد أكثر أنواع الإشعاع اختراقاً لأنها تستطيع المرور بدون تفاعل لمسافة عدة أمتار في الهواء وعدة سنتيمترات في جسم الإنسان. ولا يؤثر تاثير الفوتوونات في الهواء (ظاهره اللمعان السماوي) كثيراً على جرعة الإشعاع من مصدر لا يبعد سوى متراً واحداً عن الجسم. وللهذا السبب لم يؤخذ ذلك بعين الاعتبار عند حساب قيم  $D_1$ . على أن التاثير المتعدد للفوتوونات داخل جسم الإنسان كان محل نظر في حسابات قياس الجرعات.

(ب) تفقد النيوترونات الطاقة أساساً نتيجة لتفاعلاتها مع النوى الخفيف. ولذلك يمكنها الانتقال عدة أمتار في الرصاص، ولكنها تتوقف فعلياً في الماء أو الأنسجة الرخوة في جسم الإنسان. ويتوارد في العادة عن تفاعل النيوترونات مع المادة نوى مرتبطة وفوتوونات ثانية. ولذلك تشكل المصادر المبتاعدة للنيوترونات خطراً داخلياً وخارجياً على السواء. والنوايدات المشعة القادرة على الانشطار التلقائي (مثل الكاليفورنيوم ٢٥٢) هي أحد مصادر النيوترونات. وبالإضافة إلى بعض الخلايا الكثيفة للنوايدات المشعة المبتاعدة لألفا مثل (بلوتونيوم ٢٣٩ والأميريشيوم ٢٤١) والبريليوم أو الكربون أو التتروجين أو الأكسجين أو الفلور يمكن أن تشكل مصدراً للنيوترونات نتيجة لتفاعل (ألفا - نيوترون). ويشيع استخدام المصادر المحتوية على الأميريشيوم ١٢٤/البريليوم ٩ والبلوتونيوم ٩/البريليوم ٩ كمصادر نيوترونية في التطبيقات العلمية التجارية، ويمكن أن تشكل مصدراً مهماً للتعرض الخارجي. على أن حجم الجسيمات التي يمكن استنشاقها أو ابتلاعها نتيجة لتشتت المادة في تلك المصادر النيوترونية أصغر من أن يتسبب فعلياً في توليد انبعاثات نيوترونية نتيجة لتفاعل (ألفا - نيوترون). ولذلك فقد حُسبت قيم  $D_1$  لمصادر الأميريشيوم ١٢٤/البريليوم ٩، والبلوتونيوم ٩/البريليوم ٩، بما في ذلك التعرض الخارجي نتيجة للنيوترونات الناشئة عن تفاعل (ألفا - نيوترون)، ولكن قيم  $D_2$  لا تشمل أي أثر يساهم به توليد النيوترونات في الجرعة بعد الأخذ الداخلي.

(ج) يمكن لجسيمات بيتا العالية الطاقة أن تنتقل عدة أمتار في الهواء، ولكنها لا تخترق إلا الجلد وبضع مليمترات من النسيج الرخو. ولذلك لا تشكل النوايدات المشعة المبتاعدة لجسيمات بيتا في العادة خطراً داخلياً بعد تناولها أو خطراً على الجلد بعد تلوثه. على أنه إذا حدث تفاعل بين جسيمات بيتا العالية الطاقة والمادة المحتوية على عدد ذري (Z) كبير، فإن جزءاً كبيراً من طاقتها قد يتحول إلى فوتوونات إشعاعات صدمية. ولذلك يمكن لمصادر النوايدات المشعة المحتوية على نوايدات مبتاعدة لكميات كبيرة من جسيمات بيتا العالية الطاقة (مثل الستريتشيوم ٩٠) أن تشكل مصدراً مهماً للإشعاع المخترق الذي ينجم عنه بعد ذلك خطراً للتعرض الخارجي. ولذلك أخذت في الحسبان الجرعة الخارجية الناتجة عن التعرض للإشعاع الصدمي عند حساب قيم  $D_1$ . وتتوارد إشعاعات صدمية لا تذكر إذا تفاعلت جسيمات بيتا العالية الطاقة مع مادة ذات عدد ذري صغير، مثل الأنسجة الرخوة في الجسم البشري. ولذلك لم يؤخذ هذا الأثر في الاعتبار عند حساب قيم  $D_2$  التي تميز التعرض البشري بعد الأخذ الداخلي.

(د) جسيمات ألفا هي أقل الإشعاعات المؤينة قدرة على الاختراق. ويمكن إيقافها بالطبقات الخارجية للجلد، ولا تشكل في العادة خطراً على الصحة إلا بعد دخول المادة المبتاعدة لألفا

<sup>٣</sup> يطلق عليها أيضاً "الاضمحلال الإشعاعي".

إلى الجسم. ويمكن لجسيمات ألفا في بعض الأحوال التفاعل مع النوى الخفيفة وتولّد نيوترونات عن طريق تفاعل (الفا - نيوترون) كما هو مبين أعلاه.

حد الحرجة. هناك بعض النويدات المشعة القادرة على دعم التفاعل المتسلسل، ويمثل ذلك مسألة تتعلق بالأمان والأمن على السواء. وإذا كانت كتلة النشاط الذي يعتبر خطيراً وفقاً للحسابات التي أجريت باستخدام أحد سيناريوهات التعرض تزيد على المستوى المحدد لمنع الحرجة، يستخدم حينئذ نشاط حد الحرجة لتحديد قيمة D.

حد السمية الكيميائية. يشكل إطلاق أي مادة عالقة في الهواء خطراً على صحة الإنسان بسبب السمية الكيميائية وغير ذلك من العوامل إذا كانت التركيزات العالقة في الهواء كبيرة بدرجة كافية. وهناك بعض النويدات المشعة التي يمكن، نتيجة لانخفاض نشاطها النوعي، أن تبلغ قيم D الخاصة بها مستوى تشكيل عنده كتلة إطلاق المواد العالقة في الهواء خطراً لأسباب غير إشعاعية من قبيل السمية الكيميائية. ويخرج تقدير مخاطر التعرض بسبب الآثار غير الإشعاعية عن نطاق هذا المنشور. على أنه سترد الإشارة إلى ذلك في الحالات التي يمكن أن تتطوّي فيها قيمة D لنوعية مشعة معينة على ذلك الخطير.

## ٦- ظُهُور حساب قيم D

حسبت قيم D باستخدام نهجين مختلفين يطلق عليهما في هذا التقرير اسم النهج المبني على الخبرة والنهج القائم على المخاطر:

(أ) النهج المبني على الخبرة في حساب قيم D يستند إلى البيانات المتاحة والإرشادات القائمة [١٠، ١١] والتقدير المهني. وكان الغرض من ذلك هو تلبية الحاجة الملحة إلى تحديد قيمة معينة من قيم D في الأجل القريب. واستخدم هذا النهج في حساب قيم D لعدد من النويدات المشعة الرئيسية [٢، ٣] المهمة.

(ب) واستند النهج القائم على المخاطر في حساب قيم D إلى تقييم كمي لمخاطر حدوث آثار قطعية عنيفة. واستندت النماذج المستخدمة في هذا النهج إلى دراسات تناولت تلك الآثار على امتداد العمر [١٢، ١٣، ١٤] وفحص دقيق لآخر البيانات والنماذج. ويتضمن المرجع [١٥] التفاصيل الكاملة المتعلقة بوضع هذا النهج لأغراض التصدي للطوارئ. واستخدم النهج القائم على المخاطر في هذا التقرير في حساب قيم D لقائمة موسعة من النويدات المشعة، بما في ذلك النويدات المشعة التي لا تتناولها المصادر [٢، ٣، ٤] وفي حساب مدى كفاية قيم D المحسوبة باستخدام النهج الأول المبني على الخبرة.

ويبين التذييل الثالث لوغاريتمات حساب قيم D.

وبحسبما جاء في التذييل السابع فقد تبيّن أن قيم D التي حُسبت باستخدام النهج المبني على الخبرة تتفق كثيراً مع قيم D المحسوبة لاحقاً باستخدام النهج القائم على المخاطر. ولذلك لم تكن هناك حاجة إلى تعديل قيم D الواردة في المرجع [٢، ٣، ٤]. وجمعت نتائج هذين النهجين في مجموعة واحدة من قيم D الموصى بها حسب ما هو وارد في الجدول ١.



## **التدبيبات**



## التذليل الأول

### المستويات المرجعية والعتبات الحدية للأثار القطعية

يطلق على الجرعة التي افترض أنها تؤدي إلى حدوث أثر قطعي عنيف المستوى المرجعي في النهج المبني على الخبرة. ويرجع ذلك إلى أن هذا المستوى استند إلى تقدير الخبراء للجرعات التي تقترب من المستوى الحدي الفعلي للجرعة ولكنها تقل عنه. وأما في النهج القائم على المخاطر فإن مستوى الجرعة الذي يفترض أنه يؤدي إلى حدوث أثر قطعي عنيف فيطلق عليه مستوى العتبة. وبينت الحسابات أن هذا المستوى يمثل الجرعة التي يتوقع أن تؤدي إلى حدوث الأثر في ٥ في المائة من يتعرضون لها.

ويتضمن الجدول ٣ قائمة بالأعضاء أو الأنسجة [١٥] التي تم النظر فيها عند اشتقاء قيم D. ويحدد الجدول رقمًا مرجعياً لكل نسيج، ويستخدم ذلك الرقم باستمرار في هذا المنشور للإشارة إلى العضو أو النسيج.

وهناك رقمان مرجعيان مختلفان لأنسجة الرئة (E<sup>٣</sup> و R<sup>٣</sup>) نظرًا لاختلاف مناطق الرئة المستخدمة كعضو مستهدف في النهج المبني على الخبرة والنهج القائم على المخاطر. واستخدم النهج المبني على الخبرة الجرعة الممتصصة في "الرئة" حيث "جرعة الرئة" هي المجموع المرجح للجرعة الممتصصة في مختلف أنسجة منطقة الصدر من الجهاز التنفسي حسب ما أوصت به اللجنة الدولية للوقاية من الإشعاعات في منشورها رقم ٦٦ [١٦] لنقدير الآثار العشوائية. وهذه المنطقة تسمى "المنطقة الصدرية من الجهاز التنفسي". ووفقاً لتوصيات المرجع [١٥] فقد استخدم النهج القائم على المخاطر جرعة المنطقة السنخية - الخالية (AI) من الجهاز التنفسي باعتبارها العضو المستهدف.

ويستخدم رقمان مرجعيان مختلفان لأنسجة الجلد (E<sup>٦</sup> و R<sup>٦</sup>) نظرًا لاختلاف منطقة الجلد المستخدمة كعضو مستهدف في كل من النهج المبني على الخبرة والنهج القائم على المخاطر. واستخدم النهج المبني على الخبرة الغشاء القاعدي للجلد (بعمق ٧٠ ميكرون تحت سطح الجلد) بسبب عدم سهولة الحصول على معاملات الجرعات لتلك المنطقة. وتوصي اللجنة الدولية للحماية من الإشعاعات واللجنة الدولية للوحدات والمقياسات الإشعاعية [١٧، ١٨، ١٩] بتقييم الجرعة التي تتعرض لها أدمة الجلد (بعمق يتراوح بين ٣٠٠ و ٥٠٠ ميكرون تحت سطح الجلد) عند تقييم الآثار القطعية العنيفة من قبيل تكون القشور الطرية. وهذا هو الأسلوب المستخدم في النهج القائم على المخاطر الذي يفترض أن حدوث آثار قطعية عنيفة ينشأ بعد تشعيع مساحة تزيد على ١٠٠ سم<sup>٢</sup> من أنسجة الجلد [١٢] على عمق ٤٠٠ ميكرون (٤٠ ملغ × سم<sup>-٢</sup>).

وفي كلا النهجين، يستخدم "الجزع" في المرجع [١٥] ويستخدم هنا لتبسيط النظر في التعرض الخارجي لمجال موحد من الإشعاع القوي الاختراق من مصدر بعيد. ويشمل "الجزع" الرئة والنخاع الأحمر والأمعاء الدقيقة والغدد التناسلية والغدة الدرقية وعدسة العين. ويؤدي تعرض "الجزع" لإشعاع من مصدر خارجي بعيد إلى تعريض كل تلك الأعضاء وبالتالي لا يلزم النظر في كل منها على حدة.

### الجدول ٣: الأعضاء والأنسجة المعنية

الرقم المرجعي للنسيج	النهاج المبني على الخبرة	مسار التعرض	العضو أو النسيج
النهاج القائم على المخاطر			
١	١	مصدر خارجي قريب	النسيج الرخو
٢	٢	داخلي	النخاع الأحمر
R <sup>٣</sup>	E <sup>٣</sup>	داخلي	مناطق الرئة
٤	٤	داخلي	القولون أو الأمعاء الدقيقة
٥	٥	داخلي	الغدة الدرقية
R <sup>٦</sup>	E <sup>٦</sup>	الاتصال بالجلد	مناطق الجلد
٧	٧	مصدر خارجي بعيد	الجزع <sup>٤</sup>
انظر الملحوظة ب	انظر الملحوظة ب	مصدر خارجي بعيد	النخاع الأحمر
انظر الملحوظة ب	انظر الملحوظة ب	مصدر خارجي بعيد	الغدة الدرقية
انظر الملحوظة ب	انظر الملحوظة ب	مصدر خارجي بعيد	عدسة العين
انظر الملحوظة ب	انظر الملحوظة ب	مصدر خارجي بعيد	المبيض عند الإناث
انظر الملحوظة ب	انظر الملحوظة ب	مصدر خارجي بعيد	الخصيتان عند الذكور

أ يستخدم الجزء لتبييض النظر في آثار التعرض الخارجي لمصدر بعيد، ويشمل ذلك النخاع الأحمر والغدة الدرقية وعدسة العين والأعضاء التناسلية.

ب عتبة الجرعة التي يبدأ عندها حدوث آثار قطعية عنيفة في هذا العضو بسبب التعرض لمصدر خارجي بعيد تقل عن المستوى المرجعي أو مستوى عتبة الجرعة في الجزء؛ ولذلك لم يتم إجراء حساب محدد للجرعة التي يتلقاها هذا العضو.

#### أولاً- ١- قياس الكميات المستخدمة في تحديد خصائص الآثار القطعية

ترتبط الآثار البيولوجية للإشعاع بالطاقة الممتصة عن طريق تأين وإثارة وحدة كتلة النسيج (الجرعة الممتصة من الإشعاع). وتعدّ تلك الآثار بالتوزيع المكاني للطاقة المكتسبة التي تحدّد نوعية الإشعاع. ويتوقف هذا العامل على الانتقال الخطي لطاقة الإشعاع. وينظر عادة إلى نوعين من الإشعاع في سياق الآثار الصحية للإشعاع:

- (أ) الإشعاع ذو الانتقال الخطي المنخفض للطاقة؛
- (ب) الإشعاع ذو الانتقال الخطي المرتفع للطاقة.

وقد تتبّع أيضاً الآثار البيولوجية للإشعاع تبعاً لمعدل امتصاص الطاقة (معدل الجرعة الممتصة)، وتركيز الأكسجين في النسيج، فضلاً عن عوامل أخرى تحدّد حساسية النسيج البيولوجي للإشعاع.

وتختلف كميات قياس الجرعات المستخدمة في النهاج المبني على الخبرة عن كميات قياس الجرعات المستخدمة في النهاج القائم على المخاطر لتقييم حالات التعرض التي يمكن أن تقضي إلى آثار صحية قطعية في أعضاء أو أنسجة الجسم المعرضة لخطر إشعاعي. وتترد هذه الكميات في الجدول ٤ ويبينها الشكل ١ إلى جانب الكميات الأخرى المستخدمة عموماً في الوقاية من الإشعاع.

**الجدول ٤: كميات قياس الجرعات المستخدمة في تقييم آثار الإشعاع على الصحة**

التعرض	الوحدة	الرمز <sup>١</sup>	الغرض وكمية الجرعة
تقييم الآثار القطعية:			
(أ) النهج المبني على الخبرة			
خارجي	غراء	$D_T^R$	الجرعة الممتصة من الإشعاع R في العضو أو النسيج T <sup>٢</sup>
داخلي	غراء	$D_T^R(\Delta)$	الجرعة الممتصة المودعة من الإشعاع R في العضو أو النسيج T <sup>٣</sup>
(ب) النهج القائم على المخاطر			
خارجي	مكافئ غرائي	$AD_T$	الجرعة المرجحة بالفعالية البيولوجية النسبية في العضو أو النسيج T
داخلي	مكافئ غرائي	$AD_T(\Delta)$	الجرعة المودعة المرجحة بالفعالية البيولوجية النسبية في العضو أو النسيج T
تقييم الآثار العشوائية:			
خارجي	سيفرت	$H_T$	الجرعة المرجحة بالإشعاع في العضو أو النسيج T
داخلي	سيفرت	$H_T(\Delta)$	الجرعة المرجحة بالإشعاع المودعة في العضو أو النسيج T

أ يمكن الرجوع إلى وصف الرموز والمؤشرات القياسية المستخدمة في هذا المنشور في المرفقين الأول والثاني.  
ب أدخلت، لأغراض هذا التقرير، تعديلات طفيفة على تصنيف الجرعة الإشعاعية الممتصة المحددة المستخدمة في توصيات اللجنة الدولية للوقاية من الإشعاعات [٢٠].

والجرعة الممتصة في عضو أو نسيج هي الكمية الأساسية لقياس الجرعة. وتساوي الجرعة الممتصة  $(D_T^R)^4$ . طاقة الإشعاع المؤين R المنتقلة إلى وحدة من كتلة العضو أو النسيج T وتعرف بالمعادلة التالية:

$$(1) \quad D_T^R = \frac{\Delta \epsilon_R}{m_T}$$

حيث:

$m_T$  هي كتلة العضو أو النسيج T؛  
 $\Delta \epsilon_R$  هي طاقة الإشعاع المؤين R المنتقلة إلى كتلة العضو أو النسيج المعين.

والجرعة الممتصة المودعة  $(D_T(\Delta))$  في العضو أو النسيج T تعرف بأنها التكامل الزمني لمعدل الجرعة الممتصة في العضو أو النسيج على مر الزمن  $\Delta$  بعد الأخذ الداخلي للمادة المشعة، وتحسب بالمعادلة التالية:

$$(2) \quad D_T^R(\Delta) = \int_{t_0}^{t_0 + \Delta} \dot{D}_T^R(t) dt = \sum_S I_S \times DF_{T,S}^R(\Delta)$$

<sup>٤</sup> يتضمن المرفق الأول وصفاً كاملاً للرموز والمؤشرات القياسية المستخدمة في هذا المنشور.

حيث:

$t_0$  هو زمن الأخذ الداخلي؛

$\Delta$  هي فترة التكامل ويطلق عليها أيضاً فترة الإيادع؛

$D_T^R(t)$  هو معدل الجرعة الممتصة من الإشعاع  $R$  في العضو أو النسيج  $T$  في الزمن  $t$  بعد أخذ داخلي لنوية مشعة، غراري/ثانوية؛

$I_S$  هو نشاط الأخذ الداخلي لنوية مشعة من خلال مسار يحدده السيناريو  $S$ ، (بالبكريل)؛

$DF_{T,S}^R(\Delta)$  هو معامل تحويل الجرعة الذي يساوي الجرعة الممتصة من الإشعاع  $R$  في العضو أو النسيج  $T$  والمودعة وفقاً للسيناريو  $S$  خلال المدة الزمنية  $\Delta$  بعد أخذ داخلي لمقدار يبلغ 1 بكريل من نوية مشعة، (غراري/بكريل).

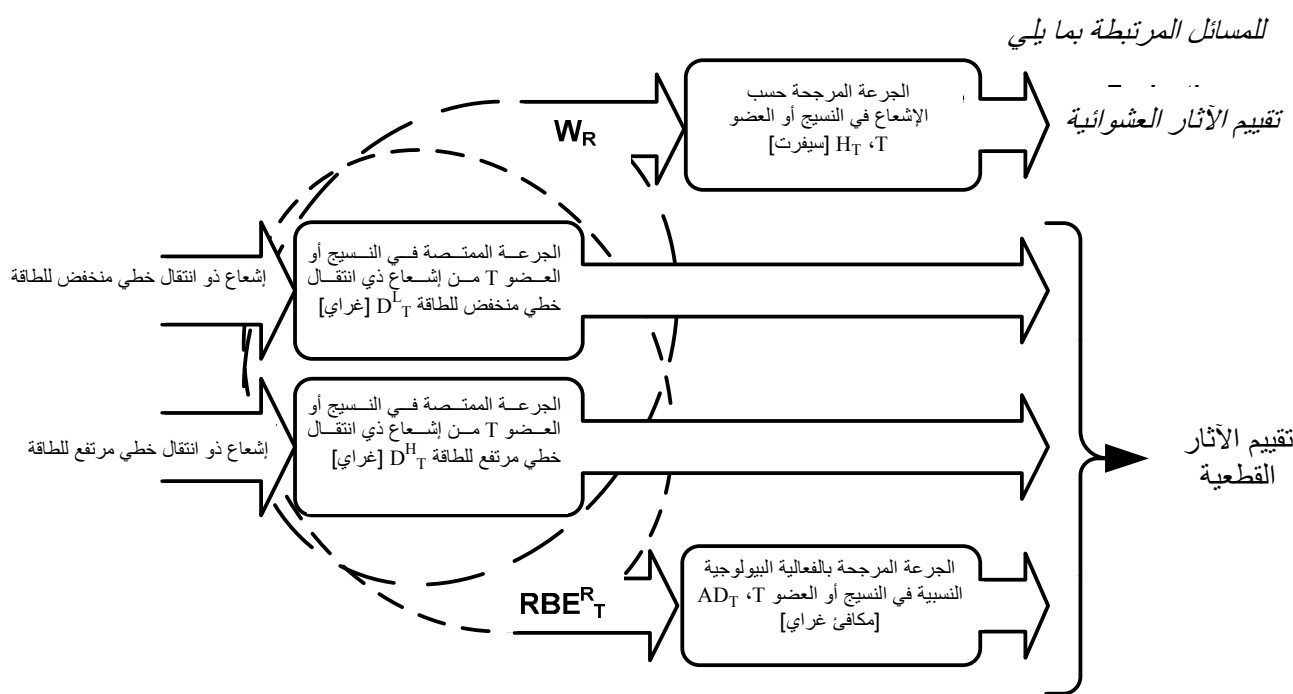
والوحدة المستخدمة في قياس الجرعة الممتصة والجرعة الممتصة المودعة هي الغراري [٢٠].

وعند تقييم التعرض الخارجي للإشعاع  $R$  (الإشعاع ذو الانتقال الخطى المنخفض للطاقة أو الإشعاع ذو الانتقال الخطى المرتفع للطاقة)، استخدم النهج المبني على الخبرة الجرعة الممتصة في العضو  $D_T^R$ . واستخدم هذا النهج عند تقييم التعرض الداخلى الجرعة الممتصة المودعة في العضو أو النسيج  $D_T^R(\Delta)$ . وعمولت في النهج المبني على الخبرة عناصر الجرعة الممتصة الناتجة عن الإشعاع ذي الانتقال الخطى المنخفض للطاقة والإشعاع ذي الانتقال الخطى المرتفع للطاقة بطريقة مختلفة تبعاً لمسار التعرض والعضو وخصائص المادة.

ورجح النهج القائم على المخاطر مكونات الجرعة الممتصة المتولدة عن الإشعاع ذي الانتقال الخطى المنخفض للطاقة والإشعاع ذي الانتقال الخطى المرتفع للطاقة حسب الفعالية البيولوجية النسبية ونظر فيما معًا. وعند تقييم التعرض الخارجي، استخدم النهج القائم على المخاطر جرعة مرئية بالفعالية البيولوجية النسبية في العضو أو النسيج  $AD_T$  [٢١، ١٥]. واستخدمت عند تقييم التعرض الداخلى الجرعة المودعة المرئية بالفعالية البيولوجية النسبية في العضو أو النسيج  $AD_T(\Delta)$ . وتعرف الجرعة المرئية بالفعالية البيولوجية النسبية  $(AD_T)$  بأنها ناتج الجرعة الممتصة في عضو أو نسيج  $D_T^R$  والفعالية البيولوجية النسبية  $RBE_T^R$ ؛ ويحسب ذلك بالمعادلة التالية:

$$(3) \quad AD_T = \sum_R D_T^R \times RBE_T^R$$

والفعالية البيولوجية النسبية  $RBE_T^R$  في عضو أو نسيج معين  $T$  هي النسبة بين قيمة الجرعة الممتصة من إشعاع مرجعي يولد تأثيراً بيولوجياً محدداً والجرعة الممتصة من الإشعاع  $R$  الذي يولد نفس التأثير البيولوجي. وتتوقف قيمة  $RBE_T^R$  على التأثير في العضو أو النسيج المعنى، والحالة البيولوجية المعنية، ونوعية الإشعاع الذي تنتج عنه الطاقة الممتصة. وتتوقف نوعية الإشعاع على عوامل كثيرة، أهمها الانتقال الخطى للطاقة وقدرة الإشعاع على الاختراق. وبالنظر إلى التوزيع المجهري للنويدات المشعة التي تتبع إشعاعات ضعيفة الاختراق فإن قيمة  $RBE_T^R$  تختلف في التعرض الداخلي والخارجي عن الإشعاع الذي له نفس قيمة الانتقال الخطى للطاقة.



الشكل ١: كميات قياس الجرعات المستخدمة في تقييم آثار الإشعاع على الصحة

واستخدمت الجرعة المرجحة بالفعالية البيولوجية النسبية  $AD_T(\Delta)$  في تقييم خطر حدوث آثار صحية قطعية عنيفة بعد دخول نويدة مشعة إلى الجسم. وتعرف الجرعة المرجحة المودعة بالفعالية البيولوجية النسبية  $AD_T(\Delta)$  في العضو أو الجسم T بأنها التكامل الزمني لمعدل الجرعة المرجحة بالفعالية البيولوجية النسبية في العضو أو النسيج في الزمن  $\Delta$  بعد دخول المادة المشعة إلى الجسم، وتحسب بالصيغة التالية:

$$(4) \quad AD_T(\Delta) = \int_{t_0}^{t_0 + \Delta} \dot{AD}_T(t) dt = \sum_S I_S \times AF_{T,S}(\Delta)$$

حيث:

$t_0$  هو زمن الأخذ الداخلي؛

$\Delta$  هي فترة التكامل ويطلق عليها أيضاً فترة الإيداع؛

$\dot{AD}_T(t)$  هو معدل الجرعة المرجحة بالفعالية البيولوجية النسبية في العضو أو النسيج T في الزمن t بعد أخذ داخلي لنويدة مشعة ((مكافئ غراري)/ثانية)؛

$I_S$  هو نشاط الأخذ الداخلي للنويدة المشعة من خلال مسار يحدده السيناريو S، (باليكريل)؛

$AF_{T,S}(\Delta)$  هو معامل تحويل الجرعة الذي يساوي الجرعة المرجحة بالفعالية البيولوجية النسبية في العضو أو النسيج T المودعة خلال الزمن  $\Delta$  وفقاً للسيناريو S نتيجة لأخذ داخلي مقداره 1 بيكريل من نويدة مشعة، ((مكافئ غراري/بكريل)).

ويعبّر عن الجرعة المرجحة بالفعالية البيولوجية النسبية والجرعة المودعة المرجحة بالفعالية البيولوجية النسبية بمكافآت الغراري [١٥، ٢١، ٢٢].

وتستخدم الجرعة المرجحة حسب الإشعاع والجرعة المودعة المرجحة حسب الإشعاع في الوقاية من الإشعاع ولا تستخدمان في هذا التقرير. وتعرف الجرعة المرجحة بالإشعاع  $H_T$  بأنها ناتج الجرعة الممتصة (الخارجية والمودعة) في العضو أو النسيج والمعامل الإشعاعي الترجيحي  $w_R$  [٢٣، ٢٠، ١١] لكل أنواع الإشعاع، وتحسب بالمعادلة التالية:

$$(5) \quad H_T = \sum_R D_T^R \times w_R \quad \text{و} \quad H_T(\tau) = \sum_R D_T^R(\tau) \times w_R$$

حيث:

$H_T$  هي الجرعة المرجحة بالإشعاع في العضو أو النسيج  $T$  من إشعاع خارجي؛

$(\tau)$   $H_T$  هي الجرعة المودعة المرجحة بالإشعاع في النسيج  $T$  في زمن التكامل  $\tau$ ، و $w_R$  هو المعامل الإشعاعي الترجيحي للإشعاع  $R$ . وعندما لا يعين زمن التكامل  $\tau$  فإنه يقدر بمدة ٥٠ سنة للبالغين و٧٠ سنة للأطفال [١١، ٢٠].

والوحدة المستخدمة في الجرعة المرجحة بالإشعاع والجرعة المودعة المرجحة بالإشعاع هي سيفرت [٢٠، ٢٣].

## أولاً- ٢- النهج المبني على الخبرة

استخدم النهج المبني على الخبرة في حساب قيم  $D$  المستويات المرجعية للجرعة الممتصة في الأعضاء أو الأنسجة المعرضة لخطر إشعاعي لتقييم بدء حدوث آثار قطعية عنفية:

- (أ) عند تقييم التعرض الخارجي، يعبر عن المستويات المرجعية من حيث الجرعة الممتصة في العضو  $D_T^R$ ، وترتدى في الجدول ٥.
- (ب) عند تقييم التعرض الداخلي، يعبر عن المستويات المرجعية من حيث الجرعة الممتصة المودعة في العضو ( $\Delta$ )، وترتدى في الجدول ٦.

والمستوى المرجعي للجرعة هو المستوى الذي لا يحدث عنده الآثر في الأشخاص المعرضين في حالة عدم تجاوزه.

**الجدول ٥: المستويات المرجعية المستخدمة في النهج المبني على الخبرة لتقييم بدء ظهور الآثار القطعية العنفية الناتجة عن التعرض الخارجي**

المستوى المرجعي	العنصر أو النسيج المعرض لخطر إشعاعي	الآثار	مسار التعرض
الرمز	القيمة		
$RD_1^{L+H}$	٢٥	نخر النسيج الرخو (النسيج ١)	تعرض النسيج الرخو لمصدر قريب
$RD_{6E}^{L+H}$	٢٥	تقشر رطب الغشاء القاعدي للجلد (النسيج 6E)	التعرض عن طريق ملامسة ثلوث سطحي
$RD_7^{L+H}$	٤١	انظر الملحوظة ج الجذع (النسيج ٧)	تعرض الجسم بكمله لمصدر بعيد أو للغمر

أ يرد بيان الرموز والمؤشرات القياسية في المرفقين الأول والثاني.

ب مساحة تتراوح بين ٥٠ و ١٠٠ سم٢ وعلى عمق يصل إلى ٥ سنتيمتر تحت سطح الجسم.

- ج قيمة الجرعة المرجعية الدنيا لحدوث أي آثر قطعي عنيف نتيجة لتشريع منتظم للجسم بكماله. وجرى اختيار المستوى المرجعي ١ غرافي لأنّه أقل حد للمستويات المرجعية التي يبدأ عندها ظهور آثار قطعية عنيفة في النخاع العظمي الأحمر والغدة الدرقية وعدسة العين والأعضاء التناسلية على النحو المبين في الجدول ٧.
- د في مساحة تبلغ تقريباً ١٠٠ سم<sup>٣</sup> من الجلد. وتدخل الجرعة إلى هيكل الجلد على عمق ٧ ملـ/سم<sup>٣</sup> (أو ٠,٧ ملليمتر) تحت سطح الجلد، وافتراض أن ذلك هو النسبـ المـعـرـضـ لـخـطـرـ إـشـاعـيـ يؤـدـيـ إـلـىـ حدـوثـ آـثـارـ قـطـعـيـ عـنـيفـ. ويمثل ذلك افتراضاً متحفظاً حسب ما هو وارد في التذييل الخامس.

## الجدول ٦: المستويات المرجعية المستخدمة في النهج المبني على الخبرة لتقدير بدء ظهور الآثار القطعية العنيفة الناتجة عن التعرض الداخلي

المستوى المرجعي	مسار التعرض	الأثر	العضو أو النسيج	خصائص المادة المشعة	القيمة	Δ	الرمز
RD <sub>2</sub> <sup>L+H</sup> (Δ)	الاستنشاق أو تكون الدم	متلازمة النسيج (٢)	النخاع الأحمر	أي نوبـةـ مشـعـةـ	١	٢	(gravi) ( يوم )
RD <sub>3E</sub> <sup>HS</sup> (Δ)	الاستنشاق	التهاب الرئة	المنطقة الصدرية من الجهاز التنفسـيـ	مبـعـثـ طـوـبـلـ العـمـرـ لإـشـاعـعـ ذـيـ اـنـتـقـالـ خـطـيـ مـرـتفـعـ لـلـطاـقـةـ	٢٥	٣٦٥	
RD <sub>3E</sub> <sup>LS</sup> (Δ)	(الاستنشاق)	(النـسـيجـ 3E)	ـ(ـالـنـسـيجـ ـ)	ـمـبـعـثـ طـوـبـلـ العـمـرـ السـتـرـنـشـيـوـمـ	٤٠	٣٦٥	(أـيـ ٩٠ - ٩٠ Sr TiO <sub>3</sub> )
RD <sub>3E</sub> <sup>L</sup> (Δ)	الاستنشاق أو الابتلاع الدرقية	قصور الغدة الدرقية	الغدة الدرقية	ـمـبـعـثـاتـ أـخـرىـ لـإـشـاعـعـ ذـيـ اـنـتـقـالـ خـطـيـ مـنـخـفـضـ لـلـطاـقـةـ	٦	٢	
RD <sub>5</sub> <sup>L</sup> (Δ)	الاستنشاق أو الابتلاع الدرقية	قصور الغدة الدرقية	الغدة الدرقية	ـنـوـيـدـاتـ مـشـعـةـ مـتـراـكـمـةـ فـيـ	٥	٣٦٥	

أ يمكن الرجوع إلى بيان الرموز والمشرفات الفياسية في المرفقين الأول والثاني.

ب يشير النوع S إلى امتصاص بطيء في الرئة [١١].

ج حالة خاصة بمركب الستـرنـشـيـوـمـ - ٩٠ـ غيرـ القـابـلـ لـلـذـوبـانـ.

د النويدات المشعة المتراكمة في الغدة الدرقية هي مبعثات لإشعاع ذي انقال خطـيـ منـخـفـضـ لـلـطاـقـةـ.

واستندت المستويات المرجعية المستخدمة في النهج المبني على الخبرة، عند الاقتضاء، إلى المستويات الموجبة للتصرف الواردة في معايير الأمان الدولية، وتحديداً في الجدول الرابع-١ من المرجع [١١] الوارد هنا في الجدول ٧. وهذه هي المستويات المرجعية للجرعة الممتصة المتوقعة في العضو أو النسيج في أقل من يومين ويتوقع عندها اتخاذ إجراءات وقائية عاجلة في أي ظروف لمنع حدوث آثار صحية قطعية. ويفترض أن هذه المستويات تمثل جرعات تقترب من الجرعات التي يتوقع أن تتسبب في حدوث آثار قطعية [١٠] نتيجة للتعرض خلال فترة وجيزـةـ. ولا يتوقع حدوث ذلك التعرض إلا من مصادر خارجـيةـ. وتختلف المستويات المرجعية للجرعة المستخدمة في النهج المبني على الخبرة عن المستويات الموجبة للتصرف المحددة في المرجع [١١] حسب ما هو مبيـنـ أدـنـاهـ،ـ وـذـلـكـ فـيـ الأـسـاسـ لـمـرـاعـاهـ ماـ يـلـيـ:

(أ) الآثار الصحية القطعية العنيفة في الجلد والنسيج الرخـوـ؛

(ب) الآثار الصحية القطعية العنيفة الناجمة عن حدوث تعرض في فترات أطول.

## الجدول ٧: مستويات الجرعات الموجبة للتصرف في حالة الجرعة المتوقع امتصاصها في العضو أو النسيج في أقل من يومين

المستوى الموجب للتصرف (غرامي)	العضو أو النسيج المستهدف
١	الجسم بأكمله (النخاع الأحمر)
٦	الرئة
٣	الجلد
٥	الغدة الدرقية
٢	عدسة العين
٣	الغدد التناسلية

وفي حالة تعرض الجسم بأكمله لإشعاع من مصدر خارجي فإن المستوى المرجعي للجذع في الجدول ٥ هو الجرعة الدنيا التي يحدث بسببها أثر قطعي عنيف نتيجة للتشريع المنظم للجسم بأكمله. والمستوى المرجعي المستخدم في حالة النخاع الأحمر هو ١ غرامي لمدة ١٠٠ ساعة من مصدر خارجي لأن ذلك هو الحد الأدنى للمستويات المرجعية التي يبدأ عندها حدوث آثار قطعية عنيفة في النخاع العظمي الأحمر والغدة الدرقية وعدسة العين والأعضاء التناسلية كما هو مبين في الجدول الأول - ٣ من المرجع [١٥]. واستخدمت فترة أطول للتعرض مدتها ١٠٠ ساعة بدلاً من يومين لأن ذلك يعطي أقل معدلات الجرعات التي تعتبر خطراً يهدد الحياة [١٢]. وبينت الأعمال التي صدرت لاحقاً [٢١، ١٥] أيضاً أن جرعة مقدارها ١ غرامي نتيجة لposure خارجي تساوي أو تقل عن مستوى عتبة الجرعة التي يتوقع عندها حدوث آثار قطعية عنيفة في أعضاء أخرى (مثل عدسة العين أو الغدد التناسلية) أو الأنسجة نتيجة لposure الجسم بأكمله لإشعاع من مصدر بعيد.

وبحسب ما هو وارد في التذييل الثاني فإن النهج المبني على الخبرة لم ينظر صراحة في الابتلاء لأن سيناريون الاستنشاق لا بد وأن يكون هو السيناريون الغالب في الأخذ الداخلي. وعلاوة على ذلك فقد كان هناك اعتراف [١٢] بأن عتبة الجرعة التي يبدأ عندها ظهور آثار قطعية عنيفة في النخاع العظمي والرئة بعد الاستنشاق تزيد كثيراً عن جرعة التعرض الخارجي خلال فترة وجيزة حسب ما هو وارد في الجدول ٧. على أنه بعد النظر في الدراسات [١٢] المتاحة في ذلك الوقت (حيثما أجريت حسابات النهج المبني على الخبرة) عن مبتغيرات الإشعاع ذي الانتقال الخطي المنخفض للطاقة تبين أن الأخذ الداخلي المرتبط بالمستويات الموجبة للتصرف في حالة الرئة كما هو وارد في الجدول ٧ (٦ غرامي في يومين) يسفر عن معدل جرعة تقريبياً بدرجة معقولة لنقدر الأخذ الداخلي الذي يعتبر خطراً يهدد الحياة. وافتراض في حالة السترنشيلوم - ٩٠ المركب غير القابل للذوبان  $SrTiO_3^{90}$  (المتصاص الرئوي من النوع S). وافتراض في هذه الحالة الخاصة مستوى مرجعيًا قدره ٤ غرامي للجرعة المودعة في المنطقة الصدرية من الرئة لمدة ٣٦٥ يوماً. واعتمد هذا الافتراض الأكثر تحفظاً على البيانات الواردة في المرجع [٢٤] المستندة إلى دراسات أجريت على حيوانات. وهذه الخصائص يبينها رمز المستوى المرجعي (RD<sub>3E</sub><sup>LS</sup>) من خلال الأحرف العلوية LS التي ترمز للإشعاع ذي الانتقال الخطي المنخفض للطاقة من مركب ذي امتصاص رئوي من النوع S.

٥ مركب يستخدم عادة في المولدات الكهربائية الحرارية التي تعمل بالنظائر المشعة.

وفي حالة التعرض الرئوي بعد استنشاق نويدات مشعة مبتعدة لإشعاع ذي انتقال خطي مرتفع للطاقة لم يعتبر المستوى الموجب للتصرف في حالة الرئة على النحو المحدد في الجدول ٧ (٦ غرافي على امتداد يومين) مستوى مرجعياً ملائماً لبدء ظهور آثار قطعية عنيفة. واستخدمت في هذه الحالة جرعة قدرها ٢٥ غرافي ممنصنة مودعة في المنطقة الصدرية لمدة ٣٦٥ يوماً كمستوى مرجعي لبدء حدوث آثار قطعية عنيفة في الرئة. واستند ذلك إلى المرجع [٤] الذي يشير، استناداً إلى الدراسات التي أجريت على الحيوانات، إلى أن دخول ٢٥ غرافي إلى الرئة في ٣٦٥ يوماً مؤشر يدل على خطر الإصابة بالتهاب رئوي إشعاعي بنسبة تصل إلى ٥ في المائة بعد استنشاق البلوتونيوم-٢٣٩ المببعث لألفا الطويلة العمر. ويشار إلى تلك الخصائص في رمز المستوى المرجعي ( $\Delta$ )  $RD_{3E}^{HS}$  عن طريق الأحرف العلوية  $HS$  التي ترمز للإشعاع ذي الانتقال الخطي المرتفع للطاقة المتولد عن مركب ذي امتصاص رئوي من النوع ٥.

ولم يعتبر المستوى الموجب للتصرف في حالة الجلد على النحو المحدد في الجدول ٧ (٣ غرافي في يومين) ملائماً لأنّه يتعلّق باحمرار الجلد [١٠] الذي لا يعدّ أثراً صحيحاً قطعياً عنيفاً. ويتبيّن من التجربة [٢٥، ٢٦، ٢٧] أنه لا بد من حدوث نخر في الطبقة السطحية من النسيج الرخو في مساحة تتراوح بين ما يقرب من ٥٠ و ١٠٠ سم<sup>٢</sup> وبعمق يصل إلى نحو ٥،٠ سنتيمتر حتى يمكن القول بحدوث أثر قطعي عنيف نتيجة للتعرض الخارجي الموضعي. وتمثل الجرعة الممنصنة البالغة ٢٥ غرافي المستوى المرجعي لتقييم هذا الأثر [١٥]. [٢٥]

ويفترض أن قصور الغدة الدرقية أثر قطعي عنيف ينقص من نوعية الحياة في حالة حدوث تعرّض داخلي في الغدة الدرقية نتيجة لأخذ داخلي لنويّدات مشعة متراكمة في الغدة الدرقية. ويتضمن الجدول الرابع - ١ من المرجع [١١] جرعة ممنصنة قدرها ٥ غرافي تتلقاها الغدة الدرقية في يومين باعتبارها المستوى الإجرائي الذي يبرر دائماً التدخل لمنع الإصابة بقصور الغدة الدرقية. على أن المعاملات الوحيدة لتحويل الجرعة التي تسنى الحصول عليها في حالة تعرّض الغدة الدرقية بعد الأخذ الداخلي تتعلق بالجرعة الممنصنة المودعة على امتداد العمر في الغدة الدرقية [٢٨]، ولذلك استخدمت هذه المعاملات للجرعة. وعلى ضوء العمر النصفي البيولوجي والفيزيائي للنويدات المشعة التي تسفر عن جرعة كبيرة في الغدة الدرقية (نظائر اليود والتلوريوم) فإن معاملات الجرعة كانت تتعلق في الواقع بفترة إيداع أقل كثيراً من ٣٦٥ يوماً؛ ومع ذلك فقد تم اختبار فترة إيداع ( $\Delta$ ) مدتها ٣٦٥ يوماً لهذا المستوى المرجعي ( $\Delta$ )  $RD_{5L}^L$  للإشارة إلى فترة إيداع تتجاوز العديد من الأعمار النصفية الفعالة.

### أولاً-٣- النهج القائم على المخاطر لتقييم بدء حدوث آثار قطعية

استخدم النهج القائم على المخاطر في حساب قيم D عتبات للجرعة المرجحة بالفعالية البيولوجية النسبية في العضو أو النسيج المعرض لخطر إشعاعي عند تقييم بدء حدوث آثار قطعية عنيفة:

- (أ) عند تقييم التعرض الخارجي، يعبر عن العتبات من حيث الجرعة المرجحة بالفعالية البيولوجية النسبية  $AD_{T,05}$ . وترد هذه العتبات في الجدول ٨؛
- (ب) عند تقييم التعرض الداخلي، يعبر عن العتبات من حيث الجرعة المودعة المرجحة بالفعالية البيولوجية النسبية ( $\Delta$ )  $AD_{T,05}$ . وترد هذه المستويات في الجدول ٩.

ومستوى العتبة للجرعة هو المستوى الذي يسفر نظرياً عن أثر في ٥ في المائة من الأشخاص المعرضين.

واقتراح سكوت (Scott) في البداية النموذج الفيزيائي الحيوي المستخدم في النهج القائم على المخاطر لتقدير الآثار القطعية العنيفة في عام ١٩٨٠ [٣٠، ٢٩]. وتم وضع نموذج المخاطر للربط بين الآثار القطعية العنيفة والبارامترات المترتبة بها باستخدام البيانات المتاحة عن التجارب التي أجريت على الحيوانات وتحليل حالات التعرض البشري. وتشبه الصياغة الحسابية للنموذج دالة الاحتمالية المستخدمة في نظرية العولية ويرد بيانها في المرجع NUREG/CR-4214 [١٥]، ويبيّن المرجع [١٥] استخدام هذا النموذج بالتفصيل في النهج القائم على المخاطر.

#### الجدول ٨: عتبات الجرعة المرجحة بالفعالية البيولوجية النسبية الناتجة عن التعرض الخارجي

مستوى العتبة	العنصر أو النسيج	الأثر	التعرض
الرمز <sup>١</sup>	القيمة	المعرض لخطر إشعاعي (مكافئ غرافي)	
TD <sub>1</sub>	٢٥	نخر النسيج الرخو <sup>٢</sup> (النسيج ١)	التعرض الموضوعي من مصدر قريب
TD <sub>6R</sub>	١٠ <sup>٣</sup>	أدمة الجلد (النسيج ٦R)	التعرض عن طريق ملامسة تلوث سطحي
TD <sub>7</sub>	١١ <sup>٤</sup>	الجذع (النسيج ٧)	عرض الجسم بأكمله للإشعاع من مصدر بعيد أو عن طريق الغمر

يمكن الرجوع إلى بيان الرموز والمؤشرات القياسية في المرفقين الأول والثاني.

النسيج الرخو في مساحة تبلغ ١٠٠ سم<sup>٢</sup> بعمق يصل إلى نحو ٥ سنتيمتر تحت سطح الجسم.

القيمة هي عتبة الجرعة الدنيا التي ينشأ عنها أي أثر قطعي عنيف نتيجة للتشريع المنتظم للجسم بأكمله. وتم اختيار عتبة تبلغ ١ غرافي لأنـه الحد الأدنى للعتبات التي يبدأ عندها حدوث آثار قطعية عنيفة في النخاع العظمي الأحمر والغدة الدرقية وعدسة العين والأعضاء التناسلية حسب ما هو وارد في الجدول الأول - ٣ من المرجع [١٥].

يففترض أن التعرض عند هذا المستوى في مساحة لا تقل عن ١٠٠ سم<sup>2</sup> من الجلد مطلوب حتى تنشأ آثار صحية قطعية [١٢]. وهذه الجرعة تتلقاها هيكل الجلد على عمق ٤٠ ملـغ/سم<sup>٢</sup> (أو ٤٠ ملـيمتر) تحت سطح الجلد.

**الجدول ٩: عتبات الجرعة المودعة المرجحة بالفعالية البيولوجية النسبية الناتجة عن التعرض الداخلي**

العينة	العضو أو النسيج المستهدف	الأثر	مسار التعرض
الرمز	قيمة (مكافئ غراري) (يوم)		
TD <sub>2</sub> (Δ)	٣٠	٠,٢ ٠٢	الاستنشاق والابتلاع متلازمة تكثين الدم (النسيج ٢)
TD <sub>3R</sub> (Δ)	٣٠	المنطقة السنخية - الخالية من الجهاز التنفسي التهاب الرئة (النسيج 3R)	الاستنشاق
TD <sub>4</sub> (Δ)	٢٠	القولون متلازمة الجهاز المعدني (النسيج ٤) المعوي	الاستنشاق والابتلاع
TD <sub>5</sub> (Δ)	٣٦٥	قصور الغدة الدرقية الغدة الدرقية (النسيج ٥)	الاستنشاق والابتلاع

أ يمكن الرجوع إلى بيان الرموز والمؤشرات القياسية في المرفقين الأول والثاني.  
ب حالاترعاية الطبية الداعمة.

ج تختلف العمليات الحركية الحيوية في النويدات المشعة التي يكون عددها الذري  $Z \leq 90$  مقارنة بالنويات المشعة التي يكون عددها الذري  $Z \geq 89$ ، وبالتالي تختلف ديناميات تكون الجرعة في النخاع الأحمر نتاجة للتعرض الداخلي. ولذلك قسمت النويات المشعة إلى مجموعتين لتلافي الإفراط في التحوط عند تقييم خطر الأثر الصحي المعنى.

د للنويات المشعة التي يكون عددها الذري  $Z \leq 90$ .

ه للنويات المشعة التي يكون عددها الذري  $Z \geq 89$ .

و استخدمت القيمة المأخوذة من التذليل أ في المرجع [١٢].

ز بالنظر إلى العمر النصفي البيولوجي والفيزيائي للنويات المشعة التي تسفر عن جرعة كبيرة في الغدة الدرقية (نظائر اليود والتلوريوم) فإن هذه المعاملات تتعلق في الواقع بفترة إيداع أقل كثيراً من ٣٦٥ يوماً؛ ومع ذلك فقد عيّنت لهذا المستوى المرجعي فترة إيداع (Δ) مدتها ٣٦٥ يوماً.

ووفقاً لنموذج المخاطر فإن خطر حدوث آثار صحية قطعية في عضو أو نسيج T،  $R_{S,T}$ ، يتوقف على دالة الخطورة التي تميز أثراً معيناً. وتتوقف دالة الخطورة  $H_T\{T_S, \dot{AD}_T(t)\}$  على تاريخ التعرض خلال فترة التعرض ( $T_S, 0$ )، حسب ما هو محدد في سيناريو التعرض S. والصيغة العامة المستخدمة في التعبير عن دالة الخطورة في المرجع [١٤] هي:

$$(6) \quad H_T\{T_S, \dot{AD}_T(t)\} = [\ln(2)] \left[ \int_0^{T_S} \frac{\dot{AD}_T(t)}{\theta_T^\infty + \theta_T^1 / \dot{AD}_T(t)} dt \right]^{V_T}$$

حيث:

$\dot{AD}_T(t)$  هو معدل الجرعة الفورية المرجحة بالفعالية البيولوجية النسبية في العضو أو النسيج T في الزمن t من بداية التعرض، ((مكافئ غراري)/ساعة)؛

$\theta^{\circ}$  هو بارامتر يميز الحساسية الإشعاعية في عضو أو نسيج معين، وهو يساوي القيمة المقاربة للجرعة المرجحة بالفعالية البيولوجية النسبية التي تسفر نظرياً عن حالة تؤثر على ٥٠ في المائة من الأشخاص الذين يتعرضون لمعدل جرعة مرتفع بدرجة كبيرة (تعرض لفترة وجيزة)، (مكافئ غراري)؛

$\theta^1$  هو بارامتر يميز فعالية إصلاح الإصابة الإشعاعية، ((مكافئ غراري)  $^1/\text{ساعة}$ )؛

$V_T$  هو بارامتر يحدد شكل (انحدار) منحنى الاستجابة للجرعة التي تنشأ عنها آثار صحية قطعية في العضو T. ويعكس شكل منحنى الاستجابة للجرعة تفاوتية في الحساسية الإشعاعية البشرية والقدرة على تعويض الإصابة المستحثة بالإشعاع في العضو أو النسيج.

ويتضمن الجدول ١٠ بارامترات نموذج المخاطر [١٥] المستخدمة في النهج القائم على المخاطر.

#### الجدول ١٠: البارامترات المستخدمة في النهج القائم على المخاطر لمجموعة مختارة من الآثار الصحية القطعية العنيفة

$V_T$	البارامتر $\beta$			العرض المعرّض للخطر الإشعاعي	العرض العرض المعرّض للخطر الإشعاعي	التأثير على الصحة
	$\theta^1_T$ مكافئ غراري) $^1/\text{ساعة}$	$\theta^{\circ}_T$ مكافئ غراري)	الفعالية البيولوجية النسبية			
	٦	٤,٥	١			
٦	٠,١	٤,٥	١	خارجي $\gamma$		متلازمة تكوين الدم $\Delta$
			٣	خارجي $n^0$	النخاع	
١٢	٣٠	٠١٠	١	داخلي $\beta, \gamma$	الأحمر	التهاب الرئة $\delta$
			٢	داخلي $\alpha$		
١٠	٤	١٥	١	داخلي $\beta, \gamma$	الرئة $\delta$	التهاب الرئة $\delta$
			٧	داخلي $\alpha$		
٥	غير مقدر	غير مقدر	٤	خارجي $\beta, \gamma$	القولون	متلازمة الجهاز المعدني المعوي $\Delta$
			١٥	خارجي $\alpha$		
١,٩	غير مقدر	غير مقدر	٣	داخلي $n^0$	القولون	متلازمة الجهاز المعدني المعوي $\Delta$
			٢٠	خارجي $\beta, \gamma$		
٥٥	غير مقدر	غير مقدر	٢٠	خارجي $\beta, \gamma$	الجلد $\delta$	التقشر الربطي $\Delta$
			١	خارجي $\beta, \gamma$		
١,٩	غير مقدر	غير مقدر	٠,٢	الأخذ الداخلي لبعض نظائر اليود $\Delta$	الغدة الدرقية	التهاب الغدة الدرقية $\Delta$
			٢٤٠	مواد أخرى المتراكمة في الغدة الدرقية		
٥٥	غير مقدر	غير مقدر	١	الأخذ الداخلي لبعض نظائر اليود $\Delta$	الدرقية	الإشعاعي الحاد $\Delta$
			١	مواد أخرى المتراكمة في الغدة الدرقية		
٥٥	غير مقدر	غير مقدر	١	النسيج الرخوة	النخر	أ
			٢٥	خارجي $\beta, \gamma$		

أ يشمل التعرض الخارجي  $\beta, \gamma$  الجرعة الناشئة عن الإشعاع الصدمي المتكون داخل مواد المصدر.

ب التقدير المركزي للفيما.

ج الحالات التي تتلقى علاجاً طبياً داعماً. وتبلغ قيمة  $\theta^{\circ}_T$  في الحالات التي تتلقى الحد الأدنى من العلاج ٣ من مكاففات

الغراري، وأما قيمة  $\theta^1_T$  فتبلغ ٠٠٧ (مكافئ غراري)  $^1/\text{ساعة}$  [١٢]

د قيم  $\theta^{\circ}_T$  الواردة في الجدول تتلقي التشيع الرئة لدى الأطفال ولدى الكبار الذين يبلغ عمرهم ٤٠ عاماً أو أقل. وينبغي

هـ قسمة تلك القيم على ٢ في حالة الأشخاص الذين يزيد عمرهم عن ذلك [١٢، و [١٤، الجدول ٤-٢].

هـ يفترض في حالة مربعات ألفا الموزعة توزيعاً متساوياً في محتوى القولون أن تشيع جدران الأمعاء لا يذكر.

يتعلق ذلك بمساحة الجلد التي تبلغ ١٠٠ سم<sup>٢</sup> وئعد خطراً يشكل تهديداً للحياة [١٢]. وينبغي حساب جرعة الجلد على عمق ٠,٤ ملليمتر على النحو الموصى به في المرجع [١٩] والفرات (٣٠٥)، و(٣٠٦)، و(٣١٠) من المرجع [١٧] والقسم ١-٤-٣ من المرجع [١٨].

ز يُفترض أن احتمالات حدوث آثار صحية قطعية بسبب التشعيع المنتظم للنسيج المعرض لخطر إشعاعي في الغدة الدرقية تزيد خمسة أضعاف على احتمالات الإصابة بذلك الآثار نتيجة للتعرض لنظائر اليود المنخفضة الطاقة المبتاعدة لليبيتا، مثل اليود - ١٣١، والليود - ١٢٩، والليود - ١٢٥، والليود - ١٢٤، والليود - ١٢٣ [١٢]. وتتوزع النويدات المشعة المتراكمة في الغدة الدرقية توزيعاً متغيراً في أنسجة الغدة الدرقية. ويبيّن اليود - ١٣١ جسيمات بيتا ذات طاقة منخفضة يمكن أن تفضي إلى تقليل فعالية تشعيع أنسجة الغدة الدرقية المعرضة لخطر إشعاعي بسبب تشتت طاقتها في أنسجة أخرى. وتقابل القيمة الواردة للجرعة  $\theta^{\infty}$  جرعة ممتصة مودعة في الغدة الدرقية قدرها ١٢٠٠ غرافي نتيجة لحدث تعرض داخلي بعد الأخذ الداخلي للليود - ١٣١.

ح تنشأ آثار قطعية عنيفة عن النسيج الذي يصل عمقه إلى ٥٠ سنتيمتر تحت سطح الجسم في مساحة تزيد على ١٠٠ سم<sup>٢</sup>. [٢٥]

ط تشير إلى شدة انحدار دالة الخطورة.

ولم ينظر النموذج القائم على المخاطر في حدوث أثر قطعي في وقت معين، مثل احتمال الوفاة في غضون أيام أو أسابيع بعد التشعيع، ولكنه حدّد قيمة  $R_{S,T}$  (كنسبة مؤدية) بهذه الصيغة:

$$(7) \quad R_{S,T} = 1 - \exp \left[ -H_T \{T_S, \dot{AD}_T(t)\} \right]$$

وتناولت السيناريوهات المنطقية على تعرض خارجي (التذليل الثاني، السيناريوهات الأول والثاني والخامس والسادس) المستخدمة في حساب قيم  $D$ ، التعرض بمعدل ثابت للجرعة. ويبين المرجع [١٥] دالة الخطورة للحالة الخاصة بالposure بمعدل ثابت للجرعة:

$$(8) \quad H_T(AD_T) = [\ln(2)] \left[ \frac{\dot{AD}_T \times T_S}{AD_{T,50}} \right]^{V_T}$$

حيث:

$AD_{T,50}$  هي قيمة الجرعة المرجحة بالفعالية البيولوجية النسبية التي تسفر نظرياً عن الحالة التي تؤثر على ٥٠ في المائة من الأشخاص المعرضين؛

$$(9) \quad AD_{T,50} = \theta_T^{\infty} + \theta_T^1 \left( \dot{AD}_T \right)^{-1}$$

حيث:

$\dot{AD}_T$  هو المعدل الثابت للجرعة المرجحة بالفعالية البيولوجية النسبية في العضو أو النسيج  $T$ ، ((مكافئ غرافي)/ساعة)؛

$T_S$  هي مدة التشعيع (ساعة)، وتحدد في السيناريو المعنى وترتدى في الجدول ١١؛

$\theta_T^1$  و  $\theta_T^{\infty}$  هي بارمترات دالة الخطورة الواردة في الجدول ١٠.

ولأغراض النهج القائم على المخاطر، استخدمت قيمة الجرعة المرجحة بالفعالية البيولوجية النسبية المؤثرة نظرياً على ٥ في المائة من الأشخاص المعرضين،  $AD_{T,05}$  ، باعتبارها عتبة جرعة التعرض الخارجي بمعدل ثابت للجرعة  $TD_T$ . وهذه القيمة هي حل المعادلة [٧] حيث  $R = 5\%$ .

$$(10) \quad TD_T = \left[ \theta_T^\infty + \theta_T^1 \left( \dot{AD}_T \right)^{-1} \right] \times \exp \left( -\frac{2.6}{V_T} \right)$$

ولم ينظر نموذج المخاطر في الشفاء وتغير إصابة نسيج رخو. ولذلك فإن قيمة عتبة الجرعة المرجحة بالفعالية البيولوجية النسبية لهذا الأثر  $TD_1$  تساوي  $\theta_1^\infty$  ولا تتوقف على تاريخ التعرض. ولم ينظر نموذج المخاطر في الشفاء وتغير حدوث إصابة في الجذع والنخاع الأحمر. ولم ينظر نموذج أيضاً إلا في تغير حدوث إصابة في الجلد. ولذلك فإن قيم عتبة الجرعة المرجحة بالفعالية البيولوجية النسبية لتلك الآثار أقل من القيم المناظرة التي تبلغ  $\theta_1^\infty$  على النحو المحدد بالمعادلة [١٠]. ويتضمن الجدول ٨ قيم عتبة الجرعة اللازمة للنظر في حدوث آثار قطعية.

وفي حالة التعرض الداخلي بسبب أخذ داخلي لنويدة مشعة فإن معدل الجرعة المرجحة بالفعالية البيولوجية النسبية ( $AD_T$ ) في أي عضو أو نسيج يتوقف على الزمن المحدد بالحركة الحيوية لـالنويدة المشعة في جسم الإنسان باستخدام هذه المعادلة:

$$(11) \quad \dot{AD}_T(t) = I \times \dot{Ad}_T(t)$$

حيث:

I هو الأخذ الداخلي لـالنويدة المشعة المعنية؛

$\dot{Ad}_T(t)$  هو معدل الجرعة المرجحة بالفعالية البيولوجية النسبية في العضو T في الزمن t بعد أخذ بكريل من هذه النويدة المشعة.

ويتضمن المرجع [١٥] دالة الخطورة للحالة الخاصة التي يعبر فيها عن تاريخ التعرض بالمعادلة [١١]:

$$(12) \quad H_T(I) \cong [\ln(2)] \times (I)^{2 \times V_T} \times \left[ \int_0^\infty \frac{\dot{Ad}_T(t)}{I \times \theta_T^\infty + \left( \dot{Ad}_T(t) \right)^{-1} \theta_T^1} dt \right]^{V_T}$$

حيث:

I هو الأخذ الداخلي لـالنويدة المشعة المعنية؛

$\dot{Ad}_T(t)$  هو معدل الجرعة المرجحة بالفعالية البيولوجية النسبية في العضو T في الزمن t بعد أخذ داخلي لمقدار يبلغ ١ بكريل من هذه النويدة المشعة؛

$V_T$  ،  $\theta_T^1$  ،  $\theta_T^\infty$  هي بارامترات دالة الخطورة على النحو الوارد في الجدول ١٠.

ويتميز خطر حدوث آثار قطعية عنيفة بعد أخذ داخلي لنويدة مشعة بعتبة للأخذ الداخلي  $I_{T,05}$  تساوي الأخذ الداخلي لمادة مشعة تؤدي نظرياً إلى حدوث آثار قطعية عنيفة في العضو T في ٥ في المائة من الأشخاص المعرضين. ويمكن الحصول على قيمة  $I_{T,05}$  لأي نويدة مشعة ولمسار الأخذ الداخلي من الحل العددي للمعادلة (٧) حيث  $R = 5\% \text{ دالة الخطورة المحسوبة بالمعادلة } (12)$ . وتنتمي قيمة  $I_{T,05}$  في مسار الدخول المعين والأثر المعين إلى الخواص الكيميائية والفيزيائية للنويدة المشعة حسب ما هو مبين في المرجع [١٥]. ويتبين من حساب النموذج أن تلك القيم متقارنة في المقادير الأساسية بسبب العمر النصفي للنويدة المشعة. وتقل درجة كبيرة، وإن كانت موجودة أيضاً، آثار الشكل الكيميائي للأريوسول (نوع الامتصاص) والحجم (قطر النشاط الحركي الهوائي الوسطي). وإنما فإن قيم  $I_{T,05}$  متباينة بين ثمانى قيم أساسية للنويدات المشعة الواردة في الجدول ١. ولذلك لم يكن ممكناً استخدام هذه الكمية كقيمة حدية عامة ملائمة لتقدير التعرض الداخلي الناجم عن دخول أي نويدة مشعة إلى الجسم. ومن الحلول العملية لهذه الصعوبة استخدام الجرعة المودعة المرجحة بالفعالية البيولوجية النسبية المحسوبة بالمعادلة (٤) بدلاً من أن يكون الأخذ الداخلي هو الأساس الذي تستند إليه معايير التصدي للطوارئ. ويمثل ذلك دالة حسابية لتحويل الأخذ الداخلي لمادة مشعة (النشاط المأمور إلى جسم الإنسان) إلى كمية لقياس الجرعة. وعتبة الأخذ الداخلي هي مقلوب دالة نصف عمر النويدة المشعة، ولذلك كلما تناقص نصف العمر كلما ازدادت عتبة الأخذ الداخلي. وهناك ارتباط عكسي في معامل تحويل الجرعة المودعة، إذ كلما نقص العمر النصفي، كلما انخفض معامل التحويل. وهكذا إذا كانت قيمة  $\Delta$  مثالية فإن تحويل عتبة الأخذ الداخلي إلى قيمة عتبة الجرعة المودعة المرجحة بالفعالية البيولوجية النسبية يمكن أن يؤدي إلى نقص كبير في قيم العتبات. وتبيّن من المرجع [١٥] أن قيمة ٣٠ يوماً للفترة  $\Delta$  تعتبر مثالية. مثل ذلك أن تحويل قيمة عتبة الأخذ الداخلي إلى عتبة لجرعة مرحلة مرحلة بالفعالية البيولوجية النسبية مدتها ٣٠ يوماً في حالة التهاب الرئة الإشعاعي يؤدي إلى انخفاض في مدى قيم العتبات من ٨ قيم أساسية إلى ثلاثة أضعاف فقط.

ويتضمن الجدول ٩ مستويات العتبات لجرعة المودعة المرجحة بالفعالية البيولوجية النسبية نتيجة للتعرض الداخلي، وهذه المستويات مستخدمة في النهج القائم على المخاطر لحساب قيم  $D_2$ . وقيمة عتبة الجرعة المودعة المرجحة بالفعالية البيولوجية النسبية المقابلة لقيمة عتبة الأخذ الداخلي على امتداد فترة زمنية  $\Delta$  بعد الأخذ الداخلي هي:

$$(13) \quad TD_T(\Delta) = \int_0^{\Delta} \dot{AD}_{T,05}(t) dt = I_{T,05} \times \int_0^{\Delta} \dot{Ad}_T(t) dt = I_{T,05} \times AF_{T,S}(\Delta)$$

حيث:

$I_T$  هي قيمة عتبة الأخذ الداخلي الذي ينشأ عنه حدوث أثر صحي قطعي عنيف في العضو T (بالبكريل)؛

$\dot{Ad}_T(t)$  هو معدل الجرعة المرجحة بالفعالية البيولوجية النسبية في العضو T في الزمن t بعد أخذ ١ بكريل من النويدة المشعة المعنية؛

$AF_{T,S}(\Delta)$  هو معامل لتحويل الجرعة المودعة المرجحة بالفعالية البيولوجية النسبية نتيجة للتعرض الداخلي في العضو T بعد أخذ داخلي لنويدة مشعة من خلال مسار محدد في السيناريو S، ((مكافئ غرافي)/بكريل).



## **التذليل الثاني**

### **سيناريوهات تحديد قيم D**

#### **ثانياً- ١- التعرض لمادة غير مشتقة**

يقصد في هذا التقرير بالمادة المشعة غير المشتقة مصدر مشع غير مدرّع وغير مغلف. وبالنظر إلى أن المادة المشعة تكون مختومة فإن التقرير لا يتناول سوى التعرض الخارجي من مادة مشعة غير مشتقة.

وتم النظر في سيناريوهين ينطويان على تعرض موضعي لمصدر قريب عند تحديد كمية خطيرة من مصدر:

- (أ) سيناريو “اليد” ينطوي على مصدر محمول في اليد؛
- (ب) سيناريو “الجيب” ينطوي على مصدر محمول في الجيب.

ويشير التاريخ إلى أن المدة التي من المحتمل أن يُحمل فيها المصدر على الجسم (في الجيب مثلاً) تقتصر على ١٠ ساعات تقريباً، وتقتصر مدة حمله في اليد على ساعة واحدة تقريباً. ويتبين من التحليل أن سيناريو “الجيب” أكثر تقيداً من سيناريو “اليد”， ولذلك استخدم هذا السيناريو عند حساب قيم D للمصادر الصغيرة بالقدر الذي يسمح بحملها في اليد أو وضعها في الجيب.

#### **ثانياً- ١-١- السيناريو الأول: سيناريو “الجيب”**

يشار إلى السيناريو الأول باسم سيناريو “الجيب”. واستخدم هذا السيناريو لتحديد مقدار المادة المشعة غير المدرّعة التي تعتبر خطيرة كمصدر للتعرض الخارجي الموضعي إذا كانت قريبة من جسم الإنسان. والتعرض الخارجي من مصدر غير مدرّع محمول في اليد أو موضوع في الجيب هو السبب الأكثر شيوعاً للإصابات الشديدة والوفيات المستحثة بالإشعاع التي تنطوي على مصادر غير خاضعة للسيطرة (مسروقة أو مفقودة (انظر التذليل السادس).

وتشير التجربة أيضاً [٢٧] إلى أن نخر النسيج الرخو المستحث بالإشعاع في مساحة تتراوح بين ٥٠ و ١٠٠ سم² وبعمق يصل إلى نحو ٥،٠ سنتيمتر في أجزاء كثيرة من الجسم (مثل الفخذ أو الصدر) نتيجة لحمل مصدر في جيب يمكن [٣١، ٢٦] أن يفضي إلى انتفاuchi الكبير من نوعية الحياة. وتكشف التجربة أيضاً [٣٢] عن أن المصدر محمول في الجيب يتحرك جانبياً وطولياً على مر الزمن.

وبحسب معاملات تحويل الجرعة من مصدر قريب (سيناريو الجيب) بطريقة تحاكي الجرعة التي تنشأ عن مصدر متحرك وتسفر عن نخر في الطبقة السطحية للنسيج الرخو في مساحة تتراوح بين ٥٠ و ١٠٠ سم². ويرد بيان ذلك في التذليل الرابع.

ويفترض أيضاً أنه من غير المعقول حمل كتلة قدرها ٥٠٠ غرام. ولذلك حددت هذه القيمة باعتبارها حد الكتلة في سيناريو “الجيب”. ويتضمن الجدول ١١ بارامترات السيناريو الأول.

ويعبّر في النهج المبني على الخبرة عن متوسط الجرعة الممتصة في النسيج الرخو وفقاً لسيناريو الجيب بالصيغة التالية:

$$(١٤) \quad D_{I,I}^{L+H}(A) = DF_{I,I}^{L+H} \times T_I \times A$$

حيث:

$D_{I,I}^{L+H}(A)$  هي الجرعة الممتصة (غراي) في النسيج الرخو من مصدر نشاط قریب A وفقاً لسيناريو الجيب؛

$DF_{I,I}^{L+H}$  هو معامل تحويل معدل الجرعة الممتصة في النسيج الرخو وفقاً لسيناريو الجيب (غراي/ بكرييل  $\times$  ثانية)، وهذا المعامل محدد في حالة الإشعاع ذي الانتقال الخطى المرتفع للطاقة في الجدول ١٣، وأما في حالة الإشعاع ذي الانتقال الخطى المنخفض للطاقة فإنه يساوى عددياً معامل تحويل معدل الجرعة المرجحة بالفعالية البيولوجية النسبية  $AF_{I,I}$ ، ويرد في الجدول ١٥؛

$T_I$  هي مدة التعرض في السيناريو الأول (بالثانية) وتحدد في الجدول ١١؛

A هو النشاط الأولي للنويدة المشعة المعنية في المصدر القريب (بلكرييل).

ويستخدم النهج القائم على المخاطر العادلة التالية لتحديد الجرعة الممتصة المرجحة بالفعالية البيولوجية النسبية (مكافئ غراي) في النسيج الرخو وفقاً لسيناريو الجيب نتيجة للتعرض لمصدر نشاط قریب A:

$$(١٥) \quad AD_{I,I}(A) = AF_{I,I} \times T_I \times A$$

حيث:

$AD_{I,I}(A)$  هي الجرعة المرجحة بالفعالية البيولوجية النسبية في النسيج الرخو وفقاً لسيناريو الأول نتيجة للتعرض لمصدر نشاط قریب A، (مكافئ غراي)؛

$AF_{I,I}$  هو معامل تحويل معدل الجرعة المرجحة بالفعالية البيولوجية النسبية للجرعة الممتصة (غراي) في النسيج الرخو وفقاً لسيناريو الجيب ((مكافئ غراي)/بكرييل  $\times$  ثانية)، ويرد في الجدولين ١٤ و ١٥؛

$T_I$  هي مدة التعرض في السيناريو الأول (بالثانية)؛ وترد في الجدول ١١؛

A هو النشاط الأولي للنويدة المشعة المعنية في المصدر القريب (بكرييل).

## ثانياً - ٢- السيناريو الثاني: سيناريو "الغرفة"

يشار إلى السيناريو الثاني باسم سيناريو "الغرفة". واستخدم هذا السيناريو لتحديد مقدار المادة المشعة التي تعتبر خطيرة إذا تركت غير مدرّعة في منطقة مأهولة (غرفة نوم أو مكان عمل) لفترة زمنية طويلة. ويعتبر التعرض الخارجي لإشعاع من مصدر بعيد غير مدرّع في غرفة سبباً شائعاً للإصابات الشديدة والوفيات المستحثة بالإشعاع التي تتطوّي على مصادر "مسروقة أو مفقودة" غير خاضعة للسيطرة (انظر التذليل السابع). وافتراض في هذا السيناريو أن الجسم بأكمله تعرض لمصدر غير مغلف وغير مدرّع من مسافة متراً واحد تقريباً لمدة ١٠٠ ساعة.

وهناك ارتباط قوي بين بدء ظهور الآثار القطعية العنيفة نتيجة لعرض الجسم بأكمله ومعدل الجرعة ومدة التعرض. وتشير التجربة [١٣، ١٥] إلى أن معدل الجرعة الذي يمكن أن يسفر عن جرعة ممتصة تزيد على المستويات المرجعية في غضون ١٠٠ ساعة (مثل ١٠ ملي غرافي/ساعة في النخاع الأحمر) حد أدنى معقول للتقدير. ونحصل من ذلك على معدل التعرض الذي يمكن أن يسفر عن آثار قطعية عنيفة نتيجة لعرض لمصدر غير خاضع للسيطرة ومحتفظ به عن غير معلم في مكان قريب (غرفة مثلاً). ومن الملائم بشكل خاص أن يكون التعرض مجزئاً. وهذه الافتراضات تؤيدتها التجربة المؤكدة التي أشارت إلى أن أصغر مصدر (انظر التذييل السابع) نجمت عنه إصابات قاتلة عارضة في سيناريو الغرفة أعطى معدل جرعة تراوحت بين ٢٠ و ٥٠ ملي غرافي/ساعة على مسافة متر واحد، وبالتالي فإن مدة التعرض المحددة في سيناريو "الغرفة" هي ١٠٠ ساعة.

وإذا كانت الكتلة المطلوبة لإحداث معدل جرعة قدره ١٠ ملي غرافي/ساعة من مصدر غير مدرع هي  $1 \times 10^1$  غرام، ينبغي حينئذ اعتبار المصدر غير محدود، إذ من شبه المستحيل لتلك الكتلة أن تنتج هذا المعدل للجرعة بسبب القيود الناشئة عن التدريع أثناء التخزين. وبالتالي فقد حدّدت كتلة قدرها  $1 \times 10^1$  غرام كحد الكتلة في سيناريو "الغرفة". وترد باراتيرات السيناريو الثاني في الجدول ١١.

واستخدم النهج المبني على الخبرة لعرض الجزء للإشعاع من مصدر على مسافة متر واحد لتحديد قيم  $D_{II}$  وفقاً للسيناريو الثاني. ويفترض لأغراض التبسيط أن الجرعة التي يتلقاها النخاع العظمي الأحمر يمكن استخدامها لتقرير الجرعة التي تتلقاها كل الأعضاء في الجزء. وتحسب الجرعة الممتصة في الجزء نتيجة لعرض لمصدر مشع ذي نشاط أولي  $A$  على مسافة متر واحد بالمعادلة التالية:

$$(16) \quad D_{7,II}^{L+H}(A) = DF_{2,II}^{L+H} \times T_{II} \times A$$

حيث:

$D_{7,II}^{L+H}(A)$  هي الجرعة الممتصة في الجزء على مسافة متر واحد من مصدر ذي نشاط  $A$  (غرافي)؛

$DF_{2,II}^{L+H}$  هو معامل تحويل معدل الجرعة الممتصة نتيجة لعرض النخاع الأحمر لمصدر خارجي على مسافة متر واحد من الجسم، (غرافي)/(بكريل  $\times$  ثانية). ويرد ذلك في الجدول ١٣ في حالة الإشعاع ذي الانتقال الخطي المرتفع للطاقة، وأما في حالة الإشعاع ذي الانتقال الخطي المنخفض للطاقة فهو يساوي عديماً معامل تحويل معدل الجرعة المرجحة بالفعالية البيولوجية النسبية حسب ما هو وارد في الجدول ١٥؛

$T_{II}$  هي مدة التعرض وفقاً للسيناريو الثاني (بالثانية) وترد في الجدول ١١؛

$A$  هو النشاط الأولي للنوبيدة المشعة المعنية في المصدر البعيد، (بالبكريل).

ويستخدم النهج القائم على المخاطر لعرض الجزء للإشعاع من مصدر على مسافة متر واحد لتحديد قيم  $D_{II}$  وفقاً للسيناريو الثاني. ويفترض لأغراض التبسيط أن الجرعة التي يتلقاها النخاع العظمي الأحمر يمكن استخدامها لتقرير الجرعة التي تتلقاها كل الأعضاء في الجزء. وتحسب الجرعة المرجحة بالفعالية

---

٦ يفترض لأغراض التبسيط أن الجرعة التي يتلقاها النخاع العظمي الأحمر يمكن استخدامها لتقرير الجرعة التي تتلقاها كل الأعضاء في الجزء.

البيولوجية النسبية في الجذع نتيجة للتعرض لمصدر ذي إشعاع أولى A على مسافة متر واحد بالمعادلة التالية:

$$(17) \quad AD_{7,II}(A) = AF_{2,II} \times T_{II} \times A$$

حيث:

$AD_{7,II}(A)$  هو معدل الجرعة المرجحة بالفعالية البيولوجية النسبية في الجذع على مسافة متر واحد من مصدر ذي نشاط أولى A، (مكافئ غراري)؛

$AF_{2,II}$  هو معامل تحويل معدل الجرعة المرجحة بالفعالية البيولوجية النسبية في حالة تعرض النخاع الأحمر لإشعاع خارجي من مصدر على مسافة متر واحد، ((مكافئ غراري)/(بكريل × ثانية)) ويرد في الجدول ١٤ والجدول ١٥

$T_{II}$  هي مدة التعرض في السيناريو الثاني (بالثانية)، وترد في الجدول ١١؛

A هو النشاط الأولي للنويدة المشعة المعنية في المصدر البعيد، (بالبكريل).

## ثانياً- ٢- التعرض لمادة مشتتة

تنشأ المادة المشعة المشتتة عن التسرب أو التفكك أو تمزق مصدر مشع مختوم على أي نحو آخر، وذلك مثلاً في حريق أو انفجار (مثل جهاز نشر الإشعاعات). ويمكن لتشتت مصدر مشع يحتوي على غاز خامل مشع أن يفضي إلى تعرض الجسم بأكمله لإشعاع خارجي نتيجة للغمر في سحابة موضعية. ويمكن لتشتت مصدر مشع لا يحتوي على غاز خامل مشعل أن يفضي إلى تلوث البيئة المحيطة. ويمكن أن يتسبب هذا التلوث بدوره في حدوث تعرض داخلي وتعرض في الجلد عن طريق التلامس.

## ثانياً- ٢- السيناريوهان الثالث E والثالث R: "الاستنشاق"

يشار إلى السيناريو الثالث بأنه سيناريو "الاستنشاق". واستخدم هذا السيناريو لتحديد مقدار المادة المشعة القابلة للنشتت التي تعتبر خطيرة بسبب خطر استنشاقها. ويمكن للتعرض الداخلي نتيجة لاستنشاق مادة عالقة في الهواء أن يكون السبب وراء حدوث آثار قطعية عنيفة مستحثة بالإشعاع من مادة مشعة مشتتة نتيجة لاندلاع حريق أو وقوع انفجار.

وتتوقف خصائص جرعة المادة العالقة في الهواء على خواصها الكيميائية والفيزيائية. وفي حالة الاستنشاق، تعين المادة الحجمية واحد من ثلاثة من أنواع الامتصاص الرئوي الأساسية التي حددتها نموذج الجهاز التنفسي البشري الذي وضعته اللجنة الدولية للوقاية من الإشعاعات [٦]. وتصنف أيضاً الغازات والأبخرة المشعة، إذا استنشقت، ضمن واحدة من ثلاث رُتب استناداً إلى النمط الأولي للامتصاص في الجهاز التنفسي. وحدد النهج المبني على الخبرة (السيناريو الثالث E) والنهج القائم على المخاطر (السيناريو الثالث R) للمواد المشعة المشتتة في حالات الطوارئ أنواعاً مختلفة من الامتصاص حسب ما هو مبين بالتفصيل أدناه.

ويشار إلى مقدار المادة المشعة المستنشقة من كل مصدر بأنها "الجزء القابل للاستنشاق من الأخذ الداخلي"  $F_{III}$ . وينشأ ذلك عن عاملين اثنين: جزء الإطلاق القابل للاستنشاق من النشاط الأولي RRF، وجزء الأخذ الداخلي عن طريق الاستنشاق  $IF_H$ :

$$(18) \quad F_{III} = RRF \times IF_H$$

حيث:

(أ) الجزء الكسرى القابل للاستنشاق من عملية الإطلاق في النشاط الأولي RRF هو الجزء الكسرى للمادة القابلة للاستنشاق التي يمكن إطلاقها في أيروسولات يقل قطر نشاطها الحركي الهوائي الوسطي عن ١٠ ميكرون. وينشأ أكبر جزء كسرى قابل للاستنشاق من عملية الإطلاق من الحرائق التي تتطوّي على مواد متطرفة أو قابلة للاشتعال [٣٣] أو الانفجارات التي تتطوّي على مساحيق ناعمة [٣٤]. ويبلغ الحد الأعلى المعقول للكسر الجزئي القابل للاستنشاق من عملية إطلاق هذه الأشكال من المواد ١٠، تقريباً [٣٣، ٣٤]. والكسر الجزئي ١٠ القابل للاستنشاق من عملية إطلاق معظم المواد التي تعتبر قابلة للتشتت يتجاوز بكثير القيمة الفعلية [٣٣، ٣٤]، ولذلك استخدمت هذه القيمة المتحفظة لتقدير  $F_{III}$  في المعادلة (١٨).

(ب) الجزء الكسرى من الأخذ الداخلي عن طريق الاستنشاق  $IF_H$  هو مقدار الجزء الكسرى القابل للاستنشاق الذي يفترض أن الشخص يستنشقه في أثناء حالة الطوارئ. وافتراض أن قيمة  $IF_H$  هي  $1 \times 10^{-3}$ ، وتتفق هذه القيمة مع الجزء الكسرى للهواء الذي يستنشقه الشخص في غرفة حجمها  $300 \text{ م}^3$  لمدة  $0.5 \text{ ساعة}$  [٣٥]. وتنتجاوز هذه القيمة بكثير الجزء الكسرى من الأخذ الداخلي البالغ  $1 \times 10^{-7}$  الذي يعتبر معقولاً لشخص على مسافة ١٠٠ متر من إطلاق خارجي عالق في الهواء (مثل المواد المنطلقة من حريق أو انفجار) [٣٣]. ويسفر التركيز العالق في الهواء الذي يمكن أن ينشأ عنه أخذ داخلي يزيد على  $1 \times 10^{-10}$  عن دخان كثيف وحطام [٣٣] ويتوقع خروج الشخص من ذلك الدخان بسرعة كبيرة نسبياً. ولذلك فإن قيمة قدرها  $1 \times 10^{-3}$  ربما اعتبرت الحد الأعلى المحفوظ للجزء الكسرى من الأخذ الداخلي واستخدمت لتقدير  $F_{III}$  في المعادلة (١٨).

ولذلك يفترض أن "الجزء الكسرى من الأخذ الداخلي القابل للاستنشاق"  $F_{III}$  هو  $1 \times 10^{-4}$  من المادة المشعة الموجودة في المصدر.

وبلغ الحد الأقصى للأخذ الداخلي عن طريق الاستنشاق في أي حادث على مر التاريخ ١٠٠ غرام [٣٣]. ولذلك حُددت قيمة  $F_{III}$  التي تساوي  $1 \times 10^{-10}$  غرامات بأنها حد الكتلة لهذا السيناريو. وترد في الجدول ١١ بaramترات السيناريوهين الثالث E والثالث R.

وعَيِّنَ النهج المبني على الخبرة (السيناريو الثالث E) لجرعة الرئة والنخاع الأحمر مادة مشتتة ومستنشقة في أي نوع من أنواع الامتصاص الرئوي الذي يمكن أن يحدث في حالة تعرض الجمهور حسب ما هو وارد في الجدول الثاني - ٨ من المرجع [١١]. وافتراض هذا النهج أيضاً أن المادة المستنشقة تنتهي النوع أو الشكل الذي يسفر عن أعلى جرعة في المنطقة الصدرية من الجهاز التنفسي. وافتراضت قيمة قدرها ١ ميكرون لقطر النشاط الحركي الهوائي الوسطي في المادة الجسيمية العالقة في الهواء. وكانت المادة المستنشقة من الرتبة 'D' استناداً إلى المرجع [٢٨]. وتحسب الجرعة الممتصة المودعة في النسيج T نتيجة لاستنشاق مادة عالقة في الهواء وفقاً للنهج المبني على الخبرة باستخدام المعادلة التالية:

$$(19) \quad D_{T,III}^R(A, \Delta) = DF_{T,III}^R(\Delta) \times F_{III} \times A$$

حيث:

$D_{T,III}^R(A, \Delta)$  هي الجرعة الممتصة المودعة من الإشعاع R في الزمن  $\Delta$  بعد حدوث أخذ داخلي في العضو أو النسيج T عن طريق استنشاق مادة مشعة ناتجة عن تشتت مصدر ذي نشاط أولي A، (غراي)؛

$\Delta$ : المدة الزمنية لتحديد الجرعة المودعة، وترد في الجدول ٦؛

$DF_{T,III}^R(\Delta)$  هو معامل تحويل الجرعة الممتصة المودعة من الإشعاع R في العضو أو النسيج T نتيجة للاستنشاق؛ (غراي/بكريل)، ويرد في الجدول ١٦ والجدول ١٧؛

$F_{III}$ : الجزء الكسري من الأخذ الداخلي القابل للاستنشاق في السيناريو الثالث، ويرد في الجدول ١١؛

A: النشاط الأولي للنويدة المشعة المعنية في المصدر المشتت، (بالبكريل).

وافتراض في النهج القائم على المخاطر (السيناريو الثالث R) أن المادة المشتتة والمستنشقة لا تتغير كيميائياً بعد تشتتها وقد توجد في أي شكل عالق في الهواء وقد تُعين لأي نوع من أنواع الاستنشاق التي تحدث في حالة التعرض المهني كما هو وارد في الجدول الثاني - ٥ والجدول الثاني - ٩ من المرجع [١]. وافتراض أيضاً أن المادة المستنشقة تتنامي لنوع أو الشكل الذي يسفر عن أعلى جرعة في العضو المعنى. وافتراض قيمة قدرها ١ ميكرون لقطر النشاط الحركي الهوائي الوسطي. ويحدّد النهج القائم على المخاطر الجرعة المودعة المرجحة بالفعالية البيولوجية النسبية في النسيج T نتيجة لاستنشاق مادة عالقة في الهواء بالمعادلة التالية:

$$(20) \quad AD_{T,IIIR}(A, \Delta) = AF_{T,IIIR}(\Delta) \times F_{III} \times A$$

حيث:

$AD_{T,IIIR}(A, \Delta)$  هي الجرعة المودعة المرجحة بالفعالية البيولوجية النسبية عند الزمن  $\Delta$  بعد الأخذ الداخلي في العضو أو النسيج T عن طريق استنشاق مادة مشعة ناتجة عن تشتت مصدر ذي نشاط أولي A، (مكافئ غراي)؛

$\Delta$  هي المدة الزمنية لتحديد الجرعة المودعة، وترد في الجدول ٩؛

$AF_{T,IIIR}(\Delta)$  هو معامل تحويل الجرعة المودعة المرجحة بالفعالية البيولوجية النسبية في العضو أو النسيج T نتيجة للاستنشاق، ((مكافئ غراي)/بكريل)، ويرد في الجدول ١٨؛

$F_{III}$  هو الجزء الكسري من الأخذ الداخلي التنفسي في السيناريو الثالث، ويرد في الجدول ١١؛

A هو النشاط الأولي للنويدة المشعة المعنية في المصدر المشتت، (بالبكريل).

## ثانياً - ٢- السيناريو الرابع: سيناريو "الابتلاع"

يشار إلى السيناريو الرابع باسم سيناريو "الابتلاع". واستخدم هذا السيناريو لتحديد مقدار المادة المشعة القابلة للتشتت التي تعتبر خطيرة بسبب خطر ابتلاعها. ويمكن للتعرض الداخلي لمادة مشعة عن طريق الابتلاع أن يتسبب في آثار قطعية عنيفة مستحثة بالإشعاع من مصادر نوبيات مشعة متسلبة أو مواد مشعة قابلة للذوبان مشتتة في مسطح مائي تستخدم مياهه في الشرب.

ويشار إلى مقدار المادة المشعة المبنية بالنسبة لكتلة المصدر بأنها "الجزء الكسري من الأخذ الداخلي عن طريق الابتلاع"  $F_{IV}$ . والجزء الكسري من الأخذ الداخلي عن طريق الابتلاع في حادث جوانيا هو الأكبر على مر التاريخ [٣٦]. وشهد ذلك الحادث سرقة ونشر مصدر يحتوي على ٥١ تيرا بكريل من مسحوق السيزيوم ١٣٧ الشديد النعومة في شكل قابل للذوبان في الماء. وأسفر ذلك عن ابتلاع طفل لما يقرب من ١ جيغا بكريل من السيزيوم ١٣٧ عن غير قصد. ويمثل هذا المقدار نحو  $1 \times 10^{-10}$  من مادة المصدر. ولذلك افترض هذا السيناريو أن الأخذ الداخلي عن طريق الابتلاع غير المعتمد يبلغ  $1 \times 10^{-10}$  من المادة المشعة الموجودة في المصدر استناداً إلى هذه التجربة.

وقدّر الجزء الكسري من الأخذ الداخلي عن طريق الابتلاع بسبب تلوث مصدر مياه الشرب استناداً إلى الاعتبارات المتحفظة التالية:

- (أ) المادة المشعة قابلة للذوبان في الماء بنسبة ١٠٠ في المائة؛
- (ب) المادة المشعة ممتزجة بالتساوي في  $1 \times 10^{-1}$  لترات من الماء، أي أقل بكثير من الكمية التي تخرج من كل إمدادات المياه العامة في المدن تقريباً؛
- (ج) الشخص يتناول لتران من الماء الملوث يومياً لمدة ٥ أيام.

وتتوقع هذه الافتراضات دخول ما يقرب من  $1 \times 10^{-10}$  من مادة المصدر المشتت إلى الجسم عن طريق شرب مياه ملوثة. ولذلك من المعقول استخدام جزء كسري للأخذ الداخلي عن طريق الابتلاع ( $F_{IV}$ ) قدره  $1 \times 10^{-10}$  لكل من الابتلاع غير المعتمد وابتلاع مياه ملوثة.

وحُددت القيمة القصوى البالغة  $1 \times 10^{-7}$  غرامات كحد لكتلة المادة المشعة في السيناريو الرابع. وهذه هي نفس القيمة المستخدمة في السيناريو الثالث. وترتدي الجدول ١١ باراترات السيناريو الرابع.

والقيمة الأساسية لمعاملات تحويل الجرعة الممتصة من الأخذ الداخلي لكل وحدة عن طريق الابتلاع هي عموماً نفس القيمة الأساسية للأخذ الداخلي عن طريق الاستنشاق. وعلاوة على ذلك فإن الأخذ الداخلي المفترض للاستنشاق يزيد عشر مرات على الأخذ الداخلي عن طريق الابتلاع. ولذلك لم ينظر النهج المبني على الخبرة صراحة في الابتلاع لأن سيناريو الاستنشاق هو الغالب في الأخذ الداخلي.

وافتراض النهج القائم على المخاطر أن المادة لا تتغير كيميائياً بعد تشتتها وأنها قد تعين لنوع الابتلاع الوارد في الجدول الثاني - ٤ من المرجع [١١] الذي ينجم عنه أعلى جرعة مودعة مرّجحة بالفعالية البيولوجية النسبية في العضو المعنى. ويُحدّد النهج المبني على الخبرة الجرعة الممتصة المودعة في النسيج T نتيجة لابتلاع مادة مشتتة بالمعادلة التالية:

(٢١)

$$AD_{T,IV}(A, \Delta) = AF_{T,IV}(\Delta) \times F_{IV} \times A$$

حيث:

$AD_{T,IV}(A, \Delta)$  هي الجرعة المودعة المرجحة بالفعالية البيولوجية النسبية في الزمن  $\Delta$  بعد حدوث أخذ داخلي في العضو  $T$  عن طريق ابتلاع مادة مشعة ناتجة عن تشتت مصدر ذي نشاط أولي  $A$ ، (مكافئ غراري)؛

$\Delta$  هي المدة الزمنية لتحديد الجرعة المودعة، وترد في الجدول ٩؛

$AF_{T,IV}(\Delta)$  هو معامل تحويل الجرعة المودعة المرجحة بالفعالية البيولوجية النسبية في العضو  $T$  نتيجة للابتلاع ((مكافئ غراري)/بكريل)، ويرد في الجدول ١٩؛

$F_{IV}$  هو الجزء الكسري من الأخذ الداخلي عن طريق الابتلاع في السيناريو الرابع، ويرد في الجدول ١١؛

$A$  هو النشاط الأولي للتوكيد المشعة المعنية في المصدر المشتت، [بكريل].

### ثانياً - ٣- السيناريو الخامس: سيناريو "التلوث"

يشار إلى السيناريو الخامس باسم سيناريو "التلوث". واستخدم هذا السيناريو لتحديد مقدار المادة المشعة القابلة للتشتت التي تعتبر خطيرة بسبب تشيع منطقة موضعية في الجلد عن طريق التلامس. ويمكن لعرض الجلد لإشعاع خارجي مباشر من مادة مشعة موزعة على منطقة موضعية في سطح الجسم أن يتسبب في آثار صحية قطعية عنيفة في الجلد. وتكشف التجربة أيضاً [٣٧] أن الآثار القطعية العنيفة في الجلد تصاحب تعرض الجسم بأكمله، ويمكن أن تؤدي إلى إصابات أخرى مستحثة بالإشعاع وتفضي إلى الموت. وفي هذا السيناريو، استخدم سيناريو تلوث الجلد نقاً عن المرجع [٣٥] لتحديد البارامترات. ويفرض السيناريو الخامس تسرب جزء كسري قدره  $1 \times 10^{-10} F_v$  في الجدول ١١ من المادة المشعة في مصدر وحدث تلوث سطحي منتظم في مساحة قدرها  $1 m^2$  (في الجدول ١١). وبفضي هذا التلوث السطحي بعد ذلك إلى تلوث الجلد بنسبة ١٠ في المائة من القيمة السطحية ( $R_v$  في الجدول ١١). ويفرض تعرض الجلد لمدة ٥ ساعات ( $T_v$  في الجدول ١١).

وافرض أن أكبر سُمك للتلوث غير الخاضع للسيطرة في اليد هو  $0,1$  غرام/سم<sup>٢</sup> تقريباً. ولذلك حددت قيمة قدرها  $1 \times 10^{-10}$  غرام كحد لكتلة المادة القابلة للتشتت وأخذت في الحسبان بارامترات التعرض المباشر عن طريق ملامسة المادة المشتتة. ويتضمن الجدول ١١ بارامترات السيناريو الخامس.

واستخدم النهج المبني على الخبرة والنهج القائم على المخاطر السيناريو الخامس لتقييم الجرعة التي تتلقاها مختلف مناطق الجلد عن طريق التعرض بالتلامس حسب ما هو مبين في التذييلين الخامس والسادس.

ويحدد النهج المبني على الخبرة الجرعة الممتصة في الغشاء القاعدي للجلد (النسيج E٦) بالمعادلة التالية:

$$(22) \quad D_{6E,V}^L(A) = \frac{R_v \times T_v \times DF_{6E,V}^L \times F_v}{S_v} A$$

حيث:

$D_{6E,V}^L(A)$  هي الجرعة الممتصة في الغشاء القاعدي للجلد نتيجة لتشتت مادة مشعة في مصدر ذي نشاط أولى A، (غراي)؛

$DF_{6E,V}^L$  هو معامل تحويل الجرعة الممتصة في الغشاء القاعدي للجلد نتيجة لتلوث الجلد، (غراي/(بكريل × ثانية/سم<sup>3</sup>))، ويرد في الجدول ١٦؛

$R_v, T_v, F_v, S_v$  هي بارامترات السيناريو الخامس، وترد في الجدول ١١؛

A هو النشاط الأولي للتلوية المشعة المعنية في المصدر المشتت، (بالبكريل).

ويحدّد النهج القائم على المخاطر الجرعة المرجحة بالفعالية البيولوجية النسبية في أدمة الجلد (النسيج R) بالمعادلة التالية:

$$(23) \quad AD_{6R,V}(A) = \frac{R_v \times T_v \times AF_{6R,V} \times F_v}{S_v} A$$

حيث:

$AD_{6R,V}(A)$  هي الجرعة المرجحة بالفعالية البيولوجية النسبية في أدمة الجلد نتيجة لتشتت مصدر ذي نشاط أولى A، (مكافئ غراي)؛

$AF_{6R,V}$  هو معامل تحويل الجرعة المرجحة بالفعالية البيولوجية النسبية نتيجة للتعرض المباشر في أدمة الجلد، ((مكافئ غراي)/(ثانية × بكريل/سم<sup>3</sup>))، ويرد في الجدول ١٩؛

$R_v, T_v, F_v, S_v$  هي بارامترات السيناريو الخامس، وترد في الجدول ١١؛

A هو النشاط الأولي للتلوية المشعة المعنية في المصدر المشتت، (بالبكريل).

#### ثانياً - ٤ - السيناريو السادس: سيناريو "الغمر"

يُشار إلى السيناريو السادس باسم سيناريو "الغمر". واستُخدم هذا السيناريو لتحديد مقدار الغاز الخامل المشع الذي يعتبر خطيراً كمصدر للتعرض الخارجي إذا انتشر في غرفة. وبشكل سيناريو السادس تشتت الغاز الخامل في المرجع [٣٥] الأساس الذي استند إليه سيناريو "الغمر". ويفترض السيناريو السادس تشتت الغاز الخامل بالتساوي في غرفة حجمها ٣٠٠ م<sup>3</sup> وتعرض شخص في الغرفة لمدة ٥٠،٥ ساعة. ولم يؤخذ في الاعتبار أثر تغير الهواء في تخفيف الغاز المشع. ويعتبر الغمر داخل الغرفة تقيدياً لأن انتشار أي غاز خامل في المحيط الخارجي يفضي إلى انتشاره بسرعة كبيرة وتركيزه بدرجة أقل بكثير.

وحدّدت القيمة القصوى ١٠٠ كحد لكتلة المادة القابلة للنشتت في السيناريو السادس. وهذه القيمة هي نفسها المستخدمة في السيناريو الثالث. ويتضمن الجدول ١١ بارامترات السيناريو السادس.

ويستخدم النهج المبني على الخبرة المعادلة التالية للحصول على الجرعة الممتصة في الجزء من التعرض الخارجي الناتج عن الغمر في غاز خامل مشع:

$$(24) \quad D_{7,VI}^L(A) = \frac{T_{VI} \times F_{VI} \times DF_{2,VI}^L}{V_{VI}} A$$

حيث:

$D_{7,VI}^L(A)$  هي الجرعة الممتصة من الإشعاع ذي الانتقال الخطى المنخفض للطاقة في الجزء من تعرض خارجي ناتج عن الغمر في غاز خامل مشع متولد عن انتشار مصدر ذي نشاط أولى  $A$ ، (غراي);

$DF_{2,VI}^L$  هو معامل تحويل معدل الجرعة الممتصة في حالة تعرض النخاع الأحمر لإشعاع خارجي<sup>٧</sup> بسبب الغمر في غاز خامل مشع، (غراي/(بكريل × ثانية/م<sup>٣</sup>)). وفي حالة الغمر في نوبيات مشعة مبنية على إشعاع ذي انتقال خطى منخفض للطاقة فإن قيمة معامل تحويل معدل الجرعة الممتصة  $DF_{2,VI}^L$  افترض أنه متساوٍ عددياً مع معامل تحويل معدل الجرعة المرجحة بالفعالية البيولوجية النسبية  $AF_{2,VI}$  في نفس النوبيات المشعة. وتزداد معاملات النوبيات المشعة ذات الصلة في الجدول ٢٠؛

$T_{VI}$ ،  $V_{VI}$ ،  $F_{VI}$  هي باراترات السيناريو السادس، وهي واردة في الجدول ١١؛

$A$  هو النشاط الأولي للنوبيات المشعة المعنية في المصدر المشتت، (بالبكريل).

ويستخدم النهج القائم على المخاطر المعادلة التالية للحصول على الجرعة المرجحة بالفعالية البيولوجية النسبية في الجزء من تعرض خارجي ناتج عن الغمر في غاز خامل مشع:

$$(25) \quad AD_{7,VI}(A) = \frac{T_{VI} \times F_{VI} \times AF_{2,VI}}{V_{VI}} A$$

حيث:

$AD_{7,VI}(A)$  هي الجرعة المرجحة بالفعالية البيولوجية النسبية في الجزء من تعرض خارجي ناتج الغمر في غاز خامل مشع ناتج عن انتشار مصدر ذي نشاط أولي  $A$ ، (مكافئ غراي)؛

$AF_{2,VI}$  هو معامل تحويل معدل الجرعة المرجحة بالفعالية البيولوجية النسبية في حالة تعرض النخاع الأحمر لإشعاع خارجي<sup>٧</sup> نتيجة للغمر في غاز خامل مشع، ((مكافئ غراي)/(بكريل × ثانية/م<sup>٣</sup>))، ويرد ذلك في الجدول ٢٠؛

$T_{VI}$ ،  $V_{VI}$ ،  $F_{VI}$ : باراترات السيناريو السادس، وهي واردة في الجدول ١١؛

$A$  هو النشاط الأولي للنوبيات المشعة المعنية في المصدر المشتت، (بالبكريل).

٧ لأغراض التبسيط يفترض أن الجرعة التي يتلقاها النخاع العظمي الأحمر يمكن استخدامها لتقريب الجرعة التي تتلقاها كل الأعضاء في الجزء.

### ثانياً - ٣ - ملخص بaramترات السيناريوهات

يتضمن الجدول ١١ ملخصاً لبارامترات السيناريوهات المستخدمة في تحديد قيم D.

#### الجدول ١١: بaramترات السيناريوهات المستخدمة في وضع قيم D

السيناريو	الاسم	الرمز	القيمة	التعريف	البارامتر
الأول	”الجيب“	T <sub>I</sub>	$10 \times 3,6$ ٤ ثانية	مدة التعرض	
	”الغرفة“	M <sub>I</sub>	$10 \times 5$ ١٠ غرام	حد الكتلة	
الثاني	”الاستنشاق“	T <sub>II</sub>	$10 \times 3,6$ ٤ ثانية	مدة التعرض	
	”الابتلاع“	M <sub>II</sub>	$10 \times 1$ ١٠ غرام	حد الكتلة	
الثالث	”الابتلاع“	F <sub>III</sub>	$10 \times 1$ ٤ ثانية	الجزء الكسري من الأخذ الداخلي القابل للاستنشاق	
	”الابتلاع“	M <sub>III</sub>	$10 \times 1$ ١٠ غرام	حد الكتلة	
الرابع	”الابتلاع“	F <sub>IV</sub>	$10 \times 1$ ٥	الجزء الكسري من الأخذ الداخلي عن طريق الابتلاع	
	”الابتلاع“	M <sub>IV</sub>	$10 \times 1$ ١٠ غرام	حد الكتلة	
الخامس	”تلوث الجلد“	F <sub>V</sub>	$10 \times 1$ ٢	الجزء الكسري من المادة المشتقة	
	”تلوث الجلد“	S <sub>V</sub>	$10 \times 1$ ٤ سم	مساحة السطح الملوث	
	”تلوث الجلد“	R <sub>V</sub>	$10 \times 1$ ١	النسبة بين الجلد والتلوث السطحي	
	”العمر“	T <sub>V</sub>	$10 \times 1,8$ ٤ ثانية	مدة التعرض	
	”العمر“	M <sub>V</sub>	$10 \times 1$ ١٠ غرام	حد الكتلة	
السادس	”العمر“	F <sub>VI</sub>	١	الجزء الكسري من المادة المنطلقة في الغرفة	
	”العمر“	V <sub>VI</sub>	$10 \times 3$ ٣ م	حجم الغرفة	
	”العمر“	T <sub>VI</sub>	$10 \times 1,8$ ٣ ثانية	مدة التعرض	
	”العمر“	M <sub>VI</sub>	$10 \times 1$ ١٠ غرام	حد الكتلة	



### **التبذيل الثالث حساب قيمة D**

استند مخطط تحديد قيمة D لنوعية مشعة معينة إلى لوغاريتمات لإيجاد الحد الأدنى لنشاط نويدة في مصدر يمكن أن يتسبب في آثار قطعية عنيفة إذا خرج عن نطاق السيطرة. واستخدم النهج المبني على الخبرة والنهج القائم على المخاطر لوغاريتمات مختلفة للنظر في سيناريوهات ومعايير حدوث آثار صحية قطعية عنيفة. وتم حساب النشاط الأولي A<sub>I,I</sub> (بالبكريل) الذي يمكن أن يسفر عن آثار قطعية عنيفة في كل سيناريو وفي كل نهج. وحدّدت عموماً قيمة D باعتبارها أقل نشاط محسوب للسيناريوهات المنطبقة. ومع ذلك فقد قيّمت أيضاً عند حساب قيمة D كتلة النشاط الذي يعتبر خطيراً لتحديد ما إن كانت الكتلة أكبر من أن تشكل تهديداً حقيقياً (غير محدود) أو لتحديد ما إذا كانت الكتلة تتجاوز حداً كفياً بأن لا تكون الحرجية مداعاة للقلق.

ويعرض هذا القسم ملخصاً لлогاريتمات المستخدمة في حساب قيمة D. ويتضمن التبذيل الثاني الأساس الذي تستند إليه بaramترات وصف السيناريوهات، ويرد في التبذيل الأول الأساس الذي تستند إليه معايير بدء حدوث آثار قطعية عنيفة.

#### **ثالثاً - النهج المبني على الخبرة**

##### **ثالثاً - ١ - حساب قيمة E<sub>D,I</sub>**

يبين الشكل ٢ مخطط حساب قيمة E<sub>D,I</sub>. ويشمل هذا المخطط سيناريوهين للتعرض الخارجي:

- (أ) سيناريو "الجيب" (السيناريو الأول) الذي ينطوي على تعرض موضعي من مصدر قريب؛
- (ب) سيناريو "الغرفة" (السيناريو الثاني) الذي ينطوي على تعرض الجسم بأكمله لإشعاع من مصدر بعيد.

سيناريو الجيب. النشاط الأولي E<sub>A,I,I</sub> (بالبكريل) الذي يمكن، وفقاً للنهج المبني على الخبرة، أن يتسبب في آثار صحية قطعية عنيفة في النسيج ١ (النسيج الرخو) وفقاً للسيناريو الأول (سيناريو "الجيب") هو حل المعادلة [٤] لجرعة تساوي RD<sub>I,L+H</sub>، ويعبر عنه بالمعادلة التالية:

$$(٢٦) \quad E_A_{I,I} = \frac{1}{T_I \times DF_{I,I}^{L+H}} RD_I^{L+H}$$

حيث:

RD<sub>I,L+H</sub> هو المستوى المرجعي لجرعة الممتصة التي يبدأ عندها حدوث آثار صحية قطعية عنيفة في النسيج الرخو (غراي)، ويرد في الجدول ٥؛

DF<sub>I,I</sub><sup>L+H</sup> هو معامل تحويل الجرعة الممتصة في النسيج الرخو وفقاً للسيناريو الجيب ((غراي/بكريل × ثانية)), وهذا المعامل محدد في حالة الإشعاع ذي الانتقال الخطي المرتفع للطاقة في الجدول ١٣، وأما في حالة الإشعاع ذي الانتقال الخطي المنخفض للطاقة فإنه يساوي عددياً معامل تحويل معدل الجرعة المرجحة بالفعالية البيولوجية النسبية AF<sub>I,I</sub> ويرد في الجدول ١٥؛

T<sub>I</sub> هي مدة التعرض في السيناريو الأول (الثانية) وترد في الجدول ١١.

سيناريو الغرفة. يفترض في هذا السيناريو أن تشعيع الجذع ناشئ عن التعرض لمصدر على مسافة متراً واحد تقريباً من سطح الجسم. ولأغراض التبسيط واستناداً إلى المرجع [١١]، يفترض أن الجرعة التي يتلقاها النخاع العظمي الأحمر يمكن استخدامها لنقريب الجرعة التي تتلقاها كل أعضاء الجذع. والنشاط الأولي

(الجذع) وفقاً للسيناريو الثاني (سيناريوجرفة”) هو حل المعادلة (٦) لجرعة تساوي  $RD_7^{L+H}$ ، ويحسب بالمعادلة التالية:

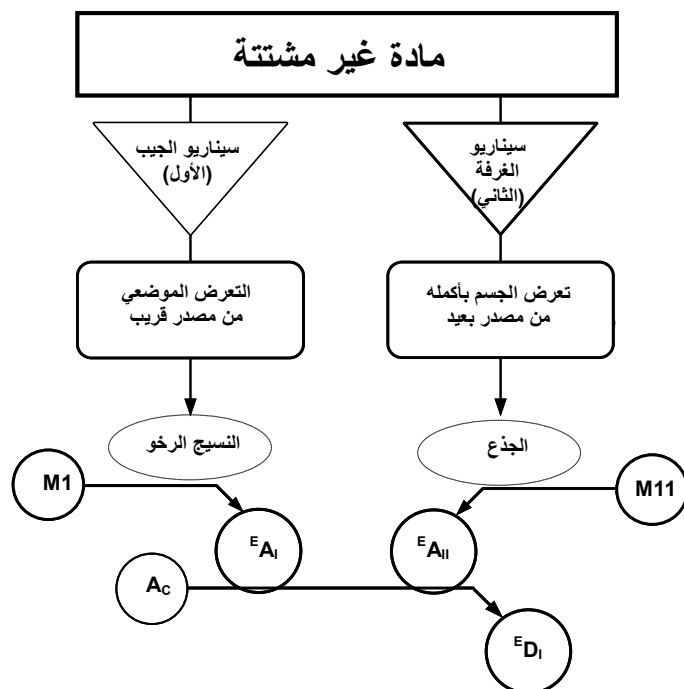
$$(v) \quad {}^E A_{7,II} = \frac{1}{T_{II} \times DF_{2,II}^{L+H}} RD_7^{L+H}$$

حیث:

<sup>7</sup> RD هو المستوى المرجعى للجرعة المتصنة التي يبدأ عندها حدوث آثار قطعية عنيفة في الجذع نتيجة للتعرض الخارجى (غراي)، ويرد في الجدول ٥:

<sup>L,H</sup>DF<sub>2,II</sub> هو معامل تحويل معدل الجرعة المتصصة في حالة تعرض النخاع الأحمر لإشعاع خارجي<sup>١</sup> من مصدر على بعد متر واحد من الجسم (غرافي/بكريل × ثانية)). وهذا المعامل محدد في حالة الإشعاع ذي الانتقال الخطى المرتفع للطاقة في الجدول ١٣، وأما في حالة الإشعاع ذي الانتقال الخطى المنخفض للطاقة فإنه يساوي عددياً معامل تحويل معدل الجرعة المرجحة بالفعالية البيولوجية النسبية AF<sub>2,II</sub> ويرد في الجدول ١٥؛

$T_{II}$  هي مدة التعرض في السيناريو الثاني (بالثانية) وتترد في الجدول ١١.



## الشكل ٢: مخطط حساب قيمة $D_1^E$

لأغراض التبسيط يفترض أن الجرعة التي يتلقاها النخاع العظمي الأحمر يمكن استخدامها لتقريب الجرعة التي تتلقاها كل أعضاء الحدء

تحديد قيمة  $E D_1$ . قيمة  $E D_1$  هي أقل قيمة لثلاثة أنشطة:

$$(28) \quad E D_1 = \min\{E A_I, E A_{II}, A_C\}$$

حيث:

$A_C$  هو نشاط حد الحرجة (باليكريل) ويرد في الجدول ٢٨؛

$E A_I$  و  $E A_{II}$  هما النشاطان الأوليان لنوعية مشعة تعتبر خطيرة بعد النظر في كتلتيهما على النحو المحدد في المعادلة (٢٩) والمعادلة (٣٠)، (باليكريل):

$$(29) \quad E A_I = \begin{cases} E A_{1,I} & \text{if } M \leq M_I \\ \text{Unlimited} & \text{if } M > M_I \end{cases}$$

حيث:

$E A_{1,I}$  هو النشاط الأولي المحدد بالمعادلة (٢٦)، (باليكريل)؛

$M$  هي كتلة المادة ذات النشاط  $E A_{1,I}$ ، (غرام)؛

$M_I$  هو حد الكتلة في السيناريو الأول (بالغرام) ويرد في الجدول ١١.

$$(30) \quad E A_{II} = \begin{cases} E A_{7,II} & \text{if } M \leq M_{II} \\ \text{Unlimited} & \text{if } M > M_{II} \end{cases}$$

حيث:

$E A_{7,II}$  هو النشاط الأولي المحدد بالمعادلة (٢٧)، (باليكريل)؛

$M$  هي كتلة المادة ذات النشاط  $E A_{7,II}$  (غرام)؛

$M_{II}$  هو حد الكتلة (بالغرام) في السيناريو الثاني كما هو وارد في الجدول ١١.

والقيمة  $E D_1$  لنوعية مشعة تكون غير محدودة إذا كانت قيم  $E A_I$  ،  $E A_{II}$  ،  $A_C$  لهذه النوعية المشعة غير محدودة. ويتضمن الجدول ١ والجدول ٤ قيم  $E D_1$ .

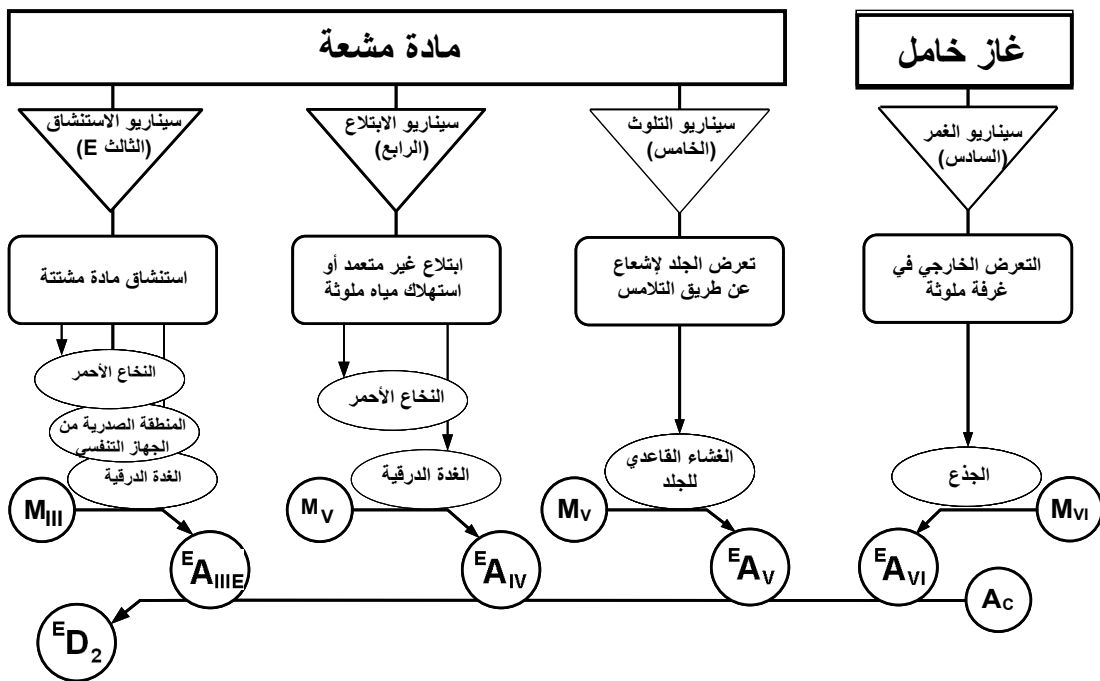
### ثالثاً - ٢ - حساب قيمة $E D_2$

يبين الشكل ٣ مخطط حساب قيمة  $E D_2$ . ويشمل ذلك أربعة سيناريوهات تتطوّر على تعرّض لمادة مشعة مشتّتة:

- (أ) الاستنشاق (السيناريو الثالث E)
- (ب) الابتلاع (السيناريو الرابع)

٩ كتلة المادة المشعة (بالغرام) تساوي نشاطها (باليكريل) مقسوماً على نشاطها النوعي (باليكريل/غرام) حسب ما هو وارد في الجدول ٢٦.

- (ج) تلوث الجلد (السيناريو الخامس);  
(d) الغمر في غاز خامل مشع (السيناريو السادس).



الشكل ٣: مخطط حساب قيمة  $E_D_2$

/الاستنشاق. تم النظر في تعرض النخاع الأحمر (النسيج ٢) والمنطقة الصدرية من الجهاز التنفسى (النسيج ٣) والغدة الدرقية (النسيج ٥) بعد الاستنشاق.

والنشاط الأولي  $E_A_{2,III}$  (باليكريل) الذي يمكن، استناداً إلى النهج المبني على الخبرة، أن يتسبب في آثار صحية قطعية في النسيج ٢ (النخاع الأحمر) وفقاً للسيناريو الثالث (الاستنشاق) هو حل المعادلة (١٩) لجرعة تساوي  $\Delta$  وتحدد بالمعادلة التالية:

$$(31) \quad E_A_{2,III} = \frac{1}{F_{III} \times DF_{2,III}^{L+H}(\Delta)} RD_2^{L+H}(\Delta)$$

حيث:

$RD_2^{L+H}(\Delta)$  هو المستوى المرجعي لجرعة الممتصة المودعة لمدة يومين وتتسبب في حدوث آثار صحية قطعية عنيفة نتيجة لحدوث تعرض داخلي في النخاع الأحمر (غراء)، ويرد في الجدول ٦؛

$DF_{2,III}^{L+H}(\Delta)$  هو معامل تحويل الجرعة الممتصة المودعة لمدة يومين نتيجة لحدوث تعرض داخلي في النخاع الأحمر عن طريق الاستنشاق (غراء/بكريل)، ويرد في الجدول ١٦؛

$F_{III}$  هو الجزء الكسري من الأخذ الداخلي القابل للاستنشاق في السيناريو الثالث حسب ما هو وارد في الجدول ١١.

وتم حساب النشاط الأولي  $A_{3E,III}^E$  (بالبكريل) الذي يمكن، استناداً إلى النهج المبني على الخبرة، أن يتسبب في آثار صحية قطعية عنيفة في النسيج  $E^3$  (المنطقة الصدرية من الجهاز التنفسي) وفقاً للسيناريو الثالث E (الاستنشاق) باستخدام مستويات مرجعية مختلفة لحدوث الآثار القطعية ومعاملات تحويل الجرعة في كل مجموعة من المجموعات الثلاث للنويدات المشعة:

- (أ) الأيروسولات من النوع S<sup>١</sup> للمبعثات ذات الأعمار الطويلة التي تبتعد إشعاعاً ذا انتقال خطى مرتفع للطاقة (المجموعة HS)؛
  - (ب) الاسترنشيوم - ٩٠ في شكل  $SrTiO_3^{90}$  (المجموعة LS)<sup>١١</sup>؛
  - (ج) المبعثات الأخرى للإشعاع ذي الانتقال الخطى المنخفض للطاقة (المجموعة L).
- والنشاط الأولي هو حل المعادلة (١٩) لجرعة تساوي  $RD_{3E}^R(\Delta)$ ، ويُحسب بالمعادلة التالية:

$$(32) \quad A_{3E,III}^E = \frac{1}{F_{III} \times DF_{3E,III}^R(\Delta)} RD_{3E}^R(\Delta)$$

حيث:

$RD_{3E}^R(\Delta)$  هو المستوى المرجعي للجرعة الممتصة المودعة التي تتسبب في حدوث آثار صحية قطعية عنيفة في المنطقة الصدرية من الجهاز التنفسي نتيجة لحدوث تعرض داخلي من نويدات مشعة من المجموعة R (أو LS أو L)، (بالغرابي). وتزدّي قيم ذلك في الجدول ٦؛

$DF_{3E,III}^R(\Delta)$  هو معامل تحويل الجرعة الممتصة المودعة نتيجة لحدوث تعرض داخلي في المنطقة الصدرية من الجهاز التنفسي بسبب أخذ داخلي لنويدة مشعة من المجموعة R (أو LS أو L) (غراي/بكريل) عن طريق الاستنشاق. ويتضمن الجدول ١٦ قيم المجموعات HS و L و LS؛

$F_{III}$  هو الجزء الكسري من الأخذ الداخلي القابل للاستنشاق كما هو محدّد في السيناريو الثالث، ويرد في الجدول ١١.

والنشاط الأولي  $A_{5,III}^E$ ، (بالبكريل) الذي يمكن، استناداً إلى النهج المبني على الخبرة، أن يتسبب في آثار صحية قطعية عنيفة في النسيج  $5^5$  (العدة الدرقية) وفقاً للسيناريو الثالث E (الاستنشاق) هو حل المعادلة (١٩) لجرعة تساوي  $RD_5^L(\Delta)$ ، ويُحسب بالمعادلة التالية:

$$(33) \quad A_{5,III}^E = \frac{1}{F_{III} \times DF_{5,III}^L(\Delta)} RD_5^L(\Delta)$$

حيث:

١٠ يشير النوع S إلى الامتصاص الرئوي البطيء [١١].

١١ يعامل استنشاق  $SrTiO_3$  حالة خاصة كما هو مبين في التنبيل الثاني.

$RD_5^L$  هو المستوى المرجعي للجرعة الممتصة المودعة نتيجة لحدوث تعرض داخلي في الغدة الدرقية ويببدأ عنده حدوث آثار صحية قطعية عنيفة (بالغراي)، ويرد في الجدول ٦؛

$DF_{5,III}$  هو معامل تحويل الجرعة الممتصة المودعة نتيجة للتعرض الخارجي في الغدة الدرقية بسبب أخذ داخلي عن طريق الاستنشاق (غراي/بكريل)، ويرد في الجدول ١٧؛

$F_{III}$  هو الجزء الكسري من الأخذ الداخلي القابل للاستنشاق كما هو محدد في السيناريو الثالث، ويرد في الجدول ١١.

الابتلاع. تناول سيناريو "الابتلاع" (السيناريو الرابع) في بديلين افترض في أولهما تسرب المصدر وحدث تلامس معه مما أسفر عن ابتلاع غير متعمد لمادة مشعة. وافتراض في البديل الثاني أن المصدر المتسرّب وضع في إمدادات المياه العامة مما أسفر عن تلوث المياه واستهلاكها. وعموماً فإن معاملات تحويل الجرعة الممتصة في القولون والنخاع الأحمر والغدة الدرقية لكل وحدة أخذ داخلي عن طريق الابتلاع لا تختلف عن القيمة الأساسية في حالة الاستنشاق. ولذلك فإن قيمة النشاط الأولي  $A_{T,III}^E$  الناجم عن الاستنشاق المحسوب وفقاً لسيناريو "الاستنشاق" (السيناريو الثالث E) وبافتراض استنشاق  $10^{-4}$  من المادة المشتقة تقل عن القيم المحسوبة بافتراض جزء كسري للأخذ الداخلي عن طريق الابتلاع قدره  $10^{-5}$  كما هو محدد في كل من البديلين اللذين تناولهما السيناريو الرابع. واستخلص من ذلك أن قيمة D للنشاط الأولي  $A_{T,III}^E$  استناداً إلى سيناريو الاستنشاق هي الحد المعقول الذي إذا انخفض الابتلاع عنه فإنه لا يعتبر خطراً يشكل تهديداً كبيراً. وبالتالي فإن حالات التعرض التي تحدث في القولون والنخاع الأحمر والغدة الدرقية بسبب الابتلاع لم يُنطر فيها على حدة.

تلوث الجلد. النشاط الأولي  $A_{6E,V}^E$  (بالبكريل) الذي يمكن، استناداً إلى النهج المبني على الخبرة، أن يتسبب في آثار صحية قطعية عنيفة في النسيج E (الغشاء القاعدي للجلد) وفقاً لسيناريو الخامس، هو حل المعادلة (٢٢) لجرعة تساوي  $RD_{6E}^{L+H}$ ، ويُحسب بالمعادلة التالية:

$$(34) \quad A_{6E,V}^E = \frac{S_V}{F_V \times R_V \times T_V \times DF_{6E,V}^L} RD_{6E}^{L+H}$$

حيث:

$RD_{6E}^{L+H}$  هو المستوى المرجعي للجرعة الممتصة التي يتلقاها الغشاء القاعدي للجلد ويببدأ عنده حدوث آثار صحية قطعية عنيفة (بالغراي)، ويرد في الجدول ٥؛

$DF_{6E,V}^L$  هو معامل تحويل الجرعة الممتصة نتيجة للتعرض الغشاء القاعدي للجلد بالتلامس، (غراي/(بكريل × ثانية/سم<sup>٣</sup>))، ويرد في الجدول ١٦؛

$S_V$  هي مساحة السطح الملوث الأولي في السيناريو الخامس، (سم<sup>٢</sup>)، ويرد في الجدول ١١؛

$F_V$  هو الجزء الكسري من المادة المشتقة في السيناريو الخامس، ويرد في الجدول ١١؛

$R_V$  هي نسبة الجلد إلى التلوث السطحي في السيناريو الخامس، وترد في الجدول ١١؛

$T_V$  هي مدة التعرض في السيناريو الخامس، (الثانية)، وترد في الجدول ١١.

الغمر. بالنظر إلى أن الكربتون - ٨٥ غاز خامل فإن إطلاقه يشكل خطراً خارجياً. والنشاط الأولي  $A_{7,VI}^E$  (بالبكريل)، للغاز الخامل الذي يمكن، استناداً إلى النهج المبني على الخبرة، أن يتسبب في آثار صحية قطعية عنيفة في النسيج ٧ (الجذع) وفقاً للسيناريو السادس (الغمر) هو حل المعادلة (٢٤) لجرعة تساوي  $RD_7^{L+H}$ ، ويُحسب بالمعادلة التالية:

$$(35) \quad A_{7,VI}^E = \frac{V_{VI}}{T_{VI} \times DF_{2,VI}^L} RD_7^{L+H}$$

حيث:

$RD_7^{L+H}$  هو المستوى المرجعي للجرعة الممتصة التي تتسبب في بدء حدوث آثار صحية قطعية عنيفة في الجذع نتيجة للتعرض الخارجي (بالغراء)، ويرد في الجدول ٥؛

$DF_{2,VI}^L$  هو معامل تحويل معدل الجرعة الممتصة الناتجة عن حدوث تعرض خارجي في النخاع الأحمر<sup>١٢</sup> بسبب الغمر في غاز خامل مشع (غراء/(بكريل × ثانية/٣)). وافتراض أن هذا المعامل في حالة غاز الكربتون - ٨٥ يساوي عددياً معامل تحويل معدل الجرعة المرجحة بالفعالية البيولوجية النسبية  $AF_{2,VI}$  للكربتون - ٨٥. وترد القيم في الجدول ٢٠؛

$V_{VI}$  هو حجم الغرفة في السيناريو السادس (المتر المكعب)، ويرد في الجدول ١١؛

$T_{VI}$  هي مدة التعرض في السيناريو السادس (الثانية)، وترد في الجدول ١١؛

$F_{VI}$  هو الجزء الكسري من المادة المنطلقة في الغرفة، ويرد في الجدول ١١.

تحديد قيمة  $D_2^E$ . حُسبت قيمة  $D_2^E$  لغاز الكربتون - ٨٥ الخامل المشع بطريقة مختلفة عن التويدات المشعة الأخرى.

وتحدد قيمة  $D_2^E$  (بالبكريل) للمواد الأخرى غير الغازات الخاملة بالمعادلة التالية:

$$(36) \quad D_2^E = \min\{A_{III}, A_V, A_C\}$$

حيث:

$A_C$  هو نشاط حد الحرجة (بالبكريل)، ويرد في الجدول ٢٨؛

(٣٧)  $A_V^E$ ،  $A_{III}^E$  هما النشاطان الأوليان (بالبكريل) ويتم الحصول عليهما بالمعادلة (٣٨) والمعادلة:

---

١٢ لأغراض التبسيط يفترض أن الجرعة التي يتلقاها النخاع العظمي الأحمر يمكن استخدامها لنقريب الجرعة التي تتلقاها كل الأعضاء في الجذع.

$$(37) \quad {}^E A_{III} = \begin{cases} \min\{{}^E A_{2,III}, {}^E A_{3E,III}, {}^E A_{5,III}\} & \text{if } M \leq M_{III} \\ \text{Unlimited} & \text{if } M > M_{III} \end{cases}$$

حيث:

${}^E A_{2,III}$ ,  ${}^E A_{3E,III}$ , and  ${}^E A_{5,III}$  هي الأنشطة الأولية المحسوبة بالمعادلات (٣١)، (٣٢)، (٣٣)، (بالبكريل);

$M^9$  المادة التي ينتج عنها نشاط يساوي  $\min\{{}^E A_{2,III}, {}^E A_{3E,III}, {}^E A_{5,III}\}$  (بالغرام);

$M_{III}$  هو حد الكتلة في السيناريو الثالث (بالغرام)، ويرد في الجدول ١١؛

والمعادلة

$$(38) \quad {}^E A_V = \begin{cases} {}^E A_{6E,V} & \text{if } M \leq M_V \\ \text{Unlimited} & \text{if } M > M_V \end{cases}$$

حيث:

${}^E A_{6E,V}$  هو النشاط الأولي المحسوب بالمعادلة (٣٤)، (بالبكريل);

$M^9$  هي كتلة المادة التي ينتج عنها النشاط  ${}^E A_{6E,V}$  (بالغرام);

$M_V$  هو حد الكتلة في السيناريو الخامس (بالغرام)، ويرد في الجدول ١١.

وتساوي قيمة  ${}^E D_2$  للكربتون - ٨٥ قيمة النشاط الأولي  ${}^E A_{2,VI}$  المحدد بالمعادلة (٣٥):

$$(39) \quad {}^E D_2 \equiv {}^E A_{2,VI}$$

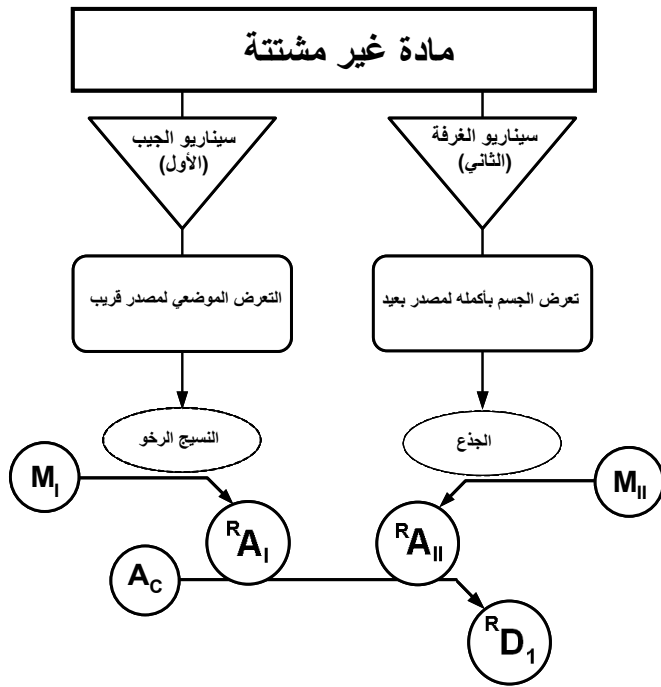
وتكون قيمة  ${}^E D_2$  لمادة معينة غير الغاز الخامل غير محدودة إذا كانت القيم  $A_C$ ,  ${}^E A_V$ ,  ${}^E A_{III}$  غير محدودة. وتكون أيضاً قيمة  ${}^E D_2$  غير محدودة في الغاز الخامل المشع إذا كانت القيم  ${}^E A_{2,VI}$  غير محدودة. ويتضمن الجدول ١ والجدول ٢٤ قيم  ${}^E D_2$  التي تم الحصول عليها باستخدام النهج المبني على الخبرة.

### ثالثاً-٢- النهج القائم على المخاطر

#### ثالثاً-١- حساب قيمة ${}^R D_1$

يبين الشكل ٤ المخطط المستخدم في حساب قيمة  ${}^R D_1$ . ويشمل ذلك سيناريوهين للتعرض لمصدر مشع غير منتشر:

- (أ) سيناريو “الجيب” (السيناريو الأول) الذي ينطوي على تعرض موضعي لمصدر قريب؛
- (ب) سيناريو “الغرفة” (السيناريو الثاني الذي ينطوي على تعرض الجسم بأكمله لمصدر بعيد).



الشكل ٤: مخطط تحديد قيمة  $R_D_1$

**سيناريو الجيب.** النشاط الأولي  $A_{I,I}^R$  (بالبكريل) الذي يمكن، استناداً إلى النهج القائم على المخاطر، أن يتسبب في آثار صحية قطعية عنيفة في النسيج ١ (النسيج الرخو) وفقاً للسيناريو الأول (سيناريو "الجيب") هو حل المعادلة (١٥) لجرعة تساوي  $TD_1$ ، ويتم الحصول عليه بالمعادلة التالية:

$$(40) \quad R_A_{I,I} = \frac{1}{T_I \times AF_{I,I}} TD_1$$

حيث:

$TD_1$  هو مستوى لعتبة الجرعة المرجحة بالفعالية البيولوجية النسبية التي يبدأ عندها حدوث آثار قطعية عنيفة في النسيج الرخو (مكافئ غراري)، ويرد في الجدول ٨؛

$AF_{I,I}$  هو معامل تحويل معدل الجرعة المرجحة بالفعالية البيولوجية النسبية في النسيج الرخو وفقاً لسيناريو الجيب،  $((\text{مكافئ غراري}) / (\text{بكريل} \times \text{ثانية}))$ ، ويرد في الجدول ١٤ و ١٥؛

$T_I$  هي مدة التعرض في السيناريو الأول (بالثانية)، وترد في الجدول ١١.

**سيناريو الغرفة.** افترض في هذا السيناريو أن تشيعي الجذع ناجم عن التعرض لمصدر على مسافة متراً واحد تقريباً من سطح الجسم. ولأغراض التبسيط واستناداً إلى المراجعين [٢١، ١٥]، افترض أن الجرعة التي يتلقاها النخاع الأحمر يمكن استخدامها لتقرير الجرعة التي تتلقاها كل الأعضاء في الجذع. والنশاط الأولي  $A_{II,II}^R$  (بالبكريل) الذي يمكن، استناداً إلى النهج القائم على المخاطر، أن يتسبب في آثار صحية قطعية عنيفة في النسيج ٧ (الجذع) وفقاً للسيناريو الثاني (سيناريو "الغرفة") هو حل المعادلة (١٧) لجرعة تساوي  $TD_7$ ، ويتم الحصول عليه بالمعادلة التالية:

$$(41) \quad {}^R A_{7,II} = \frac{1}{T_{II} \times AF_{2,II}} TD_7$$

حيث:

$TD_7$  هو مستوى لعتبة الجرعة المرجحة بالفعالية البيولوجية النسبية التي يبدأ عندها حدوث آثار صحية قطعية عنيفة في الجذع (مكافئ غرافي)، ويرد في الجدول ٨؛<sup>٨</sup>

$AF_{2,II}$  هو معامل تحويل معدل الجرعة المرجحة بالفعالية البيولوجية النسبية نتيجة لحدوث تعرض خارجي في النخاع الأحمر<sup>٩</sup> من مصدر على مسافة متراً واحد ((مكافئ غرافي)/بكريل × ثانية))، ويرد في الجدول ٤ والجدول ١٥،<sup>١٥</sup>

$T_{II}$  هي مدة التعرض في السيناريو الثاني (بالثانية)، وترد في الجدول ١١.

تحديد قيمة  ${}^R D_I$ . قيمة  ${}^R D_I$  هي أقل قيمة لأنشطة الثلاثة  ${}^R A_I$ ،  ${}^R A_{II}$ ، و  $A_C$  ويعبر عنها بالمعادلة التالية:

$$(42) \quad {}^R D_I = \min \left\{ {}^R A_I, {}^R A_{II}, A_C \right\}$$

حيث:

$A_C$  هو نشاط حد الحرجة (بالبكريل)، ويرد في الجدول ٢٨؛<sup>٢٨</sup>

${}^R A_I$ ،  ${}^R A_{II}$  هما أقل نشطتين أوليين بعد احتساب الكتلة (بالبكريل) باستخدام المعادلتين (٤٣) و (٤٤):

$$(43) \quad {}^R A_I = \begin{cases} {}^R A_{I,I} & \text{if } M \leq M_I \\ \text{Unlimited} & \text{if } M > M_I \end{cases}$$

حيث:

${}^R A_{I,I}$  هو النشاط الأولي، ويحسب بالمعادلة (٤٠)، (بالبكريل)؛

$M$  هي كتلة<sup>١٠</sup> المادة ذات النشاط  ${}^R A_{I,I}$  (بالغرام)؛

$M_I$  هو حد الكتلة (بالغرام) في السيناريو الأول حسب ما هو وارد في الجدول ١١؛<sup>١١</sup>

$$(44) \quad {}^R A_{II} = \begin{cases} {}^R A_{7,II} & \text{if } M \leq M_{II} \\ \text{Unlimited} & \text{if } M > M_{II} \end{cases}$$

حيث:

---

١٣ لأغراض التبسيط يفترض أن الجرعة التي يتلقاها النخاع العظمي الأحمر يمكن استخدامها لتقريب الجرعة التي تتلقاها كل الأعضاء في الجذع.

<sup>R</sup> هو النشاط الأولي المحدد بالمعادلة (٤١)، (بالبكريل)؛

M هي كتلة المادة ذات النشاط  $A_{7,II}^R$  (بالغرام)؛

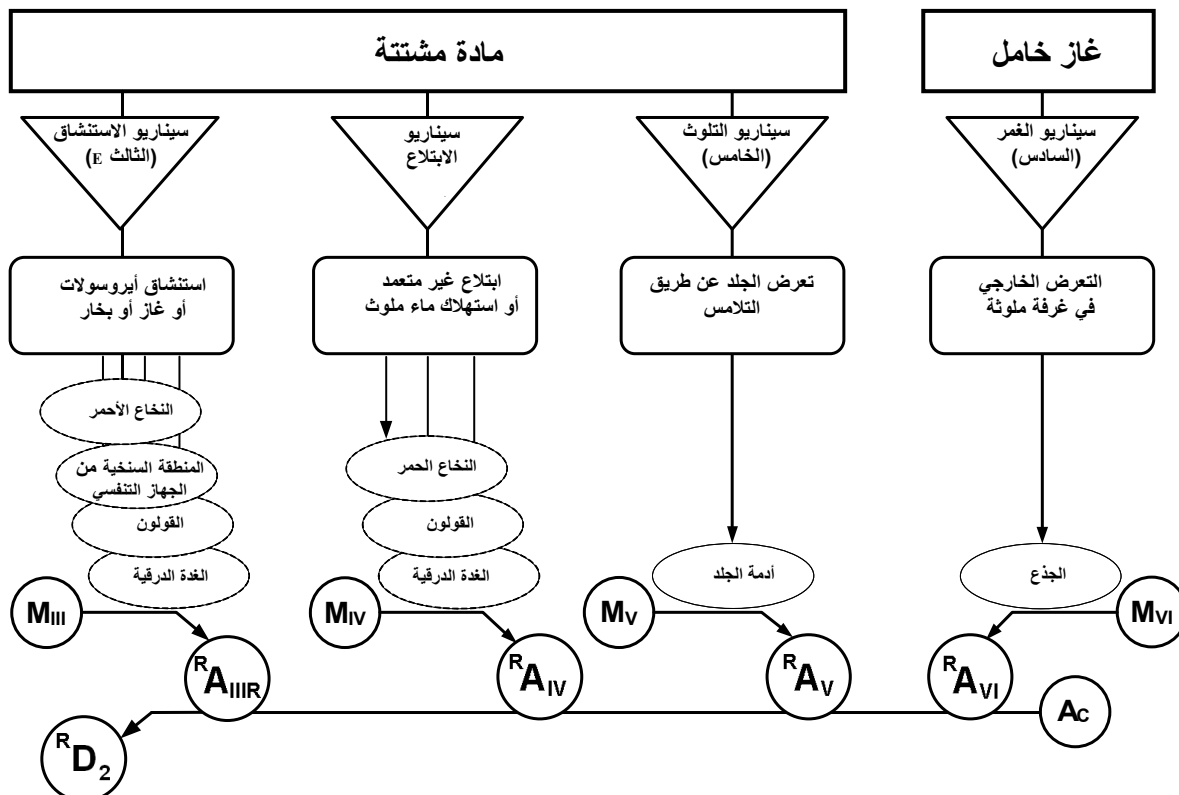
$M_{II}$  هو حد الكتلة في السيناريو الثاني حسب ما هو محدّد في الجدول ١١.

وتكون قيم  $D_1^R$  لنوية مشعة معينة غير محددة إذا كانت القيم  $A_I^R$ ،  $A_{II}^R$ ، و  $A_C^R$  غير محددة. ويتضمن الجدولان ١ و ٢٤ قيم  $D_1^R$  (لنويات المشعة التي حسبت قيمتها أيضا باستخدام النهج المبني على الخبرة).

### **ثالثاً - حساب قيمة $D_2^R$**

يبين الشكل ٥ المخطط المستخدم في حساب قيم  $D_2$ . ويشمل ذلك أربعة سيناريوهات للتعرض لمادة مشعة مشتبه:

- (أ) الاستنشاق (السيناريو الثالث R);
  - (ب) الابتلاع (السيناريو الرابع);
  - (ج) تلوث الجلد (السيناريو الخامس);
  - (د) الغمر في غاز خامل مشع (السيناريو السادس).



الشكل ٥: مخطط تحديد قيمة  $D_2^R$

الاستنشاق. تم النظر في تعرض النخاع الأحمر (النسيج ٢) والمنطقة السنخية - الخالية (AI) من الجهاز التنفسي (النسيج R٣) والقولون (النسيج ٤) والغدة الدرقية (النسيج ٥) نتيجة للاستنشاق. والنشاط الأولى  $A_{T,III}^R$  ، (بالبكريل) الذي يمكن، حسب النهج القائم على المخاطر، أن يتسبب في آثار صحية قطعية عنيفة في النسيج T<sup>١٤</sup> وفقاً للسيناريو الثالث R (الاستنشاق) هو حل المعادلة (٢٠) لجرعة تساوي ( $\Delta$ )  $TD_T(\Delta)$  ويُحسب بالمعادلة التالية:

$$(45) \quad A_{T,III}^R = \frac{1}{F_{III} \times AF_{T,III}(\Delta)} TD_T(\Delta)$$

حيث:

$TD_T(\Delta)$  هو مستوى لعتبة الجرعة المودعة المرجحة بالفعالية البيولوجية النسبية في النسيج T<sup>١٥</sup> نتيجة للتعرض الداخلي الذي يبدأ عنده حدوث آثار صحية قطعية عنيفة (مكافئ غراري)، ويرد في الجدول ٩؛

$AF_{T,III}$  هو معامل تحويل الجرعة المودعة المرجحة بالفعالية البيولوجية النسبية في حالة حدوث تعرض داخلي في النسيج T نتيجة لأخذ داخلي عن طريق الاستنشاق ((مكافئ غراري)/بكريل)، ويرد في الجدول ١٨؛

$F_{III}$  هو الجزء الكسري من الأخذ الداخلي القابل للاستنشاق في السيناريو الثالث حسب ما هو وارد في الجدول ١١.

الابتلاع. تم النظر في تعرض النخاع الأحمر (النسيج ٢) والقولون (النسيج ٤) والغدة الدرقية (النسيج ٥) عن طريق الابتلاع. والنشاط الأولى  $A_{T,IV}^R$  (بالبكريل) الذي يمكن، استناداً إلى النهج القائم على المخاطر، أن يتسبب في آثار صحية قطعية عنيفة في النسيج T<sup>١٥</sup> وفقاً للسيناريو الرابع (الابتلاع) هو حل المعادلة (٢١) لجرعة تساوي ( $\Delta$ ) ، ويتم الحصول عليه بالمعادلة التالية:

$$(46) \quad A_{T,IV}^R = \frac{1}{F_{IV} \times AF_{T,IV}(\Delta)} TD_T(\Delta)$$

حيث:

$TD_T(\Delta)$  هو مستوى لعتبة الجرعة المودعة المرجحة بالفعالية البيولوجية النسبية نتيجة للتعرض الداخلي في النسيج T<sup>١٥</sup> (مكافئ غراري)، ويرد في الجدول ٩؛

$AF_{T,IV}$  هو معامل تحويل الجرعة المودعة المرجحة بالفعالية البيولوجية النسبية في حالة حدوث تعرض داخلي في النسيج T نتيجة لأخذ داخلي عن طريق الابتلاع ((مكافئ بكريل)/بكريل)، ويرد في الجدول ١٩؛

١٤ تم النظر في تعرض النخاع الأحمر (النسيج ٢) والمنطقة السنخية الخالية من الجهاز التنفسي (النسيج R٣) والقولون (النسيج ٤) والغدة الدرقية (النسيج ٥).

١٥ تم النظر في تشعيع النخاع الأحمر (النسيج ٢) والقولون (النسيج ٤) والغدة الدرقية (النسيج ٥).

$F_{IV}$  هو الجزء الكسري من الأخذ الداخلي عن طريق الابتلاع في السيناريو الرابع، ويرد في الجدول ١١.

تلوث الجلد. النشاط الأولي  $A_{6R,V}^R$  (بالبكريل) الذي يمكن، استناداً إلى النهج القائم على المخاطر، أن يتسبب في آثار صحية قطعية عنيفة في النسيج ٦ (أدمه الجلد) وفقاً للسيناريو الخامس (تلوث الجلد) هو حل المعادلة (٢٣) لجرعة تساوي  $TD_{6R}$ ، ويُحسب بالمعادلة التالية:

$$(47) \quad {}^R A_{6R,V} = \frac{S_V}{F_V \times R_V \times T_V \times AF_{6R,V}} TD_{6R}$$

حيث:

$TD_{6R}$  هو مستوى عتبة الجرعة المرجحة بالفعالية البيولوجية النسبية في أدمه الجلد الذي يبدأ عنده حدوث آثار صحية قطعية عنيفة (مكافئ بكريل)، ويرد في الجدول ٨؛

$AF_{6R,V}$  هو معامل تحويل معدل الجرعة المرجحة بالفعالية البيولوجية النسبية في حالة تعرض أدمه الجلد عن طريق ملامسة تلوث سطحي، ((مكافئ غراري)/(ثانية × بكريل/سم٢))، ويرد في الجدول ١٩؛

$F_V$  هو الجزء الكسري من المادة المشعة المشتتة في السيناريو الخامس، ويرد في الجدول ١١؛

$S_V$  هي مساحة السطح الملوث الأولي في السيناريو الخامس (سم٢)، وترد في الجدول ١١؛

$R_V$  هي نسبة الجلد إلى التلوث السطحي في السيناريو الخامس، وترد في الجدول ١١؛

$T_V$  هي مدة التعرض في السيناريو الخامس (بالثانية) وترد في الجدول ١١.

الغمر. نشاط الغاز الخامل المشع  $A_{7,VI}^R$  (بالبكريل) الذي يمكن، استناداً إلى النهج القائم على المخاطر، أن يتسبب في آثار صحية قطعية عنيفة في النسيج ٧ (الجذع) وفقاً للسيناريو السادس (الغمر) هو حل المعادلة (٢٥) لجرعة تساوي  $TD_7$ ، ويُحسب بالمعادلة التالية:

$$(48) \quad {}^R A_{7,VI} = \frac{V_{VI}}{T_{VI} \times AF_{2,VI}} TD_7$$

حيث:

$TD_7$  هو مستوى عتبة الجرعة المرجحة بالفعالية البيولوجية النسبية في الجذع الذي يبدأ عنده حدوث آثار صحية قطعية عنيفة (مكافئ غراري)، ويرد في الجدول ٨؛

$AF_{2,VI}$  هو معامل تحويل معدل الجرعة المرجحة بالفعالية البيولوجية النسبية نتيجة في حالة حدوث تعرض خارجي في النخاع الأحمر<sup>١٦</sup> نتيجة للعمر في غاز خامل مشع ((مكافئ غرافي)/بكريل × ثانية/م<sup>٣</sup>)), ويرد في الجدول ٢٠؛

$V_{VI}$  هو حجم الغرفة في السيناريو السادس (م<sup>٣</sup>)، ويرد في الجدول ١١؛

$T_{VI}$  هي مدة التعرض في السيناريو السادس (بالثانية)، وترد في الجدول ١١؛

$F_{VI}$  هو الجزء الكسري من المادة المنطلقة في الغرفة، ويرد في الجدول ١١.

تحديد قيمة  ${}^R D_2$ . حُسبت قيمة  ${}^R D_2$  للغازات الخاملة المشعة بطريقة مختلفة عن النويدات المشعة الأخرى. وفي حالة المواد الأخرى غير الغازات الخاملة، تمثل قيمة  ${}^R D_2$  (ببكريل) أقل قيمة لأنشطة الأولية  ${}^R A_{III,R}, {}^R A_{IV}, {}^R A_V$ , and  $A_C$  ويتم الحصول عليها بالمعادلة التالية:

$$(49) \quad {}^R D_2 = \min \{ {}^R A_{III,R}, {}^R A_{IV}, {}^R A_V, A_C \}$$

حيث:

$A_C$  هو نشاط حد الحرجة (ببكريل)، ويرد في الجدول ٢٨؛

${}^R A_{III,R}, {}^R A_{IV},$  and  ${}^R A_V$  هي الأنشطة الأولية الدنيا بعد احتساب الكتلة (ببكريل)، وتحدد بالمعادلة (٥٠)، والمعادلة (٥١)، والمعادلة (٥٢)؛

$$(50) \quad {}^R A_{III,R} = \begin{cases} \min \{ {}^R A_{2,III,R}, {}^R A_{3R,III,R}, {}^R A_{4,III,R}, {}^R A_{5,III,R} \} & \text{if } M \leq M_{III} \\ \text{Unlimited} & \text{if } M > M_{III} \end{cases}$$

حيث:

${}^R A_{T,III,R}$  هي الأنشطة الأولية المحددة وفقاً للمعادلة (٤٥) (ببكريل)؛

$M$  هي كتلة<sup>٩</sup> (غرام) لمادة مشعة ذات نشاط يساوي  $\{ {}^R A_{2,III,R}, {}^R A_{3R,III,R}, {}^R A_{4,III,R}, {}^R A_{5,III,R} \}$ ؛

$M_{III}$  هو حد الكتلة (غرام) في السيناريو الثالث على النحو الوارد في الجدول ١١.

$$(51) \quad {}^R A_{IV} = \begin{cases} \min \{ {}^R A_{2,IV}, {}^R A_{4,IV}, {}^R A_{5,IV} \} & \text{if } M \leq M_{IV} \\ \text{Unlimited} & \text{if } M > M_{IV} \end{cases}$$

حيث:

${}^R A_{T,IV}$  هي الأنشطة الأولية المحددة وفقاً للمعادلة (٤٦) (ببكريل)؛

---

١٦ لأغراض التبسيط، يفترض أن الجرعة التي يتلقاها النخاع الأحمر يمكن استخدامها لتقريب الجرعة التي تتلقاها كل الأعضاء في الجذع.

$M$  هي كتلة<sup>٩</sup> (غرام) مادة مشعة ذات نشاط يساوي  $\left\{ {}^R A_{2,IV}, {}^R A_{4,IV}, {}^R A_{5,IV} \right\}$ ؛

$M_{IV}$  هو حد الكتلة (غرام) في السيناريو الرابع.

$$(52) \quad {}^R A_V = \begin{cases} {}^R A_{6R,V} & \text{if } M \leq M_V \\ \text{Unlimited} & \text{if } M > M_V \end{cases}$$

حيث

${}^R A_{6R,V}$  هو النشاط الأولي المحدد وفقاً للمعادلة (٤٧)، (بالبكريل)؛

$M$  هو الكتلة<sup>٩</sup> (بالغرام) لمادة مشعة ذات نشاط يساوي  ${}^R A_{6R,V}$ ؛

$M_V$  هو حد الكتلة (بالغرام) في السيناريو الخامس على النحو الوارد في الجدول ٨.

وقيمة  ${}^R D_2$  في الغازات الخاملة هي أصغر النشاطين  $A_C$ ، و  ${}^R A_{VI}$  ويتم الحصول عليها بالمعادلة التالية:

$$(53) \quad {}^R D_2 = \min \{ {}^R A_{VI}, A_C \}$$

حيث:

$A_C$  هو حد الحرجة (بالبكريل)، ويرد في الجدول ٢٨؛

${}^R A_{VI}$  هو النشاط الأولي المحدد بالمعادلة (٤٥)؛ (بالبكريل)؛

$$(54) \quad {}^R A_{VI} = \begin{cases} {}^R A_{7,VI} & \text{if } M \leq M_{VI} \\ \text{Unlimited} & \text{if } M > M_{VI} \end{cases}$$

حيث:

${}^R A_{7,VI}$  هو النشاط الأولي المحدد بالمعادلة (٤٨)، (بالبكريل)؛

$M$  هو الكتلة<sup>٩</sup> (بالغرام) لمادة مشعة ذات نشاط  ${}^R A_{7,VI}$ ؛

$M_{VI}$  هو حد الكتلة في السيناريو السادس على النحو الوارد في الجدول ١١ (بالغرام).

وتكون قيمة  ${}^R D_2$  في مادة مشعة معينة غير الغاز الخامل غير محدودة إذا كانت قيم  ${}^R A_{III}$ ، و  ${}^R A_{IV}$ ، و  ${}^R A_{V}$ ، و  ${}^R A_C$  غير محدودة. وتكون هذه القيمة غير محدودة في الغاز الخامل المشع إذا كانت قيم  ${}^R A_{VI}$  و  ${}^R A_C$  لهذه النوعية المشعة غير محدودة. ويتضمن الجدولان ١ و ٢٤ قيم  ${}^R D_2$  (للنويديات المشعة التي حُسبت قيمتها أيضاً باستخدام النهج المبني على الخبرة).



## التبديل الرابع

### معاملات تحويل معدل الجرعة الخارجية

يتناول هذا التبديل بالتفصيل حساب معاملات تحويل معدل الجرعة لتحديد خصائص مصادر التعرض الخارجي وفقاً للسيناريوهين الأول والثاني. واستخدم نوعان من معاملات التحويل في النهج المبني على الخبرة والنهج القائم على المخاطر عند حساب قيم  $D_1$ :

- (أ) معاملات تحويل معدل الجرعة لتحديد خصائص المصادر التي لا تبتعد إلا إشعاعاً ذا انتقال خطى منخفض للطاقة؛
- (ب) معاملات تحويل معدل الجرعة لتحديد خصائص المصادر التي تبتعد مجموعة من الإشعاعات ذات الانتقال الخطى المنخفض للطاقة والإشعاعات ذات الانتقال الخطى المرتفع للطاقة.

ويتضمن الجدول ١٥ معاملات تحويل معدل الجرعة لمربعات الإشعاع ذي الانتقال الخطى المنخفض للطاقة المستخدمة في النهج المبني على الخبرة والنهج القائم على المخاطر، ويتضمن الجدولان ١٤ و ١٣ معاملات تحويل معدل الجرعة للإشعاع ذي الانتقال الخطى المرتفع للطاقة. وتتوقف المعاملات على سيناريو التعرض وطبقات وكثافات الإشعاعات المبتعدة من المصدر. وتتوقف الطبقات والكتافات المبتعدة من المصدر على انبعاثات النويدية المشعة المغلفة في المصدر، إلى جانب تفاعلات هذا الإشعاع الأولى مع مادة المصدر. وأخذت طبقات وكثافات الإشعاعات التي تبتعد عنها النويديات المشعة من منشور اللجنة الدولية للوقاية من الإشعاعات رقم [٣٨]، وروعي أثر النمو الداخلي للنواتج على خصائص قياس جرعات المصدر حسب ما هو مبين في التبديل الثامن.

وافتراض أن المصدر يتكون من مادة مشعة موزعة بالتساوي ومغلفة في فولاذ غير قابل للصدأ. وبالنظر إلى أن المصدر مغلف فإن جسيمات ألفا والإلكترونات المبتعدة (بيتا وإلكترونات التحول) لا تهرب من المصدر. على أن جسيمات بيتا وإلكترونات التحول تولد إشعاعاً صدماً نظراً لتباطؤ الإلكترونات داخل مادة المصدر والفولاذ غير القابل للصدأ. وأخذ في الاعتبار تولد الإشعاع الصدمي في مادة مصدر مربعات بيتا الإشعاع الصدمي المقدر بالإضافة إلى الانبعاثات الجيمية.

وافتراض أن الوضع الهندسي للمصدر المغلف هو أسطوانة قائمة قطرها ٠,٥ سم وطولها ١,٥ سم. وأما الوضع الهندسي للتعرض الخارجي للمصدر غير المنشط في الجسم البشري فقد حدّده سيناريو التعرض موضوع التقييم:

- (أ) يحسب السيناريو الأول (سيناريو "الجيب") متوسط الجرعة في كتلة قدرها ~ ٦٣ غراماً على خط الوسط، وافتراض أن طول المصدر هو أسطوانة نصف قطرها ١٠ سم وارتفاعها ٢ سم في وسط المصدر على مسافة ٢ سم فوقها. ويواري الوجه الدائري للإسطوانة طول المصدر. والغرض من ذلك هو تقرير الجرعة الناشئة عن مصدر متحرك يحمله شخص لعدة ساعات على النحو المبين في التبديل الثاني.

- (ب) نظر السيناريو الثاني (سيناريو "الغرفة") في تعرض إنسان مرجعي بالغ لمصدر مغلف صغير غير مدَّعَّ ومتجانس متعامد من مسافة متر واحد على مركز الجذع. والمادة الواقعة بين المصدر والجذع هي هواء كثافته  $1,2 \times 10^{-3}$  غ/سم<sup>٣</sup>.

## رابعاً - الإشعاع ذو الانتقال الخطي المنخفض للطاقة

### رابعاً - ١- معاملات الجرعة المستخدمة في النهج المبني على الخبرة

تشمل معاملات الجرعة المستخدمة في تحديد خصائص التعرض الخارجي لمصادر التي تبعث إشعاعاً ذا انتقال خطى منخفض للطاقة<sup>١٧</sup> ما يلى:

- (أ) الفوتونات الناشئة عن التحول النووي لنويدة مشعة في المصدر؛  
(ب) فوتونات إشعاع الصدم الناشئة عن تفاعل جسيمات بيتا مع مادة المصدر.

ويُحسب معاملاً تحويل الجرعة الخاصة بالنويدات المشعة

(أ)  $DF_{T,S}^L$  ، وهو معدل الجرعة الممتصة في النسيج الرخو وفقاً لسيناريو الجيب (السيناريو الأول)  
(غراء/بكريل × ثانية))؛

(ب)  $DF_{T,S}^L$  ، وهو معدل الجرعة الممتصة في النخاع الأحمر من مصدر ينبعث منه إشعاع ذو انتقال خطى منخفض للطاقة على بُعد متر واحد من الجسم (السيناريو الثاني)،

باستخدام المعادلة التالية:

$$(55) \quad DF_{T,S}^L = \sum_i^n Y_i^\gamma d_{T,S}^\gamma(E_{\gamma,i}) + \\ + \sum_j^m Y_j^e \int_{E_0}^{E_{e,j}} S(E_\gamma, E_{e,j}) d_{T,S}^\gamma(E_\gamma) dE_\gamma + \int_{E_0}^0 S_\beta(E_\gamma, E_e^0) d_{T,S}^\gamma(E_\gamma) dE_\gamma,$$

حيث:

$DF_{T,S}^L$  هو معامل تحويل الجرعة الممتصة في العضو أو النسيج T المشع بإشعاع ذي انتقال خطى منخفض للطاقة من مصدر على النحو المبين في السيناريو S، (غراء/بكريل × ثانية))؛

$d_{T,S}^\gamma(E_\gamma)$  هي دالة لاستجابة الجرعة الممتصة، وهي تساوي الجرعة الممتصة في عضو أو نسيج T مشع بفوتون من مصدر أحادي الطاقة  $E_\gamma$  على النحو المبين في السيناريو S، (غراء/بكريل × ثانية)).

والحدود الثلاثة في المعادلة (٥٥) هي على التوالي:

- (أ) مساهمة الفوتونات المتقطعة ذات الطاقة  $E_{\gamma,i}$  والكثافة  $\gamma_i$  في كل تحول نووي؛  
(ب) مساهمة طيف الإشعاع الصدمي المستمر من النوع  $S(E_\gamma, E_{e,j})$  الناشئ عن تباطؤ كل إلكترون من إلكترونات التحول الناتج  $E_{e,j}$  والطاقة الحركية  $E_e$ ؛

(ج) مساهمة طيف الإشعاع الصدمي المستمر  $S_\beta(E_\gamma, E_e^0)$  الناشئ عن طيف بيتا ذي الطاقة القصوى  $E_e^0$ .

والحد الأدنى للتكاملات في الحدين الثاني والثالث،  $E_0$ ، هو ١٠ كيلو إلكترون فولط.

واستندت معالجة توليد إشعاع الصدم عند اشتقاء قيم  $D$  إلى دلمان وإيكerman (Dilman and Eckerman) [٣٩] حسب ما هو وارد في التذييل جيم من تقرير الإرشادات الاتحادية رقم ١٢ [٤٠]. ويعرف  $dE_\gamma$  بأنه عدد فوتونات الإشعاع الصدمي الذي تكون له طاقة تتراوح بين  $E_\gamma$  و  $E_\gamma + dE_\gamma$  نتيجة لـإلكترون أحادي الطاقة ذي نشاط حركي أولى  $E_e$ . ويعرف حينئذ طيف الإشعاع الصدمي المتدرج  $(S'(E_\gamma, E_e))$  بأنه:

$$(56) \quad S'(E_\gamma, E_e) = 100 \frac{E_\gamma}{E_e} S(E_\gamma, E_e) \text{ for } 0 \leq E_\gamma \leq E_e$$

ويعبّر عنه بالنسبة المئوية (%). ويرد ذلك في جدول بالمرجع [٣٩] يتضمن المواد المتباينة من حيث قدرتها على الوقف. وحصلة الإشعاع الصدمي، أي النسبة المئوية لطاقة الإلكترون المتحولة إلى إشعاع صدمي  $Y_{BS}$  هي:

$$(57) \quad Y_{BS}(E_e) = \int_0^{E_e} S'(E_\gamma, E_e) dE_\gamma$$

ويحدد الجدول ١٢ طيف إشعاع الصدم المتدرج  $(S'(E_\gamma, E_e))$  وحصلة إشعاع الصدم للفولاذ غير القابل للصدأ ( $Z \approx 26$ ).

وإذا كان طيف بيتا له طاقة قصوى  $E_e^0$ ، وكان  $n_\beta(E_e, E_e^0) dE_e$  هو عدد جسيمات بيتا التي تحتوي على طاقة تتراوح بين  $E_e$  و  $E_e + dE_e$ ، فإن طيف إشعاع الصدم الناشئ هو:

$$(58) \quad S_\beta(E_\gamma, E_e^0) = \frac{1}{100E_\gamma} \int_{E_\gamma}^{E_e^0} n_\beta(E_e, E_e^0) S'(E_\gamma, E_e) E_e dE_e$$

الجدول ١٢: الأطیاف المتدرجة لإشعاع الصدم من الإلكترونات في الفولاذ غير القابل للصدأ

$E_\gamma/E_e$	$E_e$ (ميغا إلكترون فولط)
0.50	0.40
0.56	6.97
0.59	5.75
0.65	5.49
0.79	5.26
0.82	4.78
0.92	4.13
0.96	3.71
1.09	3.40
1.94	2.65
1.61	2.20
1.40	1.99
0.40	0.30
0.30	0.20
0.20	0.10
0.10	0.05
0.05	0

			$E_\gamma/E_e$						(ميجا إلكترون فولط)
٠.٥٠	٠.٤٠	٠.٣٠	٠.٢٠	٠.١٠	٠.٠٥	٠			٠.٥
١.٢٧	١.٨٢	٢.٥٩	٣.٧٠	٥.٤٧	٦.٨٧	٨.٨٧			٠.٦
١.١٧	١.٧٠	٢.٤٤	٣.٥٢	٥.٢٥	٦.٦٦	٨.٧٢			٠.٧
١.٠٦	١.٥٤	٢.٢٤	٣.٢٦	٤.٩٥	٦.٣٥	٨.٤٧			٠.٨
٠.٩٩٢	١.٤٦	٢.١٢	٣.١٠	٤.٧٥	٦.١٣	٨.٢٦			١
٠.٩٥٥	١.٤٠	٢.٠٤	٣.٠٠	٤.٦٠	٥.٩٦	٨.٠٩			١.٢
٠.٩٣٣	١.٣٧	١.٩٨	٢.٩٢	٤.٤٩	٥.٨٢	٧.٩٢			١.٤
٠.٩٢٠	١.٣٥	١.٩٥	٢.٨٦	٤.٤٠	٥.٧١	٧.٧٧			١.٦
٠.٩١٣	١.٣٣	١.٩٣	٢.٨١	٤.٣٣	٥.٦٢	٧.٦٤			١.٨
٠.٩١٠	١.٣٣	١.٩١	٢.٧٨	٤.٢٧	٥.٥٥	٧.٥٦			٢
٠.٩٠٨	١.٣٢	١.٨٨	٢.٧٣	٤.١٥	٥.٣٩	٧.٣٤			٢.٥
٠.٩١١	١.٣١	١.٨٧	٢.٦٩	٤.٠٦	٥.٢٤	٧.١٣			٣
٠.٩٢٠	١.٣١	١.٨٥	٢.٦٣	٣.٩٣	٥.٠٢	٦.٧٢			٤
٠.٩٢٨	١.٣١	١.٨٤	٢.٥٩	٣.٨٢	٤.٨٤	٦.٣٨			٥
٠.٩٣٤	١.٣١	١.٨٢	٢.٥٦	٣.٧٤	٤.٧٩	٦.١٠			٦
٠.٩٣٨	١.٣١	١.٧٩	٢.٤٩	٣.٥٨	٤.٤٤	٥.٧٦			٨
٠.٩٣٤	١.٢٩	١.٧٦	٢.٤١	٣.٤٤	٤.٢٤	٥.٣٥			١٠

١٢ تتمة الجدول

الحصيلة	E $\gamma$ /E <sub>e</sub>	E $\gamma$ /E <sub>e</sub>	E <sub>e</sub>			
الحصيلة	E $\gamma$ /E <sub>e</sub>	E $\gamma$ /E <sub>e</sub>	E <sub>e</sub>			
(%)	٠.٩٥	٠.٩٠	٠.٨٠	٠.٧٠	٠.٦٠	(ميغا إلكترون فولط)
٠.٠٠٦٣	٠.٥٦٧	١.١٣	٢.٢٧	٣.٤١	٤.٥٧	٠.٠٠١
٠.٠١٢٢	٠.٤٨٤	٠.٩٦٨	١.٩٣	٢.٨٨	٣.٨٤	٠.٠٠٢٥
٠.٠٢٢٩	٠.٤٣٩	٠.٨٨٣	١.٧٨	٢.٦٩	٣.٦١	٠.٠٠٥
٠.٠٤٤٣	٠.٣٩٣	٠.٧٩٣	١.٦١	٢.٤٧	٣.٣٦	٠.٠١
٠.١٠٤	٠.٣١٩	٠.٦٥٢	١.٣٥	٢.١١	٢.٩٣	٠.٠٢٥
٠.١٨٨	٠.٢٥٤	٠.٥٢٠	١.٠٩	١.٧٣	٢.٤٣	٠.٠٥
٠.٢٦٠	٠.٢١٣	٠.٤٣٩	٠.٩٣٣	١.٤٩	٢.١٣	٠.٠٧٥
٠.٣٢٥	٠.١٨٤	٠.٣٨٠	٠.٨١٥	١.٣٢	١.٩٠	٠.١
٠.٥٤٣	٠.١١٨	٠.٢٤٨	٠.٥٥٠	٠.٩٢١	١.٣٧	٠.٢
٠.٧٢٤	٠.٠٨٧	٠.١٨٥	٠.٤٢٢	٠.٧٢٤	١.١١	٠.٣
٠.٨٨٥	٠.٠٧٩	٠.١٥٠	٠.٣٤٩	٠.٧١١	٠.٩٥٢	٠.٤
١.٠٣	٠.٠٥٩	٠.١٢٨	٠.٣٠٣	٠.٥٣٨	٠.٨٥١	٠.٥
١.١٨	٠.٠٥٢	٠.١١٤	٠.٢٧٤	٠.٤٩٠	٠.٧٨٢	٠.٦
١.٤٧	٠.٠٤٤	٠.٠٩٧	٠.٢٣٩	٠.٤٣٣	٠.٧٩٨	٠.٨
١.٧٥	٠.٠٣٩	٠.٠٨٩	٠.٢٢١	٠.٤٤٠	٠.٦٥٣	١
٢.٠٣	٠.٠٣٧	٠.٠٨٤	٠.٢١١	٠.٣٨٨	٠.٦٢٨	١.٢
٢.٣١	٠.٠٣٥	٠.٠٨١	٠.٢٠٦	٠.٣٧٩	٠.٦١٥	١.٤
٢.٥٩	٠.٠٣٤	٠.٠٧٩	٠.٢٠٣	٠.٣٧٥	٠.٦٠٨	١.٦
٢.٨٨	٠.٠٣٣	٠.٠٧٨	٠.٢٠١	٠.٣٧٣	٠.٦٠٤	١.٨
٣.١٧	٠.٠٣٢	٠.٠٧٧	٠.٢٠١	٠.٣٧٣	٠.٦٠٣	٢
٣.٨٨	٠.٠٣١	٠.٠٧٦	٠.٢٠١	٠.٣٧٥	٠.٦٠٥	٢.٥
٤.٥٩	٠.٠٣٠	٠.٠٧٥	٠.٢٠٢	٠.٣٧٩	٠.٦٠٩	٣
٥.٩٨	٠.٠٣٠	٠.٠٧٦	٠.٢٠٧	٠.٣٨٧	٠.٦٢٠	٤

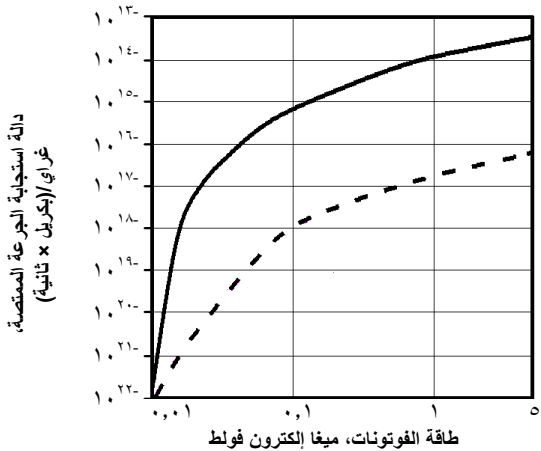
الحصيلة			$E\gamma/E_e$		$E\gamma/E_e$	$E_e$
الحصيلة			$E\gamma/E_e$		$E_e$	(ميغا إلكترون فولط)
(%)	٠.٩٥	٠.٩٠	٠.٨٠	٠.٧٠	٠.٦٠	٥
٧.٣٥	٠.٠٣١	٠.٠٧٧	٠.٢١٢	٠.٣٩٥	٠.٦٣٠	٦
٨.٦٨	٠.٠٣١	٠.٠٧٨	٠.٢١٦	٠.٤٠٢	٠.٦٣٨	٨
١١.٣	٠.٠٣١	٠.٠٨٠	٠.٢٢٠	٠.٤١١	٠.٦٤٧	١٠
١٣.٧	٠.٠٣٢	٠.٠٨١	٠.٢٢٣	٠.٤١٤	٠.٦٤٨	

وعند حساب معاملات الجرعة في السيناريو الأول، حُسب معامل استجابة الجرعة الممتصة ( $E_{\gamma,1,I}^{d}$ ) من الفوتونات المبتعدة في المصدر لمتوسط الأنسجة في أسطوانة نصف قطرها ١٠ سم وطولها ٠٠٢ سم. وكان الغرض من ذلك هو تقرير الجرعة الناشئة عن مصادر متحركة محمولة في الجيب. وأجريت هذه الحسابات باستخدام شفرة مونت كارلو MCNP التي تفترض مسطحاً من النسيج الرخو تكوينه من النوع المحدد في منشور اللجنة الدولية للوحدات والمقياييس الإشعاعية رقم ٤٤ [٤١]. ويبين الشكل ٦ (المنحنى المتصل) دوال استجابة الجرعة الممتصة عند عمق معين كدالة لطاقة الفوتونات المبتعدة. واستندت بعض البيانات التي تقل عن ٣٠ كيلو إلكترون فولط إلى استقراءات مستتبطة من طاقات أعلى في الحالات التي اعتبرت فيها حسابات مونت كارلو لهذه الطاقات المنخفضة غير واقعية.

وعند حساب معاملات الجرعة في السيناريو الثاني، حُسبت دالة استجابة الجرعة الممتصة ( $E_{\gamma,II,d}^{d}$ ) من الفوتونات المبتعدة في المصدر عندما يتعرض إنسان مرجعي بالغ لمصدر مغلق متجلس غير مدرب صغير متبعاد على مركز جذعه على مسافة متر واحد وتكون المادة الواقعة بين المصدر والجذع هي هواء كثافته  $1.2 \times 10^{-3} \text{ غ/سم}^3$ . وأجريت هذه الحسابات باستخدام شفرة ALGAMP المأخوذة عن مختبر أول RIDج الوطني [٤٠] لمصدر في نقطة محددة. واستند توزيع طاقة وكثافة فوتونات المصدر الثابت إلى حسابات مونت كارلو لأنبعاثات المصدر غير المدرب. ويبين الشكل ٦ (المنحنى المتقطع) دالة استجابة الجرعة الممتصة في النخاع الأحمر كدالة لطاقة الفوتونات المبتعدة. واستندت بعض بيانات فوتونات الطاقة التي تقل عن ٣٠ كيلو إلكترون فولط إلى الاستقراءات المستتبطة من الطاقة الكبرى في الحالات التي اعتبرت فيها حسابات مونت كارلو لهذه الطاقات المنخفضة غير واقعية.

ويبلغ متوسط المسار الحر الوسطي<sup>١٨</sup> للفوتونات في الهواء هو ٥٠ مترًا في حالة الفوتونات التي لها طاقة تبلغ ١٠ كيلو إلكترون فولط و ٤٠٠ متر للفوتونات ذات الطاقة التي تبلغ ١ ميغا إلكترون فولط [٤٢]. ولذلك فإن التناشر المتعدد للفوتونات في الهواء في مسارها من المصدر إلى سطح جسم الإنسان (ظاهره اللمعان السماوي) لا يُذكر ولم يؤخذ في الحسبان. ويبين منشور اللجنة الدولية للوقاية من الإشعاعات رقم ٧٤ [٤٣] أن متوسط الجرعة الممتصة من الإشعاع ذي الانتقال الخطي المنخفض للطاقة في النخاع الأحمر لا يختلف كثيراً عن متوسطها في أي عضو من الأعضاء التي تعتبر جزءاً من الجذع. ولذلك فإن معاملات تحويل معدل جرعة النخاع العظمي الأحمر تستخدم لحساب جرعة "الجذع".

١٨ المسار الحر الوسطي هو متوسط المسافة التي يقطعها جسيم ما أو فوتون ما بين نوع محدد (أو أنواع محددة) من التفاعل في وسط معين.



الشكل ٦: دوال استجابة الجرعة الممتصة من الفوتونات المبتعثة في المصدر المغلف بطبق المنحنى المتصل على جرعة التسليخ الرخو في السيناريو الأول. وينطبق المنحنى المتقطع على جرعة النخاع الأحمر في السيناريو الثاني.

#### رابعاً - معاملات الجرعة المستخدمة في النهج القائم على المخاطر

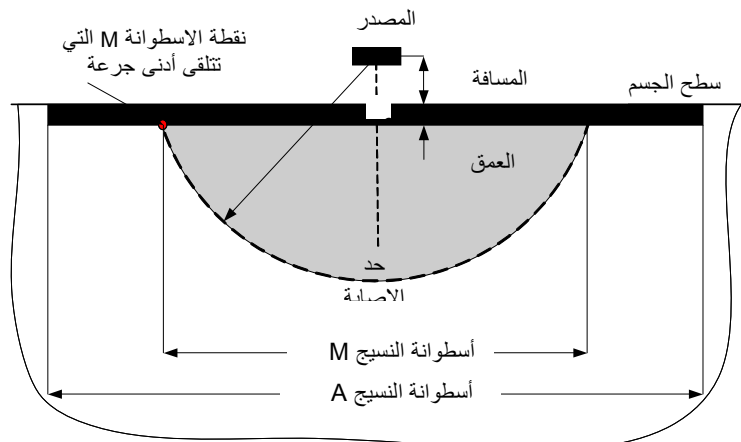
أجريت في إطار النهج القائم على المخاطر حسابات مستقلة للتأكد من أن معاملات تحويل معدل الجرعة الناجمة عن التعرض لمصادر قريبة (السيناريو الأول) معقولة. وأجريت هذه الحسابات المستقلة على مصدر قريب يبعث فوتونات ذات طاقة تزيد على ٥٠ كيلو إلكترون فولط. وحسبت في هذه الحالة معاملات تحويل معدل الجرعة باعتبارها ناتجاً لثبت كيرما الفوتونات ذات الطاقة المعينة والعامل الهندسي [٤٤]. وحسب ثابت كيرما باستخدام شفرة "RadSum 32 Code: A Win 32 version" [٤٥]. واستند العامل الهندسي المستخدم إلى بيانات النهج المبني على الخبرة حسب ما هو مبين أعلاه.

وكشفت الحسابات عن أن معاملات تحويل معدل الجرعة للفوتونات ذات الطاقة التي تزيد على ٥٠ كيلو إلكترون فولط المحسوبة للأوضاع الهندسية التالية تساوي ريبة بمية ٢ في المائة تقريباً:

(أ) معدل الجرعة هو المتوسط في أسطوانة نصف قطرها ١٠ سم وطولها ٠,٢ سم؛ (هذا هو الأساس الذي استند إليه حساب معامل تحويل معدل الجرعة المستخدم في النهج المبني على الخبرة)؛

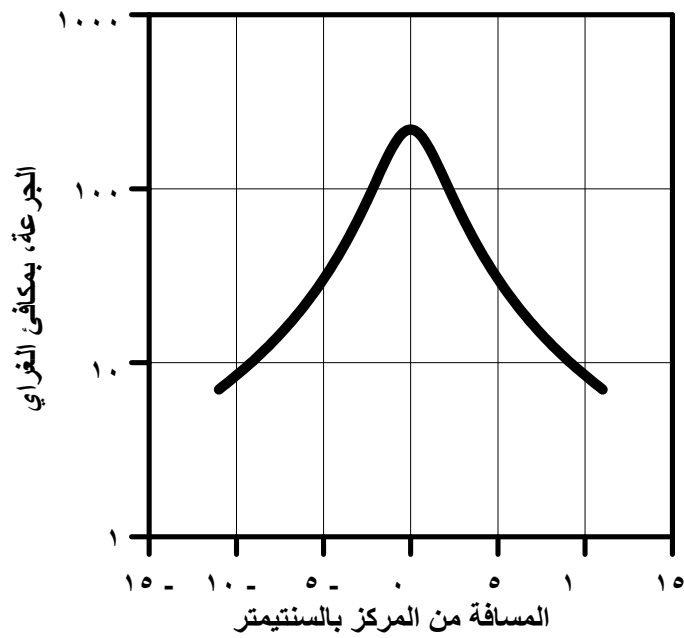
(ب) معدل الجرعة هو المتوسط في الأسطوانة A (المبيّنة في الشكل ٧) التي يبلغ نصف قطرها ١٠ سم (مساحتها ٣١٤ سم<sup>٢</sup>) وطولها ٠,٥ سم؛

(ج) معدل الجرعة هو معدل الجرعة الأدنى في الأسطوانة M (الشكل ٧) التي تبلغ مساحتها ١٠٠ سم<sup>٢</sup> (نصف قطرها ٦ سم تقريباً) وعمقها ٠,٥ سم.

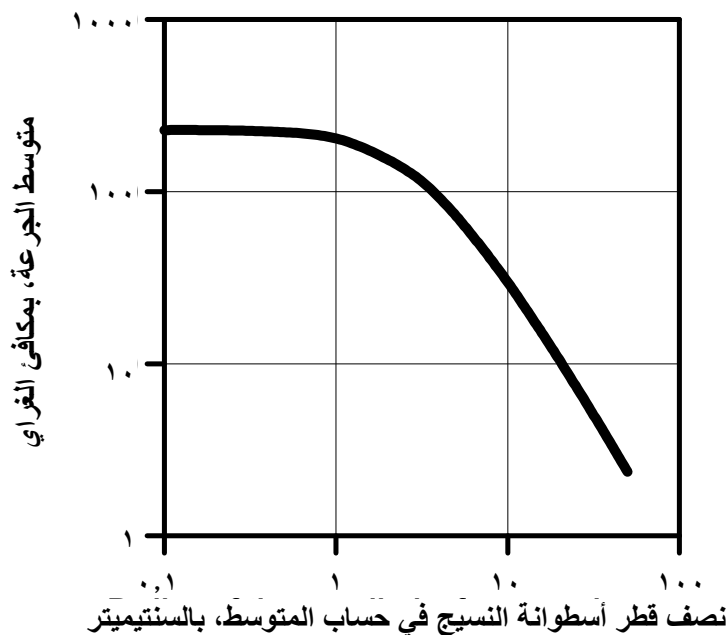


الشكل ٧: الأوضاع الهندسية للتحقق من معاملات جرعات المصادر القريبة

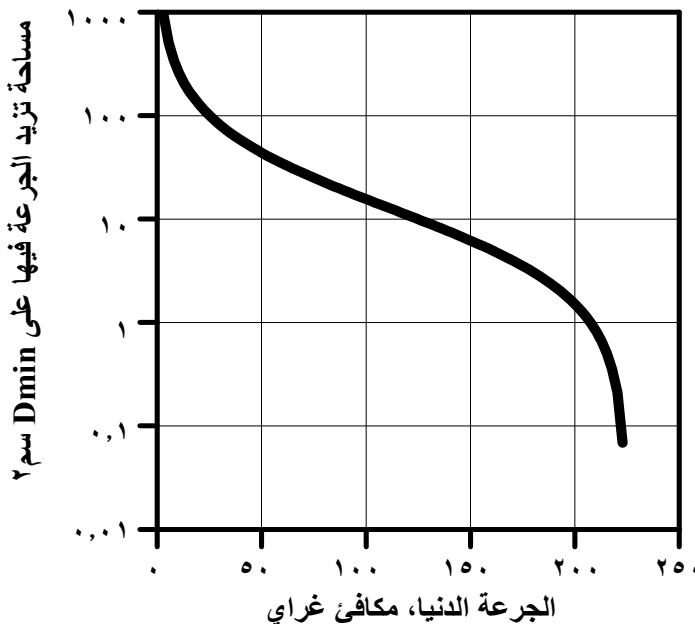
ويرتكز المصدر في الحالتين (ب) و(ج) إلى الأسطوانة على مسافة ١,٥ سم فوق سطح الأسطوانة، وتقدر الجرعة من عمق قدره ٠,٥ سم تحت السطح. وتؤدي الجرعة التي تتجاوز مستوى عتبة نخر النسيج إلى حدوث تلف في النسيج الرخو. ويظهر في الشكل ٧ حد الإصابة الناشئة عن مصدر قريب كسطح شبه كروي تساوي عنده الجرعة عتبة نخر النسيج الرخو (TD1) المحددة في الجدول ٨، وتساوي ٢٥ مكافئ غراري. وتشريع النسيج الرخو بهذا المصدر يكون غير متجانس. ويبين الشكل ٨ تحول قيمة الجرعة التقريبية داخل أسطوانة النسيج المماثلة للأسطوانة A. ويتعلق ذلك بمتغيرات جاما التي يكون لها نشاط يساوي قيمة A1,I المحددة بالمعادلة (٤٦) في سيناريو التعرض الأول. وتبلغ الجرعة أقصى مستوياتها في مركز أسطوانة النسيج المشع تحت المصدر مباشرة وتقل بسرعة كلما ازدادت المسافة بين النسيج ومركز الأسطوانة الشكل ٩ متوسط الجرعة في المنطقة الدائرية التقريبية نتيجة للتعرض لمصدر قريب ذي نشاط يساوي A1,I كدالة لنصف قطر المساحة. ويبين الشكل ١٠ مساحة الأسطوانة A التي تتجاوز فيها الجرعة من هذا المصدر ٢٥ غراري. ويدل ذلك على أن المساحة التي تزيد فيها الجرعة على ٢٥ غراري تتفق فيما يبدو بدرجة كبيرة مع التجربة المتعلقة بتكون النخر في أثناء حالات الطوارئ التي تتطلبها على مصادر محمولة في الجيب.



الشكل ٨: الجرعة التقريرية لمصدر ذي نشاط من النوع  $A_{I,I}$  على مسافة معينة من التعرض العادي لمصدر على بعد ٢ سم فوق قاعدة أسطوانة النسيج (١,٥ سم فوق سطح الجسم).



الشكل ٩: الجرعة المتوسطة في مساحة الدائرة التقريرية من المصدر المبين في الشكل ٨ كدالة لنصف قطر المساحة



الشكل ١٠: المساحة التقريرية التي تتجاوز فيها الجرعة ٢٥ مكافئ غراري نتيجة التعرض لمصدر على مسافة ٢ سم فوق قاعدة أسطوانة النسيج (١٠,٥ سم فوق سطح الجسم)

وتحسب معاملات تحويل الجرعة  $AF_{I,I}$  ، الناتجة عن تشيع النسيج الرخو بمصدر قريب (السيناريو الأول) بالمعادلة التالية:

$$(٥٩) \quad AF_{I,I} = RBE^L \times DF_{I,I}^L$$

حيث:

$AF_{I,I}$  هو معامل تحويل الجرعة المرجحة بالفعالية البيولوجية النسبية في النسيج الرخو المشع بمصدر قريب على النحو المبين في السيناريو الأول ((مكافئ غراري)/(بكريل × ثانية))؛

$RBE^L$  هي الفعالية البيولوجية النسبية للإشعاع ذي الانتقال الخطى المنخفض للطاقة وتساوي واحد صحيح ((مكافئ غراري)/غراري)؛

$DF_{I,I}^L$  هو معامل تحويل الجرعة الممتصة في النسيج الرخو المشع بإشعاع ذي انتقال خطى منخفض للطاقة من مصدر قريب على النحو المبين في السيناريو الأول (غراري/(بكريل × ثانية)).

وتحسب معاملات تحويل الجرعة  $AF_{I,I}$  نتاجة لتشيع النخاع الأحمر من مصدر بعيد (السيناريو الثاني) بالمعادلة التالية:

$$(٦٠) \quad AF_{2,II} = RBE^L \times DF_{2,II}^L$$

حيث:

$AF_{2,II}$  هو معامل تحويل الجرعة المرجحة بالفعالية البيولوجية النسبية في النخاع الأحمر المشع من مصدر بعيد على النحو المبين في السيناريو الثاني، ((مكافئ غراري)/(بكريل × ثانية))؛

$RBE^L$  هي الفعالية البيولوجية النسبية للإشعاع ذي الانتقال الخطي المنخفض للطاقة وتساوي واحد صحيح ((مكافئ غراري)/غراري)،

$DF_{2,II}^L$  هو معامل تحويل الجرعة الممتصة في النخاع الأحمر المشع بإشعاع ذي انتقال خطي منخفض للطاقة من مصدر بعيد على النحو المبين في السيناريو الأول، (غراري/(بكريل × ثانية)).

والفعالية البيولوجية النسبية للإشعاع ذي الانتقال الخطي المنخفض للطاقة تساوي واحد صحيح حسب ما هو محدد في الجدول ١٠. ولذلك فإن معامل تحويل معدل الجرعة المرجحة بالفعالية البيولوجية النسبية في حالة مصدر لا يبتعد إلا إشعاعاً ذا انتقال خطي منخفض للطاقة يساوي عددياً معامل تحويل معدل الجرعة الممتصة.

#### رابعاً - الإشعاع ذو الانتقال الخطي المرتفع للطاقة

الإشعاع المهم الوحيد ذو الانتقال الخطي المرتفع للطاقة في التعرض الخارجي هو النيوترونات. وهناك العديد من المصادر النيوترونية المهمة التي كان لا بد من تقييمها باعتبار أنها قد تتطوّر على خطورة. ويتضمن الجدول ٢٧ الخصائص النووية لبعض المصادر النيوترونية الشائعة. وأهم مصادر النيوترونات هي المصادر التي تحتوي على الكاليفورنيوم - ٢٥٢ والخلانط الصلبة من الأميريشيوم - ٤١/البريليوم - ٩ أو البلوتونيوم - ٣٩/البريليوم - ٩. كما تبعت مصادر النيوترونات فوتونات؛ ولذلك فإن معدل الجرعة من مصدر نيوتروني لابد أن يشمل الإشعاع ذا الانتقال الخطي المنخفض للطاقة الناشئ عن الأضمحلال النووي أو الانشطار التلقائي فضلاً عن الإشعاع النيوتروني ذي الانتقال الخطي المرتفع للطاقة.

#### رابعاً - معاملات الجرعة المستخدمة في النهج المبني على الخبرة

قدّرت معاملات تحويل معدل الجرعة الممتصة من مصادر الكاليفورنيوم - ٢٥٢ المحتوية على نيوترونات باستخدام معدل الجرعة الفعالة نقاً عن المرجع [٤٦]. وقسم معدل الجرعة الفعالة من النيوترونات على ١٠ لتقدير معامل معدل الجرعة الممتصة للإشعاع ذي الانتقال الخطي المرتفع للطاقة<sup>١٠</sup>،  $DF_{2,II}^{H+L}$ ، في النخاع الأحمر على مسافة متر واحد من المصدر (السيناريو الثاني). وافتراض أن معامل معدل الجرعة الممتصة  $DF_{2,II}^{H+L}$  في النخاع الأحمر وفقاً لسيناريو الجيب (السيناريو الأول) يزيد ١٠٠٠ مرة على قيمة  $DF_{1,I}^{H+L}$ .

وقدّرت معاملات تحويل معدل الجرعة الممتصة من مصادر نيوترونات الأميريشيوم - ٤١/البريليوم - ٩ والبلوتونيوم - ٣٩/البريليوم - ٩ باستخدام معدل الجرعة المكافئة المحدد في المرجع [٤٧]. ويتضمن الجدول ١-٣ من هذا المرجع صيغة لمعدل الجرعة المكافئة من مصدر نيوترونات محدد النقطة ومتجانس الاتجاهات ذي طاقة قدرها ٢ ميغا إلكترون فولط. ويساوي ذلك طاقة متوسطة من النيوترونات المبتعثة من مصدر غير مدرّع من الأميريشيوم - ٤١/البريليوم - ٩ أو البلوتونيوم - ٣٩/البريليوم - ٩.

١٩ مساهمة الإشعاع ذي الانتقال الخطي المنخفض للطاقة في الجرعة الفعالة من الكاليفورنيوم - ٢٥٢ لا تتجاوز ٦ في المائة [٤٦].

$$(61) \quad h_{\text{point}}^n(r) \approx 4.2 \times 10^{-10} \frac{Y_n}{4\pi r^2}$$

حيث:

$h_{\text{point}}^n(r)$  هو ثابت معدل الجرعة المكافئة لمصدر نيوترونات محدّد النقطة ومتجانس الاتجاهات ذي طاقة قدرها ٢ ميغا إلكترون فولط، (سيفرت/(بكريل × ثانية))؛

$r$  هي المسافة من المصدر الموجود في نقطة محددة، (سم)؛

$Y_n$  هي حصيلة النيوترونات من المصدر، أي عدد النيوترونات المبتعة في ثانية واحدة من مصدر لكل وحدة نشاط من نويدة مشعة مبتعة لآلفا، (نيوترون/(بكريل × ثانية)).

ويتضمن المرجع [٤٧] في الجدول ٤-٥ حسائل مماثلة تبلغ ما يقرب من  $6 \times 10^{-5}$  نيوترون/(بكريل × ثانية) لمصادر النيوترونات المحتوية على الأميريشيوم - ٩٢٤١ والبلوتونيوم - ٩٢٣٩ والبريليوم - ٩٠٩. وتحدد المعادلة (٦١) لهذه الحصيلة معدل جرعة مكافئة من الإشعاع ذي الانقلال الخطي المرتفع للطاقة على مسافة ٢ سم من مصدر تبلغ طاقته تقريباً  $4 \times 10^{-10}$  سيفرت/(بكريل × ثانية). وعندما يضاف ذلك إلى جرعة فوتونات قدرها  $8.7 \times 10^{-17}$  غرافي/(بكريل × ثانية) للإشعاع ذي الانقلال الخطي المنخفض للطاقة المبتعة من اضمحلال ألفا في الأميريشيوم - ٤٢٤١ فإن مجموع الجرعة المكافئة يبلغ تقريباً  $5 \times 10^{-16}$  سيفرت/(بكريل × ثانية). واعتبرت قيمة  $DF_{1,I}^{H+L}$ ، أي معامل تحويل الجرعة الناجمة عن التعرض لمصدر قريب على النحو المحدّد في السيناريو الأول، مساوية لذلك. وافتراض أيضاً أن معامل تحويل الجرعة الناجمة عن التعرض لمصدر على مسافة متر واحد  $DF_{2,II}^H$  يساوي  $1000/1$  من  $DF_{1,I}^{H+L}$ . ويتضمن الجدول ١٣ قيمة  $DF_{1,I}^{L+H}$  و  $DF_{2,II}^{L+H}$  لمبتعثات النيوترونات التي تناولها النهج المبني على الخبرة لتقدير قيم  $D_1$ . وتقدّر هذه القيم تقريباً الجرعة الممتصة على أساس جرعة تكافئ ٢ ميغا إلكترون فولط من النيوترونات. ويؤدي ذلك إلى مبالغة كبيرة في تقدير الجرعة الممتصة ويبالغ وبالتالي في تقييم الخطير الناشئ عن الإشعاع الخارجي من تلك المصادر، وهو ما يمكن أن يتضح من مقارنتها بالجرعات المحسوبة في الجدول ١٤ وفقاً للنهج القائم على المخاطر.

#### رابعاً - معاملات الجرعة المستخدمة في النهج القائم على المخاطر

يشمل معامل تحويل معدل الجرعة المرجحة بالفعالية البيولوجية النسبية لمصدر نيوترونات معاملين لتحويل الجرعة الجزئية يقابلان الإشعاع ذا الانقلال الخطي المنخفض للطاقة والإشعاع ذا الانقلال الخطي المرتفع للطاقة:

$$(62) \quad AF_{T,S} = AF_{T,S}^L + AF_{T,S}^H$$

حيث:

$AF_{T,S}^L$  هو معامل تحويل معدل الجرعة الجزئية الذي يقابل الفوتونات الناشئة عن الأضمحلال النووي لألفا أو بيتا، أو الانشطار التلقائي، أو من تفاعل (ألفا - نيوترون)، وهو يساوي معدل الجرعة

المرجة بالفعالية البيولوجية النسبية وفقاً للسيناريو S في النسيج T من مصدر نيوترونات ذي نشاط قدره 1 بكريل، ((مكافي غراري)/(بكريل × ثانية))

$AF_{T,S}^H$  هو معامل تحويل معدل الجرعة الجزئية للنيوترونات، وهو يساوي معدل الجرعة المرجة بالفعالية البيولوجية النسبية في النسيج T وفقاً للسيناريو S من مصدر نيوترونات ذي نشاط قدره 1 بكريل، ((مكافي غراري) / × ثانية).

ويتضمن الجدول ١٤ قيم معاملات تحويل معدل الجرعة المرجة بالفعالية البيولوجية النسبية المستخدمة في النهج القائم على المخاطر لحساب قيم  $D_1$  لمصادر النيوترونات (إشعاع ذو الانتقال الخطي المرتفع للطاقة).

وتحسبت معاملات تحويل معدل الجرعة الجزئية للفوتونات الناشئة عن الأضمحلال النووي لألفا أو بيتا أو الانشطار التلقائي أو تفاعل (ألفا - نيوترون)  $AF_{T,S}^L$  استناداً إلى البيانات النووية الأساسية المتعلقة بانبعاث الإشعاع ذي الانتقال الخطي المنخفض للطاقة من مصادر النيوترونات، وهي محددة في الجدول ٢٧. وكانت دالـتا الاستجابة  $(E_{\gamma,i})^d$  و  $(E_{\gamma,II})^d$  المستخدمتان في حساب معاملات تحويل معدل الجرعة للنويدات المشعة المبتاعدة لإشعاع ذي انتقال خطي منخفض للطاقة هي نفسها المستخدمة في النهج المبني على الخبرة وتتناسب مع طاقة الفوتونات التي تزيد على ١٠٠ ميغا إلكترون فولط. عند تحليل هذه التبعيات استناداً إلى قيم  $AF_{1,II}$  و  $AF_{7,II}$  المحسوبة لمصادر النويدات المشعة للفوتونات الأحادية الطاقة، مثل الكادميوم-١٠٩ والليتريبيوم-١٦٩، والكوبالت-٥٧، والتيتانيوم-١٧٤، والتكنيتنيوم-٩٩ شبه المستقر، والزئبق-٢٠٣، والزنون-١٣٥، والكروم-٥١، والإنديوم-١١٥ شبه المستقر، واليود-١٣١، والسترنثينيوم-٨٧ شبه المستقر، والإنديوم-١١٣ شبه المستقر، والذهب-١٩٨، والروثينيوم-١٠٣، والكريتون-٨٥، والزنون-١٣٥ شبه المستقر، والزرنيخ-٧٤، والروديوم-١٠٦، والسيزيوم-١٣٢، والسيزيوم-١٣٧، والفضة-١١٠، والنبيبيوم-٩٥، والبُولونيوم-٢١٠، والمنغنيز-٥٤، والروبيديوم-٨٦، والزنك-٦٥، والقصدير-١٢٣، والكوبالت-٦٠، والأرجون-٤١، والبوتاسيوم-٤٠، والبوتاسيوم-٤٢، فإننا نحصل على التبعيات التالية لدلالات استجابة الجرعة المرجة بالفعالية البيولوجية النسبية:

$$(63) \quad dA_{T,S}^{\gamma}(E_{\gamma}) \cong \alpha_{T,S}^{\gamma} \times Y_i^{\gamma} \times E_{\gamma}$$

حيث:

$dA_{T,S}^{\gamma}(E_{\gamma})$  هو دالة استجابة الجرعة المرجة بالفعالية البيولوجية النسبية المتساوية للجرعة المرجة بالفعالية البيولوجية النسبية في العضو أو النسيج T المشع بفوتون من مصدر أحادي الطاقة على النحو المبين في السيناريو S، ((مكافي غراري)/(بكريل × ثانية));

$\alpha_{T,S}^{\gamma}$  هو عضو ومعامل تعرض محدد للسيناريو، ((مكافي غراري)/ميغا إلكترون فولط)؛

$Y_i^{\gamma}$  هي حصيلة الفوتونات الأحادية الطاقة في الأضمحلال النووي، (فوتون/(بكريل × ثانية))؛

$E_{\gamma}$  هو طاقة الفوتون الأحادي الطاقة الناشئة في تحول نووي واحد، (ميغا إلكترون فولط/فوتون).

ولذلك فإن معاملات تحويل معدل الجرعة الجزئية المرجة بالفعالية النسبية تساوي:

$$(64) \quad AF_{T,S}^L = \alpha_{T,S}^{\gamma} \times \sum_i (Y_i^{\gamma} E_{\gamma,i})$$

حيث:

$AF_{T,S}^L$  هو معامل تحويل معدل الجرعة الجزئية المرجحة بالفعالية البيولوجية النسبية للإشعاع ذي الانتقال الخطي المنخفض للطاقة الناشئ عن انشطار تلقائي أو تفاعل (ألفا - نيوترون) ويساوي معدل الجرعة المرجحة بالفعالية البيولوجية النسبية في النسيج T وفقاً للسيناريو S من مصدر نيوترونات ذي نشاط<sup>٢١</sup> قدره ١ بكريل، ((مكافئ غراري)/(بكريل × ثانية))؛

$\sum (Y_i^\gamma E_{\gamma,i})$  هي حصيلة طاقة الفوتونات<sup>٢١</sup> من مصدر النيوترونات، (ميكا إلكترون فولط/(بكريل × ثانية))، وترد في الجدول ٢٧؛

$\alpha_{T,S}^\gamma$  هو عضو ومعامل تعرض محدد للسيناريو، وهو يساوي:

(أ)  $\alpha_{I,I}^\gamma = 9.6 \times 10^{-10}$  (مكافئ بكريل)/ميغا إلكترون فولط لعرض النسيج الرخو من مصدر قريب؛

(ب)  $\alpha_{2,II}^\gamma = 1.4 \times 10^{-17}$  (مكافئ غراري)/ميغا إلكترون فولط لعرض النخاع الأحمر من مصدر بعيد.

وحسب معامل تحويل معدل الجرعة الجزئية المرجحة بالفعالية البيولوجية النسبية التي يتلقاها النخاع الأحمر المشع بنيوترونات من الانشطار النووي أو تفاعل (ألفا - نيوترون) وفقاً للسيناريو الثاني  $AF_{2,II}^H$  ، باستخدام بيانات قياس الجرعة الناشئة عن التشعيع النيوتروني للنخاع الأحمر في وضع هندسي دوراني حسب ما هو محدد في الجدول ألف- ٣١ من المرجع [٤٣] :

$$(65) \quad AF_{2,II}^H = \frac{Y^n(S_n)}{4\pi r_{II}^2} RBE_2^H \times \int_0^{\infty} S_n(E_n) \times d_{FG,ROT}^n(E_n) dE_n$$

حيث:

$AF_{2,II}^H$  هو معامل تحويل معدل الجرعة الجزئية المرجحة بالفعالية البيولوجية النسبية للنيوترونات المتولدة عن الانشطار النووي أو التفاعل (ألفا - نيوترون) التي يتلقاها النخاع الأحمر وفقاً للسيناريو الثاني، ((مكافئ غراري)/(بكريل × ثانية))؛

$S_n(E_n) dE_n$  هو الطيف النيوتروني الذي يمثل احتمال انشطار نيوترونات ذات طاقة تتراوح بين  $E_n$  ،  $E_n + dE_n$  ، من مصدر النيوترونات؛

$d_{FG,ROT}^n(E_n)$  هي دالة استجابة الجرعة الممتصة التي تساوي الجرعة الممتصة من الإشعاع النيوتروني في النخاع الأحمر لكل وحدة من وحدات تدفق النيوترونات ذات الطاقة  $E_n$  الحادثة في الوضع الهندسي الدوراني على جسم الإنسان المرجعي (غرام × سـ<sup>٣</sup>) وترد في الجدول ألف - ٣١ من المرجع [٤٣] :

$$\int_0^{\infty} S_n(E_n) \times d_{FG,ROT}^n(E_n) dE_n = 4.0 \times 10^{-11} \text{ Gy} \times \text{cm}^2 \text{ for } ^{252}\text{Cf}; \text{ and} \quad (أ)$$

$$\int_0^{\infty} S_n(E_n) \times d_{FG,ROT}^n(E_n) dE_n = 4.3 \times 10^{-11} \text{ Gy} \times \text{cm}^2 \text{ for } ^{241}\text{Am}/^9\text{Be} \quad (ب)$$

٢١ يعبر عن نشاط مصادر النيوترونات المعنية بعدد تحولات ألفا في كل ثانية.

حيث:

$RBE_2^H$  هي الفعالية البيولوجية النسبية للإصابة بأشعة قطعية عنيفة في النخاع الأحمر بسبب التعرض الخارجي لنيوترونات، وترد في الجدول ١٠؛

$Y^n$  هي حصيلة النيوترونات<sup>٢١</sup> من مصدر نيوترونات ، (نيوترون/بكريل × ثانية)، وترد في الجدول ٢٧؛

$r_{II}$  هي المسافة بين مصدر النيوترونات والنسيج المستهدف (سم) المحددة في السيناريو الثاني وتساوي ١٠٠ سم.

واستخدمت بيانات الأطيف غير المعدلة للنيوترونات الواردة في المرجع [٤٨] باعتبارها  $(S_n(E_n))$ :

(أ) استُخدم طيف النيوترونات الناشئة عن الانشطار التلقائي للكاليفورنيوم - ٢٥٢ كمستوى مرجعي لكل مبعثرات النيوترونات الناشئة عن انشطار تلقائي؛

(ب) استُخدم أيضاً طيف النيوترونات الناشئة عن مصدر الأميريشيوم - ٤١/البريليوم - ٩ في حالة مصدر البلوتونيوم - ٢٣٩/البريليوم - ٩.

وحسب معامل تحويل معدل الجرعة الجزئية المرجحة بالفعالية البيولوجية النسبية التي يلتلاها النسيج الرخو المشع بنويودة ناشئة عن انشطار تلقائي أو تفاعل (ألفا - نيوترون) وفقاً للسيناريو الأول  $AF_{1,I}^H$  من معاملات  $AF_{2,II}^H$  مع مراعاة الأوضاع الهندسية للتعرض في حالة سيناريو الجيب (السيناريو الأول) ومعاملات التعرض  $\alpha_{T,S}^\gamma$  المحددة في المعادلة [٦٤]:

$$(66) \quad AF_{1,I}^H = \frac{\alpha_{1,I}^\gamma}{\alpha_{7,II}^\gamma} AF_{2,II}^H \cong 600 AF_{2,II}^H$$

#### رابعاً-٣- قائمة معاملات تحويل الجرعة الخارجية

الجدول ١٣: معاملات تحويل معدل الجرعة الممتصة في النسيج الرخو والنخاع العظمي من مبعثرات (نيوترونات) الإشعاع ذي الانتقال الخطى المرتفع للطاقة

مصدر قريب	مصدر بعيد	النويدة المشعة
النسيج الرخو	النخاع الأحمر	
$DF_{1,I}^{L+H}$	$DF_{2,II}^{L+H}$	
(غراء/بكريل × ثانية)	(غراي/بكريل × ثانية)	
3.0 E-17	3.0 E-14	كاليفورنيوم- ٢٥٢
5.0 E-19	5.0 E-16	بلوتونيوم-
		٩/بريليوم- ٢٣٩
5.0 E-19	5.0 E-16	أميريشيوم-
		٤١/بريليوم- ٩

- أ معامل تحويل معدل الجرعة الممتصة في النسيج الرخو وفقاً لسيناريو الجيب.
- ب معدل الجرعة في النخاع الأحمر على مسافة متر واحد من المصدر.
- ج حُسبت جرعات الإشعاع ذي الانتقال الخطى المنخفض الطاقة والإشعاع ذي الانتقال الخطى المرتفع للطاقة.
- د نشاط النويدة المشعة المبعثة لألفا، مثل البلوتونيوم - ٢٣٩ أو الأميريشيوم - ٤١.

**الجدول ٤: معاملات تحويل معدل الجرعة المرجحة بالفعالية البيولوجية النسبية لمبعثات (نيوترونات) الإشعاع ذي الانتقال الخطى المرتفع للطاقة في النسيج الرخو والنخاع العظمى**

النخاع الأحمر			النسيج الرخو			منشأ النيوترونات	مصدر النيوترونات
AF <sub>2,II</sub>	AF <sub>2,II</sub> <sup>H</sup>	AF <sub>2,II</sub> <sup>L</sup>	AF <sub>1,II</sub>	AF <sub>1,II</sub> <sup>H</sup>	AF <sub>1,II</sub> <sup>L</sup>		
((مكافي غراري))	((مكافي غراري))	((مكافي غراري))	((مكافي غراري))	((مكافي غراري))	((مكافي غراري))	انشطار تلقائي	كوربيوم-٤٨
(بكريل × ثانية)	(بكريل × ثانية)	(بكريل × ثانية)	(بكريل × ثانية)	(بكريل × ثانية)	(بكريل × ثانية)	انشطار تلقائي	كاليفورنيوم-٢٥٠
2.6E-16	2.4E-16	2.1E-17	1.5E-13	1.4E-13	1.2E-14	انشطار تلقائي	كاليفورنيوم-٢٥٢
2.6E-18	2.4E-18	1.8E-19	1.6E-15	1.5E-15	1.1E-16	انشطار تلقائي	كاليفورنيوم-٢٥٤
1.1E-16	1.0E-16	7.5E-18	6.4E-14	6.0E-14	4.5E-15	تفاعل (ألفا-	بلوتنيوم-
3.8E-15	3.5E-15	2.7E-16	2.3E-12	2.1E-12	1.6E-13	نيوترون)	بريليوم-٩٣٩
8.2E-20	6.7E-20	1.5E-20	4.9E-17	4.0E-17	9.0E-18	تفاعل (ألفا-	أمريشيوم-
1.8E-19	8.4E-20	~9.4E-20	1.4E-16	5.0E-17	~8.9E-17	نيوترون)	بريليوم-٩٤١

أ- نشاط النواة المشعة المبعثة لألfa، مثل البلوتونيوم - ۲۳۹ أو الأميريشيوم - ۲۴۱.

**ب** تبعثر النويدية المشعة فوتونات ذات طاقة تبلغ ٦٠ كيلو إلكترون فولط تقريباً ولا تتضمن المعادلة (٦٤) سوى تقديرات تقريرية بدرجة كبيرة لها بسبب التدريع الذاتي الكبير. ولذلك فإن القيمة الواردة في هذا الجدول هي حاصل مجموع معامل تحويل الحرارة للأميريشيون ٢٤١ -٥ ناقلاً عن الجدول (الذي لا يسمح بتدريع ذاتي) والمعامل المحسوب باستخدام المعادلة (٦٤) للنيوترونات الناشئة في إنتاج النيوترونات.

**الجدول ٥ : معاملات تحويل معدل الجرعة المرجحة بالفعالية البيولوجية النسبية الناشئة عن التعرض الخارجي لمبتعثات إشعاعات ذات انتقال خطى منخفض للطاقة**

مصدر بعيد النخاع الأحمر	مصدر قريب النسيج الرخو	النويدات المشعة <sup>١</sup>
$\text{AF}_{2,\text{II}}$	$\text{AF}_{1,\text{I}}$	
$((\text{مكافي غراري}) / (\text{بكريل}) \times (\text{مكافي غراري}) / (\text{بكريل}) \times (\text{ثانية}))$	$((\text{مكافي غراري}) / (\text{بكريل}) \times (\text{ثانية}))$	
2.9E-29	7.6E-27	H-3
8.3E-19	5.2E-16	Be-7
3.6E-21	2.4E-18	Be-10
1.8E-17	1.1E-14	C-11
1.8E-23	1.6E-20	C-14
1.8E-17	1.1E-14	N-13
1.8E-17	1.1E-14	F-18
3.7E-17	2.2E-14	Na-22
6.3E-17	3.6E-14	Na-24
5.1E-17	3.0E-14	Mg-28
4.3E-17	2.6E-14	Al-26
8.2E-20	5.2E-17	Si-31
8.3E-20	5.2E-17	Si-32 +
8.3E-20	5.2E-17	P-32
1.2E-22	9.3E-20	P-33
2.1E-23	1.9E-20	S-35
9.7E-21	6.4E-18	Cl-36
2.4E-17	1.4E-14	Cl-38

مصدر بعيد	مصدر قريب	النويدات المشعة <sup>١</sup>
النخاع الأحمر	النسيج الرخو	
$\Sigma AF_{2,II}$	$\Sigma AF_{1,II}$	
((مكافي غراري)/(بكريل × ثانية))	((مكافي غراري)/(بكريل × ثانية))	النويدات المشعة <sup>١</sup>
0.0E+00	0.0E+00	Ar-37
3.0E-21	2.0E-18	Ar-39
2.1E-17	1.3E-14	Ar-41
2.6E-18	1.5E-15	K-40
5.3E-18	3.1E-15	K-42
1.7E-17	1.0E-14	K-43
0.0E+00	0.0E+00	Ca-41
1.3E-22	1.1E-19	Ca-45
1.9E-17	1.1E-14	Ca-47 +
3.6E-17	2.2E-14	Sc-44
3.4E-17	2.0E-14	Sc-46
1.4E-18	9.7E-16	Sc-47
5.6E-17	3.3E-14	Sc-48
3.7E-17	2.3E-14	Ti-44 +
4.9E-17	2.9E-14	V-48
0.0E+00	0.0E+00	V-49
5.1E-19	3.3E-16	Cr-51
5.8E-17	3.4E-14	Mn-52
0.0E+00	0.0E+00	Mn-53
1.4E-17	8.6E-15	Mn-54
2.8E-17	1.6E-14	Mn-56
5.3E-17	3.2E-14	Fe-52 +
0.0E+00	0.0E+00	Fe-55
2.0E-17	1.2E-14	Fe-59
1.9E-17	1.1E-14	Fe-60 +
3.3E-17	2.0E-14	Co-55 +
5.8E-17	3.4E-14	Co-56
1.4E-18	9.6E-16	Co-57
1.7E-17	1.0E-14	Co-58
1.7E-17	1.0E-14	Co-58m +
4.1E-17	2.4E-14	Co-60
0.0E+00	0.0E+00	Ni-59
1.2E-25	2.3E-22	Ni-63
9.1E-18	5.4E-15	Ni-65
3.2E-18	2.0E-15	Cu-64
1.6E-18	1.0E-15	Cu-67
9.8E-18	5.8E-15	Zn-65
1.2E-20	8.3E-18	Zn-69
7.0E-18	4.4E-15	Zn-69m+
2.1E-18	1.4E-15	Ga-67
1.7E-17	1.0E-14	Ga-68

مصدر بعيد	مصدر قريب	النويدات المشعة <sup>١</sup>
النخاع الأحمر	النسيج الرخو	
<sup>٢</sup> AF <sub>2,II</sub>	<sup>٣</sup> AF <sub>1,I</sub>	
((مكافئ غرافي)/(بكريل × ثانية))	((مكافئ غرافي)/(بكريل × ثانية))	النويدات المشعة <sup>١</sup>
4.3E-17	2.6E-14	Ga-72
1.7E-17	1.0E-14	Ge-68 +
4.9E-24	1.9E-23	Ge-71
1.8E-17	1.1E-14	Ge-77 +
3.1E-17	1.9E-14	As-72
1.8E-20	1.9E-17	As-73
1.3E-17	8.0E-15	As-74
7.7E-18	4.7E-15	As-76
1.4E-19	9.2E-17	As-77
5.8E-18	3.7E-15	Se-75
2.4E-23	2.2E-20	Se-79
4.2E-17	2.5E-14	Br-76
5.2E-18	3.3E-15	Br-77
4.4E-17	2.7E-14	Br-82
8.7E-20	5.6E-17	Kr-81
4.3E-20	2.7E-17	Kr-85
2.2E-18	1.5E-15	Kr-85m
1.3E-17	7.9E-15	Kr-87
1.0E-17	6.4E-15	Rb-81
8.4E-18	5.2E-15	Rb-83
1.6E-17	9.4E-15	Rb-84
1.7E-18	1.0E-15	Rb-86
2.9E-22	2.2E-19	Rb-87
1.9E-17	1.2E-14	Sr-82
8.6E-18	5.3E-15	Sr-85
1.1E-17	6.8E-15	Sr-85m +
5.2E-18	3.4E-15	Sr-87m
6.8E-20	4.3E-17	Sr-89
2.4E-19	1.5E-16	Sr-90 +
1.8E-17	1.1E-14	Sr-91 +
2.7E-17	1.6E-14	Sr-92 +
1.3E-17	8.1E-15	Y-87 +
4.3E-17	2.5E-14	Y-88
2.4E-19	1.5E-16	Y-90
1.3E-19	8.2E-17	Y-91
9.1E-18	5.7E-15	Y-91m +
5.1E-18	3.1E-15	Y-92
1.9E-18	1.2E-15	Y-93
5.0E-17	2.9E-14	Zr-88 +
4.0E-23	6.0E-20	Zr-93 +
2.6E-17	1.6E-14	Zr-95 +

مصدر بعيد النخاع الأحمر $\gamma$ AF <sub>2,II</sub>	مصدر قريب النسيج الرخو $\gamma$ AF <sub>1,I</sub>	النويدات المشعة <sup>ا</sup>
((مكافي غراري)/(بكريل × ثانية))	((مكافي غراري)/(بكريل × ثانية))	
2.6E-17	1.6E-14	Zr-97 +
1.9E-22	2.8E-19	Nb-93m
2.7E-17	1.6E-14	Nb-94
1.3E-17	7.9E-15	Nb-95
1.1E-17	6.9E-15	Nb-97
1.1E-21	1.6E-18	Mo-93 +
3.9E-18	2.5E-15	Mo-99 +
1.1E-17	7.1E-15	Tc-95m
4.2E-17	2.6E-14	Tc-96
4.2E-17	2.6E-14	Tc-96m +
1.3E-21	2.3E-18	Tc-97
4.2E-21	4.6E-18	Tc-97m
2.4E-17	1.5E-14	Tc-98
2.8E-22	2.1E-19	Tc-99
1.6E-18	1.1E-15	Tc-99m
3.4E-18	2.2E-15	Ru-97
7.9E-18	5.0E-15	Ru-103 +
1.4E-17	9.0E-15	Ru-105 +
4.3E-18	2.6E-15	Ru-106 +
9.4E-18	5.9E-15	Rh-99
3.6E-18	2.3E-15	Rh-101
3.6E-17	2.2E-14	Rh-102
9.7E-18	6.0E-15	Rh-102m
3.4E-22	7.5E-19	Rh-103m
1.2E-18	8.0E-16	Rh-105
4.8E-21	8.0E-18	Pd-103 +
2.3E-27	3.9E-24	Pd-107
5.8E-20	4.3E-17	Pd-109
8.3E-18	5.2E-15	Ag-105
2.8E-17	1.7E-14	Ag-108m
4.7E-17	2.8E-14	Ag-110m
4.4E-19	2.8E-16	Ag-111
3.3E-20	3.4E-17	Cd-109
2.3E-21	1.6E-18	Cd-113m
6.4E-18	4.0E-15	Cd-115 +
4.4E-19	2.7E-16	Cd-115m
5.7E-18	3.7E-15	In-111
4.1E-18	2.7E-15	In-113m
1.4E-18	9.1E-16	In-114m
2.4E-18	1.6E-15	In-115m
4.2E-18	2.7E-15	Sn-113 +

مصدر بعيد	مصدر قريب	النويدات المشعة <sup>١</sup>
النخاع الأحمر	النسيج الرخو	
<sup>٢</sup> AF <sub>2,II</sub>	<sup>٣</sup> AF <sub>1,I</sub>	
((مكافي غراري)/(بكريل × ثانية))	((مكافي غراري)/(بكريل × ثانية))	النويدات المشعة <sup>١</sup>
1.9E-18	1.3E-15	Sn-117m
3.9E-21	9.4E-18	Sn-119m
3.0E-21	5.9E-18	Sn-121m +
1.7E-19	1.0E-16	Sn-123
1.2E-17	7.3E-15	Sn-125
3.3E-17	2.1E-14	Sn-126 +
7.6E-18	4.7E-15	Sb-122
3.0E-17	1.8E-14	Sb-124
7.0E-18	4.4E-15	Sb-125 +
4.8E-17	3.0E-14	Sb-126
9.4E-18	5.9E-15	Te-121
1.1E-17	7.2E-15	Te-121m +
1.8E-18	1.2E-15	Te-123m
2.1E-20	4.3E-17	Te-125m
8.4E-20	5.4E-17	Te-127
9.1E-20	6.7E-17	Te-127m +
9.8E-19	6.1E-16	Te-129
1.1E-18	7.2E-16	Te-129m +
3.1E-17	1.9E-14	Te-131m +
4.2E-17	2.6E-14	Te-132 +
2.1E-18	1.4E-15	I-123
1.8E-17	1.1E-14	I-124
2.1E-20	4.9E-17	I-125
7.4E-18	4.7E-15	I-126
1.7E-20	3.5E-17	I-129
6.2E-18	4.0E-15	I-131
3.9E-17	2.3E-14	I-132
1.1E-17	6.6E-15	I-133
4.4E-17	2.7E-14	I-134
3.1E-17	1.8E-14	I-135
1.7E-17	1.1E-14	Xe-122
1.2E-17	7.4E-15	Xe-123 +
3.8E-18	2.5E-15	Xe-127
5.3E-20	5.1E-17	Xe-131m
2.4E-19	2.0E-16	Xe-133
3.9E-18	2.5E-15	Xe-135
4.1E-18	2.6E-15	Cs-129
1.3E-20	3.1E-17	Cs-131
1.1E-17	7.2E-15	Cs-132
2.7E-17	1.6E-14	Cs-134
2.6E-17	1.6E-14	Cs-134m +

مصدر قريب النخاع الأحمر <sup>z</sup> AF <sub>2,II</sub>	مصدر قريب النسيج الرخو <sup>z</sup> AF <sub>1,II</sub>	النويدات المشعة <sup>ا</sup>
((مكافئ غرافي)/(بكريل × ثانية))	((مكافئ غرافي)/(بكريل × ثانية))	
6.4E-23	5.2E-20	Cs-135
3.6E-17	2.2E-14	Cs-136
9.6E-18	5.9E-15	Cs-137 +
6.9E-18	4.4E-15	Ba-131 +
5.7E-18	3.7E-15	Ba-133
3.4E-18	2.3E-15	Ba-133m
4.1E-17	2.4E-14	Ba-140 +
1.9E-20	3.8E-17	La-137
3.8E-17	2.2E-14	La-140
1.8E-18	1.2E-15	Ce-139
9.2E-19	6.1E-16	Ce-141
4.2E-18	2.7E-15	Ce-143 +
1.2E-18	7.6E-16	Ce-144 +
1.1E-18	6.6E-16	Pr-142
1.2E-20	8.2E-18	Pr-143
1.9E-18	1.2E-15	Nd-147 +
6.0E-18	3.9E-15	Nd-149 +
4.9E-18	3.0E-15	Pm-143
2.6E-17	1.6E-14	Pm-144
4.8E-20	6.8E-17	Pm-145
1.1E-22	8.5E-20	Pm-147
3.4E-17	2.1E-14	Pm-148m
1.9E-19	1.2E-16	Pm-149
5.0E-18	3.2E-15	Pm-151
1.2E-19	1.7E-16	Sm-145 +
0.0E+00	0.0E+00	Sm-147
1.7E-24	3.6E-21	Sm-151
4.0E-19	3.1E-16	Sm-153
7.4E-18	4.6E-15	Eu-147
3.7E-17	2.2E-14	Eu-148
5.4E-19	3.9E-16	Eu-149
7.3E-19	4.6E-16	Eu-150b
2.4E-17	1.5E-14	Eu-150a
1.9E-17	1.1E-14	Eu-152
4.8E-18	2.9E-15	Eu-152m
2.0E-17	1.2E-14	Eu-154
4.8E-19	3.5E-16	Eu-155
2.1E-17	1.3E-14	Eu-156
4.3E-17	2.7E-14	Gd-146 +
0.0E+00	0.0E+00	Gd-148
6.0E-19	4.9E-16	Gd-153

مصدر بعيد	مصدر قريب	النويدات المشعة <sup>١</sup>
النخاع الأحمر	النسيج الرخو	
$\Sigma AF_{2,II}$	$\Sigma AF_{1,II}$	
((مكافي غراري)/(بكريل × ثانية))	((مكافي غراري)/(بكريل × ثانية))	النويدات المشعة <sup>١</sup>
6.8E-19	4.5E-16	Gd-159
4.7E-21	6.4E-18	Tb-157
1.3E-17	7.7E-15	Tb-158
1.9E-17	1.1E-14	Tb-160
9.3E-20	1.2E-16	Dy-159
3.8E-19	2.4E-16	Dy-165
6.8E-19	4.7E-16	Dy-166 +
4.7E-19	2.9E-16	Ho-166
2.9E-17	1.8E-14	Ho-166m
3.9E-22	2.8E-19	Er-169
5.7E-18	3.7E-15	Er-171
1.6E-18	1.1E-15	Tm-167
4.3E-20	3.4E-17	Tm-170
2.2E-21	2.2E-18	Tm-171
3.0E-18	2.1E-15	Yb-169
6.1E-19	3.9E-16	Yb-175
3.1E-17	1.8E-14	Lu-172
1.1E-18	8.0E-16	Lu-173
1.4E-18	9.1E-16	Lu-174
1.6E-18	1.1E-15	Lu-174m +
4.6E-19	3.0E-16	Lu-177
3.1E-17	1.9E-14	Hf-172 +
5.3E-18	3.5E-15	Hf-175
8.8E-18	5.6E-15	Hf-181
2.3E-17	1.4E-14	Hf-182 +
1.4E-17	9.7E-15	Ta-178a
1.2E-19	1.1E-16	Ta-179
2.1E-17	1.2E-14	Ta-182
1.1E-18	7.7E-16	W-178
1.6E-19	1.5E-16	W-181
1.3E-21	9.5E-19	W-185
7.8E-18	4.8E-15	W-187
1.0E-18	6.5E-16	W-188 +
1.4E-17	8.7E-15	Re-184
1.7E-17	1.0E-14	Re-184m +
2.2E-19	1.6E-16	Re-186
0.0E+00	0.0E+00	Re-187
1.0E-18	6.4E-16	Re-188
9.7E-19	6.3E-16	Re-189
1.1E-17	7.2E-15	Os-185
6.3E-19	4.6E-16	Os-191

مصدر بعيد النخاع الأحمر	مصدر قريب النسيج الرخو	النويدات المشعة <sup>١</sup>
$\Sigma AF_{2,II}$	$\Sigma AF_{1,II}$	
× ((مكافئ غرافي)/(بكريل × ثانية))	((مكافئ غرافي)/(بكريل × ثانية))	
6.7E-19	5.0E-16	Os-191m +
1.1E-18	6.9E-16	Os-193
1.7E-18	1.0E-15	Os-194 +
6.3E-19	4.7E-16	Ir-189
2.3E-17	1.5E-14	Ir-190
1.3E-17	8.5E-15	Ir-192
1.7E-18	1.0E-15	Ir-194
2.7E-17	1.6E-14	Pt-188 +
3.8E-18	2.5E-15	Pt-191
2.3E-23	1.8E-21	Pt-193
6.1E-20	5.0E-17	Pt-193m
4.7E-19	3.7E-16	Pt-195m
2.2E-19	1.6E-16	Pt-197
1.1E-18	7.8E-16	Pt-197m+
1.7E-18	1.2E-15	Au-193
1.7E-17	1.0E-14	Au-194
5.1E-19	4.0E-16	Au-195
6.7E-18	4.3E-15	Au-198
1.1E-18	7.5E-16	Au-199
1.7E-17	1.0E-14	Hg-194 +
4.9E-18	3.2E-15	Hg-195m +
4.2E-19	3.3E-16	Hg-197
1.3E-18	9.8E-16	Hg-197m +
3.7E-18	2.4E-15	Hg-203
2.1E-17	1.3E-14	Tl-200
7.2E-19	5.3E-16	Tl-201
7.2E-18	4.6E-15	Tl-202
1.3E-20	9.4E-18	Tl-204
1.2E-17	7.9E-15	Pb-201 +
7.1E-18	4.6E-15	Pb-202 +
4.3E-18	2.8E-15	Pb-203
3.0E-23	2.6E-21	Pb-205
2.4E-20	1.8E-17	Pb-210 +
2.3E-17	1.4E-14	Pb-212 +
2.7E-17	1.6E-14	Bi-205
5.3E-17	3.3E-14	Bi-206
2.6E-17	1.5E-14	Bi-207
2.0E-20	1.3E-17	Bi-210 +
4.0E-18	2.6E-15	Bi-210m
2.2E-17	1.3E-14	Bi-212 +
1.4E-22	8.8E-20	Po-210

مصدر بعيد النخاع الأحمر $\gamma$ AF <sub>2,II</sub>	مصدر قريب النسيج الرخو $\gamma$ AF <sub>1,I</sub>	النويدات المشعة <sup>أ</sup> ((مكافي غراري)/(بكريل × ثانية))
2.1E-18	1.3E-15	At-211
2.9E-17	1.7E-14	Rn-222
4.3E-18	2.8E-15	Ra-223 +
2.4E-17	1.4E-14	Ra-224 +
3.6E-18	2.3E-15	Ra-225 +
2.9E-17	1.7E-14	Ra-226
3.6E-17	2.1E-14	Ra-228 +
3.6E-18	2.2E-15	Ac-225
5.8E-18	3.7E-15	Ac-227 +
3.9E-17	2.3E-14	Ac-228
5.8E-18	3.8E-15	Th-227 +
2.4E-17	1.4E-14	Th-228 +
4.4E-18	2.9E-15	Th-229 +
3.1E-21	2.3E-18	Th-230 +
9.4E-20	7.1E-17	Th-231
1.3E-17	7.7E-15	Th-232 +
4.4E-19	2.8E-16	Th-234 +
1.0E-17	6.4E-15	Pa-230 +
1.3E-18	8.9E-16	Pa-231 +
2.9E-18	1.9E-15	Pa-233
2.8E-19	1.8E-16	U-230 +
1.8E-17	1.0E-14	U-232 +
3.9E-21	2.7E-18	U-233
9.8E-22	8.2E-19	U-234 +
2.2E-18	1.5E-15	U-235 +
4.9E-22	4.5E-19	U-236
4.4E-19	2.8E-16	U-238 +
8.4E-21	6.5E-18	Np-235
6.2E-19	4.1E-16	Np-236b +
1.3E-18	8.8E-16	Np-236a
3.1E-18	2.0E-15	Np-237 +
2.1E-18	1.4E-15	Np-239
9.9E-19	5.8E-16	Pu-236
4.4E-19	3.1E-16	Pu-237
3.0E-22	3.7E-19	Pu-238
7.9E-22	5.9E-19	Pu-239
2.9E-22	3.6E-19	Pu-240
1.7E-23	1.1E-20	Pu-241 +
2.6E-22	3.1E-19	Pu-242
5.7E-18	3.5E-15	Pu-244 +
9.1E-20	8.7E-17	Am-241

مصدر بعيد	مصدر قريب	النويدات المشعة <sup>١</sup>
النخاع الأحمر	النسيج الرخو	
$\Sigma AF_{2,II}$	$\Sigma AF_{1,I}$	
((مكافي غراري)/(بكريل × ثانية))	((مكافي غراري)/(بكريل × ثانية))	
1.4E-19	1.0E-16	Am-242m +
2.6E-18	1.7E-15	Am-243 +
1.3E-17	8.1E-15	Am-244
8.9E-19	5.2E-16	Cm-240
7.6E-18	4.8E-15	Cm-241 +
3.3E-22	4.7E-19	Cm-242
1.7E-18	1.1E-15	Cm-243
2.0E-22	3.5E-19	Cm-244
9.6E-19	6.5E-16	Cm-245
1.9E-22	3.2E-19	Cm-246
5.3E-18	3.4E-15	Cm-247
1.2E-18	8.2E-16	Bk-247
9.2E-20	5.9E-17	Bk-249
2.4E-22	4.7E-19	Cf-248 +
5.3E-18	3.4E-15	Cf-249
1.6E-18	1.0E-15	Cf-251
9.6E-20	6.1E-17	Cf-253

- أ رواعي النمو الداخلي للنواتج المشعة عند حساب معاملات جرعة كل النويدات المشعة على النحو المبين في التنبيل الثامن.  
وتشير علامة "+" إلى النويدات المشعة التي تمثل نواتجها مصادر ملموسة للجرعة في السيناريوهات موضوع النظر.
- ب معامل تحويل معدل الجرعة المرجحة بالفعالية البيولوجية النسبية في النسيج الرخو وفقاً لسيناريو الجيب.
- ج معدل الجرعة المرجحة بالفعالية البيولوجية النسبية في النخاع الأحمر على مسافة متر واحد من المصدر.

## **التدليل الخامس**

### **معاملات تحويل جرعة الاستنشاق والغمر والجلد المستخدمة في النهج المبني على الخبرة**

شملت معاملات تحويل الجرعة المستخدمة في حساب قيم  $D_2^E$  معاملات للاستنشاق وتلوث الجلد والغمر.

#### **خامساً-1- الاستنشاق**

افترض أن استنشاق مادة مشعة مشعة يمثل مساراً رئيسياً عند حساب قيم  $D_2^E$ . ويتناول التدليل الثاني تفاصيل الخواص الكيميائية والفيزيائية للمادة المشعة و”سيناريو الاستنشاق” (السيناريو الثالث E). ويتضمن الجدولان ١٦ و ١٧ قيم معاملات تحويل الجرعة المستخدمة في حساب قيم  $D_2^E$ . واستندت معاملات الجرعة التي يتلقها النخاع الأحمر والجهاز التنفسى إلى قاعدة بيانات معدل الجرعة الممتصصة في الرئة الواردة في المرجع [٤٩] ما لم يرد ما يشير إلى خلاف ذلك. وتعرض قاعدة البيانات معاملات الجرعة لكل أنواع الامتصاصات الجسمية الرئوية الثلاثة على النحو المحدد في نموذج الجهاز التنفسى البشري الذى وضعه اللجنة الدولية للوقاية من الإشعاعات [١١، ١٦] (أى F، M، S) الذي يفترض أن قطر النشاط الحركي الهوائي الوسطي يبلغ ١ ميكرون. وأخذت في الحسبان أيضاً الأشكال الفيزيائية الأخرى (مثل الغاز والبخار). وينبغي ملاحظة أن ”جرعة الرئة“ في المرجع [٤٩] هي الحاصل المرجح للجرعة الممتصصة في مختلف أنسجة المنطقة الصدرية من الجهاز التنفسى. ويشبه ذلك الجرعة الفعلية ويعبر عن تعرّض داخلي غير متسق في أنسجة الجهاز التنفسى. وتختلف هذه الأنسجة في حساسيتها للإشعاع من حيث ظهور آثار صحية عشوائية. وتلقياً للالتباس، أطلقت تسمية ”المنطقة الصدرية“ على عضو الجسم المعرض لخطر إشعاعي افترض أنه يتسبب في إصابة خطيرة في الرئة. وكما جاء في المرجع [١٥]، كان من الأنسب استخدام الجرعة التي تتلقاها المنطقة السنخية في الجهاز التنفسى لتقدير التهاب الرئة على النحو الذي سار عليه النهج القائم على المخاطر.

وتختلف معاملات جرعة المواد المحتونة على نفس النويدة المشعة ولكنها معينة لمعدلات امتصاص رئوي مختلفة. واستخدم النهج المبني على الخبرة في حالة النخاع الأحمر والجهاز التنفسى ومعامل الجرعة لنوع أو شكل الامتصاص الذي أعطى أعلى جرعة مودعة في العضو. ويحدد الجدول ١٧ لكل نويدة مشعة قيمة معامل تحويل الجرعة القصوى لعضو أو نسيج معين. وأخذت من الجدول الثاني - ٨ في المرجع [١١] أنواع المواد التي روّعيت عند حساب قيم  $D_2^E$  في السيناريو الثالث - E. وتتعلق معاملات التحويل وباراترات السيناريو المستخدمة بتعرض فرد مرجعي بالغ من الجمهور. وسوف يفضي استخدام تلك المعاملات مع الفئات العمرية الأخرى إلى مبالغة في تقدير الجرعة المودعة. وحسبت قيمة الجرعة المودعة لمدة ٣٦٥ يوماً نتيجة للتعرض لإشعاع ذي انتقال خطي مرتفع للطاقة في المنطقة الصدرية من الجهاز التنفسى بضرب الجرعة الممتصصة المودعة لمدة ٣٠ يوماً المأخوذة من المرجع [٤٩] في ٤ استناداً إلى تقدير الخبراء. ولم يتضمن المرجع [٤٩] معامل تحويل الجرعة للكاليفورنيوم - ٢٥٢، ولذلك حُسب بضرب معامل تحويل جرعة الأميركيسيوم - ٢٤١ في نسبة الجرعة الفعلية من الكاليفورنيوم - ٢٥٢ والجرعة الفعلية من الأميركيسيوم - ٢٤١ المأخوذتين من المرجع [١١]. وتبلغ هذه النسبة نحو ٥٠٪.

واستُخدمت معاملات الجرعة الممتصصة المأخوذة من المرجع [٢٨] في حالة تعرّض الغدة الدرقية بعد الاستنشاق. وتتعلق هذه المعاملات بإيداع الجرعة مدى الحياة، ولكن بالنظر إلى العمر النصفى البيولوجي والفيزيائى للنويدات المشعة التي تسفر عن جرعة ملموسة في الغدة الدرقية (نظائر اليود والتلوريوم) فإن معاملات هذه الجرعات تتعلق في الواقع بفترة إيداع تقل كثيراً عن ٣٦٥ يوماً؛ ومع ذلك فقد اختيرت فترة إيداع (٤) مدتها ٣٦٥ يوماً.

## خامساً- ٢- تلوث الجلد

استُخدمت معاملات تحويل الجرعة من المرجع [٣٥] في النهج المبني على الخبرة لنقدِّير تعرُّض الجلد عن طريق ملامسة تلوث سطحي. وتنطلق هذه المعاملات بالطبقة القاعدية للجلد على مسافة ٧٠ ميكرون (٧ ملـ/سم<sup>٢</sup>) تحت سطح الجلد. على أن الآثار القطعية الطويلة الأجل التي تحدث في الجلد بسبب التعرُّض تنشأ أساساً على عمق يتراوح بين ٣٠٠ و ٥٠٠ ميكرون [١٨، ١٧]. وبالتالي فإن الحسابات المستندة إلى هذه المعاملات المأخوذة من المرجع [٣٥] لا بد وأن تكون متحفظة عند استخدامها للإشارة إلى حدوث آثار صحية قطعية عنيفة. ويتضمن الجدول ١٦ معاملات تحويل الجرعة المستخدمة في النهج المبني على الخبرة لتقدير تعرُّض الجلد عن طريق التلامس.

**الجدول ١٦: معاملات تحويل الجرعة الممتصة المودعة عن طريق الاستنشاق والتلوث**

التلوث	الاستنشاق				النوايدة المشعة <sup>١</sup>
	الإشعاع ذو الانتقال الخطى المنخفض للطاقة في الجهاز	الإشعاع ذو الانتقال الخطى المرتفع للطاقة في الجهاز	التنفسى	النخاع الأحمر	
الغشاء القاعدي للجلد	DF <sub>3E,V</sub> <sup>L</sup>	DF <sub>3E,IIE</sub> <sup>HS</sup> (Δ)	DF <sub>3E,IIE</sub> <sup>L</sup> (Δ)	DF <sub>2,IIE</sub> <sup>L+H</sup> (Δ)	
	(غراء/بكريل × ثانية/سم <sup>٢</sup> )	(غراء/بكريل)	(غراء/بكريل)	(غراء/بكريل)	
0.0E+00	NG	5.4E-12	2.2E-12	H-3	
8.8E-11	NG	1.1E-09	6.5E-12	C-14	
4.7E-10	NG	3.6E-09	2.5E-10	P-32	
9.4E-11	NG	1.1E-09	1.7E-11	S-35	
4.4E-10	NG	2.8E-09	3.5E-11	Cl-36	
2.8E-13	NG	1.1E-11	2.2E-12	Cr-51	
2.8E-13	NG	5.6E-12	1.3E-11	Fe-55	
2.1E-11	NG	1.6E-10	7.4E-12	Co-57	
2.9E-10	NG	2.4E-09	1.3E-10	Co-60	
2.8E-13	NG	1.1E-09	2.8E-12	Ni-63	
6.7E-12	NG	1.5E-10	3.6E-11	Zn-65	
4.2E-10	NG	3.4E-08	9.4E-11	Ge-68	
2.8E-11	NG	2.9E-10	2.4E-11	Se-75	
4.6E-10	NG	3.4E-09	2.5E-10	Sr-89	
8.8E-10	NG	( )	1.8E-10	Sr-90+	
4.7E-10	NG	3.5E-09	3.4E-10	Y-90	
4.6E-10	NG	3.5E-09	2.9E-10	Y-91	
3.3E-10	NG	2.3E-09	1.2E-10	Zr-95+	
4.0E-10	NG	1.1E-09	5.9E-11	Nb-95	
ND	NG	2.0E-09	6.0E-11	Nb-95m+	
5.1E-10	NG	2.7E-09	7.7E-11	Mo-99+	
6.5E-11	NG	8.4E-11	1.7E-12	Tc-99m	
1.8E-10	NG	2.0E-09	9.0E-11	Ru-103+	
4.9E-10	NG	5.7E-09	2.9E-10	Ru-106+	
2.8E-13	NG	4.5E-10	4.9E-13	Pd-103+	
1.4E-10	NG	2.1E-09	5.2E-12	Cd-109	
6.6E-10	NG	4.4E-09	3.3E-10	Te-132+	
2.8E-13	NG	1.0E-10	2.9E-12	I-125	
ND	NG	1.2E-09	5.2E-12	I-129	
4.0E-10	NG	2.4E-09	3.3E-11	I-131	
3.0E-10	NG	2.3E-09	1.1E-10	Cs-134	

النلوث	الاستنشاق				النويدة المشعة <sup>١</sup>
	الإشعاع ذو الانقال الخطى المنخفض للطاقة في الجهاز التتنفسى	الإشعاع ذو الانقال الخطى المرتفع للطاقة في الجهاز	النخاع الأحمر		
	DF <sub>6E,V</sub> <sup>L</sup>	DF <sub>3E,IIE</sub> <sup>HS</sup> (Δ)	DF <sub>3E,IIE</sub> <sup>L</sup> (Δ)	DF <sub>2,IIE</sub> <sup>L+H</sup> (Δ)	
(غراء/بكريل × ثانية/سم <sup>٢</sup> )	(غراء/بكريل)	(غراء/بكريل)	(غراء/بكريل)	(غراء/بكريل)	
4.4E-10	NG	2.9E-09	6.5E-11	Cs-137+	
2.7E-11	NG	8.9E-10	5.4E-11	Ba-133	
4.8E-10	NG	2.9E-09	5.7E-11	Ce-141	
7.3E-10	NG	7.4E-09	3.4E-10	Ce-144+	
1.6E-10	NG	1.4E-09	2.7E-11	Pm-147	
2.1E-10	NG	1.9E-09	1.4E-10	Eu-152	
5.0E-10	NG	4.0E-09	2.0E-10	Eu-154	
3.1E-11	NG	7.9E-10	2.9E-11	Gd-153	
4.5E-10	NG	3.2E-09	2.0E-10	Tm-170	
2.7E-10	NG	2.3E-09	8.6E-11	Yb-169	
5.2E-10	NG	2.3E-09	3.4E-11	Re-188	
4.5E-10	NG	3.0E-09	5.9E-11	Ir-192	
4.6E-10	NG	2.4E-09	3.7E-11	Au-198	
2.5E-10	NG	2.8E-08	3.3E-11	Hg-203	
2.8E-13	3.9E-06	NG	2.1E-09	Po-210	
1.0E-09	3.8E-06	NG	3.9E-09	Ra-226+	
ND	3.4E-06	NG	2.3E-09	Th-230	
ND	2.5E-06	NG	2.0E-09	Th-232	
1.5E-12	4.4E-06	NG	9.2E-10	U-232	
ND	3.2E-06	NG	8.2E-10	U-234	
ND	3.2E-06	NG	2.8E-09	U-235+	
ND	NG	3.6E-09	3.8E-11	U-237	
ND	2.8E-06	NG	7.3E-10	U-238	
ND	2.8E-06	NG	ND	U natural	
ND	2.8E-06	NG	ND	U depleted	
ND	3.2E-06	NG	ND	U enriched	
ND	3.5E-06	NG	1.8E-09	Np-237+	
2.8E-13	4.4E-06	NG	1.7E-09	Pu-238	
ND	3.9E-06	NG	1.6E-09	Pu-239	
ND	3.9E-06	NG	1.6E-09	Pu-240	
2.8E-13	8.9 E-08	NG	2.1E-11	Pu-241+	
ND	3.6E-06	NG	1.5E-09	Pu-242	
7.4E-13	4.4E-06	NG	1.6E-09	Am-241	
2.8E-13	5.2E-06	NG	1.7E-09	Cm-242	
2.8E-13	4.8E-06	NG	1.7E-09	Cm-244	
ND	2.2E-06 <sup>٤</sup>	2.3E-10	ND	Cf-252	

أ روسي النمو الداخلي للنواتج المشعة قبل الأخذ الداخلي عند حساب معاملات الجرعة لكل النويدات المشعة على النحو المبين في التذليل الثامن. وتشير علامة "+" إلى النويدات المشعة التي تمثل نواتجها مصادر ملموسة للجرعة في السيناريوهات موضوع النظر.

ب معامل تحويل الجرعة المودعة لمدة يومين في النسخة ٢ (النخاع الأحمر) بسبب استنشاق ١ بكريل من نويدة مشعة متبعثنة لأي مجموعة من الإشعاعات ذات الانقال الخطى المنخفض الطاقة والانقال الخطى المرتفع للطاقة نقلًا عن المرجع .[٤٩]

- ج معامل تحويل الجرعة الممتصة المودعة لمدة يومين في النسيج E<sup>3</sup> (المنطقة الصدرية من الجهاز التنفسي) بسبب استنشاق ١ بكريل من نويدة مشعة مبتعثة لإشعاع ذي انتقال خطى منخفض للطاقة نقاً عن المرجع [٤٩].
- د معامل تحويل الجرعة الممتصة المودعة لمدة ٣٦٥ في النسيج E<sup>3</sup> (المنطقة الصدرية من الجهاز التنفسي) بسبب استنشاق ١ بكريل من أيروسول من النوع S لنويدة مشعة مبتعثة لإشعاع ذي انتقال خطى مرتفع للطاقة. وافتراض أن الجرعة المودعة لمدة ٣٦٥ يوماً تساوي ٤ أمثال الجرعة المودعة لمدة ٣٠ يوماً المأخوذة من المرجع [٤٩].
- ه معامل تحويل معدل الجرعة الممتصة في النسيج E<sup>6</sup> (الغشاء القاعدي للجلد) بسبب وحدة نشاط سطحي لنويدة مشعة مبتعثة لإشعاع ذي انتقال خطى منخفض للطاقة.
- و "NG" تعني "لا يذكر".
- ز فيما يتعلق بالحالة الخاصة لمركب SrTiO<sub>3</sub><sup>90</sup> غير القابل للذوبان، كما هو مبين في التذييل الأول، استخدم معامل تحويل الجرعة الممتصة المودعة لمدة ٣٦٥ يوماً في النسيج E<sup>3</sup> (المنطقة الصدرية من الجهاز التنفسي) (Δ) DF<sub>3E,IIIe</sub><sup>LS</sup> وهو يساوي ٧-E<sup>3,7</sup> غرافي/بكريل.
- ح "ND" تعني "لا توجد أي بيانات".
- ط ظدر معامل تحويل جرعة الكاليفورنيوم - ٢٥٢ بضرب معامل تحويل جرعة الأميريشيوم - ٢٤١ في نسبة الجرعة الفعالة للكاليفورنيوم - ٢٥٢ والجرعة الفعالة للأميريشيوم - ٢٤١ نقاً عن المرجع [١١]. وهذه النسبة هي ٠٠٥.

## الجدول ١٧: معاملات الجرعة الممتصة المودعة في الغدة الدرقية عن طريق الاستنشاق

النوعية المشعة <sup>١</sup>	الغدة الدرقية
Te-132+	DF <sub>5,IIIe</sub> <sup>L</sup> (Δ)
I-125	غرافي/بكريل
I-129	5.8E-08
I-131	2.2E-07
	1.6E-06
	2.9E-07

- أ الجرعة التي تتلقاها الغدة الدرقية من كل النويدات المشعة الأخرى التي يتناولها النهج المبني على الخبرة لا تذكر.
- ب معامل تحويل الجرعة الممتصة المودعة لمدة ٣٦٥ يوماً في النسيج E<sup>3</sup> (الغدة الدرقية) الناتجة عنأخذ داخلي لمقدار يبلغ ١ بكريل من نويدة مشعة متراكمة في الغدة الدرقية تتبع إشعاعاً ذا انتقال خطى منخفض للطاقة. وافتراض أن ذلك يساوي الجرعة المودعة مدى الحياة استناداً إلى المرجع [٢٨].

## خامساً-٣- الغمر

استخدم النهج المبني على الخبرة معاملات جرعة الغمر المأخوذة عن المرجع [٤٠]. وافتراض حدوث غمر في سحابة شبه لا متناهية من الغاز الخامل المشع، وهو ما يبالغ في تقدير الغمر في غرفة حجمها ٣٠٠ متر مكعب وفقاً للسيناريو الرابع. ولم يتناول النهج المبني على الخبرة سوى غاز الكلربتون-٨٥ كمصدر للغمر. وتبعه هذه النويدة المشعة إشعاعاً ذا انتقال خطى منخفض للطاقة، ولذلك افترض أن معامل تحويل معدل جرعتها الممتصة DF<sub>2,VI</sub><sup>L</sup> يساوي عددياً معامل تحويل الجرعة المرجحة بالفعالية البيولوجية النسبية AF<sub>2,VI</sub> المحدد لغاز الكلربتون - ٨٥ في الجدول ٢٠.

## **التدليل السادس**

### **معاملات التحويل المستخدمة في النهج القائم على المخاطر للجرعات المأخوذة عن طريق الاستنشاق والابتلاع والغمر والجلد**

تشمل معاملات تحويل الجرعات المستخدمة لحساب قيم  $D_2^R$  معاملات تتعلق بالاستنشاق والابتلاع وتلوث الجلد والغمر. وترتدى هذه المعاملات في الجداول ١٨ و ١٩ و ٢٠.

#### **سادساً - الاستنشاق والابتلاع**

قاعدة بيانات قياسات الجرعات التابعة لمختبر أوك ريدج الوطني [٤٩] هي المصدر الرئيسي للبيانات المستخدمة في حساب معاملات تحويل جرعات المواد المشعة المشتقة المأخوذة عن طريق الاستنشاق والابتلاع. والمصدر الإضافي لبيانات قياسات الجرعات المستخدمة في حساب قيم  $D_2^R$  هي قاعدة بيانات قياسات جرعات اللجنة الدولية للوقاية من الإشعاعات [٥٠]. واستُخدمت البيانات المأخوذة من هذا المصدر مع النوبات المشعة التي لم تكن موجودة في قاعدة بيانات قياسات الجرعات التابعة لمختبر أوك ريدج الوطني. ويشار في الجدولين ١٨ و ١٩ إلى تلك البيانات بعلامة النجمة (\*). ويعبّر استخدام تلك المعاملات للبارامترات عن تعرض أحد أفراد الجمهور البالغين المرجعيين. وسوف يفضي استخدام تلك المعاملات مع الفئات العمرية الأخرى إلى مبالغة في تقدير الجرعة المودعة. وروعيت مساهمة النواتج العالقة الهواء المستنشق عند حساب معامل الجرعة على النحو المبين في التدليل الثامن. وتوضع علامة (+) في الجدولين إذا كانت هذه المساهمة تتجاوز النوبة المشعة الأُمّ بعده نقاط مئوية.

واستُخدم النهج القائم على المخاطر جرعة مودعة مرحلة بالفعالية البيولوجية النسبية نتيجة لحدوث تعرُّض داخلي في عضو أو نسيج T من خلال مسار (مسار التعرض)  $S$ ,  $\Delta AF_{T,S}$  لتحديد خصائص الأخذ الداخلي للنوبة المشعة. وتحدد هذه الكمية في المعادلة (٤). وتعين اللجنة الدولية للوقاية من الإشعاعات في حالة الاستنشاق أو الابتلاع مادة مشعة لواحد من عدة أنواع من الاستنشاق أو الابتلاع [١٦، ١١]. وتختلف معاملات جرعات المواد المحتوية على نفس النوبة المشعة المحددة لأنواع مختلفة. وتتضمن الجداول معاملات تحويل الجرعة القصوى لكل نوبة مشعة في عضو أو نسيج معين. وأخذت من الجدول الثاني - ٥، والجدول الثاني - ٩ والجدول الثاني - ٦ في المرجع [١١] أنواع المواد التي أخذت في الاعتبار عند حساب قيم  $D_2^R$  في السيناريو الثالث R والسيناريو الرابع. واستُخدمت معاملات تحويل الجرعة المودعة التالية:

(أ)  $AF_{2,IIR}(\Delta)$  هو معامل تحويل الجرعة الذي يساوي جرعة مودعة مرحلة بالفعالية البيولوجية النسبية لمدة ٣٠ يوماً وفقاً للسيناريو الثالث R في النسيج ٢ (النخاع الأحمر) نتيجة لاستنشاق ١ بكريل من نوبة مشعة (مكافئ غراري)/بكريل؛

(ب)  $AF_{3R,IIR}(\Delta)$  هو معامل تحويل الجرعة الذي يساوي الجرعة المودعة المرحلة بالفعالية البيولوجية النسبية لمدة ٣٠ يوماً وفقاً للسيناريو الثالث R في النسيج ٣ (المنطقة السنخية الخالية من الجهاز التنفسي) نتيجة لاستنشاق ١ بكريل من نوبة مشعة، (مكافئ غراري)/بكريل؛

- (ج)  $AF_{4,\text{IIR}}(\Delta)$  هو معامل تحويل الجرعة الذي يساوي الجرعة المودعة المرجحة بالفعالية البيولوجية النسبية لمدة ٣٠ يوماً وفقاً للسيناريو الثالث R في النسيج ٤ (القولون)<sup>٢٣</sup> نتيجة لاستنشاق ١ بكريل من نويدة مشعة، (مكافئ غراري/بكريل)؛
- (د)  $AF_{5,\text{IIR}}(\Delta)$  هو معامل تحويل الجرعة الذي يساوي جرعة مودعة مرددة بالفعالية البيولوجية النسبية لمدة ٣٦٥ يوماً وفقاً للسيناريو الثالث R في النسيج ٥ (الغدة الدرقية بسبب استنشاق ١ بكريل من نويدة مشعة، (مكافئ غراري)/بكريل)؛
- (ه)  $AF_{2,\text{IV}}(\Delta)$  هو معامل تحويل الجرعة الذي يساوي الجرعة المودعة المرجحة بالفعالية البيولوجية النسبية لمدة ٣٠ يوماً وفقاً للسيناريو الرابع في النسيج ٢ (النخاع الأحمر) نتيجة لابتلاع ١ بكريل من نويدة مشعة، (مكافئ غراري)/بكريل؛
- (و)  $AF_{4,\text{IV}}(\Delta)$  هو معامل تحويل الجرعة الذي يساوي الجرعة المودعة المرجحة بالفعالية البيولوجية النسبية لمدة ٣٠ يوماً وفقاً للسيناريو الرابع في النسيج ٤ (القولون)<sup>٢٣</sup> نتيجة لابتلاع ١ بكريل من نويدة مشعة، (مكافئ غراري)/بكريل؛
- (ز)  $AF_{5,\text{IV}}(\Delta)$  هو معامل تحويل الجرعة الذي يساوي الجرعة المودعة المرجحة بالفعالية البيولوجية النسبية لمدة ٣٦٥ يوماً وفقاً للسيناريو الرابع في النسيج ٥ (الغدة الدرقية) نتيجة لابتلاع ١ بكريل من نويدة مشعة، (مكافئ غراري)/بكريل.

وفيما يتعلق بالاستنشاق والابتلاع، يتضمن ملحق قاعدة بيانات قياسات الجرعات التابعة لمختبر أوك ريدج الوطني [٤٩] وبيانات قياسات الجرعات الواردة في المرجع [٥١] قيم معدلات جرعات الإشعاع ذي الانتقال الخطى المنخفض للطاقة والإشعاع ذي الانتقال الخطى المرتفع للطاقة في ٢٩ عضواً أو نسيجاً لدى بشر في مراحل عمرية مختلفة (أفراد مرجعيون في ٦ فئات عمرية). وفيما يتعلق بالاستنشاق، لا تناح إلا البيانات المتعلقة بالأيروسولات التي يبلغ قطر نشاطها الحركي الهوائي الوسطى ١ ميكرون. وتترد قائمة معدلات الجرعة الممتصة في كل عضو أو نسيج في ١٢٨ نقطة زمنية من الصفر حتى ٢٧٥٠٠ يوم بعدأخذ الداخلى. وعندما استخدمت قواعد هذه البيانات لحساب معاملات تحويل الجرعة المودعة، حُسبت قيمة AF<sub>T,S</sub>(Δ) بالتكامل العددي لمعدل الجرعة الممتصة:

$$(٦٧) \quad AF_{T,S}(\Delta) = \int_0^{\Delta} [RBE_T^L \times \dot{d}_{T,S}^L(t) + RBE_T^H \times \dot{d}_{T,S}^H(t)] dt$$

حيث:

$\dot{d}_{T,S}^H(t)$  و  $\dot{d}_{T,S}^L(t)$  هما معدل الجرعة الممتصة في عضو أو نسيج T بعد أخذ داخلي لمقادير يبلغ ١ بكريل من نويدة مشعة معينة للمسار S، (غراري/(بكريل × ثانية))، ويردان في المراجعين [٤٩، ٥١]؛

$RBE_T^H$  و  $RBE_T^L$  هما المعاملان للفعالية البيولوجية النسبية للإشعاع ذي الانتقال الخطى المنخفض للطاقة والإشعاع ذي الانتقال الخطى المرتفع للطاقة اللذان يتسببان في حدوث آثار قطعية عنيفة في العضو أو النسيج T، ((مكافئ غراري)/غراري)، ويردان في الجدول ١٠؛

Δ هو الحد الأعلى لزمن التكامل، (D)، ويرد في الجدول ١٠.

---

٢٣ حُسبت الجرعة التي يتناولها القولون باعتبارها متوسط الجرعة في كتل الأمعاء الغليظة وفقاً لتوصية اللجنة الدولية للوقاية من الإشعاعات في المرجع [٢٠].

وتتضمن قاعدة بيانات قياسات الجرعات التابعة للجنة الدولية للوقاية للإشعاعات [٥٠] قيم معاملات تحويل الجرعة ( $\Delta$ )  $HF_{T,S}$  التي تساوي الجرعة المودعة المرجحة بالإشعاع كدالة للزمن ( $\Delta$ ) بعد قيام الجمهور (الأفراد المرجعيون في ٦ فئات عمرية) والعمال بابتلاع أو استنشاق ١ بكريل من نوبيدة مشعة مرة واحدة. وفيما يتعلق بالنويديات المشعة التي لا تتبعثر سوى إشعاع ذي انتقال خطى منخفض للطاقة، فإن قيم ( $Sv$ ) ، ( $AF_{T,S}(\Delta)$ ) و ( $HF_{T,S}(\Delta)$ ) مكافئ غرائي، تكون متساوية عديماً وتحدد بالمعادلة التالية:

$$(٦٨) \quad AF_{T,S}(\Delta) = \frac{RBE_T^L}{W_L} HF_{T,S}(\Delta)$$

حيث:

$RBE_T^L$  هي الفعالية البيولوجية النسبية للإشعاع ذي الانتقال الخطى المنخفض للطاقة، ((مكافئ غرائي)/غرائي)، وترد في الجدول ١٠؛

$w_L$  هو المعامل الإشعاعي المرجح للإشعاع ذي الانتقال الخطى المنخفض للطاقة الذي يساوى ١ سيفرت/غرائي [٢٠].

والإشعاع ذو الانتقال الخطى المرتفع للطاقة هو العامل الرئيسي الذي يساهم في الجرعة الممتصة في العضو أو النسخ المعرض لخطر إشعاعي [١٥] من معظم النويديات المشعة المبتعة لأنفًا والنويديات المشعة التي ترتفع احتمالات انتشارها التلقائي (الواردة في الجدول ٢٧). وفي هذه الحالة المعينة:

$$(٦٩) \quad AF_{T,S}(\Delta) = \frac{RBE_T^H}{W_H} HF_{T,S}(\Delta)$$

حيث:

$RBE_T^H$  هي الفعالية البيولوجية النسبية الخاصة بأثر الإشعاع ذي الانتقال الخطى المرتفع للطاقة، ((مكافئ غرائي)/غرائي)، وترد في الجدول ١٠؛

$w_H$  هو المعامل الترجيحي للإشعاع ذي الانتقال الخطى المرتفع للطاقة الذي يساوى ٢٠ سيفرت/غرائي لجسيمات ألفا على النحو الذي حدته اللجنة الدولية للوقاية من الإشعاعات [٢٠] ويساوى ١٢ سيفرت/غرائي لأطيف الإشعاع النيوتروني المهمة.

وتتطبق المعادلتان (٦٨) و(٦٩) على كل النويديات المشعة التي يقل عددها الذري عن ٨٠، ومعظم النويديات المشعة التي يزيد عددها الذري على ٨١ الواردة في الجدول ١. والاستثناءات الوحيدة هي النويديات المشعة الثمانية: الرصاص-٢١٠، والبزموث-٢١٠، والبروتكتينيوم-٢٣٠، والنبيونيوم-٢٣٦، والبلوتونيوم-٢٤١، والأميريشيوم-٢٤٢ شبه المستقر، والراديوم-٢٨٠، والنوبيديات المشعة لها سلسلة اضمحلالية مشعة معقدة ونواتج تتبعثر إشعاعات متباينة من حيث الانتقال الخطى للطاقة. وتساهم هذه النويديات المشعة بدور ملموس في الجرعة المرجحة بالإشعاع.

ويتضمن الجدول ١٨ معاملات تحويل الجرعة المودعة المرجحة بالفعالية البيولوجية النسبية عن طريق الاستنشاق المستخدمة في النهج القائم على المخاطر.

**الجدول ١٨ : معاملات تحويل الجرعة المرجحة بالفعالية البيولوجية النسبية المودعة عن طريق الاستنشاق**

الاستنشاق				
الغدة الدرقية	القولون	المنطقة السنخية الخلالية	النخاع الأحمر	النوبيدة المشعة <sup>a</sup>
$\text{AF}_{5_{\text{IIR}}}(\Delta)$ ((مكافي غراء)/(بكريل))	$\text{AF}_{4_{\text{IIR}}}(\Delta)$ ((مكافي غراء)/(بكريل))	$\text{AF}_{3R_{\text{IIR}}}(\Delta)$ ((مكافي غراء)/(بكريل))	$\text{AF}_{2_{\text{IIR}}}(\Delta)$ ((مكافي غراء)/(بكريل))	
NA	2.1E-11	2.1E-11	2.1E-11	H-3
NA	2.4E-11	1.0E-10	1.5E-11	Be-7
NA	1.9E-09	1.0E-08	7.1E-11	Be-10
NA	2.2E-12	2.1E-12	2.0E-12	C-11
NA	2.8E-12	2.8E-12	2.8E-12	C-14
NA	0.0E+00	0.0E+00	0.0E+00	N-13
NA	2.9E-12	5.3E-11	2.7E-11	F-18 (*)
NA	8.7E-10	7.5E-10	1.2E-09	Na-22
NA	1.1E-10	1.2E-10	1.5E-10	Na-24 (*)
NA	2.4E-09	2.6E-09	5.5E-10	Mg-28 (*)
NA	4.4E-09	2.0E-08	4.4E-09	Al-26
NA	1.2E-10	1.4E-10	4.3E-12	Si-31 (*)
NA	2.5E-09	2.8E-08	2.9E-09	Si-32 +
NA	1.2E-09	1.3E-08	2.6E-09	P-32
NA	1.4E-10	1.8E-09	1.3E-10	P-33
NA	3.1E-10	1.5E-09	2.2E-10	S-35
NA	2.7E-10	9.3E-09	2.4E-10	Cl-36
NA	4.3E-12	8.2E-11	4.1E-12	Cl-38 (*)
NA	0.0E+00	0.0E+00	0.0E+00	Ar-37(*)
NA	0.0E+00	0.0E+00	0.0E+00	Ar-39 (*)
NA	0.0E+00	0.0E+00	0.0E+00	Ar-41 (*)
NA	2.3E-09	8.5E-10	8.4E-10	K-40
NA	1.2E-10	9.6E-11	7.6E-11	K-42 (*)
NA	9.5E-11	7.0E-11	6.7E-11	K-43 (*)
NA	1.9E-11	9.2E-11	3.2E-12	Ca-41
NA	5.2E-10	2.4E-09	8.3E-11	Ca-45
NA	2.3E-09	4.5E-09	2.6E-10	Ca-47 +
NA	3.1E-10	2.6E-10	1.7E-11	Sc-44 (*)
NA	1.7E-09	8.1E-09	5.5E-10	Sc-46
NA	8.7E-10	1.2E-09	9.9E-12	Sc-47
NA	1.8E-09	1.6E-09	1.8E-10	Sc-48
NA	5.6E-09	3.0E-08	2.1E-09	Ti-44 +
NA	2.2E-09	6.2E-09	7.5E-10	V-48
NA	3.3E-11	1.5E-10	5.5E-12	V-49
NA	4.7E-11	2.0E-10	1.0E-11	Cr-51
NA	1.5E-09	2.7E-09	8.3E-10	Mn-52
NA	3.7E-11	1.8E-10	2.7E-11	Mn-53
NA	5.5E-10	1.9E-09	5.6E-10	Mn-54

الاستنشاق				
الغدة الدرقية	القولون	المنطقة السنخية الخلالية	النخاع الأحمر	النوبيدة المشعة <sup>أ</sup>
<sup>ـ</sup> AF <sub>5.IIR</sub> (Δ)	<sup>ـ</sup> AF <sub>4.IIR</sub> (Δ)	<sup>ـ</sup> AF <sub>3R.IIR</sub> (Δ)	<sup>ـ</sup> AF <sub>2.IIR</sub> (Δ)	
((مكافي غراء)/(بكريل))	((مكافي غراء)/(بكريل))	((مكافي غراء)/(بكريل))	((مكافي غراء)/(بكريل))	
NA	1.8E-10	1.9E-10	2.1E-11	Mn-56 (*)
NA	1.6E-09	1.0E-09	8.8E-10	Fe-52 +
NA	3.8E-11	2.0E-10	4.7E-11	Fe-55
NA	1.3E-09	5.1E-09	1.5E-09	Fe-59
NA	2.1E-09	1.1E-08	1.4E-09	Fe-60 +
NA	1.3E-09	8.5E-10	6.1E-11	Co-55 +(*)
NA	2.4E-09	1.1E-08	9.0E-10	Co-56
NA	2.3E-10	1.2E-09	3.8E-11	Co-57
NA	7.1E-10	3.3E-09	2.7E-10	Co-58
NA	3.4E-11	3.7E-11	1.5E-12	Co-58m +
NA	1.8E-09	9.3E-09	7.2E-10	Co-60
NA	4.7E-11	2.3E-10	1.8E-11	Ni-59
NA	1.2E-10	5.7E-10	4.4E-11	Ni-63
NA	1.2E-10	1.3E-10	2.6E-10	Ni-65 (*)
NA	1.3E-10	1.5E-10	9.1E-12	Cu-64 (*)
NA	4.2E-10	8.7E-10	3.8E-11	Cu-67
NA	3.4E-10	1.6E-09	1.7E-10	Zn-65
NA	7.5E-12	2.4E-11	1.1E-13	Zn-69 (*)
NA	6.4E-10	4.0E-10	1.7E-11	Zn-69m +(*)
NA	2.5E-10	3.0E-10	4.5E-11	Ga-67
NA	3.2E-11	7.4E-11	5.6E-12	Ga-68 (*)
NA	1.2E-09	7.3E-10	1.3E-10	Ga-72 (*)
NA	2.3E-09	2.6E-08	2.9E-10	Ge-68 +
NA	2.1E-11	1.5E-10	5.9E-13	Ge-71
NA	2.4E-10	8.5E-10	3.5E-11	Ge-77 +
NA	2.3E-09	2.3E-09	9.1E-11	As-72
NA	3.9E-10	2.1E-09	1.1E-11	As-73
NA	1.6E-09	6.5E-09	1.9E-10	As-74
NA	2.2E-09	2.2E-09	3.8E-11	As-76
NA	5.8E-10	6.9E-10	6.5E-12	As-77
NA	3.1E-10	1.4E-09	2.3E-10	Se-75
NA	3.7E-10	1.9E-09	5.6E-11	Se-79
NA	1.4E-10	1.1E-09	1.1E-10	Br-76 (*)
NA	4.7E-11	1.7E-10	2.9E-11	Br-77
NA	2.6E-10	9.2E-10	1.6E-10	Br-82
NA	0.0E+00	0.0E+00	0.0E+00	Kr-81
NA	0.0E+00	0.0E+00	0.0E+00	Kr-85
NA	0.0E+00	0.0E+00	0.0E+00	Kr-85m
NA	0.0E+00	0.0E+00	0.0E+00	Kr-87
NA	9.0E-12	1.2E-11	1.0E-11	Rb-81 (*)

الاستنشاق				
الغدة الدرقية	القولون	المنطقة السنخية الخلالية	النخاع الأحمر	النوبيدة المشعة <sup>أ</sup>
$\Delta AF_{5,IIIR}$	$\Delta AF_{4,IIIR}$	$\Delta AF_{3R,IIIR}$	$\Delta AF_{2,IIIR}$	
(مكافي غراء)/(بكريل)	((مكافي غراء)/(بكريل))	((مكافي غراء)/(بكريل))	((مكافي غراء)/(بكريل))	
NA	3.6E-10	2.8E-10	4.1E-10	Rb-83
NA	7.4E-10	5.4E-10	8.4E-10	Rb-84
NA	1.0E-09	6.0E-10	1.1E-09	Rb-86
NA	2.6E-10	1.5E-10	2.9E-10	Rb-87
NA	1.0E-08	4.1E-08	4.3E-09	Sr-82
NA	3.2E-10	1.7E-09	2.8E-10	Sr-85
NA	2.2E-12	4.2E-12	8.5E-13	Sr-85m +
NA	2.3E-11	2.3E-11	3.9E-12	Sr-87m (*)
NA	4.2E-09	1.9E-08	1.9E-09	Sr-89
NA	8.4E-09	4.5E-08	3.7E-09	Sr-90 +
NA	4.2E-09	1.7E-08	5.3E-10	Sr-91 +
NA	6.5E-10	4.1E-10	6.1E-11	Sr-92 +(*)
NA	6.4E-10	9.1E-10	8.6E-11	Y-87 +
NA	1.2E-09	5.7E-09	8.7E-10	Y-88
NA	4.4E-09	5.1E-09	1.0E-10	Y-90
NA	4.3E-09	2.0E-08	5.6E-10	Y-91
NA	5.1E-12	1.7E-11	1.3E-12	Y-91m +
NA	4.9E-10	4.5E-10	5.8E-12	Y-92 (*)
NA	1.6E-09	1.0E-09	1.6E-11	Y-93 (*)
NA	5.5E-10	2.8E-09	6.5E-10	Zr-88 +
NA	2.3E-10	1.3E-09	1.7E-10	Zr-93 +
NA	1.2E-09	6.3E-09	1.7E-09	Zr-95 +
NA	2.9E-09	1.9E-09	3.5E-10	Zr-97 +(*)
NA	2.2E-10	1.2E-09	6.6E-12	Nb-93m
NA	2.0E-09	1.0E-08	5.7E-10	Nb-94
NA	6.5E-10	2.8E-09	2.1E-10	Nb-95
NA	2.4E-11	5.4E-11	1.9E-12	Nb-97 (*)
NA	1.5E-10	1.0E-09	1.8E-11	Mo-93 +
NA	2.0E-09	2.4E-09	2.0E-10	Mo-99 +
3.3E-10	4.5E-10	1.9E-09	1.8E-10	Tc-95m
6.8E-10	8.5E-10	1.3E-09	2.4E-10	Tc-96
1.2E-11	7.7E-12	1.3E-11	2.0E-12	Tc-96m +
7.0E-11	6.8E-11	4.6E-10	2.1E-12	Tc-97
5.8E-10	6.3E-10	2.8E-09	1.8E-11	Tc-97m
1.4E-09	1.8E-09	8.2E-09	4.1E-10	Tc-98
6.5E-10	7.3E-10	3.4E-09	2.1E-11	Tc-99
4.0E-11	7.9E-12	1.2E-11	1.7E-12	Tc-99m (*)
NA	4.2E-10	2.2E-10	3.8E-11	Ru-97
NA	2.8E-09	4.5E-09	4.1E-10	Ru-103 +
NA	7.7E-10	2.4E-10	2.4E-11	Ru-105 +

الاستنشاق				
الغدة الدرقية	القولون	المنطقة السنخية الخلالية	النخاع الأحمر	النوبيدة المشعة <sup>أ</sup>
$\text{AF}_{5,\text{IIR}}(\Delta)$	$\text{AF}_{4,\text{IIR}}(\Delta)$	$\text{AF}_{3R,\text{IIR}}(\Delta)$	$\text{AF}_{2,\text{IIR}}(\Delta)$	
((مكافي غراء)/(بكريل))	((مكافي غراء)/(بكريل))	((مكافي غراء)/(بكريل))	((مكافي غراء)/(بكريل))	
NA	2.7E-08	5.5E-08	2.6E-09	Ru-106 +
NA	5.6E-10	2.0E-09	1.6E-10	Rh-99
NA	4.0E-10	2.3E-09	1.2E-10	Rh-101
NA	1.5E-09	5.9E-09	7.5E-10	Rh-102
NA	1.5E-09	7.7E-09	3.0E-10	Rh-102m
NA	9.3E-13	3.2E-12	9.1E-14	Rh-103m (*)
NA	5.6E-10	4.8E-10	1.7E-11	Rh-105
NA	3.3E-10	1.2E-09	8.3E-12	Pd-103 +
NA	6.9E-11	3.7E-10	2.1E-12	Pd-107
NA	8.1E-10	5.1E-10	1.7E-12	Pd-109 (*)
NA	4.8E-10	1.9E-09	1.9E-10	Ag-105
NA	1.7E-09	7.1E-09	7.5E-10	Ag-108m
NA	2.5E-09	9.5E-09	1.2E-09	Ag-110m
NA	2.2E-09	4.9E-09	8.6E-11	Ag-111
NA	6.4E-10	3.7E-09	6.1E-11	Cd-109
NA	1.3E-09	7.3E-09	1.2E-10	Cd-113m
NA	2.1E-09	2.3E-09	7.3E-11	Cd-115 +
NA	4.1E-09	1.9E-08	3.2E-10	Cd-115m
NA	3.0E-10	3.6E-10	1.6E-10	In-111
NA	1.4E-11	2.1E-11	3.2E-12	In-113m (*)
NA	6.0E-09	2.5E-08	1.5E-08	In-114m
NA	8.6E-11	6.6E-11	1.6E-11	In-115m (*)
NA	1.2E-09	5.1E-09	3.1E-10	Sn-113 +
NA	1.1E-09	3.2E-09	4.5E-10	Sn-117m
NA	5.9E-10	2.7E-09	1.2E-10	Sn-119m
NA	9.2E-10	4.2E-09	2.0E-10	Sn-121m +
NA	3.7E-09	1.6E-08	7.0E-10	Sn-123
NA	5.1E-09	1.2E-08	1.7E-09	Sn-125
NA	9.4E-09	3.8E-08	3.0E-09	Sn-126 +
NA	2.7E-09	2.9E-09	4.1E-10	Sb-122
NA	3.4E-09	1.4E-08	1.4E-09	Sb-124
5.8E-10	1.5E-09	6.8E-09	7.5E-10	Sb-125 +
NA	2.9E-09	7.8E-09	1.1E-09	Sb-126
6.7E-10	5.6E-10	1.1E-09	2.7E-10	Te-121
2.4E-09	1.2E-09	3.9E-09	6.8E-10	Te-121m +
2.2E-09	8.4E-10	3.5E-09	5.2E-10	Te-123m
2.1E-09	7.8E-10	3.5E-09	4.7E-10	Te-125m
5.9E-11	2.3E-10	1.5E-10	2.6E-11	Te-127 (*)
5.8E-09	2.0E-09	9.2E-09	1.3E-09	Te-127m +
7.5E-12	2.0E-11	5.1E-11	3.0E-11	Te-129 (*)

**الاستنشاق**

النوبية المشعة <sup>a</sup>	النخاع الأحمر	المنطقة السنخية الخلالية	القولون	الغدة الدرقية
(مكافي غراء)/(بكريل)	(مكافي غراء)/(بكريل)	(مكافي غراء)/(بكريل)	(مكافي غراء)/(بكريل)	AF <sub>5,IIR</sub> (Δ) ـ AF <sub>4,IIR</sub> (Δ) ـ AF <sub>3R,IIR</sub> (Δ) ـ AF <sub>2,IIR</sub> (Δ)
Te-129m +	2.2E-09	1.6E-08	3.9E-09	1.0E-08
Te-131m +	2.8E-10	1.5E-09	1.5E-09	1.1E-07
Te-132 +	5.4E-10	4.5E-09	3.4E-09	7.4E-10
I-123 (*)	7.4E-12	6.2E-12	7.2E-12	4.6E-08
I-124	1.4E-10	1.3E-10	7.8E-11	2.4E-08
I-125	1.5E-11	1.2E-11	1.5E-11	8.8E-08
I-126	1.3E-10	1.3E-10	7.2E-11	6.6E-08
I-129	2.1E-11	1.9E-11	3.3E-11	7.4E-10
I-131	9.1E-11	8.8E-11	6.1E-11	7.4E-08
I-132 (*)	3.1E-11	2.7E-11	3.0E-11	3.6E-09
I-133 (*)	4.5E-11	4.4E-11	5.3E-11	7.6E-08
I-134 (*)	1.9E-11	1.5E-11	1.4E-11	7.0E-10
I-135 (*)	2.7E-11	2.8E-11	3.0E-11	1.3E-08
Xe-122	0.0E+00	0.0E+00	0.0E+00	NA
Xe-123 +	8.3E-13	6.9E-13	8.0E-13	4.1E-10
Xe-127	0.0E+00	0.0E+00	0.0E+00	NA
Xe-131m	0.0E+00	0.0E+00	0.0E+00	NA
Xe-133	0.0E+00	0.0E+00	0.0E+00	NA
Xe-135	0.0E+00	0.0E+00	0.0E+00	NA
Cs-129	1.8E-11	1.9E-11	2.1E-11	NA
Cs-131	1.2E-11	2.0E-11	2.0E-11	NA
Cs-132	1.6E-10	1.5E-10	1.8E-10	NA
Cs-134	1.3E-09	1.2E-09	1.5E-09	NA
Cs-134m +	1.5E-12	3.2E-12	1.9E-12	NA
Cs-135	1.1E-10	1.2E-10	1.5E-10	NA
Cs-136	8.3E-10	7.9E-10	9.7E-10	NA
Cs-137 +	7.9E-10	7.6E-10	9.7E-10	NA
Ba-131 +	1.6E-10	3.0E-11	6.7E-10	NA
Ba-133	2.5E-10	4.0E-11	8.2E-10	NA
Ba-133m	8.7E-11	8.6E-12	1.0E-09	NA
Ba-140 +	1.3E-09	1.6E-09	6.2E-09	NA
La-137	4.5E-11	4.5E-10	8.6E-11	NA
La-140	3.0E-10	2.1E-09	2.5E-09	NA
Ce-139	8.0E-11	1.9E-09	3.7E-10	NA
Ce-141	1.1E-10	5.2E-09	1.2E-09	NA
Ce-143 +	4.0E-11	1.9E-09	1.7E-09	NA
Ce-144 +	8.9E-10	5.0E-08	9.7E-09	NA
Pr-142 (*)	1.3E-11	1.3E-09	2.0E-09	NA
Pr-143	8.3E-11	6.5E-09	2.1E-09	NA
Nd-147 +	1.4E-10	5.2E-09	1.8E-09	NA

**الاستنشاق**

النوبية المشعة <sup>a</sup>	النخاع الأحمر	المنطقة السنخية الخلالية	القولون	الغدة الدرقية
(مكافي غراء)/(بكريل)	(مكافي غراء)/(بكريل)	(مكافي غراء)/(بكريل)	(مكافي غراء)/(بكريل)	AF <sub>5,IIR</sub> (Δ) ـ AF <sub>4,IIR</sub> (Δ) ـ AF <sub>3R,IIR</sub> (Δ)
Nd-149 +	2.9E-12	1.4E-10	1.1E-10	NA
Pm-143	1.3E-10	1.3E-09	2.4E-10	NA
Pm-144	6.3E-10	4.6E-09	9.5E-10	NA
Pm-145	2.7E-11	8.3E-10	1.5E-10	NA
Pm-147	6.0E-11	2.4E-09	4.6E-10	NA
Pm-148m	8.0E-10	1.0E-08	2.2E-09	NA
Pm-149	3.0E-11	1.7E-09	1.6E-09	NA
Pm-151	2.7E-11	8.1E-10	1.1E-09	NA
Sm-145 +	5.8E-11	1.5E-09	3.1E-10	NA
Sm-147 (*)	4.4E-09	5.3E-07	0.0E+00	NA
Sm-151	2.0E-11	6.6E-10	1.4E-10	NA
Sm-153	2.3E-11	1.0E-09	1.1E-09	NA
Eu-147	1.6E-10	1.8E-09	5.3E-10	NA
Eu-148	7.2E-10	4.6E-09	1.2E-09	NA
Eu-149	3.2E-11	6.1E-10	1.4E-10	NA
Eu-150b	6.2E-10	4.8E-09	1.1E-09	NA
Eu-150a (*)	5.1E-12	3.1E-10	5.2E-10	NA
Eu-152	5.4E-10	7.1E-09	1.6E-09	NA
Eu-152m	9.8E-12	3.9E-10	6.4E-10	NA
Eu-154	7.0E-10	1.2E-08	2.7E-09	NA
Eu-155	8.0E-11	2.3E-09	4.9E-10	NA
Eu-156	4.6E-10	9.4E-09	3.2E-09	NA
Gd-146 +	2.6E-09	8.9E-09	2.1E-09	NA
Gd-148 (*)	4.7E-08	7.7E-07	0.0E+00	NA
Gd-153	4.3E-10	1.9E-09	4.1E-10	NA
Gd-159 (*)	7.0E-11	4.4E-10	7.2E-10	NA
Tb-157	8.0E-12	2.2E-10	4.7E-11	NA
Tb-158	4.4E-10	5.7E-09	1.3E-09	NA
Tb-160	6.2E-10	9.5E-09	2.3E-09	NA
Dy-159	3.6E-11	6.5E-10	1.4E-10	NA
Dy-165 (*)	9.0E-13	8.3E-11	7.1E-11	NA
Dy-166 +	1.6E-10	5.2E-09	3.1E-09	NA
Ho-166	2.4E-11	1.4E-09	2.1E-09	NA
Ho-166m	7.9E-10	8.2E-09	1.8E-09	NA
Er-169	5.0E-11	1.5E-09	6.3E-10	NA
Er-171	1.0E-11	2.7E-10	4.3E-10	NA
Tm-167	9.7E-11	2.0E-09	8.6E-10	NA
Tm-170	4.4E-10	1.0E-08	2.3E-09	NA
Tm-171	3.7E-11	8.4E-10	1.8E-10	NA
Yb-169	2.0E-10	4.5E-09	1.1E-09	NA

الاستنشاق				
الغدة الدرقية	القولون	المنطقة السنخية الخلالية	النخاع الأحمر	النوبيدة المشعة <sup>أ</sup>
$\Delta AF_{5,IIR}$	$\Delta AF_{4,IIR}$	$\Delta AF_{3R,IIR}$	$\Delta AF_{2,IIR}$	
(مكافي غراء)/(بكريل)	(مكافي غراء)/(بكريل)	(مكافي غراء)/(بكريل)	(مكافي غراء)/(بكريل)	
NA	7.2E-10	1.1E-09	2.8E-11	Yb-175
NA	1.4E-09	3.0E-09	3.2E-10	Lu-172
NA	3.7E-10	2.0E-09	1.1E-10	Lu-173
NA	4.0E-10	2.1E-09	1.1E-10	Lu-174
NA	9.2E-10	4.7E-09	1.7E-10	Lu-174m +
NA	9.7E-10	1.8E-09	5.7E-11	Lu-177 (*)
NA	2.8E-09	1.2E-08	3.2E-09	Hf-172 +
NA	5.3E-10	2.1E-09	6.6E-10	Hf-175
NA	1.7E-09	6.4E-09	1.8E-09	Hf-181
NA	3.0E-09	1.5E-08	1.6E-09	Hf-182 +
NA	4.1E-11	4.6E-11	5.1E-12	Ta-178a (*)
NA	9.4E-11	5.1E-10	1.4E-11	Ta-179
NA	2.2E-09	1.1E-08	4.4E-10	Ta-182
NA	3.3E-10	5.2E-12	1.3E-11	W-178
NA	1.0E-10	2.1E-12	5.3E-12	W-181
NA	8.0E-10	4.3E-12	1.4E-11	W-185
NA	9.2E-10	1.6E-11	2.4E-11	W-187 (*)
2.7E-09	4.5E-09	9.6E-10	1.2E-10	W-188 +
6.3E-10	6.7E-10	3.0E-09	2.3E-10	Re-184
1.1E-09	1.1E-09	6.2E-09	2.3E-10	Re-184m +
1.9E-09	1.1E-09	2.3E-09	4.0E-11	Re-186
4.2E-12	3.9E-12	2.2E-11	1.4E-13	Re-187
2.8E-09	6.7E-10	1.0E-09	3.3E-11	Re-188 (*)
1.4E-09	4.4E-10	6.7E-10	2.1E-11	Re-189
NA	5.6E-10	2.4E-09	2.7E-10	Os-185
NA	9.5E-10	3.2E-09	7.3E-11	Os-191
NA	1.5E-10	1.9E-10	4.4E-12	Os-191m +
NA	1.3E-09	9.8E-10	2.4E-11	Os-193
NA	6.3E-09	3.4E-08	6.2E-10	Os-194 +
NA	3.9E-10	1.3E-09	3.8E-11	Ir-189
NA	1.5E-09	4.4E-09	3.6E-10	Ir-190
NA	2.0E-09	9.4E-09	4.3E-10	Ir-192
NA	2.0E-09	1.4E-09	3.3E-11	Ir-194 (*)
NA	1.2E-09	5.1E-10	2.2E-10	Pt-188 +
NA	3.1E-10	2.7E-11	3.1E-11	Pt-191
NA	5.3E-11	3.4E-12	2.8E-12	Pt-193
NA	5.6E-10	2.2E-11	2.0E-11	Pt-193m
NA	7.6E-10	3.4E-11	3.1E-11	Pt-195m
NA	3.9E-10	1.3E-11	9.8E-12	Pt-197 (*)
NA	5.1E-11	6.7E-12	2.3E-12	Pt-197m +(*)

الاستنشاق				
الغدة الدرقية	القولون	المنطقة السنخية الخلالية	النخاع الأحمر	النوبيدة المشعة <sup>أ</sup>
$\Delta AF_{5,IIR}$	$\Delta AF_{4,IIR}$	$\Delta AF_{3R,IIR}$	$\Delta AF_{2,IIR}$	
(مكافي غراء)/(بكريل)	(مكافي غراء)/(بكريل)	(مكافي غراء)/(بكريل)	(مكافي غراء)/(بكريل)	
NA	1.7E-10	1.3E-10	7.2E-12	Au-193
NA	3.9E-10	3.8E-10	5.4E-11	Au-194
NA	4.0E-10	2.4E-09	2.7E-11	Au-195
NA	1.5E-09	2.0E-09	5.7E-11	Au-198
NA	6.8E-10	9.6E-10	2.1E-11	Au-199
NA	2.7E-09	4.0E-09	2.3E-09	Hg-194 +
NA	7.9E-10	1.2E-09	1.5E-09	Hg-195m +
NA	3.3E-10	3.8E-10	6.7E-10	Hg-197
NA	6.8E-10	5.5E-10	1.2E-09	Hg-197m +
NA	8.4E-10	3.1E-09	1.9E-09	Hg-203
NA	9.0E-11	5.5E-11	5.8E-11	Tl-200
NA	7.3E-11	2.2E-11	2.0E-11	Tl-201
NA	2.7E-10	1.1E-10	1.2E-10	Tl-202
NA	1.3E-09	2.0E-10	2.0E-10	Tl-204
NA	8.2E-11	1.6E-11	2.4E-11	Pb-201 +
NA	4.4E-10	2.4E-10	3.6E-10	Pb-202 +
NA	1.6E-10	2.8E-11	4.8E-11	Pb-203
NA	3.0E-11	6.0E-12	2.6E-11	Pb-205
NA	2.8E-09	1.2E-06	6.0E-08	Pb-210 +
NA	0.0E+00	4.6E-09	1.1E-09	Pb-212 +(*)
NA	8.7E-10	2.5E-09	2.8E-10	Bi-205
NA	1.9E-09	3.6E-09	3.8E-10	Bi-206
NA	1.6E-09	7.1E-09	4.2E-10	Bi-207
NA	2.1E-09	4.0E-08	1.8E-09	Bi-210 +
NA	4.5E-09	1.2E-06	5.7E-10	Bi-210m
NA	0.0E+00	4.6E-09	1.8E-11	Bi-212 +(*)
NA	6.4E-15	1.2E-06	5.7E-08	Po-210
NA	1.1E-12	2.8E-08	3.8E-10	At-211
NA	0.0E+00	0.0E+00	0.0E+00	Rn-222
NA	7.1E-09	3.0E-06	7.4E-09	Ra-223 +
NA	3.9E-09	1.2E-06	4.3E-09	Ra-224 +
NA	2.6E-09	2.8E-06	5.7E-08	Ra-225 +
NA	1.7E-09	1.1E-06	2.2E-09	Ra-226
NA	1.1E-08	8.4E-06	4.6E-08	Ra-228 +
NA	4.3E-09	3.4E-06	1.2E-07	Ac-225
NA	1.0E-08	8.5E-06	6.5E-08	Ac-227 +
NA	4.2E-10	2.9E-09	9.9E-11	Ac-228
NA	4.2E-09	3.8E-06	1.8E-08	Th-227 +
NA	6.5E-09	8.1E-06	4.4E-08	Th-228 +
NA	6.9E-09	8.7E-06	1.5E-07	Th-229 +

**الاستنشاق**

النوبية المشعة <sup>a</sup>	النخاع الأحمر	المنطقة السنخية الخلالية	القولون	الغدة الدرقية
(مكافي غراء)/(بكريل)	(مكافي غراء)/(بكريل)	(مكافي غراء)/(بكريل)	(مكافي غراء)/(بكريل)	AF <sub>5,IIR</sub> (Δ) ـ AF <sub>4,IIR</sub> (Δ) ـ AF <sub>3R,IIR</sub> (Δ) ـ AF <sub>2,IIR</sub> (Δ)
Th-230 +	1.4E-08	1.3E-06	1.2E-10	NA
Th-231	7.5E-12	3.9E-10	5.2E-10	NA
Th-232 +	4.4E-08	7.0E-06	7.8E-09	NA
Th-234 +	8.4E-10	2.4E-08	6.1E-09	NA
Pa-230 +	2.2E-09	2.9E-07	7.5E-10	NA
Pa-231 +	3.3E-08	3.8E-06	3.3E-09	NA
Pa-233	2.6E-10	6.0E-09	1.5E-09	NA
U-230 +	5.2E-08	6.1E-06	3.1E-10	NA
U-232 +	5.1E-08	8.9E-06	6.2E-09	NA
U-233	1.0E-08	1.4E-06	4.9E-11	NA
U-234 +	1.0E-08	1.3E-06	1.0E-10	NA
U-235 +	9.6E-09	1.3E-06	1.7E-09	NA
U-236	9.4E-09	1.3E-06	8.8E-11	NA
U-238 +	1.0E-08	1.2E-06	6.7E-09	NA
Depleted U	9.3E-09	1.2E-06	5.5E-10	NA
Np-235	1.3E-11	5.2E-10	8.7E-11	NA
Np-236b +	1.2E-09	1.3E-07	2.6E-10	NA
Np-236a	2.9E-10	8.9E-09	1.6E-09	NA
Np-237 +	1.1E-08	1.2E-06	2.1E-09	NA
Np-239	3.4E-11	1.2E-09	1.2E-09	NA
Pu-236	1.4E-08	1.6E-06	1.1E-10	NA
Pu-237	3.3E-11	8.7E-10	1.5E-10	NA
Pu-238	1.4E-08	1.6E-06	8.3E-11	NA
Pu-239	1.3E-08	1.5E-06	5.2E-11	NA
Pu-240	1.3E-08	1.5E-06	8.3E-11	NA
Pu-241 +	9.9E-11	1.7E-08	3.9E-11	NA
Pu-242	1.2E-08	1.4E-06	6.8E-11	NA
Pu-244 +	1.3E-08	1.3E-06	6.4E-09	NA
Am-241	7.4E-09	1.3E-06	4.1E-10	NA
Am-242m +	7.0E-09	1.2E-06	1.7E-09	NA
Am-243 +	7.4E-09	1.3E-06	2.1E-09	NA
Am-244	1.9E-11	4.1E-10	5.4E-10	NA
Cm-240	5.7E-09	1.1E-06	7.5E-11	NA
Cm-241 +	2.7E-10	1.5E-08	1.2E-09	NA
Cm-242	7.7E-09	1.4E-06	7.0E-11	NA
Cm-243	8.0E-09	1.4E-06	1.1E-09	NA
Cm-244	7.8E-09	1.4E-06	6.4E-11	NA
Cm-245	7.3E-09	1.3E-06	5.3E-10	NA
Cm-246	7.3E-09	1.3E-06	5.9E-11	NA
Cm-247	6.9E-09	1.2E-06	1.5E-09	NA

الاستنشاق					النوبيدة المشعة <sup>أ</sup>
الغدة الدرقية	القولون	المنطقة السنخية الخلالية	النخاع الأحمر		
$\Delta AF_{5,IIIR}$	$\Delta AF_{4,IIIR}$	$\Delta AF_{3R,IIIR}$	$\Delta AF_{2,IIIR}$		
(مكافي) غراء(ي)/بكريل)	(مكافي) غراء(ي)/بكريل)	(مكافي) غراء(ي)/بكريل)	(مكافي) غراء(ي)/بكريل)		
NA	ND	4.6E-06	2.7E-08	Cm-248 (*)	
NA	5.0E-10	1.3E-06	1.6E-08	Bk-247	
NA	2.3E-10	1.2E-09	4.7E-11	Bk-249	
NA	4.5E-11	1.4E-06	1.7E-08	Cf-248 +	
NA	5.0E-10	1.4E-06	1.7E-08	Cf-249	
NA	4.3E-11	1.4E-06	1.7E-08	<sup>ز</sup> Cf-250	
NA	1.5E-09	1.4E-06	1.7E-08	Cf-251	
NA	ND	2.5E-06	3.3E-08	Cf-252 (*)	
NA	5.2E-10	3.9E-07	5.1E-09	Cf-253	
NA	1.2E-07	2.5E-05	1.1E-06	Cf-254 (*)	
NA	5.2E-11	1.5E-06	1.3E-08	<sup>ز، ح</sup> <sup>239</sup> Pu/ <sup>9</sup> Be	
NA	4.1E-10	1.3E-06	7.4E-09	<sup>ز، ح</sup> <sup>241</sup> Am/ <sup>9</sup> Be	

أ روسي النمو الداخلي للنواتج المشعة عند حساب قيم D لكل النوبيدات المشعة على النحو المبين في التذييل الثامن. وتشير علامة "+" إلى النوبيدات المشعة التي تمثل نواتجها مصادر ملموسة للجرعة في السيناريوهات موضوع النظر. وتسند المعاملات إلى البيانات المأخوذة من المرجع [٤٩] ما لم ترد علامة "\*" للإشارة إلى أنها تسند إلى بيانات من المرجع [٥٠].

ب الجرعة المودعة المرجحة بالفعالية البيولوجية النسبية لمدة ٣٠ يوماً (Δ) في النخاع الأحمر نتيجة لاستنشاق النوبيدة المشعة.

ج الجرعة المودعة المرجحة بالفعالية البيولوجية النسبية لمدة ٣٠ يوماً (Δ) في المنطقة السنخية الخلالية للجهاز التنفسى نتيجة لاستنشاق النوبيدة المشعة.

د الجرعة المودعة المرجحة بالفعالية البيولوجية النسبية لمدة ٣٠ يوماً (Δ) في القولون نتيجة لاستنشاق النوبيدة المشعة.

هـ الجرعة المودعة المرجحة بالفعالية البيولوجية النسبية لمدة ٣٦٥ يوماً في الغدة الدرقية نتيجة لاستنشاق النوبيدة المشعة.

و "NA" تعنى "غير منطبق".

ز هو نشاط النوبيدة المشعة المبتاعدة لألفا، مثل البلوتونيوم-٢٣٩ أو الأميريشيوم-٢٤١.

ح لم تتحسب جرعة النيوترونات كما هو وارد في القسم ٥.

**الجدول ١٩ : الجرعة المودعة المرجحة بالفعالية البيولوجية النسبية عن طريق الابتلاع ومعاملات تحويل  
الجرعة المرجحة بالفعالية البيولوجية النسبية للتلوث**

التلوث أدمة الجلد	الابتلاع				النوبات المشعة <sup>١</sup>
	الغدة الدرقية	القولون	النخاع الأحمر		
	<sup>٤</sup> AF <sub>6R_V</sub>	<sup>٤</sup> AF <sub>5_IV</sub> (Δ)	<sup>٤</sup> AF <sub>4_IV</sub> (Δ)	<sup>٤</sup> AF <sub>2_IV</sub> (Δ)	
((مكافئ غرافي)/ثانية × بكريل/سم <sup>٢</sup> )	((مكافئ غرافي)/بكريل)	((مكافئ غرافي)/بكريل)	((مكافئ غرافي)/بكريل)	((مكافئ غرافي)/بكريل)	
0.0E+00	NA	2.2E-11	2.1E-11		H-3
7.1E-13	NA	9.6E-11	1.1E-11		Be-7
1.7E-10	NA	8.1E-09	1.1E-11		Be-10
1.4E-11	NA	3.4E-12	1.8E-12		C-11
0.0E+00	NA	2.5E-10	2.3E-10		C-14
0.0E+00	NA	0.0E+00	0.0E+00		N-13
1.8E-10	NA	1.5E-11	6.5E-11		F-18 (*)
9.0E-11	NA	2.6E-09	3.5E-09		Na-22
3.6E-10	NA	4.0E-10	3.9E-10		Na-24 (*)
5.3E-10	NA	1.2E-08	9.7E-10		Mg-28 (*)
3.4E-10	NA	1.9E-08	6.6E-10		Al-26
3.3E-10	NA	6.5E-10	8.4E-14		Si-31 (*)
3.6E-10	NA	9.1E-09	6.4E-09		Si-32 +
3.6E-10	NA	5.5E-09	6.4E-09		P-32
1.3E-12	NA	6.5E-10	3.2E-10		P-33
0.0E+00	NA	2.8E-10	2.4E-10		S-35
2.1E-10	NA	8.7E-10	7.1E-10		Cl-36
4.3E-10	NA	1.5E-11	8.1E-12		Cl-38 (*)
0.0E+00	NA	0.0E+00	0.0E+00		Ar-37(*)
0.0E+00	NA	0.0E+00	0.0E+00		Ar-39 (*)
0.0E+00	NA	0.0E+00	0.0E+00		Ar-41 (*)
2.7E-10	NA	6.8E-09	2.5E-09		K-40
4.5E-10	NA	4.5E-10	2.1E-10		K-42 (*)
2.1E-10	NA	3.1E-10	1.8E-10		K-43 (*)
1.0E-12	NA	7.0E-11	1.8E-11		Ca-41
1.8E-12	NA	1.9E-09	4.7E-10		Ca-45
4.6E-10	NA	8.9E-09	1.1E-09		Ca-47 +
4.1E-10	NA	1.6E-09	4.7E-11		Sc-44 (*)
4.2E-11	NA	7.2E-09	3.8E-10		Sc-46
7.4E-11	NA	4.1E-09	1.9E-11		Sc-47
1.7E-10	NA	8.5E-09	4.1E-10		Sc-48
4.1E-10	NA	2.4E-08	5.4E-10		Ti-44 +
1.6E-10	NA	9.5E-09	5.5E-10		V-48
2.7E-12	NA	1.4E-10	2.2E-13		V-49
3.9E-12	NA	2.0E-10	9.6E-12		Cr-51
7.9E-11	NA	6.9E-09	8.0E-10		Mn-52
ND	NA	1.6E-10	1.1E-11		Mn-53
1.3E-11	NA	1.7E-09	3.6E-10		Mn-54

التلوث	الابتلاع				النويدات المشعة <sup>١</sup>
أدمة الجلد	الغدة الدرقية	القولون	النخاع الأحمر		
<sup>٤</sup> AF <sub>6R,V</sub>	<sup>٤</sup> AF <sub>5,IV</sub> (Δ)	<sup>٤</sup> AF <sub>4,IV</sub> (Δ)	<sup>٤</sup> AF <sub>2,IV</sub> (Δ)		
((مكافئ غرافي)/ثانية × بكريل/سم <sup>٢</sup> )	((مكافئ غرافي)/بكريل)	((مكافئ غرافي)/بكريل)	((مكافئ غرافي)/بكريل)		
3.6E-10	NA	1.0E-09	2.4E-11	Mn-56 (*)	
6.5E-10	NA	8.4E-09	3.8E-10	Fe-52 +	
4.1E-12	NA	1.7E-10	1.8E-11	Fe-55	
4.5E-11	NA	5.5E-09	7.7E-10	Fe-59	
3.4E-11	NA	8.3E-09	7.7E-10	Fe-60 +	
ND	NA	6.2E-09	1.6E-10	Co-55 +(*)	
1.1E-10	NA	9.3E-09	7.8E-10	Co-56	
1.1E-11	NA	9.0E-10	3.5E-11	Co-57	
1.9E-11	NA	2.8E-09	2.4E-10	Co-58	
2.3E-11	NA	1.6E-10	1.3E-12	Co-58m +	
3.4E-11	NA	7.0E-09	5.8E-10	Co-60	
4.7E-12	NA	2.1E-10	6.4E-13	Ni-59	
0.0E+00	NA	5.3E-10	1.6E-12	Ni-63	
3.0E-10	NA	6.8E-10	7.1E-12	Ni-65 (*)	
1.5E-10	NA	6.8E-10	1.9E-11	Cu-64 (*)	
ND	NA	2.0E-09	7.0E-11	Cu-67	
1.0E-11	NA	1.3E-09	7.3E-10	Zn-65	
2.1E-10	NA	3.9E-11	5.6E-13	Zn-69 (*)	
2.4E-10	NA	2.0E-09	9.6E-11	Zn-69m +(*)	
9.2E-12	NA	1.2E-09	2.6E-11	Ga-67	
3.9E-10	NA	2.0E-10	5.8E-12	Ga-68 (*)	
2.7E-10	NA	6.3E-09	1.7E-10	Ga-72 (*)	
4.0E-10	NA	7.0E-09	2.9E-10	Ge-68 +	
4.8E-12	NA	6.2E-11	1.7E-12	Ge-71	
4.8E-10	NA	7.5E-10	9.1E-11	Ge-77 +	
ND	NA	1.1E-08	2.5E-10	As-72	
1.0E-11	NA	1.7E-09	3.5E-11	As-73	
2.0E-10	NA	7.0E-09	3.3E-10	As-74	
4.0E-10	NA	1.1E-08	1.3E-10	As-76	
1.4E-10	NA	2.8E-09	2.5E-11	As-77	
1.3E-11	NA	9.7E-10	5.8E-10	Se-75	
0.0E+00	NA	6.6E-10	1.4E-10	Se-79	
0.0E+00	NA	6.5E-10	2.9E-10	Br-76 (*)	
0.0E+00	NA	1.5E-10	7.8E-11	Br-77	
7.8E-11	NA	8.1E-10	4.3E-10	Br-82	
0.0E+00	NA	0.0E+00	0.0E+00	Kr-81	
0.0E+00	NA	0.0E+00	0.0E+00	Kr-85	
0.0E+00	NA	0.0E+00	0.0E+00	Kr-85m	
0.0E+00	NA	0.0E+00	0.0E+00	Kr-87	
ND	NA	3.4E-11	2.6E-11	Rb-81 (*)	
ND	NA	1.1E-09	1.2E-09	Rb-83	

التلوث	الابتلاع				النويدات المشعة <sup>١</sup>
أذمة الجلد	الغدة الدرقية	القولون	النخاع الأحمر		
<sup>٤</sup> AF <sub>6R,V</sub>	<sup>٤</sup> AF <sub>5,IV</sub> (Δ)	<sup>٤</sup> AF <sub>4,IV</sub> (Δ)	<sup>٤</sup> AF <sub>2,IV</sub> (Δ)		
((مكافئ غرافي)/ثانية × بكريل/سم <sup>٢</sup> )	((مكافئ غرافي)/بكريل)	((مكافئ غرافي)/بكريل)	((مكافئ غرافي)/بكريل)		
1.1E-10	NA	2.2E-09	2.5E-09	Rb-84	
3.3E-10	NA	3.1E-09	3.3E-09	Rb-86	
3.0E-12	NA	7.9E-10	8.6E-10	Rb-87	
3.9E-12	NA	3.5E-08	4.8E-09	Sr-82	
1.3E-11	NA	1.1E-09	3.7E-10	Sr-85	
2.0E-11	NA	1.1E-11	1.6E-12	Sr-85m +	
6.4E-11	NA	1.2E-10	6.2E-12	Sr-87m (*)	
3.2E-10	NA	1.4E-08	2.0E-09	Sr-89	
5.0E-10	NA	3.3E-08	4.0E-09	Sr-90 +	
3.2E-10	NA	1.8E-08	1.3E-10	Sr-91 +	
5.5E-10	NA	3.4E-09	6.4E-11	Sr-92 +(*)	
ND	NA	3.0E-09	1.2E-10	Y-87 +	
2.7E-11	NA	4.7E-09	4.7E-10	Y-88	
3.9E-10	NA	2.1E-08	3.7E-13	Y-90	
3.2E-10	NA	1.9E-08	2.4E-12	Y-91	
2.6E-11	NA	2.7E-11	2.3E-12	Y-91m +	
4.4E-10	NA	2.6E-09	4.8E-12	Y-92 (*)	
4.2E-10	NA	8.3E-09	4.4E-12	Y-93 (*)	
3.7E-11	NA	2.1E-09	1.9E-10	Zr-88 +	
5.4E-13	NA	1.0E-09	7.7E-12	Zr-93 +	
4.7E-11	NA	5.1E-09	2.3E-10	Zr-95 +	
6.3E-10	NA	1.5E-08	1.2E-10	Zr-97 +(*)	
5.4E-13	NA	9.3E-10	1.9E-12	Nb-93m	
8.8E-11	NA	8.3E-09	3.6E-10	Nb-94	
9.3E-12	NA	2.8E-09	1.6E-10	Nb-95	
2.9E-10	NA	1.4E-10	4.1E-12	Nb-97 (*)	
3.6E-12	NA	4.3E-10	4.7E-11	Mo-93 +	
2.3E-10	6.7E-11	4.9E-10	6.1E-10	Mo-99 +	
ND	5.1E-10	1.5E-09	1.9E-10	Tc-95m	
3.1E-11	1.0E-09	3.0E-09	4.5E-10	Tc-96	
3.3E-11	1.1E-11	2.8E-11	3.9E-12	Tc-96m +	
2.9E-12	1.1E-10	2.3E-10	3.5E-12	Tc-97	
4.9E-12	9.1E-10	2.2E-09	2.9E-11	Tc-97m	
5.0E-11	2.2E-09	6.1E-09	4.6E-10	Tc-98	
8.7E-12	1.0E-09	2.5E-09	3.3E-11	Tc-99	
2.5E-12	8.5E-11	3.7E-11	4.2E-12	Tc-99m (*)	
1.1E-11	NA	7.2E-10	3.9E-11	Ru-97	
1.0E-11	NA	4.3E-09	1.3E-10	Ru-103 +	
2.6E-10	NA	1.5E-09	2.2E-11	Ru-105 +	
4.5E-10	NA	4.4E-08	2.9E-10	Ru-106 +	
2.4E-11	NA	2.5E-09	1.4E-10	Rh-99	

النواتي	الابتلاع				النويات المشعة <sup>١</sup>
أذمة الجلد	الغدة الدرقية	القولون	النخاع الأحمر		
<sup>٤</sup> AF <sub>6R,V</sub>	<sup>٤</sup> AF <sub>5,IV</sub> (Δ)	<sup>٤</sup> AF <sub>4,IV</sub> (Δ)	<sup>٤</sup> AF <sub>2,IV</sub> (Δ)		
((مكافئ غرافي)/ثانية × بكريل/سم <sup>٢</sup> )	((مكافئ غرافي)/بكريل)	((مكافئ غرافي)/بكريل)	((مكافئ غرافي)/بكريل)		
8.4E-12	NA	1.7E-09	7.7E-11	Rh-101	
8.6E-11	NA	4.5E-09	5.5E-10	Rh-102	
1.5E-10	NA	6.2E-09	1.5E-10	Rh-102m	
4.3E-13	NA	5.7E-12	5.0E-15	Rh-103m (*)	
7.3E-11	NA	2.8E-09	1.2E-11	Rh-105	
2.6E-12	NA	1.5E-09	1.5E-12	Pd-103 +	
0.0E+00	NA	3.0E-10	4.2E-14	Pd-107	
2.3E-10	NA	4.1E-09	8.0E-13	Pd-109 (*)	
1.5E-11	NA	1.7E-09	1.4E-10	Ag-105	
3.5E-10	NA	5.5E-09	4.7E-10	Ag-108m	
5.9E-11	NA	7.9E-09	7.3E-10	Ag-110m	
2.2E-10	NA	9.7E-09	2.2E-11	Ag-111	
3.6E-12	NA	2.8E-09	1.5E-11	Cd-109	
0.0E+00	NA	5.7E-09	2.3E-11	Cd-113m	
3.5E-10	NA	1.0E-08	6.5E-11	Cd-115 +	
2.9E-10	NA	1.8E-08	6.8E-11	Cd-115m	
1.5E-11	NA	1.5E-09	7.4E-11	In-111	
1.2E-10	NA	8.1E-11	2.4E-12	In-113m (*)	
6.2E-12	NA	2.8E-08	1.2E-09	In-114m	
2.2E-10	NA	4.8E-10	4.9E-12	In-115m (*)	
1.2E-10	NA	5.1E-09	8.1E-11	Sn-113 +	
4.2E-12	NA	5.2E-09	6.7E-11	Sn-117m	
2.2E-12	NA	2.6E-09	1.1E-11	Sn-119m	
3.5E-11	NA	4.0E-09	1.7E-11	Sn-121m +	
2.9E-10	NA	1.6E-08	5.8E-11	Sn-123	
6.7E-10	NA	2.4E-08	1.9E-10	Sn-125	
3.3E-10	NA	4.0E-08	1.4E-09	Sn-126 +	
3.1E-10	NA	1.2E-08	2.1E-10	Sb-122	
2.0E-10	NA	1.4E-08	8.4E-10	Sb-124	
3.7E-11	6.5E-10	5.7E-09	6.4E-10	Sb-125 +	
2.2E-10	NA	1.2E-08	8.9E-10	Sb-126	
1.1E-11	2.4E-10	1.2E-09	3.3E-10	Te-121	
1.7E-11	8.6E-10	2.9E-09	8.1E-10	Te-121m +	
3.5E-12	7.8E-10	2.7E-09	5.9E-10	Te-123m	
3.8E-12	7.7E-10	2.8E-09	5.2E-10	Te-125m	
1.3E-10	1.7E-11	1.1E-09	1.0E-11	Te-127 (*)	
5.3E-12	2.1E-09	7.1E-09	1.5E-09	Te-127m +	
3.0E-10	7.5E-13	1.2E-10	9.4E-13	Te-129 (*)	
1.1E-10	3.7E-09	1.4E-08	2.5E-09	Te-129m +	
4.3E-10	9.3E-08	6.0E-09	3.4E-10	Te-131m +	
3.0E-10	3.2E-08	1.3E-08	5.4E-10	Te-132 +	

التلوث	الابتلاع				النويدات المشعة <sup>١</sup>
أذمة الجلد	الغدة الدرقية	القولون	النخاع الأحمر		
<sup>٤</sup> AF <sub>6R,V</sub>	<sup>٤</sup> AF <sub>5,IV</sub> (Δ)	<sup>٤</sup> AF <sub>4,IV</sub> (Δ)	<sup>٤</sup> AF <sub>2,IV</sub> (Δ)		
((مكافئ غرافي)/ثانية × بكريل/سم <sup>٢</sup> )	((مكافئ غرافي)/بكريل)	((مكافئ غرافي)/بكريل)	((مكافئ غرافي)/بكريل)		
4.4E-12	7.8E-10	1.2E-11	6.5E-12	I-123 (*)	
ND	5.1E-08	1.4E-10	1.4E-10	I-124	
4.3E-12	2.6E-08	2.4E-11	1.3E-11	I-125	
1.0E-10	9.6E-08	1.2E-10	1.4E-10	I-126	
2.2E-12	7.3E-08	5.4E-11	2.1E-11	I-129	
1.1E-10	8.1E-08	1.2E-10	9.6E-11	I-131	
2.9E-10	3.4E-09	4.6E-11	2.6E-11	I-132 (*)	
2.6E-10	8.2E-08	1.1E-10	4.7E-11	I-133 (*)	
3.5E-10	5.4E-10	2.1E-11	1.1E-11	I-134 (*)	
2.3E-10	1.6E-08	7.3E-11	4.0E-11	I-135 (*)	
0.0E+00	NA	0.0E+00	0.0E+00	Xe-122	
0.0E+00	4.4E-10	1.3E-12	7.3E-13	Xe-123 +	
0.0E+00	NA	0.0E+00	0.0E+00	Xe-127	
0.0E+00	NA	0.0E+00	0.0E+00	Xe-131m	
0.0E+00	NA	0.0E+00	0.0E+00	Xe-133	
0.0E+00	NA	0.0E+00	0.0E+00	Xe-135	
0.0E+00	NA	6.8E-11	4.7E-11	Cs-129	
2.3E-12	NA	6.0E-11	3.4E-11	Cs-131	
0.0E+00	NA	5.4E-10	4.5E-10	Cs-132	
1.1E-10	NA	4.4E-09	3.7E-09	Cs-134	
0.0E+00	NA	7.4E-12	4.0E-12	Cs-134m +	
2.0E-14	NA	4.6E-10	3.4E-10	Cs-135	
4.6E-11	NA	2.9E-09	2.4E-09	Cs-136	
1.4E-10	NA	2.9E-09	2.3E-09	Cs-137 +	
1.4E-11	NA	2.3E-09	1.8E-10	Ba-131 +	
1.5E-11	NA	2.7E-09	2.5E-10	Ba-133	
ND	NA	4.0E-09	6.8E-11	Ba-133m	
4.9E-10	NA	2.3E-08	1.1E-09	Ba-140 +	
ND	NA	3.9E-10	5.1E-12	La-137	
3.2E-10	NA	1.3E-08	2.6E-10	La-140	
5.1E-12	NA	1.6E-09	3.5E-11	Ce-139	
5.6E-11	NA	5.5E-09	1.8E-11	Ce-141	
4.5E-10	NA	8.4E-09	3.5E-11	Ce-143 +	
4.3E-10	NA	4.2E-08	2.4E-11	Ce-144 +	
3.6E-10	NA	1.0E-08	4.5E-12	Pr-142 (*)	
2.0E-10	NA	9.4E-09	1.4E-12	Pr-143	
1.3E-10	NA	8.3E-09	3.0E-11	Nd-147 +	
5.1E-10	NA	5.5E-10	3.8E-12	Nd-149 +	
ND	NA	9.9E-10	6.5E-11	Pm-143	
ND	NA	3.7E-09	3.3E-10	Pm-144	
ND	NA	6.4E-10	7.1E-12	Pm-145	

التلوث	الابتلاع				النويدات المشعة <sup>١</sup>
أدمة الجلد	الغدة الدرقية	القولون	النخاع الأحمر		
<sup>٤</sup> AF <sub>6R,V</sub>	<sup>٤</sup> AF <sub>5,IV</sub> (Δ)	<sup>٤</sup> AF <sub>4,IV</sub> (Δ)	<sup>٤</sup> AF <sub>2,IV</sub> (Δ)		
((مكافئ غرافي)/ثانية × بكريل/سم <sup>٢</sup> )	((مكافئ غرافي)/بكريل)	((مكافئ غرافي)/بكريل)	((مكافئ غرافي)/بكريل)		
2.1E-13	NA	2.0E-09	9.4E-13	Pm-147	
9.9E-11	NA	9.3E-09	4.1E-10	Pm-148m	
2.3E-10	NA	7.9E-09	2.1E-12	Pm-149	
1.8E-10	NA	5.3E-09	3.7E-11	Pm-151	
ND	NA	1.4E-09	1.5E-11	Sm-145 +	
0.0E+00	NA	0.0E+00	6.8E-11	Sm-147 (*)	
1.6E-14	NA	6.4E-10	3.0E-13	Sm-151	
1.4E-10	NA	5.7E-09	9.5E-12	Sm-153	
ND	NA	2.4E-09	9.8E-11	Eu-147	
ND	NA	4.9E-09	4.4E-10	Eu-148	
ND	NA	6.1E-10	1.4E-11	Eu-149	
ND	NA	4.4E-09	3.1E-10	Eu-150b	
ND	NA	2.8E-09	3.1E-12	Eu-150a (*)	
6.9E-11	NA	6.7E-09	2.3E-10	Eu-152	
2.5E-10	NA	3.4E-09	1.5E-11	Eu-152m	
1.3E-10	NA	1.2E-08	2.5E-10	Eu-154	
2.0E-12	NA	2.2E-09	1.5E-11	Eu-155	
1.8E-10	NA	1.5E-08	2.3E-10	Eu-156	
ND	NA	8.9E-09	4.4E-10	Gd-146 +	
0.0E+00	NA	0.0E+00	9.7E-11	Gd-148 (*)	
5.0E-12	NA	1.8E-09	2.5E-11	Gd-153	
2.0E-10	NA	3.7E-09	4.6E-12	Gd-159 (*)	
ND	NA	2.1E-10	7.0E-13	Tb-157	
ND	NA	5.4E-09	1.6E-10	Tb-158	
1.3E-10	NA	1.0E-08	2.2E-10	Tb-160	
3.4E-12	NA	6.3E-10	1.1E-11	Dy-159	
2.7E-10	NA	4.1E-10	3.5E-13	Dy-165 (*)	
3.6E-10	NA	1.5E-08	1.2E-11	Dy-166 +	
3.3E-10	NA	1.1E-08	3.3E-12	Ho-166	
2.9E-11	NA	7.7E-09	3.7E-10	Ho-166m	
1.6E-11	NA	3.0E-09	8.4E-13	Er-169	
2.4E-10	NA	2.3E-09	1.7E-11	Er-171	
2.0E-11	NA	4.1E-09	3.1E-11	Tm-167	
2.1E-10	NA	1.1E-08	8.1E-12	Tm-170	
5.2E-14	NA	8.2E-10	7.2E-13	Tm-171	
1.2E-11	NA	4.7E-09	7.0E-11	Yb-169	
4.7E-11	NA	3.4E-09	7.4E-12	Yb-175	
ND	NA	6.5E-09	3.2E-10	Lu-172	
ND	NA	1.6E-09	3.1E-11	Lu-173	
ND	NA	1.7E-09	2.7E-11	Lu-174	
ND	NA	4.0E-09	1.6E-11	Lu-174m +	

التلوث	الابتلاع				النويدات المشعة <sup>١</sup>
أدمية الجلد	الغدة الدرقية	القولون	النخاع الأحمر		
<sup>د</sup> AF <sub>6R,V</sub>	<sup>د</sup> AF <sub>5,IV</sub> (Δ)	<sup>د</sup> AF <sub>4,IV</sub> (Δ)	<sup>د</sup> AF <sub>2,IV</sub> (Δ)		
((مكافئ غرافي)/ثانية × بكريل/سم <sup>٢</sup> )	((مكافئ غرافي)/بكريل)	((مكافئ غرافي)/بكريل)	((مكافئ غرافي)/بكريل)		
5.2E-11	NA	4.2E-09	7.6E-12	Lu-177 (*)	
ND	NA	1.1E-08	4.0E-10	Hf-172 +	
3.4E-11	NA	2.3E-09	8.5E-11	Hf-175	
6.3E-11	NA	7.5E-09	1.3E-10	Hf-181	
6.6E-11	NA	1.3E-08	3.1E-10	Hf-182 +	
ND	NA	2.3E-10	1.3E-11	Ta-178a (*)	
ND	NA	4.1E-10	7.7E-12	Ta-179	
6.2E-11	NA	9.3E-09	2.5E-10	Ta-182	
ND	NA	1.4E-09	2.9E-11	W-178	
3.0E-12	NA	4.4E-10	1.1E-11	W-181	
4.0E-11	NA	3.4E-09	1.6E-11	W-185	
1.7E-10	NA	4.9E-09	5.4E-11	W-187 (*)	
3.7E-10	6.3E-09	1.9E-08	1.8E-10	W-188 +	
1.6E-11	1.6E-09	2.2E-09	2.9E-10	Re-184	
1.6E-11	2.8E-09	3.7E-09	3.0E-10	Re-184m +	
2.2E-10	4.8E-09	4.2E-09	9.9E-11	Re-186	
0.0E+00	1.1E-11	1.3E-11	3.5E-13	Re-187	
3.6E-10	6.6E-09	3.1E-09	8.0E-11	Re-188 (*)	
ND	3.5E-09	1.9E-09	5.2E-11	Re-189	
1.6E-11	NA	2.1E-09	1.6E-10	Os-185	
5.2E-12	NA	4.3E-09	1.9E-11	Os-191	
7.5E-12	NA	7.1E-10	1.1E-12	Os-191m +	
2.2E-10	NA	6.2E-09	9.5E-12	Os-193	
3.7E-10	NA	2.7E-08	4.4E-11	Os-194 +	
ND	NA	1.8E-09	1.8E-11	Ir-189	
4.0E-11	NA	6.5E-09	2.9E-10	Ir-190	
1.3E-10	NA	8.5E-09	1.9E-10	Ir-192	
3.7E-10	NA	1.0E-08	8.9E-12	Ir-194 (*)	
2.2E-11	NA	5.4E-09	2.3E-10	Pt-188 +	
2.1E-11	NA	2.1E-09	5.0E-11	Pt-191	
2.0E-12	NA	2.5E-10	1.2E-13	Pt-193	
4.5E-12	NA	3.6E-09	2.8E-12	Pt-193m	
7.5E-12	NA	4.9E-09	1.4E-11	Pt-195m	
1.1E-10	NA	3.0E-09	2.4E-12	Pt-197 (*)	
3.4E-10	NA	4.1E-10	9.2E-13	Pt-197m +(*)	
ND	NA	8.5E-10	1.5E-11	Au-193	
1.4E-11	NA	1.9E-09	1.3E-10	Au-194	
6.0E-12	NA	1.8E-09	2.4E-11	Au-195	
2.1E-10	NA	7.3E-09	7.6E-11	Au-198	
1.2E-11	NA	3.3E-09	2.1E-11	Au-199	
1.6E-11	NA	4.1E-09	2.1E-09	Hg-194 +	

التلوث	الابتلاع				النويدات المشعة <sup>١</sup>
أدمة الجلد	الغدة الدرقية	القولون	النخاع الأحمر		
<sup>٤</sup> AF <sub>6R,V</sub>	<sup>٤</sup> AF <sub>5,IV</sub> (Δ)	<sup>٤</sup> AF <sub>4,IV</sub> (Δ)	<sup>٤</sup> AF <sub>2,IV</sub> (Δ)		
((مكافئ غرافي)/ثانية × بكريل/سم <sup>٢</sup> )	((مكافئ غرافي)/بكريل)	((مكافئ غرافي)/بكريل)	((مكافئ غرافي)/بكريل)		
1.6E-11	NA	4.0E-09	1.4E-10	Hg-195m +	
5.1E-12	NA	1.7E-09	5.9E-11	Hg-197	
1.1E-11	NA	3.5E-09	7.8E-11	Hg-197m +	
1.8E-11	NA	3.5E-09	7.3E-10	Hg-203	
3.8E-11	NA	2.8E-10	1.5E-10	Tl-200	
4.8E-12	NA	2.3E-10	5.6E-11	Tl-201	
2.1E-11	NA	7.9E-10	3.5E-10	Tl-202	
1.5E-10	NA	3.9E-09	5.9E-10	Tl-204	
4.8E-12	NA	7.1E-10	4.7E-11	Pb-201 +	
2.1E-11	NA	1.2E-09	5.4E-10	Pb-202 +	
2.3E-11	NA	1.3E-09	6.8E-11	Pb-203	
2.0E-12	NA	1.9E-10	1.9E-11	Pb-205	
1.9E-10	NA	1.3E-08	2.5E-08	Pb-210 +	
6.1E-10	NA	1.9E-08	6.6E-09	Pb-212 +(*)	
2.8E-11	NA	3.7E-09	3.0E-10	Bi-205	
9.8E-11	NA	8.8E-09	5.6E-10	Bi-206	
7.0E-11	NA	6.5E-09	3.1E-10	Bi-207	
1.9E-10	NA	1.0E-08	7.3E-10	Bi-210 +	
ND	NA	1.9E-08	1.7E-10	Bi-210m	
5.7E-10	NA	0.0E+00	1.3E-12	Bi-212 +(*)	
9.3E-17	NA	1.9E-14	2.3E-08	Po-210	
7.2E-11	NA	3.7E-12	1.1E-09	At-211	
8.6E-15	NA	0.0E+00	0.0E+00	Rn-222	
1.3E-11	NA	3.0E-08	2.9E-08	Ra-223 +	
9.2E-13	NA	2.7E-08	1.9E-08	Ra-224 +	
1.5E-11	NA	1.1E-08	2.7E-08	Ra-225 +	
4.9E-10	NA	6.9E-09	7.7E-09	Ra-226	
2.4E-10	NA	5.8E-08	2.7E-08	Ra-228 +	
1.3E-12	NA	2.0E-08	1.1E-09	Ac-225	
8.1E-12	NA	3.5E-08	2.9E-08	Ac-227 +	
2.3E-10	NA	2.2E-09	3.3E-11	Ac-228	
2.1E-11	NA	1.6E-08	1.4E-08	Th-227 +	
1.5E-12	NA	4.0E-08	2.4E-08	Th-228 +	
2.2E-11	NA	2.9E-08	2.9E-08	Th-229 +	
5.1E-13	NA	5.1E-10	2.5E-10	Th-230 +	
9.0E-12	NA	2.6E-09	1.8E-12	Th-231	
5.1E-13	NA	4.1E-08	1.9E-08	Th-232 +	
1.2E-10	NA	2.7E-08	1.8E-11	Th-234 +	
2.5E-11	NA	3.3E-09	2.0E-10	Pa-230 +	
6.5E-12	NA	1.2E-08	8.2E-09	Pa-231 +	
4.4E-11	NA	6.5E-09	4.5E-11	Pa-233	

التلوث	الابتلاع				النويدات المشعة <sup>١</sup>
أدمة الجلد	الغدة الدرقية	القولون	النخاع الأحمر		
<sup>٤</sup> AF <sub>6R,V</sub>	<sup>٤</sup> AF <sub>5,IV</sub> (Δ)	<sup>٤</sup> AF <sub>4,IV</sub> (Δ)	<sup>٤</sup> AF <sub>2,IV</sub> (Δ)		
((مكافئ غرافي)/ثانية × بكريل/سم <sup>٢</sup> )	((مكافئ غرافي)/بكريل)	((مكافئ غرافي)/بكريل)	((مكافئ غرافي)/بكريل)		
7.3E-13	NA	1.4E-09	4.3E-09	U-230 +	
1.3E-12	NA	3.8E-08	2.4E-08	U-232 +	
7.0E-12	NA	2.1E-10	8.3E-10	U-233	
1.1E-12	NA	4.3E-10	8.2E-10	U-234 +	
1.3E-11	NA	7.3E-09	8.2E-10	U-235 +	
1.1E-12	NA	3.7E-10	7.7E-10	U-236	
1.4E-12	NA	2.9E-08	7.8E-10	U-238 +	
7.1E-13	NA	1.5E-09	7.7E-10	Depleted U	
ND	NA	4.0E-10	6.4E-13	Np-235	
ND	NA	1.3E-09	2.3E-11	Np-236b +	
ND	NA	7.1E-09	3.1E-11	Np-236a	
4.7E-11	NA	9.2E-09	2.1E-10	Np-237 +	
5.2E-11	NA	6.0E-09	2.6E-11	Np-239	
ND	NA	4.5E-10	2.2E-10	Pu-236	
ND	NA	6.7E-10	1.1E-11	Pu-237	
6.0E-13	NA	3.6E-10	2.1E-10	Pu-238	
2.3E-13	NA	2.3E-10	2.0E-10	Pu-239	
5.7E-13	NA	3.6E-10	2.0E-10	Pu-240	
1.7E-14	NA	1.7E-10	1.6E-12	Pu-241 +	
4.9E-13	NA	3.0E-10	1.9E-10	Pu-242	
4.9E-12	NA	2.7E-08	2.7E-10	Pu-244 +	
3.7E-12	NA	1.9E-09	1.2E-10	Am-241	
1.3E-12	NA	7.6E-09	1.1E-10	Am-242m +	
3.9E-13	NA	9.7E-09	1.6E-10	Am-243 +	
6.0E-11	NA	2.9E-09	4.3E-11	Am-244	
ND	NA	3.6E-10	9.2E-11	Cm-240	
ND	NA	5.2E-09	1.1E-10	Cm-241 +	
5.4E-13	NA	3.3E-10	1.2E-10	Cm-242	
1.8E-11	NA	4.8E-09	1.5E-10	Cm-243	
5.1E-13	NA	2.9E-10	1.2E-10	Cm-244	
4.5E-12	NA	2.4E-09	1.3E-10	Cm-245	
1.7E-12	NA	2.7E-10	1.1E-10	Cm-246	
1.1E-11	NA	6.4E-09	1.8E-10	Cm-247	
2.8E-10	NA	ND	6.9E-10	Cm-248 (*)	
ND	NA	2.2E-09	2.7E-10	Bk-247	
1.3E-11	NA	1.1E-09	7.3E-13	Bk-249	
ND	NA	2.0E-10	2.7E-10	Cf-248 +	
1.7E-11	NA	2.1E-09	3.3E-10	Cf-249	
3.5E-12	NA	1.9E-10	2.7E-10	Cf-250	
3.6E-11	NA	6.8E-09	2.9E-10	Cf-251	
3.7E-10	NA	ND	6.4E-10	Cf-252 (*)	

التلوث	الابتلاع				
أدمة الجلد	الغدة الدرقية	القولون	النخاع الأحمر		النويدات المشعة <sup>١</sup>
<sup>٤</sup> AF <sub>6R,V</sub>	<sup>٤</sup> AF <sub>5,IV</sub> (Δ)	<sup>٤</sup> AF <sub>4,IV</sub> (Δ)	<sup>٤</sup> AF <sub>2,IV</sub> (Δ)		
((مكافي غراري)/ثانية × بكريل/سم <sup>٢</sup> )	((مكافي غراري)/بكريل)	((مكافي غراري)/بكريل)	((مكافي غراري)/بكريل)		
3.8E-12	NA	2.4E-09	7.7E-11	Cf-253	
3.5E-09	NA	5.0E-07	2.8E-08	Cf-254 (*)	
2.3E-13	NA	2.3E-10	2.0E-10	<sup>٢</sup> <sup>٣٩</sup> Pu/ <sup>٩</sup> Be	
3.7E-12	NA	1.9E-09	1.2E-10	<sup>٢</sup> <sup>٤١</sup> Am/ <sup>٩</sup> Be	

أ روسي النمو الداخلي للنواتج المشعة عند حساب قيم D لكل النويدات المشعة على النحو المبين في التذليل الثامن. وتشير علامة "+" إلى النويدات المشعة التي تمثل نواتجها مصادر ملموسة للجرعة في السيناريوهات موضوع النظر. وتستند المعاملات إلى البيانات المأخوذة من المرجع <sup>٤٩</sup> ما لم ترد علامة "\*" للإشارة إلى أنها تستند إلى بيانات من المرجع [٥٠].

ب الجرعة المودعة المرجحة بالفعالية البيولوجية النسبية لمدة ٣٠ يوماً (Δ) في النخاع الأحمر بسبب الابتلاع.

ج الجرعة المودعة المرجحة بالفعالية البيولوجية النسبية لمدة ٣٠ يوماً (Δ) في القولون بسبب الابتلاع.

د الجرعة المودعة المرجحة بالفعالية البيولوجية النسبية لمدة ٣٦٥ يوماً (Δ) في الغدة الدرقية بسبب الابتلاع.

ه معدل الجرعة المرجحة بالفعالية البيولوجية النسبية في أدمة الجلد.

و تعني "NA" غير منطبق، وتعني "ND" لا توجد أي بيانات.

ز نشاط النويدة المشعة المتبعثة لآلاف، مثل البلوتونيوم-٢٣٩ والأميريشيوم-٢٤١.

ح لم تحتسب جرعة النيوترونات كما هو وارد في القسم ٥.

## سادساً - تلوث الجلد

استخدم النهج القائم على المخاطر معاملات تحويل الجرعة AF<sub>6R,V</sub> التي تساوي معدل الجرعة المرجحة بالفعالية البيولوجية النسبية في النسيج R٦ (أدمة الجلد) لكل وحدة نشاط سطحي للنويدة المشعة وفقاً للسيناريو الخامس. وحسبت قيم معاملات تحويل الجرعة المأخوذة من النويدات كحاصل ثلاثة حدود كما هو وارد في المعادلة (٧٠). والحد الأول في الجانب الأيمن من المعادلة (٧٠) هو الطاقة E<sub>γ,i</sub>، والحسيلة Y<sub>i</sub> التي تساهم بها الفوتونات المتقطعة في كل تحول نووي. والحد الثاني هو الحسيلة Y<sub>j</sub> والطاقة الحركية E<sub>e,j</sub> التي تساهم بها إلكترونات التحويل، والحد الأخير هو مساهمة طيف بيئي ذي الطاقة القصوى E<sub>e</sub><sup>٠</sup>.

$$\begin{aligned}
 (٧٠) \quad AF_{6R,V} = & \sum_i^n Y_i^{\gamma} \times d_{6R,V}^{\gamma}(E_{\gamma,i}) + \\
 & + \sum_j^m Y_j^e \times d_{6R,V}^e(E_{e,j}) + \int_0^{E_e^0} n_{\beta}(E_e, E_e^0) d_{6R,V}^e(E_e) dE_e.
 \end{aligned}$$

حيث:

AF<sub>6R,V</sub> هو معامل تحويل الجرعة المرجحة بالفعالية البيولوجية النسبية في أدمة الجلد (النسيج R٦) من تلوث غير موزع بالتساوي على سطح الجلد حسب ما هو مبين في السيناريو الخامس، ((مكافي غراري)/ثانية × بكريل/سم<sup>٢</sup>);

$d_{\beta}(E_e, E_e^0) dE_e$  هو متوسط عدد الإلكترونات التي لها طاقة تتراوح بين  $E_e$  و  $E_e^0$  نتيجة لاضمحلال بيتا في نويدة مشعة ذات طاقة قصوى لاضمحلال بيتا  $E_e^0$  (ميغا إلكترون فولط) نقلًا عن المرجع [٥٢]؛

$d_{6R,V}^\gamma$  هي دالة الاستجابة المساوية للجرعة المرجحة بالفعالية البيولوجية النسبية التي تتقاها أدماء الجلد على عمق ٤٠ ملغم × سم٣ (٤٠٠٤ ميكرون) تحت سطح الجلد من مصدر فوتونات له طاقة  $E_e$ ، موزعة بالتساوي على سطح الجلد، ((مكافئ غراري) × سم٣)؛

$d_{6R,V}^e$  هي دالة الاستجابة المساوية للجرعة المرجحة بالفعالية البيولوجية النسبية التي تتقاها أدماء الجلد من مصدر إلكترونات ذي طاقة  $E_e$ ، موزعة بالتساوي على سطح الجلد ((مكافئ غراري) × سم٣).

وحاصل الحد الأول في الجانب الأيمن من المعادلة (٧٠) هو الجرعة المرجحة بالفعالية البيولوجية النسبية نتيجة لتشعيع أدماء الجلد بفوتونات مبعثة من النويدة المشعة المعنية. واستخدمت قيم هذه الكمية، حسب ما أشار إليه هاينزلمان وروloff (Heinzelmann and Rohloff) [٥٣]، في حساب معاملات تحويل الجرعة. واستخدمت المعادلة التجريبية التي وضعها فو (Faw) [٤٥] لحساب دالة الاستجابة للجرعة المرجحة بالفعالية البيولوجية النسبية في أدماء الجلد نتيجة التعرض لمصدر إلكترونات ذي طاقة  $E_e$  موزعة بالتساوي على سطح الجلد، ((مكافئ غراري) × سم٣)؛

$$(71) \quad d_{6R,V}^e(E_e) = 1.602 \times 10^{-10} \frac{2.7767 + y(8.5167 + 2.3104y))}{1 + y(2.5806 + y(1.6233 - 0.2723y))}$$

حيث:  $y = \log_{10} E_e$  هي طاقة الإلكترونات (ميغا إلكترون فولط). وهذه المعادلة تتطبق على الإلكترونات التي لها طاقة دنيا  $E_{min}$  تزيد على ١٨٠ ميغا إلكترون فولط. وتساوي  $d_{6R,V}^e(E_e)$  صفرًا إذا كانت الطاقة الدنيا في الإلكترونات تقل عن ذلك.

وينبغي تقييم الجرعة التي يتراوح عمقها بين ٣٠٠ و ٥٠٠ ميكرون [١٥] لأغراض تقدير الآثار القطبية العنيفة، من قبيل التقشر الرطب. وهذا هو الأسلوب الذي استخدمه النهج القائم على المخاطر في الحالات التي افترض فيها حدوث آثار قطبية عنيفة بعد تشعيع أكثر من ١٠٠ سم٣ من نسيج الجلد [١٢] على عمق ٤٠٠ ميكرون (٤٠ ملغم × سم٣).

وتكشف مقارنة النتائج المحسوبة مع البيانات القائمة المنشورة [٥٤، ٥٥، ٥٦، ٥٧، ٥٨] عن عدم وجود اختلاف كبير بينها. ويتضمن الجدول ١٩ قيم معامل تحويل الجرعة  $AF_{6R,V}$ .

### سادسًا-٣- الغمر

استخدم النهج القائم على المخاطر معاملات تحويل الجرعة  $AF_{2,VI}$  المساوية لمعدل الجرعة المرجحة بالفعالية البيولوجية النسبية في النسيج ٢ (النخاع الأحمر) نتيجة للغمر في غاز خامل مشع. وتقارب بيانات السحابة شبه اللامتناهية المأخوذة من المرجع [٤٠] المستخدمة في حساب  $AF_{2,VI}$  بطريقة صحيحة حالة الغمر الهوائي [٤٠]. ونتج عن استخدام هذه المعاملات مع التعرض الخارجي للإشعاع γ نتيجة للغمر في غرفة حجمها ٣٠٠ م٢ (السيناريو السادس) تقديرات متحفظة للإشعاع بسبب حجم الغرفة مقارنة بسحابة متناهية. ويتضمن الجدول ٢٠ قيم معامل تحويل الجرعة  $AF_{2,VI}$ .

**الجدول ٢٠ : معاملات تحويل الجرعة المرجحة بالفعالية البيولوجية النسبية نتيجة للغمر في غاز مشع**

النخاع الأحمر		النويدة المشعة	النخاع الأحمر	
AF <sub>2,VI</sub>	(مكافئ غرافي)/(بكريل × ثانية/م <sup>٣</sup> )		AF <sub>2,VI</sub>	(مكافئ غرافي)/(بكريل × ثانية/م <sup>٣</sup> )
4.00E-14	Kr-87		4.60E-14	N-13
4.50E-14	Xe-122		0.00E+00	Ar-37
3.50E-14	Xe-123		6.60E-18	Ar-39
1.10E-14	Xe-127		6.30E-14	Ar-41
2.30E-16	Xe-131m		2.40E-16	Kr-81
1.10E-15	Xe-133		1.10E-16	Kr-85
1.10E-14	Xe-135		6.40E-15	Kr-85m



## **التدليل السابع تقييم قيم D**

يحدد هذا القسم الخصائص العامة لقيم D الموصى بها في الجدول ١ ويتضمن تقييمها لها

### **سابعاً - ١- تحديد الخصائص العامة لقيم D الموصى بها**

يبين الجدول ٢١ الشروط المقيدة لقيم  $D_1$ . ويحدّد التعرض لمصدر قريب في معظم الحالات (٣١٢ من بين ٣٦٩ حالة تم تحليلها) النشاط الخطر للمادة المشعة غير المشتتة. وأما التعرض لمصدر بعيد فيقيّد نشاط ١٣ نويدة مشعة. وهذه النويدات المشعة لها نشاط نوعي منخفض بدرجة كبيرة ولا تجتاز اختبار "الجيوب" بسبب تعذر حملها في الجيوب. وقيمة  $D_1$  مقيدة بالحرجية في ١٩ حالة وغير مقيدة في ٢٥ حالة.

**الجدول ٢١: الشروط المقيدة لقيم  $D_1$**

السيناريو		مقيدة بحدوث آثار قطعية عنيفة في العضو أو النسيج:
الثاني	الأول	
	٣١٢	النسيج الرخو
		النخاع الأحمر
		المنطقة السنخية الخلالية من الجهاز التنفسي
		القولون
		الغدة الدرقية
		أدمة الجلد
١٣		الجزع
	١٩	محودة بالحرجية
	٢٥	غير محودة
	٣٦٩	المجموع

ويبيّن الجدول ٢٢ الشروط المقيدة لقيم  $D_2$ . ويحدّد التعرض عن طريق الاستنشاق وعن طريق ملامسة أدمة الجلد في معظم الحالات (٣١٤ من بين ٣٦٩ حالة تم تحليلها) النشاط الخطر للمادة المشعة المشتتة. والنخاع الأحمر والمنطقة السنخية من الجهاز التنفسي وأدمة الجلد هي الأعضاء الحرجة التي تحدّد قيمة  $D_2$ . كما يبيّن الجدول ٢٢ أن الأخذ الداخلي عن طريق الابتلاع المرتبط بالابتلاع غير المتعمد أو استهلاك مياه ملوثة غير مهم إلا في حالة الكربون-٤. وقيمة  $D_2$  مقيدة بالحرجية في عشر حالات وغير مقيدة في ١٧ حالة.

## الجدول ٢٢ الشروط المقيدة لقيم $D_2$

السيناريو				المقيدة بحدوث آثار قطعية عنيفة في العضو أو النسيج:
السادس	الخامس	الرابع	الثالث R	
				النسيج الرخو
١٢	١	١١٩		النخاع الأحمر
		٧٦		المنطقة السنخية الخالية من الجهاز التنفسى
	صفر	١٠		القولون
	صفر	٢٨		الغدة الدرقية
	٩٦			أدمة الجلد
				الجذع
		١٠		المقيدة بالحرجية
	١٧			غير مقيدة
	٣٦٩			المجموع

وبين الجدول ٢٣ الشروط المقيدة لقيمة D (أقل قيمة لكل من  $D_1$  و $D_2$ ). ويحدد التعرض لمصدر قريب في معظم الحالات (٢٦٦ من بين ٣٦٩ حالة من الحالات التي تم تحليلها) النشاط الخطر للمادة المشعة. وقيمة D في ٦ حالات فقط (التكتنثيوم-٩٧ شبه المستقر، والتكتنثيوم-٩٩، والتلوريوم-١٢٥ شبه المستقر، والتلوريوم-١٢٧ شبه المستقر، والليود-١٢٥، والليود-١٢٦) مقيدة بposure الغدة الدرقية لمادة مشتقة محتوية على نويودات متراكمة في الغدة الدرقية. ولأغراض المقارنة فإن هذا الأثر يقيد قيمة  $D_2$  في كل حالات الاستنشاق التي تحتوي فيها المادة المشتقة على نويودات مشعة متراكمة في الغدة الدرقية. وقيم D مقيدة بالحرجية في تسع حالات وغير مقيدة في ١٥ حالة.

## الجدول ٢٣ الشروط المقيدة لقيم D

السيناريو						المقيدة بظهور آثار قطعية عنيفة في العضو أو النسيج:
السادس	الخامس	الرابع	الثالث R	الثاني	الأول	
					٢٦٦	النسيج الرخو
صفر	١	٢٧				النخاع الأحمر
		٣٢				المنطقة السنخية الخالية من الجهاز التنفسى
	صفر	صفر				القولون
	صفر	٦				الغدة الدرقية
	٨					أدمة الجلد
				٥		الجذع
		٩				المقيدة بالحرجية
		١٥				غير مقيدة
		٣٦٩				المجموع

## سابعاً -٢- التثبت من قيم D الموصى بها

يعترف منشور الوكالة TECDOC-1432 "وضع إطار موسّع لمعايير الاستجابة للطوارئ" [١٥] بعدم إمكانية تجنب أوجه الريبة عند تقدير الجرعة، ويتضمن المرجع إرشادات بشأن تحديد المستويات المرجعية العامة للاستجابة للطوارئ. ويشوب وضع قيم D قدر كبير من الريبة، وتشير التقديرات إلى إمكانية تبادل البيانات، استناداً إلى البيانات والافتراضات، بمقدار عشرة أضعاف أو أكثر. وأجريت مقارنتان للتثبت إلى حد ما من قيم D الموصى بها في الجدول ١. وكان الغرض من المقارنة الأولى هو مقارنة القيم المحسوبة باستخدام

النهج المبني على الخبرة مع القيم المحسوبة باستخدام النهج القائم على المخاطر. وتناولت المقارنة الثانية طريقة مقارنة قيم D المحسوبة مع المصادر التي انطوت عليها حالات الطوارئ الإشعاعية من أجل تحديد ما إذا كانت القيم متفقة مع التجربة الفعلية هنا.

واختلفت بدرجة كبيرة بيانات ومعايير قياس الجرعات المستخدمة في النهج المبني على الخبرة والنهج القائم على المخاطر لتحديد قيم  $D_2$ . واستخدمت قيم D المستندة إلى النهج القائم على المخاطر كخط أساس لأنها وضعت باستخدام آخر أساليب تقدير حدوث الآثار القطعية الواردة في المرجع [١٥].

وعند مقارنة قيم D المحددة على أساس النهج المبني على الخبرة والنهج القائم على المخاطر، وبعد النظر في أوجه الريبة في معاملات الجرعات ومعايير الجرعات وبaramترات السيناريوهات، يبدو من الملائم اعتبار الفرق الذي يقل عن خمسة أضعاف بين قيم D فرقاً لا يذكر.

ويعرض الجدول ٤ قيم D المحسوبة باستخدام كل من النهج المبني على الخبرة والنهج القائم على المخاطر للنويدات المشعة المحددة في النهج المبني على الخبرة. وتكشف مقارنة قيم D المحددة على أساس النهج المبني على الخبرة مع القيم التي تم الحصول عليها باستخدام النهج القائم على المخاطر الذي تم التثبت منه عن عدم وجود فرق كبير بينهما. ويثبت ذلك كفاية بيانات ومعايير قياس الجرعات المستخدمة في هذين النهجين. ويتبين من البيانات الواردة في الجدول ٤ أن النهج المبني على الخبرة يسفر دائماً عن تقديرات (محفظة) أقل لقيم  $D_2$ . والقيمة الوسطية للنسبة  $D_2^E/D_2^R$  تبلغ  $0,3 \pm 1,1$  (بمستوى ثقة نسبته ٩٩%). وتقل فيها قيمة  $D_2$  المحسوبة باستخدام النهج المبني على الخبرة عن القيم المحسوبة باستخدام النهج القائم على المخاطر بأكثر من ضعفين في ثلاث حالات فقط، ولا تقل بأكثر من خمسة أضعاف إلا في حالة واحدة فقط. وقورنت بالإضافة إلى ذلك قيم D مع القيم التي حسبت بطريقة مستقلة تماماً باستخدام القواعد الأساسية ومعاملات الجرعة من مصادر أخرى. وتبيّن أيضاً أن هذه النتائج تتفق مع قيم D المحسوبة هنا.

#### الجدول ٤ مقارنة قيم D المشتقة وفقاً للنهج المبني على الخبرة مع قيم D المشتقة وفقاً للنهج القائم على المخاطر

قيمة $D_2$			قيمة $D_1$			قيمة D			النويدة المشعة	
E/R	(تيرا بكريل)		E/R	(تيرا بكريل)		E/R	(تيرا بكريل)			
	R	E		R	E		<sup>b</sup> R	<sup>b</sup> E		
2.	1.E+3	<sup>a</sup> 2.E+3	1.	UL	<sup>c</sup> UL	2.	1.E+3	2.E+3	H-3	
0.06	9.E+2	5.E+1	2.	1.E+5	2.E+5	0.06	9.E+2	5.E+1	C-14	
3.	8.E+0	2.E+1	1.	1.E+1	1.E+1	1.	8.E+0	1.E+1	P-32	
0.7	9.E+1	6.E+1	1.	4.E+4	4.E+4	0.7	9.E+1	6.E+1	S-35	
0.7	3.E+1	<sup>a</sup> 2.E+1	2.	2.E+2	3.E+2	0.7	3.E+1	2.E+1	Cl-36	
5.	1.E+3	5.E+3	1.	2.E+0	2.E+0	1.	2.E+0	2.E+0	Cr-51	
2.	4.E+2	8.E+2	1.	UL	UL	2.	4.E+2	8.E+2	Fe-55	
1.	3.E+2	4.E+2	1.	7.E-1	7.E-1	1.	7.E-1	7.E-1	Co-57	
1.	3.E+1	3.E+1	1.	3.E-2	3.E-2	1.	3.E-2	3.E-2	Co-60	
0.1	5.E+2	6.E+1	1.	UL	UL	0.1	5.E+2	6.E+1	Ni-63	
3.	1.E+2	3.E+2	1.	1.E-1	1.E-1	1.	1.E-1	1.E-1	Zn-65	
2.	1.E+1	2.E+1	1.	7.E-2	7.E-2	1.	7.E-2	7.E-2	Ge-68+	
2.	9.E+1	2.E+2	1.	2.E-1	2.E-1	1.	2.E-1	2.E-1	Se-75	
1.	2.E+3	2.E+3	1.	3.E+1	3.E+1	1.	3.E+1	3.E+1	Kr-85	
2.	1.E+1	2.E+1	1.	2.E+1	2.E+1	2.	1.E+1	2.E+1	Sr-89	

قيمة $D_2$			قيمة $D_1$			قيمة $D$			النويدة المشعة	
E/R	(تيرا بكريل)		E/R	(تيرا بكريل)		E/R	(تيرا بكريل)			
	R	E		R	E		$\gamma$ R	$\gamma$ E		
0.2	5.E+0	1.E+0	0.8	5.E+0	4.E+0	0.2	5.E+0	1.E+0	Sr-90+	
1.	1.E+1	1.E+1	1.	5.E+0	5.E+0	1.	5.E+0	5.E+0	Y-90	
1.	2.E+1	2.E+1	0.9	9.E+0	8.E+0	0.9	9.E+0	8.E+0	Y-91	
1.	1.E+1	1.E+1	1.	4.E-2	4.E-2	1.	4.E-2	4.E-2	Zr-95+	
0.7	9.E+1	6.E+1	1.	9.E-2	9.E-2	1.	9.E-2	9.E-2	Nb-95	
1.	2.E+1	2.E+1	1.	3.E-1	3.E-1	1.	3.E-1	3.E-1	Mo-99+	
1.	5.E+2	7.E+2	1.	6.E-1	7.E-1	1.	6.E-1	7.E-1	Tc-99m	
0.6	5.E+1	3.E+1	1.	1.E-1	1.E-1	1.	1.E-1	1.E-1	Ru-103+	
2.	5.E+0	1.E+1	1.	3.E-1	3.E-1	1.	3.E-1	3.E-1	Ru-106+	
0.5	2.E+2	1.E+2	1.	9.E+1	9.E+1	1.	9.E+1	9.E+1	Pd-103+	
0.4	8.E+1	3.E+1	1.	2.E+1	2.E+1	1.	2.E+1	2.E+1	Cd-109	
3.	3.E-1	8.E-1	1.	3.E-2	3.E-2	1.	3.E-2	3.E-2	Te-132+	
0.3	8.E-1	2.E-1	1.	1.E+1	1.E+1	1.	2.E-1	2.E-1	I-125	
	UL	UL		UL	UL		UL	$\gamma$ UL	I-129	
0.7	3.E-1	2.E-1	1.	2.E-1	2.E-1	1.	2.E-1	2.E-1	I-131	
2.	2.E+1	3.E+1	1.	4.E-2	4.E-2	1.	4.E-2	4.E-2	Cs-134	
0.7	3.E+1	2.E+1	1.	1.E-1	1.E-1	1.	1.E-1	1.E-1	Cs-137+	
0.9	8.E+1	7.E+1	1.	2.E-1	2.E-1	1.	2.E-1	2.E-1	Ba-133	
0.3	6.E+1	2.E+1	1.	1.E+0	1.E+0	1.	1.E+0	1.E+0	Ce-141	
2.	6.E+0	9.E+0	1.	9.E-1	9.E-1	1.	9.E-1	9.E-1	Ce-144+	
0.4	1.E+2	4.E+1	1.	8.E+3	8.E+3	0.4	1.E+2	4.E+1	Pm-147	
0.8	4.E+1	3.E+1	1.	6.E-2	6.E-2	1.	6.E-2	6.E-2	Eu-152	
0.7	3.E+1	2.E+1	1.	6.E-2	6.E-2	1.	6.E-2	6.E-2	Eu-154	
2.	5.E+1	8.E+1	1.	1.E+0	1.E+0	1.	1.E+0	1.E+0	Gd-153	
0.7	3.E+1	2.E+1	1.	2.E+1	2.E+1	1.	2.E+1	2.E+1	Tm-170	
0.4	7.E+1	3.E+1	1.	3.E-1	3.E-1	1.	3.E-1	3.E-1	Yb-169	
4.	7.E+0	3.E+1	1.	1.E+0	1.E+0	1.	1.E+0	1.E+0	Re-188	
0.7	3.E+1	2.E+1	1.	8.E-2	8.E-2	1.	8.E-2	8.E-2	Ir-192	
1.	3.E+1	3.E+1	1.	2.E-1	2.E-1	1.	2.E-1	2.E-1	Au-198	
0.2	1.E+1	2.E+0	1.	3.E-1	3.E-1	1.	3.E-1	3.E-1	Hg-203	
0.5	4.E+1	2.E+1	1.	7.E+1	7.E+1	0.5	4.E+1	2.E+1	Tl-204	
0.2	3.E-1	6.E-2	1.	8.E+3	8.E+3	0.2	3.E-1	6.E-2	Po-210	
0.2	3.E-1	7.E-2	1.	4.E-2	4.E-2	1.	4.E-2	4.E-2	Ra-226+	
0.7	1.E-1	7.E-2	1.	7.E+2	9.E+2	0.7	1.E-1	7.E-2	Th-230	
1.	UL	UL	1.	UL	UL	1.	UL	$\gamma$ UL	Th-232	
2.	3.E-2	6.E-2 <sup>f</sup>	1.	7.E-2	7.E-2	2.	3.E-2	6.E-2	U-232	
1.	8.E-5	8.E-5	1.	8.E-5	8.E-5	1.	8.E-5	8.E-5	U-235+	
1.	UL	UL	1.	UL	UL	1.	UL	UL	U-238	
-	ND	UL	-	ND	UL	-	ND c	UL	U Natural	
-	ND	UL	-	ND	UL	-	ND	UL	U Depleted	

قيمة $D_2$			قيمة $D_1$			قيمة D			النويدة المشعة	
E/R	(تيرا بكريل)		E/R	(تيرا بكريل)		E/R	(تيرا بكريل)			
	R	E		R	E		<sup>b</sup> R	<sup>b</sup> E		
-	ND	8E-5	-	ND	8E-5 <sup>g</sup>	-	ND	8E-5	U Enriched > 20 %	
-	ND	8E-4	-	ND	8E-4 <sup>g</sup>	-	ND	8E-4	U Enriched 10 % - 20%	
0.4	2.E-1	7.E-2	1.	3.E-1	3.E-1	0.4	2.E-1	7.E-2	Np-237+	
0.3	2.E-1	6.E-2	1.	3.E+2	3.E+2	0.3	2.E-1	6.E-2	Pu-238	
0.3	2.E-1	6.E-2	1.	1.E+0	1.E+0	0.3	2.E-1	6.E-2	Pu-239	
0.3	2.E-1	6.E-2	1.	4.E+0	4.E+0	0.3	2.E-1	6.E-2	Pu-240	
0.2	2.E+1	3.E+0	1.	2.E+3	2.E+3	0.2	2.E+1	3.E+0	Pu-241+	
1.	7.E-2	7.E-2	1.	7.E-2	7.E-2	1.	7.E-2	7.E-2	Pu-242	
0.3	2.E-1	6.E-2	1.	8.E+0	8.E+0	0.3	2.E-1	6.E-2	Am-241	
0.2	2.E-1	4.E-2	1.	2.E+3	2.E+3	0.2	2.E-1	4.E-2	Cm-242	
0.3	2.E-1	5.E-2	3.	3.E+3	1.E+4	0.3	2.E-1	5.E-2	Cm-244	
2.	6.E-2	1.E-1	2.	9.E-3	2.E-2	2.	9.E-3	2.E-2	Cf-252	
0.3	2.E-1	6.E-2	1.	1.E+0	1.E+0	0.3	2.E-1	6.E-2	<sup>d</sup> <sup>239</sup> Pu/ <sup>9</sup> Be	
0.3	2.E-1	6.E-2	0.2	5.E+0	1.E+0	0.3	2.E-1	6.E-2	<sup>d</sup> <sup>241</sup> Am/ <sup>9</sup> Be	

أ روبي النمو الداخلي للنواتج المشعة عند حساب قيم D لكل النويدات المشعة على النحو المبين في الترتيب الثامن. وتشير علامة "+" إلى النويدات المشعة التي تمثل نواتجها مصادر ملموسة للجرعة في السيناريوهات موضوع النظر.

ب تشير "E" و "R" إلى النهج المبني على الخبرة والنهج القائم على المخاطر؛ و "E/R" هي النسبة بين قيم D المحسوبة وفقاً للنهج المبني على الخبرة و قيم D المحسوبة وفقاً للنهج القائم على المخاطر.

ج تشير "UL" إلى "كمية غير محددة" على النحو المحدد في الترتيب الثاني. وتعني ND "لا توجد أي بيانات".

د مولد نيتروجين. ويتعلق النشاط الوارد هنا بنشاط النويدة المشعة المبتعدة لأنف، مثل البلوتونيوم-239 والأميريشيوم-241.

### سابعاً-٣- تجربة الطوارئ

يتضمن الجدول ٢٥ ملخصاً للحقائق الأساسية التي وردت فيما نشر من تقارير عن مصادر مفقودة أو مسروقة. ويبين الجدول أيضاً نسبة النشاط الذي تتطوي عليه تلك المصادر وقيمة  $D_1$ ،  $D_2$  و  $A/D$  للنويدة المشعة. ولم يشر الجدول إلى الحدث الذي انطوى على ترك ١٣٠، تيرا بكريل من مصدر الإيريديوم - ١٩٢ ونجم عنه تشعيع داخلي في مريضه لمدة أربعة أيام مما أسفه عن وفاته [٥٩]. ولعل أصغر مصدر خرج عن نطاق السيطرة وأسفر عن إصابة انتقصت من نوعية الحياة هو السيزريوم-١٣٧ الذي تركه أب عن غير قصد في فراش ابنه وفي سماته أنه تراوحت بين أسبوع وأشهر. وأسفر ذلك عن إصابات طلبت تدخلًا جراحياً وتسببت في ضمور الخصيّتين [٦٤]. وكان الأب مرخصاً بحيازة ٤ كوري [١٤ تيرا بكريل] من السيزريوم-١٣٧ وإن كان من المتعذر تحديد مقدار المادة المستخدمة بدقة. وأصغر مصدر تسبب في حدوث إصابات شديدة عَرضية بسبب التعرض الخارجي تراوح بين ١٦٠ و ١٢٠، تيرا بكريل من السيزريوم - ١٣٧ [٢٧]. ويزيد ذلك قليلاً على قيمة  $D_1$  التي تبلغ ١٠، ١٠ تيرا بكريل من السيزريوم - ١٣٧ في الجدول ١. وأصغر مصدر خرج عن نطاق السيطرة وأسفر عن تعرض مميت بين الجمهور هو ١،٢ تيرا بكريل من الإيريديوم - ١٩٢ [٦٠]. ويزيد ذلك بنحو عشرة أضعاف على قيمة  $D_1$ . ووُقعت حالة الوفاة الوحيدة جراء أخذ داخلي لمقدار بلغ ١٠٠٪ من المادة الشديدة التشتت في مصدر السيزريوم - ١٣٧ [٣٦]. ويمثل ذلك الجزء الكسري من الأخذ الداخلي المفترض في حساب قيم  $D_2$ . وكشف فحص حالات الطوارئ التي انطوت على وفيات بسبب تعرض عموم الجسم عن أن معدل الجرعة التي وصلت إلى النخاع الأحمر من مسافة متر واحد (سيناريو "الغرفة") ربما تراوحت بين ١٠ و ٥٠ ملي غرافي/ساعة خلال فترة التعرض. وأخذ ذلك بعين

الاعتبار في المعايير المستخدمة في هذا السيناريو (السيناريو الثاني). ولذلك يبدو أن معايير تحديد المصادر الخطيرة تتفق مع التجربة التشغيلية وتتراوح بين جزء من عشرة وجزء من مائة من مستوى الجرعات المميتة في حالات الطوارئ الحقيقية التي انطوت على مصادر مشعة خارجة عن نطاق السيطرة.

## الجدول ٢٥: ملخص حالات الطوارئ التي انطوت على مصادر مفقودة أو مسروقة

الآثار الصحية	A/D <sub>1</sub>	حالات الطوارئ			حالة الطوارئ
		D <sub>1</sub> <sup>a</sup> , تيرا بكريل	A <sup>b</sup> تيرا بكريل	المصدر	
إصابة شديدة وتعرض شكل تهديداً للحياة وفاة ٣ أشخاص	٧٨٣ ٥٠٠	٠٠٣ ٠٠٣	٢٣.٥ ١٥	كوبلت ٦٠ - كوبلت ٦٠ -	اسطنبول [٦١] ساموت براكارن [٦٢]
وفاة ٤ أشخاص	٥٠٠	٠٠١	٥٠	سيزيوم ١٣٧ -	جوانيا [٣٦]
وفاة شخص واحد، وإصابة شديدة وتعرض شكل تهديداً للحياة	٢٠٠	٥	١٠٠٠	سترنشيمون ٩٠ -	مولادات كهربائية حرارية تعمل بالنظائر المشعة، جورجيا <sup>c</sup>
وفاة شخص واحد	٧٤	٠٠١	٧٤	سيزيوم - ١٣٧	تاميكو [٦٣]
إصابة شديدة وتعرض شكل تهديداً للحياة	١٧	٠٠٨	١٣٧	إيريديوم - ١٩٢	يانانغو [٣١، ٢٦]
وفاة ٨ أشخاص <sup>d</sup>	١٣٨	٠٠٨	١٢	إيريديوم - ١٩٢	الحالة ٢٠ [٦٠]
وفاة شخصين <sup>e</sup>	١٢	٠٠٣	٠٣٧	كوبلت - ٦٠	الصين [٦٤]
تعرض شكل تهديداً للحياة <sup>f</sup>	١١	٠٠٨	٠٩٧	إيريديوم ٩٢ -	الجزائر [٦٤]
إصابة شديدة	١١	٠٠٨	١	إيريديوم - ١٩٢	الولايات المتحدة [٦٤] الأمريكية [٦٤]
إصابة شديدة	١١	٠٠٨	١	إيريديوم - ١٩٢	الجزائر [٦٤]
إصابة شديدة	٣٨	٠٠٨	٠٣	إيريديوم - ١٩٢	الحالة ٤٣ [٦٠]
إصابة شديدة	٢٣	٠٠٨	٠١٨٥	إيريديوم - ١٩٢	جيلان [٣٢]
إصابة شديدة	٣٣	٠٠٨	٠٢٦	إيريديوم - ١٩٢	الحالة ٣٧ [٦٠]
تعرض شكل تهديداً للحياة <sup>g</sup>	٢٣	٠٠٨	٠١٩	إيريديوم - ١٩٢	اليابان [٦٤]
إصابة شديدة	١٢- ١٦	٠١	٠١٢- ٠١٦	سيزيوم - ١٣٧ ٠١٦	ليلو [٢٧]

<sup>a</sup> قيمة D<sub>1</sub> للنويدة المشعة المعنية استناداً إلى الجدول ١.

<sup>b</sup> النشاط (تيرا بكريل) الذي انطوت عليه حالة الطوارئ.

<sup>c</sup> تعرض شخصان، توفي أحدهما بعد سنة ونصف السنة من تعرضه.

<sup>d</sup> ربما كان المصدر في الغرفة لمدة وصلت إلى أربعة أشهر ويرجح أن معدل الجرعة تراوح بين ٢٠ و ٥٠ ملي سيفرت/ساعة على مسافة متر واحد من المصدر.

<sup>e</sup> ترك المصدر في الغرفة لمدة أسبوعين، مما أسفر عن تعرض مميت بمعدل جرعة بلغ نحو ٥٠ ملي غرافي/ساعة على مسافة متر واحد من المصدر.

<sup>f</sup> ترك المصدر في الغرفة لمدة خمسة أسابيع، ولكن ذلك لم يسفر عن وقوع حالات وفاة. وبلغ معدل الجرعة نحو ١٠ ملي غرافي/ساعة على مسافة متر واحد من المصدر.

<sup>g</sup> ظل المصدر في الغرفة لمدة ستة أيام وحدث تلامس معه في أثناء ذلك.

## التذيل الثامن

### خصائص المصادر المشعة

يبين هذا التذيل الخصائص النووية الأساسية للنويدات المشعة قيد النظر. ويشمل ذلك نصف عمر النويدة، وثوابت الأضمحلال، والأنشطة النوعية، وإنتاج النيوترونات، والبارامترات النووية لمبعثرات النيوترونات الإشعاعية، وسلالس الأضمحلال الإشعاعية، والحرجية، وقيم حد الحرجة، والسمية الكيميائية. ويشمل ذلك أيضاً وصفاً للنهج المستخدم في النظر في الأضمحلال الإشعاعي، والنمو الداخلي للنوادج، والحرجية.

#### ثامناً - ١. العمر النصفي والنشاط النوعي

يتضمن الجدول ٢٦ العمر النصفي ( $T_{1/2}$ ) والنشاط النوعي (SA) لكل النويدات المشعة المعنية. وأخذت قيم الأعمار النصفية من منشور اللجنة الدولية للوقاية من الإشعاعات [٣٨].

**الجدول ٢٦: العمر النصفي وثوابت الأضمحلال والأنشطة النوعية للنويدات المشعة**

النويدة المشعة	العمر النصفي النصفي ا	النشاط النوعي (ثانية)	العمر النصفي (بكريل/غرام)
H-3	12.3 a	3.88E+08	3.59E+14
Be-7	53.3 d	4.61E+06	1.29E+16
Be-10	1.60E+6 a	5.05E+13	8.27E+08
C-11	20.38 min	1.22E+03	3.10E+19
C-14	5.73E+3 a	1.81E+11	1.65E+11
N-13	9.965 min	5.98E+02	5.37E+19
F-18	109.77 min	6.59E+03	3.52E+18
Na-22	2.60 a	8.20E+07	2.31E+14
Na-24	15.00 h	5.40E+04	3.22E+17
Mg-28	20.91 h	7.53E+04	1.98E+17
Al-26	7.16E+5 a	2.26E+13	7.11E+08
Si-31	157.3 min	9.44E+03	1.43E+18
Si-32	4.50E+2 a	1.42E+10	9.19E+11
P-32	14.3 d	1.24E+06	1.06E+16
P-33	25.4 d	2.19E+06	5.76E+15
S-35	87.4 d	7.55E+06	1.58E+15
Cl-36	3.01E+5 a	9.49E+12	1.22E+09
Cl-38	37.21 min	2.23E+03	4.92E+18
Ar-37	35.02d	3.03E+06	3.73E+15
Ar-39	269 a	8.48E+09	1.26E+12
Ar-41	1.827 h	6.58E+03	1.55E+18
K-40	1.28E+9 a	4.04E+16	2.58E+05
K-42	12.36 h	4.45E+04	2.23E+17
K-43	22.6 h	8.14E+04	1.19E+17
Ca-41	1.40E+5 a	4.42E+12	2.31E+09
Ca-45	163 d	1.41E+07	6.58E+14

النوع النشاط النصفى	العمر النصفى	العمر النصفى	النويدة المشعة
(بكريل/غرام)	(ثانية)		
2.27E+16	3.91E+05	4.53 d	Ca-47
6.71E+17	1.41E+04	3.927 h	Sc-44
1.25E+15	7.24E+06	83.8 d	Sc-46
3.07E+16	2.89E+05	3.35 d	Sc-47
5.53E+16	1.57E+05	1.82 d	Sc-48
6.36E+12	1.49E+09	47.3 a	Ti-44
6.21E+15	1.40E+06	16.2 d	V-48
2.99E+14	2.85E+07	330 d	V-49
3.42E+15	2.39E+06	27.7 d	Cr-51
1.66E+16	4.83E+05	5.59 d	Mn-52
6.75E+07	1.17E+14	3.70E+6 a	Mn-53
2.87E+14	2.70E+07	312 d	Mn-54
8.03E+17	9.28E+03	2.5785 h	Mn-56
2.69E+17	2.98E+04	8.28 h	Fe-52
8.91E+13	8.51E+07	2.70 a	Fe-55
1.84E+15	3.84E+06	44.5 d	Fe-59
2.21E+09	3.15E+12	1.00E+5 a	Fe-60
1.20E+17	6.31E+04	17.54 h	Co-55
1.10E+15	6.80E+06	78.7 d	Co-56
3.13E+14	2.34E+07	271 d	Co-57
1.18E+15	6.12E+06	70.8 d	Co-58
2.18E+17	3.29E+04	9.15 h	Co-58m
4.18E+13	1.66E+08	5.27 a	Co-60
2.99E+09	2.37E+12	7.50E+4 a	Ni-59
2.19E+12	3.03E+09	96.0 a	Ni-63
7.08E+17	9.07E+03	2.520 h	Ni-65
1.43E+17	4.57E+04	12.701 h	Cu-64
2.79E+16	2.23E+05	2.58 d	Cu-67
3.05E+14	2.11E+07	244 d	Zn-65
1.77E+18	3.42E+03	57 min	Zn-69
1.22E+17	4.95E+04	13.76 h	Zn-69m
2.21E+16	2.82E+05	3.26 d	Ga-67
1.50E+18	4.08E+03	68.0 min	Ga-68
1.14E+17	5.08E+04	14.1 h	Ga-72
2.47E+14	2.49E+07	288 d	Ge-68
5.76E+15	1.02E+06	11.8 d	Ge-71
1.33E+17	4.07E+04	11.3 h	Ge-77
6.21E+16	9.33E+04	1.08 d	As-72
8.24E+14	6.94E+06	80.3 d	As-73
3.67E+15	1.54E+06	17.8 d	As-74
5.78E+16	9.50E+04	1.10 d	As-76
3.87E+16	1.40E+05	1.62 d	As-77
5.37E+14	1.04E+07	120 d	Se-75

النوع النشاط النصفى	العمر النصفى	العمر النصفى	النويدة المشعة
(بكريل/غرام)	(ثانية)		
2.58E+09	2.05E+12	6.50E+4 a	Se-79
9.41E+16	5.83E+04	16.2 h	Br-76
2.69E+16	2.01E+05	2.33 d	Br-77
4.01E+16	1.27E+05	1.47 d	Br-82
7.78E+08	6.62E+12	2.1E5 a	Kr-81
1.45E+13	3.38E+08	10.72 a	Kr-85
3.04E+17	1.61E+04	4.48 h	Kr-85m
1.05E+18	4.58E+03	76.3 min	Kr-87
3.12E+17	1.65E+04	4.58 h	Rb-81
6.75E+14	7.45E+06	86.2 d	Rb-83
1.75E+15	2.83E+06	32.8 d	Rb-84
3.02E+15	1.61E+06	18.6 d	Rb-86
3.24E+03	1.48E+18	4.7E+10 a	Rb-87
2.36E+15	2.16E+06	25.0 d	Sr-82
8.77E+14	5.60E+06	64.8 d	Sr-85
1.18E+18	4.18E+03	1.16 h	Sr-85m
4.75E+17	1.01E+04	2.805 h	Sr-87m
1.07E+15	4.36E+06	50.5 d	Sr-89
5.05E+12	9.18E+08	29.1 a	Sr-90
1.34E+17	3.42E+04	9.50 h	Sr-91
4.65E+17	9.76E+03	2.71 h	Sr-92
1.66E+16	2.89E+05	3.35 d	Y-87
5.13E+14	9.24E+06	107 d	Y-88
2.01E+16	2.31E+05	2.67 d	Y-90
9.07E+14	5.05E+06	58.5 d	Y-91
1.54E+18	2.98E+03	0.828 h	Y-91m
3.56E+17	1.27E+04	3.54 h	Y-92
1.23E+17	3.64E+04	10.1 h	Y-93
6.58E+14	7.21E+06	83.4 d	Zr-88
9.30E+07	4.83E+13	1.53E+6 a	Zr-93
7.94E+14	5.53E+06	64.0 d	Zr-95
7.07E+16	6.08E+04	16.90 h	Zr-97
1.05E+13	4.29E+08	13.6 a	Nb-93m
6.93E+09	6.40E+11	2.03E+4 a	Nb-94
1.45E+15	3.03E+06	35.1 d	Nb-95
9.94E+17	4.33E+03	72.1 min	Nb-97
4.07E+10	1.10E+11	3.50E+3 a	Mo-93
1.77E+16	2.38E+05	2.75 d	Mo-99
8.33E+14	5.27E+06	61.0 d	Tc-95m
1.18E+16	3.70E+05	4.28 d	Tc-96
1.41E+18	3.09E+03	0.858 h	Tc-96m
5.25E+07	8.20E+13	2.60E+6 a	Tc-97
5.72E+14	7.52E+06	87.0 d	Tc-97m

النوع النشاط النصفى	العمر النصفى	العمر النصفى	النويدة المشعة
(بكريل/غرام)	(ثانية)		
3.21E+07	1.32E+14	4.20E+6 a	Tc-98
6.27E+08	6.72E+12	2.13E+5 a	Tc-99
1.94E+17	2.17E+04	6.02 h	Tc-99m
1.72E+16	2.51E+05	2.90 d	Ru-97
1.19E+15	3.40E+06	39.3 d	Ru-103
2.49E+17	1.60E+04	4.44 h	Ru-105
1.24E+14	3.19E+07	1.01 a	Ru-106
3.05E+15	1.38E+06	16.0 d	Rh-99
4.09E+13	1.01E+08	3.20 a	Rh-101
4.47E+13	9.15E+07	2.90 a	Rh-102
2.29E+14	1.79E+07	207 d	Rh-102m
1.20E+18	3.37E+03	56.12 min	Rh-103m
3.13E+16	1.27E+05	1.47 d	Rh-105
2.76E+15	1.47E+06	17.0 d	Pd-103
1.90E+07	2.05E+14	6.50E+6 a	Pd-107
7.92E+16	4.83E+04	13.427 h	Pd-109
1.12E+15	3.54E+06	41.0 d	Ag-105
9.65E+11	4.01E+09	1.27E+2 a	Ag-108m
1.76E+14	2.16E+07	250 d	Ag-110m
5.84E+15	6.44E+05	7.45 d	Ag-111
9.56E+13	4.01E+07	1.27 a	Cd-109
8.61E+12	4.29E+08	13.6 a	Cd-113m
1.88E+16	1.93E+05	2.23 d	Cd-115
9.42E+14	3.85E+06	44.6 d	Cd-115m
1.54E+16	2.45E+05	2.83 d	In-111
6.19E+17	5.97E+03	1.658 h	In-113m
8.56E+14	4.28E+06	49.5 d	In-114m
2.25E+17	1.61E+04	4.486 h	In-115m
3.72E+14	9.94E+06	115 d	Sn-113
3.04E+15	1.18E+06	13.6 d	Sn-117m
1.39E+14	2.53E+07	293 d	Sn-119m
1.99E+12	1.73E+09	55.0 a	Sn-121m
3.04E+14	1.11E+07	129 d	Sn-123
4.01E+15	8.33E+05	9.64 d	Sn-125
1.05E+09	3.15E+12	1.00E+5 a	Sn-126
1.47E+16	2.33E+05	2.70 d	Sb-122
6.47E+14	5.20E+06	60.2 d	Sb-124
3.82E+13	8.74E+07	2.77 a	Sb-125
3.09E+15	1.07E+06	12.4 d	Sb-126
2.35E+15	1.47E+06	17.0 d	Te-121
2.59E+14	1.33E+07	154 d	Te-121m
3.27E+14	1.04E+07	120 d	Te-123m
6.66E+14	5.01E+06	58.0 d	Te-125m

النوع النشاط النصفى	العمر النصفى	العمر النصفى	النويدة المشعة
(بكريل/غرام)	(ثانية)		
9.76E+16	3.37E+04	9.35 h	Te-127
3.49E+14	9.42E+06	109 d	Te-127m
7.75E+17	4.18E+03	69.6 min	Te-129
1.11E+15	2.90E+06	33.6 d	Te-129m
2.95E+16	1.08E+05	1.25 d	Te-131m
1.12E+16	2.82E+05	3.26 d	Te-132
7.14E+16	4.75E+04	13.2 h	I-123
9.32E+15	3.61E+05	4.18 d	I-124
6.43E+14	5.19E+06	60.1 d	I-125
2.95E+15	1.12E+06	13.0 d	I-126
6.53E+06	4.95E+14	1.57E+7 a	I-129
4.59E+15	6.95E+05	8.04 d	I-131
3.82E+17	8.28E+03	2.30 h	I-132
4.19E+16	7.49E+04	20.8 h	I-133
9.87E+17	3.16E+03	52.6 min	I-134
1.30E+17	2.38E+04	6.61 h	I-135
4.73E+16	7.24E+04	20.1 h	Xe-122
4.53E+17	7.49E+03	2.08 h	Xe-123
1.04E+15	3.15E+06	36.41d	Xe-127
3.10E+15	1.03E+06	11.9d	Xe-131m
6.92E+15	4.53E+05	5.245d	Xe-133
9.45E+16	3.27E+04	9.09 h	Xe-135
2.79E+16	1.16E+05	1.34 d	Cs-129
3.80E+15	8.37E+05	9.69 d	Cs-131
5.65E+15	5.60E+05	6.48 d	Cs-132
4.79E+13	6.50E+07	2.06 a	Cs-134
2.98E+17	1.04E+04	2.90 h	Cs-134m
4.26E+07	7.25E+13	2.30E+6 a	Cs-135
2.71E+15	1.13E+06	13.1 d	Cs-136
3.22E+12	9.46E+08	30.0 a	Cs-137
3.12E+15	1.02E+06	11.8 d	Ba-131
9.30E+12	3.37E+08	10.7 a	Ba-133
2.24E+16	1.40E+05	1.62 d	Ba-133m
2.72E+15	1.10E+06	12.7 d	Ba-140
1.61E+09	1.89E+12	6.00E+4 a	La-137
2.05E+16	1.45E+05	1.68 d	La-140
2.52E+14	1.19E+07	138 d	Ce-139
1.05E+15	2.81E+06	32.5 d	Ce-141
2.45E+16	1.19E+05	1.38 d	Ce-143
1.18E+14	2.45E+07	284 d	Ce-144
4.27E+16	6.89E+04	19.13 h	Pr-142
2.48E+15	1.18E+06	13.6 d	Pr-143
2.99E+15	9.50E+05	11.0 d	Nd-147

النوع النشاط النصفى	العمر النصفى	العمر النصفى	النويدة المشعة
(بكريل/غرام)	(ثانية)		
4.50E+17	6.23E+03	1.73 h	Nd-149
1.27E+14	2.29E+07	265 d	Pm-143
9.24E+13	3.14E+07	363 d	Pm-144
5.16E+12	5.58E+08	17.7 a	Pm-145
3.44E+13	8.26E+07	2.62 a	Pm-147
7.90E+14	3.57E+06	41.3 d	Pm-148m
1.47E+16	1.91E+05	2.21 d	Pm-149
2.71E+16	1.02E+05	1.18 d	Pm-151
9.80E+13	2.94E+07	340 d	Sm-145
8.49E+02	3.34E+18	1.1E+11 a	Sm-147
9.74E+11	2.84E+09	90.0 a	Sm-151
1.62E+16	1.68E+05	1.95 d	Sm-153
1.37E+15	2.07E+06	24.0 d	Eu-147
5.99E+14	4.71E+06	54.5 d	Eu-148
3.48E+14	8.04E+06	93.1 d	Eu-149
6.12E+16	4.54E+04	12.62 h	Eu-150a
2.58E+12	1.08E+09	34.2 a	Eu-150b
6.55E+12	4.19E+08	13.3 a	Eu-152
8.18E+16	3.36E+04	9.32 h	Eu-152m
9.76E+12	2.78E+08	8.80 a	Eu-154
1.72E+13	1.56E+08	4.96 a	Eu-155
2.04E+15	1.31E+06	15.2 d	Eu-156
6.85E+14	4.17E+06	48.3 d	Gd-146
9.61E+11	2.93E+09	93.0 a	Gd-148
1.30E+14	2.09E+07	242 d	Gd-153
3.93E+16	6.68E+04	18.56 h	Gd-159
5.62E+11	4.73E+09	1.50E+2 a	Tb-157
5.58E+11	4.73E+09	1.50E+2 a	Tb-158
4.17E+14	6.25E+06	72.3 d	Tb-160
2.11E+14	1.24E+07	144 d	Dy-159
3.01E+17	8.40E+03	2.334 h	Dy-165
8.56E+15	2.94E+05	3.40 d	Dy-166
2.60E+16	9.68E+04	1.12 d	Ho-166
6.64E+10	3.78E+10	1.20E+3 a	Ho-166m
3.07E+15	8.04E+05	9.30 d	Er-169
9.01E+16	2.71E+04	7.52 h	Er-171
3.13E+15	7.98E+05	9.24 d	Tm-167
2.20E+14	1.11E+07	129 d	Tm-170
4.03E+13	6.05E+07	1.92 a	Tm-171
8.93E+14	2.76E+06	32.0 d	Yb-169
6.59E+15	3.62E+05	4.19 d	Yb-175
4.19E+15	5.79E+05	6.70 d	Lu-172
5.58E+13	4.32E+07	1.37 a	Lu-173

النوع النشاط النصفى	العمر النصفى	العمر النصفى	النويدة المشعة
(بكريل/غرام)	(ثانية)		
2.30E+13	1.04E+08	3.31 a	Lu-174
1.95E+14	1.23E+07	142 d	Lu-174m
4.07E+15	5.80E+05	6.71 d	Lu-177
4.11E+13	5.90E+07	1.87 a	Hf-172
3.94E+14	6.05E+06	70.0 d	Hf-175
6.29E+14	3.66E+06	42.4 d	Hf-181
8.08E+06	2.84E+14	9.00E+6 a	Hf-182
2.96E+17	7.92E+03	2.2 h	Ta-178b
4.06E+13	5.74E+07	1.82 a	Ta-179
2.31E+14	9.94E+06	115 d	Ta-182
1.25E+15	1.87E+06	21.7 d	W-178
2.21E+14	1.05E+07	121 d	W-181
3.48E+14	6.49E+06	75.1 d	W-185
2.59E+16	8.60E+04	23.9 h	W-187
3.70E+14	6.00E+06	69.4 d	W-188
6.91E+14	3.28E+06	38.0 d	Re-184
1.59E+14	1.43E+07	165 d	Re-184m
6.87E+15	3.27E+05	3.78 d	Re-186
1.42E+03	1.58E+18	5.0E+10 a	Re-187
3.63E+16	6.11E+04	16.98 h	Re-188
2.53E+16	8.73E+04	1.01 d	Re-189
2.78E+14	8.12E+06	94.0 d	Os-185
1.64E+15	1.33E+06	15.4 d	Os-191
4.67E+16	4.68E+04	13.0 h	Os-191m
2.00E+16	1.08E+05	1.25 d	Os-193
1.14E+13	1.89E+08	6.00 a	Os-194
1.92E+15	1.15E+06	13.3 d	Ir-189
2.10E+15	1.05E+06	12.1 d	Ir-190
3.40E+14	6.39E+06	74.0 d	Ir-192
3.12E+16	6.89E+04	19.15 h	Ir-194
2.52E+15	8.81E+05	10.2 d	Pt-188
9.03E+15	2.42E+05	2.80 d	Pt-191
1.37E+12	1.58E+09	50.0 a	Pt-193
5.78E+15	3.74E+05	4.33 d	Pt-193m
6.16E+15	3.47E+05	4.02 d	Pt-195m
3.22E+16	6.59E+04	18.3 h	Pt-197
3.74E+17	5.66E+03	94.4 min	Pt-197m
3.41E+16	6.34E+04	17.6 h	Au-193
1.52E+16	1.42E+05	1.64 d	Au-194
1.35E+14	1.58E+07	183 d	Au-195
9.07E+15	2.32E+05	2.69 d	Au-198
7.73E+15	2.71E+05	3.14 d	Au-199
2.62E+11	8.20E+09	2.60E+2 a	Hg-194

النوع النشاط النصفى	العمر النصفى	العمر النصفى	النويدة المشعة
(بكريل/غرام)	(ثانية)		
1.43E+16	1.49E+05	1.73 d	Hg-195m
9.18E+15	2.31E+05	2.67 d	Hg-197
2.47E+16	8.57E+04	23.8 h	Hg-197m
5.11E+14	4.03E+06	46.6 d	Hg-203
2.22E+16	9.42E+04	1.09 d	Tl-200
7.90E+15	2.63E+05	3.04 d	Tl-201
1.96E+15	1.05E+06	12.2 d	Tl-202
1.72E+13	1.19E+08	3.78 a	Tl-204
6.13E+16	3.38E+04	9.40 h	Pb-201
2.18E+08	9.46E+12	3.00E+5 a	Pb-202
1.10E+16	1.87E+05	2.17 d	Pb-203
4.51E+06	4.51E+14	1.43E+7 a	Pb-205
2.83E+12	7.03E+08	22.3 a	Pb-210
5.14E+16	3.83E+04	10.64 h	Pb-212
1.54E+15	1.32E+06	15.3 d	Bi-205
3.76E+15	5.39E+05	6.24 d	Bi-206
1.68E+12	1.20E+09	38.0 a	Bi-207
4.59E+15	4.33E+05	5.01 d	Bi-210
2.10E+07	9.46E+13	3.00E+6 a	Bi-210m
5.42E+17	3.63E+03	60.55 min	Bi-212
1.67E+14	1.19E+07	138 d	Po-210
7.62E+16	2.60E+04	7.21 h	At-211
5.69E+15	3.30E+05	3.8235d	Rn-222
1.90E+15	9.85E+05	11.4 d	Ra-223
5.89E+15	3.16E+05	3.66 d	Ra-224
1.45E+15	1.28E+06	14.8 d	Ra-225
3.66E+10	5.05E+10	1.60E+3 a	Ra-226
1.01E+13	1.81E+08	5.75 a	Ra-228
2.15E+15	8.64E+05	10.0 d	Ac-225
2.67E+12	6.87E+08	21.8 a	Ac-227
8.29E+16	2.21E+04	6.13 h	Ac-228
1.14E+15	1.62E+06	18.7 d	Th-227
3.04E+13	6.02E+07	1.91 a	Th-228
7.87E+09	2.31E+11	7.34E+3 a	Th-229
7.47E+08	2.43E+12	7.70E+4 a	Th-230
1.97E+16	9.16E+04	1.06 d	Th-231
4.07E+03	4.42E+17	1.4E+10 a	Th-232
8.56E+14	2.08E+06	24.1 d	Th-234
1.21E+15	1.50E+06	17.4 d	Pa-230
1.75E+09	1.03E+12	3.27E+4 a	Pa-231
7.68E+14	2.33E+06	27.0 d	Pa-233
1.01E+15	1.80E+06	20.8 d	U-230
7.92E+11	2.27E+09	72.0 a	U-232

النوع النشاط النصفى	العمر النصفى	العمر النصفى	النويدة المشعة
(بكريل/غرام)	(ثانية)		
3.59E+08	4.98E+12	1.58E+5 a	U-233
2.32E+08	7.69E+12	2.44E+5 a	U-234
8.00E+04	2.22E+16	7.04E+8 a	U-235
2.40E+06	7.38E+14	2.34E+7 a	U-236
1.24E+04	1.41E+17	4.47E+9 a	U-238
5.21E+13	3.41E+07	1.08 a	Np-235
4.88E+08	3.63E+12	1.15E+5 a	Np-236b
2.18E+16	8.10E+04	22.5 h	Np-236a
2.61E+07	6.75E+13	2.14E+6 a	Np-237
8.56E+15	2.04E+05	2.36 d	Np-239
1.97E+13	8.99E+07	2.85 a	Pu-236
4.50E+14	3.91E+06	45.3 d	Pu-237
6.34E+11	2.77E+09	87.7 a	Pu-238
2.30E+09	7.60E+11	2.41E+4 a	Pu-239
8.43E+09	2.06E+11	6.54E+3 a	Pu-240
3.81E+12	4.54E+08	14.4 a	Pu-241
1.45E+08	1.19E+13	3.76E+5 a	Pu-242
6.57E+05	2.60E+15	8.26E+7 a	Pu-244
1.27E+11	1.36E+10	4.32E+2 a	Am-241
3.60E+11	4.79E+09	1.52E+2 a	Am-242m
7.38E+09	2.33E+11	7.38E+3 a	Am-243
4.70E+16	3.64E+04	10.1 h	Am-244
7.45E+14	2.33E+06	27.0 d	Cm-240
6.11E+14	2.83E+06	32.8 d	Cm-241
1.22E+14	1.41E+07	163 d	Cm-242
1.91E+12	8.99E+08	28.5 a	Cm-243
3.00E+12	5.71E+08	18.1 a	Cm-244
6.35E+09	2.68E+11	8.50E+3 a	Cm-245
1.14E+10	1.49E+11	4.73E+3 a	Cm-246
3.43E+06	4.92E+14	1.56E+7 a	Cm-247
1.57E+08	1.07E+13	3.39E+5 a	Cm-248
3.88E+10	4.35E+10	1.38E+3 a	Bk-247
6.06E+13	2.76E+07	320 d	Bk-249
5.83E+13	2.89E+07	334 d	Cf-248
1.52E+11	1.10E+10	3.50E+2 a	Cf-249
4.04E+12	4.13E+08	13.1 a	Cf-250
5.87E+10	2.83E+10	8.98E+2 a	Cf-251
1.99E+13	8.33E+07	2.64 a	Cf-252
1.07E+15	1.54E+06	17.8 d	Cf-253
3.14E+14	5.23E+06	60.5 d	Cf-254

أ بالسنوات (a)، والأيام (d)، وال ساعات (h) وال دقائق (min)

أ

## ثامناً - إنتاج النيوترونات

تبعد النيوترونات في العادة من المواد المشعة نتيجة لانشطار التلقائي أو تفاعل (ألفا - نيوترون). ويمكن أن تتطوي مبعثرات النيوترونات على خطر داخلي وخارجي على السواء. وفي حالة الأخذ الداخلي لمادة مشتقة محتوية على نويدات مشعة منشطة تلقائياً، استخدمت معاملات تحويل الجرعة المأخوذة من المرجعين [٤٩، و ٥٠] وأخذت في الحساب الجرعة الداخلية الناتجة عن النيوترونات والفوتونات الفورية والمتاخرة وجسيمات بيتا الناشئة عن الانشطار. وتتوقف حصيلة نيوترونات مصادر تفاعل (ألفا - نيوترون) على شكلها وتركيبها الفيزيائي. وتبلغ الحصيلة أعلى مستوى لها في المواد الصلبة ولا تذكر في المصادر المشتقة. ولذلك تحول تلك المصادر بعد تشتتها إلى خليط من الحبيبات المبعثرة لجسيمات ألفا بدون حصيلة نيوترونية تذكر. ويشكل المصدر بعد ذلك نفس الخطر الداخلي الذي يشكله الجزء المشتت المبعثث لألفا من مادة المصدر. وينظر النهج المبني على الخبرة والنهج القائم على المخاطر على السواء في المواد المشعة المبعثثة للنيوترونات كمصدر خاص من مصادر التعرض الخارجي.

وافرض في النهج المبني على الخبرة أن حصيلة نيوترونات خليط البلوتونيوم - ٢٣٩/البريليوم - ٩ والأميريشيوم - ٢٤١ (النيوترونات الناشئة عن تفاعل (ألفا - نيوترون)) تساوي  $6 \times 10^{-6}$  نيوترون/(بكريل × ثانية) [٤٧] وحسبت معاملات تحويل الجرعة على النحو المبين في التذييل الرابع. وفيما يتعلق بالكاليفورنيوم - ٢٥٢ (الانشطار التلقائي) استُخدم معامل تحويل معدل الجرعة الخارجية نقاً عن المرجع [٤٦].

ويتضمن الجدول ٢٧ حصائل مصادر النيوترونات المستخدمة في النهج القائم على المخاطر. وتناول هذا النهج نويدات الكوريوم - ٢٤٨، والكاليفورنيوم - ٢٥٠، والكاليفورنيوم - ٢٥٢، والكاليفورنيوم ٢٥٤ المنشطة تلقائياً. وتحتاج أطياف طاقة نيوترونات الانشطار باختلاف النوى، ولكن هذه الفروق أصغر من أن تقضي إلى فروق ملموسة في معاملات تحويل الجرعة في حالة الكوريوم - ٢٤٨ والكاليفورنيوم - ٢٥٠ والكاليفورنيوم - ٢٥٢ والكاليفورنيوم - ٢٥٤. ولذلك استُخدم طيف الطاقة غير المعدل للنيوترونات الناتجة عن انشطار الكاليفورنيوم - ٢٥٢ نقاً عن المرجع [٤٨] لتقدير معاملات تحويل جرعة جميع النويدات المشعة المنشطة تلقائياً. ويحدث أيضاً ابتعاث للفوتونات الفورية والمتاخرة وكذلك جسيمات بيتا بعد الانشطار التلقائي على النحو المبين في المرجع [٦٥]. وتحمل هذه الإشعاعات جزءاً كبيراً من طاقة الانشطار التلقائي وتشكل هي الأخرى خطراً خارجياً. وتبتعد مصادر البلوتونيوم - ٢٣٩/البريليوم - ٩ والأميريشيوم - ٢٤١/البريليوم - ٩ نيوترونات ناتجة عن تفاعل (ألفا - نيوترون) مع البريليوم. وبؤدي هذا التفاعل في البريليوم - ٩ إلى انشطار ٤،٤ ميغا إلكترون فولط من الفوتونات، وتبلغ النسبة بين الفوتونات والنيوترونات ما يقرب من ٦٠ إلى ١ [٦٦]. ويتوقف طيف الطاقة للنيوترونات المتولدة في تفاعل (ألفا - نيوترون) على طاقة جسيمة ألفا التفاعلية. على أن الفرق بين طاقة جسيمات ألفا في البلوتونيوم -  $E_{\alpha} = 239$  ميغا إلكترون فولط) وطاقة جسيمات ألفا في الأميركيشيوم -  $E_{\alpha} = 241$  ميغا إلكترون فولط) صغير بالقدر الذي لا ينجم عنه سوى فروق ضئيلة بين طيف إلكترونات البلوتونيوم - ٢٣٩/البريليوم - ٩ والأميريشيوم - ٢٤١/البريليوم - ٩. ولذلك استُخدم طيف الطاقة غير المعدل للنيوترونات الناتجة عن مصدر الأميركيشيوم - ٢٤١/بريليوم - ٩ حسب ما هو وارد في المرجع [٤٨] لحساب معاملات تحويل جرعة هذين المصدرين.

## الجدول ٢٧: البارامترات النووية لمبعثات النيوترونات المشعة

مصدر النيوترونات	منشأ النيوترونات	حصيلة طاقة الفوتونات <sup>١</sup>	البارامتر النووي
		حصيلة النيوترونات	حصيلة طاقة الفوتونات <sup>١</sup>
كوربيوم - ٢٤٨	انشطار تلقائي	٢.٦E-٠١ [٣٨]	١.٣E+٠٠ [٣٨, ٦٥] (نيوترون/(بكريل × ثانية)) ميغا إلكترون فولط/(بكريل/ثانية))
كاليفورنيوم - ٢٥٠	انشطار تلقائي	٢.٧E-٠٣ [٣٨]	١.١E-٠٢ [٣٨, ٦٥]
كاليفورنيوم - ٢٥٢	انشطار تلقائي	١.١E-٠١ [٣٨]	٤.٧E-٠١ [٣٨, ٦٥]
كاليفورنيوم - ٢٥٤	انشطار تلقائي	٣.٩E+٠٠ [٣٨]	١.٧E+٠١ [٣٨, ٦٥]
بلوتونيوم - ٢٣٩ /بريليوم - ٢٩	تفاعل (ألفا - نيوترون)	٦.٠E-٠٥ [٦٧]	٩.٤E-٠٤ [٣٨, ٦٥]
أميريشيوم - ٢٤١ /بريليوم - ٩	تفاعل (ألفا - نيوترون)	٧.٥E-٠٥ [٣٨]	٣.٢E-٠٢ [٣٨, ٦٥]

أ يشمل هذا البارامتر الفوتونات الناشئة عن اضمحلال ألفا وبينما والناشئة أيضاً عن الانشطار التلقائي أو تفاعل (ألفا - نيوترون).

ب النشاط المشار إليه في الجدول هو نشاط النويدة المشعة المبتعنة لألفا، مثل البلوتونيوم - ٢٣٩ أو الأميريشيوم - ٢٤١.

### ثامناً - ٣ - سلاسل الاضمحلال المشع

تحدد جميع قيم D من حيث نشاط المصدر عند تصنيعه. ويشار إلى ذلك بأنه النشاط الأولي للنويدة المشعة الأم في المصدر أو يشار إليه اختصاراً بأنه النشاط الأولي للمصدر. ومراعاة للتغيرات التي تحدث في الخواص الإشعاعية للنويدات المشعة في المصدر بمرور الوقت فقد حسبت قيم D لأخطر خليط من النويدات المشعة الأم ونواتجها الوليدة حتى الحد الأقصى للعمر البالغ ١٠ سنوات.

#### ثامناً-١-٣ - النهج المبني على الخبرة

يتناول النهج المبني على الخبر الاضمحلال والنمو الداخلي بطريقة مبسّطة ومحفظة حيث افترض أن كل النواتج الوليدة كانت في حالة توازن مع النشاط الأولي للنويدة الأم في أثناء التعرض البشري في حالة الطوارئ. وكان الاستثناء من ذلك هو الاضمحلال المتسلسل للبلوتونيوم - ٢٤١/الأميريشيوم - ٢٤١ وأضيف ببساطة النمو الداخلي للأميريشيوم - ٢٤١ على امتداد ١٠ سنوات إلى الكمية الأولية من البلوتونيوم - ٢٤١. ولذلك افترض عند حساب قيم D وجود ٠٠٢ بكريل من الأميريشيوم - ٢٤١ أيضاً مع كل بكريل من البلوتونيوم - ٢٤١ في بداية التعرض.

#### ثامناً-٢-٣ - النهج القائم على المخاطر

يحسب النهج القائم على المخاطر الاضمحلال والنمو الداخلي عن طريق استخدام معامل تحويل الجرعة المعدل على النحو المبين أدناه. وأسندت قيمة معامل تحويل الجرعة المعدلة للنشاط الأولي وأخذ في الحسبان اضمحلال النويدة المشعة الأم والنمو الداخلي للنواتج وخواصها النووية. وافتراض حدوث تعرض من المصدر عندما تحتوى على أخطر خليط من النويدات المشعة المتولدة عن اضمحلال النويدة المشعة الأم. مثل ذلك أن مصدر الراديوم - ٢٢٥ له أعلى معامل لتحويل الجرعة المعدلة لتشعيع المنطقة السنخية من الجهاز التنفسى (النسيج R<sup>٣</sup>) بعد تسعه أيام وتشعيع النخاع الأحمر (النسيج ٢) بعد ١٦ يوماً. والبلوتونيوم - ٢٤١ هو الأخطر بعد ١٠ سنوات عندما يفترض وجود ٠٠٦٢ بكريل من البلوتونيوم - ٢٤١ و٠٠١٢ بكريل من الأميريشيوم - ٢٤١ لكل بكريل من النشاط الأولي للبلوتونيوم - ٢٤١. وفيما يلى وصف تفصيلي للأسلوب المستخدم في حساب الاضمحلال المتسلسل وفقاً للنهج القائم على المخاطر.

وتنتج التويدة المشعة الأم نواتج وليدة في أثناء الأضمحلال المشع. وإذا كانت النواتج مشعة فإنها تشكل مع التويدة المشعة الأم سلسلة أضمحلال مشع. وقد يعبر عن هذه السلسلة على النحو التالي:

(٧٢)

$$P \xrightarrow{\lambda_p} D \xrightarrow{\lambda_D} \dots$$

حيث:

”P“ و ”D“ هما نواتج التويدة المشعة الأم و الوليدة (الناتجة)؛

$\lambda_p$  و  $\lambda_D$  هما ثابتان أضمحلال للتويدة المشعة الأم و الوليدة،  $s^{-1}$ .

ويبدأ أضمحلال التويدة المشعة الأولية (الأم) عندما يكون  $t$  صفرًا في الوقت الذي يصفع فيه المصدر ويكون عدد نوى التويدة المشعة الوليدة صفرًا،  $N_D(0) = 0$ . وعندما يكون العمر  $t >$  صفر فإن المصدر يحتوي على خليط من نوى الأضمحلال المتسلسل. وتعتبر أنشطة التويدة المشعة الأم و الوليدة في المصدر دالة للزمن:

(٧٣)

$$A_p(t) = A_p(0) \times \exp(-\lambda_p t)$$

(٧٤)

$$A_D(t) = A_p(0) \frac{\lambda_D}{\lambda_D - \lambda_p} [\exp(-\lambda_p t) - \exp(-\lambda_D t)]$$

حيث:

$A_p(t)$  هو نشاط التويدة المشعة الأم عند الزمن  $t$ ، بكريل؛

$A_D(t)$  هو نشاط التويدة المشعة الأم عند الزمن  $t$ ، بكريل؛

$A_p(0)$  هو النشاط الأولي للتويدة المشعة الأم عند  $t = 0$  صفرًا، بكريل؛

$\lambda_p$  و  $\lambda_D$  هما ثابتان أضمحلال التويدة المشعة الأم و الوليدة على التوالي،  $s^{-1}$ .

وعندما يكون العمر  $t >$  صفر فإن المصدر يسبب تعرضاً يسفر عن جرعة  $D(t)$  تبعاً لإشعاعية التويدات المشعة المتسلسلة:

(٧٥)

$$D(t) = [A_p(t) \times CF_p + A_D(t) \times CF_D] \times F$$

حيث:

$CF_p$  و  $CF_D$  هما معاملات تحويل جرعة التويدة المشعة الأم و الوليدة (معاملات تحويل الجرعة الممتصة، والجرعة المرجحة بالفعالية البيولوجية النسبية، إلخ)؛

$F$  هو ناتج عوامل التعرض وفقاً للسيناريو المعين؛

$\lambda_p$  و  $\lambda_D$  هما ثابتان أضمحلال التويدات المشعة الأم و الوليدة على التوالي،  $s^{-1}$ .

وإذا كانت الجرعة  $D(t)$  منتظمة بالنطاق الأولي للمصدر  $(A_p(0))$  فيمكن التعبير عنها بالمعادلة التالية:

$$(76) \quad D(t) = A_p(0) \times CF_{p+D}(t) \times F$$

حيث:

$A_p(0)$  هو النشاط الأولي للنوبية المشعة الأم عند  $t = 0$ ، بكريل؛

$F$  هو ناتج معاملات التعرض وفقاً للسيناريو المعين؛

$CF_{p+D}(t)$  هو معامل تحويل الجرعة المعدلة لوحدة النشاط الأولي للنوبية المشعة الأم عند العمر  $t$  (عندما يخرج المصدر عن نطاق السيطرة). وبعدأخذ المعادلات (73)، و(74)، و(75)، و(76) في الحسبان، يمكن كتابة ذلك بالصيغة التالية:

$$(77) \quad CF_{p+D}(t) = CF_p \times \exp(-\lambda_p t) + CF_D \frac{\lambda_D}{\lambda_D - \lambda_p} [\exp(-\lambda_p t) - \exp(-\lambda_D t)]$$

وتبلغ قيمة  $D(t)$  حداً أقصى عندما يكون  $t = t_{max}$  وتبلغ أيضاً قيمة  $CF_{p+D}(t_{max})$  حداً أقصى. وتتوقف قيمة  $t_{max}$  على خواص النوبيدات المتسلسلة وتنقيذ بالحد الأقصى للعمر البالغ ١٠ سنوات للمصدر:

$$(78) \quad t_{max} = \begin{cases} 0, & \text{if } \tau \leq 0; \\ \tau, & \text{if } 0 < \tau < 10 \text{ years}; \\ 10 \text{ years}, & \text{if } 10 \text{ years} < \tau, \end{cases}$$

و

$$(79) \quad \tau = \begin{cases} 0, & \text{if } CF_D \lambda_D \leq CF_p \lambda_p; \\ \frac{1}{\lambda_p - \lambda_D} \ln \left[ \left( \frac{CF_p}{CF_D} + 1 \right) \frac{\lambda_p}{\lambda_D} - \frac{CF_p}{CF_D} \left( \frac{\lambda_p}{\lambda_D} \right)^2 \right], & \text{if } CF_D \lambda_D > CF_p \lambda_p. \end{cases}$$

وتحدد القيمة القصوى لمعامل تحويل الجرعة المعدلة للنشاط الأولي لنوبية مشعة أم في مصدر  $CF_{p+D}$  عن طريق المعادلة التالية:

$$(80) \quad CF_{p+D}(t_{max}) = \begin{cases} CF_p, & \text{if } CF_D \lambda_D \leq CF_p \lambda_p; \\ CF_{p+D}(t_{max}), & \text{if } CF_D \lambda_D > CF_p \lambda_p, \end{cases}$$

حيث قيمة  $CF_{p+D}(t_{max})$  تحددها المعادلة (77) لقيمة  $t = t_{max}$  المحددة بالمعادلة (78).

وينشأ عن بعض النوبيدات المشعة الواردة في الجدول ٢٦ أكثر من ناتج. وتنطبق اللوغاريتمات المبينة أعلاه لقطاع من سلسلة مشعة بسيطة أيضاً على الحالة الأعم وفقاً للعلاقة التالية:

$$(81) \quad A_n(t) = A_p(0) \frac{\lambda_n}{\lambda_p} \sum_{i=0}^n q_{n,i} \exp(-\lambda_i t), \quad n = 0, 1, .$$

حيث:

$q_{n,i}$  هي المعاملات المرتبطة من خلال معادلة متكررة

$$(82) \quad q_{n,i} = -\frac{\lambda_{n-1}}{\lambda_i - \lambda_n} q_{n-1,i}, i = 0,.., n-1, \text{ and } q_{0,0} = 1;$$

$$(83) \quad q_{n,n} = -\sum_{i=0}^{n-1} q_{n,i}$$

$\lambda$  هو ثابت اضمحلال عدد النواتج  $n$  في السلسلة التي يكون فيها المؤشر القياسي للنويدة المشعة الأم صفرًا.

واستخدم اللوغاريتم الممتد لتقدير معاملات تحويل الجرعة للتلوريوم - ١٣١ شبه المستقر، والراديوم - ٢٢٤، والراديوم - ٢٢٥، والراديوم - ٢٢٨، والأكتينيوم - ٢٢٧، والثوريوم - ٢٢٧، والثوريوم - ٢٢٨، والثوريوم - ٢٢٩، والثوريوم - ٢٣٢، والبروتكتنيوم - ٢٣٠، والليورانيوم - ٢٣١، والليورانيوم - ٢٣٢، والليورانيوم - ٢٣٤، والليورانيوم - ٢٣٨، والأميريشيوم - ٢٤٢ شبه المستقر.

#### ثامناً -٤- الحرجية

تم أيضاً عند تحديد قيم D تقدير النشاط الأولي الذي يعتبر خطيراً في مختلف سيناريوهات التعرض استناداً إلى معيار لكافلة عدم وجود ما يدعو إلى القلق من حدوث حرجية، وذلك بوضع حد لنشاط الحرجية (A<sub>0</sub>) . ويمكن للكثير من النويدات المشعة التي يزيد عددها الذري (Z) على ٨٧ أن تدعم تفاعلاً انشطارياً متسلسلاً. وتضع المراجع [٦٨ و ٦٩ و ٧٠] حدوداً للكتلة دون الحرجة التي يمكن عندها استخدام النظائر بأمان دون التعرض لخطر الحرجية. ويتضمن الجدول ٢٨ تلك الحدود بالإضافة إلى حد الحرجية بعد تحويله إلى نشاط A<sub>0</sub>. وبالإضافة إلى ذلك، يمكن لأي فريق يتمتع بقدرة تقنية كبيرة أن يستخدم البلوتونيوم الشديد الإثارة في بناء جهاز تفجير نووي. واعترافاً بإمكانية القيام بذلك، تتضمن الوثيقة INFCIRC/225/Rev.4 المعروفة باسم "الحماية المادية للمواد النووية والمرافق النووية" [٧١] توصيات بشأن الحماية المادية للمواد النووية من السحب دون إذن وحماية المواد أو المرافق النووية من التخريب. ووضع هذا المنشور الصادر عن الوكالة [٧١] إرشادات بشأن ثلاث فئات من المواد النووية. ويرتبط بكل فئة من هذه الفئات الثلاث مستوى موصى به لتدابير الحماية النووية على أساس الخطر المحتمل لتلك المواد المستخدمة في التفجير النووي. ووفقاً للمرجع [٧١] فإن "فئة المواد النووية الثانية" هي أقل مستوى يتطلب اتخاذ تدابير أمنية صارمة ويفقضي استجابة فورية لاستعادة السيطرة فوراً على المواد المفقودة أو المسروقة. ويبين الجدول ٢٨ أيضاً المعايير التي تستند إليها "فئة المواد النووية الثانية".

وعند تحديد قيمة حد نشاط الحرجية A<sub>0</sub>، أعطيت الأولوية للمعايير المعتمدة من المجتمع الدولي في المرجع [٧١]. ويتبين من الجدول ٢٨ أن معايير الإدراج في "فئة المواد النووية الثانية"، باستثناء البلوتونيوم - ٤١، أقل من حدود الحرجية الواردة في المرجعين [٦٨ و ٦٩]. ويتعلق حد حرجية البلوتونيوم - ٤١ الوارد في المرجع [٦٩] بمحلول مائي ولا ينطوي ذلك إلا في حالة تحديد قيمة D<sub>2</sub> (المادة المشتقة). ويتوقع أن يزيد حد الحرجية للحالة الصلبة المستخدمة في تحديد الكمية الخطيرة من مادة غير مشتقة (قيمة D<sub>1</sub>) عن حد الحرجية للمحلول المائي بقدر خمسة أضعاف أو أكثر. ومن شأن ذلك أن يجعل حد حرجية الشكل الصلب يتجاوز معيار الإدراج في "فئة المواد النووية الثانية". ولذلك فقد استخدمت معايير إدراج البلوتونيوم أو الليورانيوم الشديد الإثارة أو الليورانيوم - ٢٣٥ في "فئة المواد النووية الثانية" عند تحديد قيمة D. واستخدمت القيم الدنيا المأخوذة من المراجع [٦٨ و ٦٩ و ٧٠] كمعايير لخطر الحرجية في حالة النويدات المشعة التي لم تتناولها الوثيقة INFCIRC/225/Rev.4. وافتراض أن أي مقدار من النويدات المشعة التي يقل عددها الذري Z عن ٨٧

الواردة في الجدول ٢٦ يكون غير محدود بالنسبة لخطر الحرجية باستثناء الرادون - ٢٢٢ الذي ترد قيمة حد نشاط حرجيته  $A_C$  في الجدول ٢٨.

## الجدول ٢٨: قيم حدود الحرجية

A <sub>C</sub> (تيرا بكريل)	M <sub>C</sub> (غرام)	معايير فئة D	معايير الحرجية المستخدمة في قيم المواد النوية الثانية [٧١]	تقديرات حد الحرجية			النويدة المشعة
				المرجع [٦٨] (غرام)	المرجع [٦٩] (غرام)	المرجع [٧٠] (غرام)	
8.5E+04	1.5E+01			1.5E+01			Rn-222
2.9E+04	1.5E+01			1.5E+01			Ra-223
8.8E+04	1.5E+01			1.5E+01			Ra-224
2.2E+04	1.5E+01			1.5E+01			Ra-225
غير محدود	غير محدود			غير محدود			Ra-226
1.5E+02	1.5E+01			1.5E+01			Ra-228
غير محدود	غير محدود			غير محدود			Ac-227
4.0E+01	1.5E+01			1.5E+01			Ac-225
1.2E+06	1.5E+01			1.5E+01			Ac-228
1.7E+04	1.5E+01			1.5E+01			Th-227
غير محدود	غير محدود			غير محدود			Th-228
غير محدود	غير محدود			غير محدود			Th-229
غير محدود	غير محدود			غير محدود			Th-230
3.0E+05	1.5E+01			1.5E+01			Th-231
غير محدود	غير محدود			غير محدود			Th-232
1.3E+04	1.5E+01			1.5E+01			Th-234
1.8E+04	1.5E+01			1.5E+01			Pa-230
1.8E+01	1.0E+04			1.0E+04			Pa-231
1.2E+04	1.5E+01			1.5E+01			Pa-233
1.5E+04	1.5E+01			1.5E+01			U-230
4.0E+02	5.0E+02			5.0E+02			U-232
7.0E-02	2.0E+02			1.95E+02		5.5E+02	U-233
						6.7E+02	
1.2E-01	5.0E+02			5.0E+02			U-234
8.0E-05	1.E+03			1.E+03	2.9E+02	7.6E+02	U-235
8.0E-05	1.E+03			1.E+03		2.0E+04	<sup>235</sup> U > 20%
8.0E-04	1.E+04			1.E+04			<sup>235</sup> U 10% - 20%
غير محدود	غير محدود			غير محدود			U-236
غير محدود	غير محدود			غير محدود			U-238
2.6E+04	5.0E+02			5.0E+02			Np-235
7.3E-03	1.5E+01			1.5E+01			Np-236b
3.3E+05	1.5E+01			1.5E+01			Np-236a
2.6E-01	1.0E+04			1.0E+04	2.0E+04	2.0E+04	Np-237
						3.0E+04	

D	معايير فئة المواد النووية			تقديرات حد الحرجة			النويدة المشعة
	A <sub>C</sub>	M <sub>C</sub>	الثانية [٧١]	[٧٠]	المراجع [٦٩]	[٦٨]	
(تيرا بكريل)	(غرام)	(غرام)	(غرام)	(غرام)	(غرام)	(غرام)	
غير محدود	غير محدود	غير محدود	غير محدود	غير محدود	غير محدود	غير محدود	Np-239
9.9E+03	5.0E+02	5.E+02	5.0E+02				Pu-236
6.8E+03	1.5E+01	5.E+02	1.5E+01				Pu-237
3.0E+02	5.E+02	5.E+02	1.0E+03	3.0E+03			Pu-238
				4.0E+03			
1.0E+00	5.E+02	5.E+02	1.45E+02	4.5E+02	5.1E+02		Pu-239
					5.0E+03		
4.0E+00	5.E+02	5.E+02	1.0E+04	1.5E+04			Pu-240
				2.0E+04			
2.0E+03	5.E+02	5.E+02	6.0E+01	2.0E+02			Pu-241
7.0E-02	5.E+02	5.E+02	1.8E+04	4.0E+04			Pu-242
				6.0E+04			
3.3E-04	5.0E+02	5.E+02	5.0E+02				Pu-244
1.3E+03	1.0E+04		1.0E+04	1.6E+04			Am-241
				2.4E+04			
1.4E+00	4.0E+00		4.0E+00	1.3E+01			Am-242m
7.4E+01	1.0E+04		1.0E+04	2.5E+04			Am-243
				3.5E+04			
9.4E+04	2.0E+00		2.0E+00				Am-244
1.5E+03	2.0E+00		2.0E+00				Cm-240
1.2E+03	2.0E+00		2.0E+00				Cm-241
6.1E+04	5.0E+02		5.0E+02				Cm-242
6.7E+01	3.5E+01		3.5E+01	9.0E+01			Cm-243
3.0E+03	1.0E+03		1.0E+03	3.0E+03			Cm-244
				5.0E+03			
8.9E-02	1.4E+01		1.4E+01	3.0E+01			Cm-245
5.7E+00	5.0E+02		5.0E+02				Cm-246
1.0E-03	3.0E+02		3.0E+02	9.0E+02			Cm-247
7.9E-02	5.0E+02		5.0E+02				Cm-248
7.8E-02	2.0E+00		2.0E+00				Bk-247
3.0E+04	5.0E+02		5.0E+02				Bk-249
1.2E+02	2.0E+00		2.0E+00				Cf-248
6.1E-01	4.0E+00		4.0E+00	1.0E+01			Cf-249
8.1E+00	2.0E+00		2.0E+00	5.0E+00			Cf-251
2.9E+01	5.0E+02		5.0E+02				Cf-250
1.0E+04	5.0E+02		5.0E+02				Cf-252
2.1E+03	2.0E+00		2.0E+00				Cf-253
6.3E+02	2.0E+00		2.0E+00				Cf-254

أ فئة المواد النووية الثانية.

ب القيمة المحددة مقدماً للنظام التي يكون عددها الذري  $Z \geq 88 > 90$ .

ج بيانات المحاليل المائية الواردة في الجدول ١ من المرجع [٦٨].

- د بيانات الفلزات الواردة في الجدول ٢ من المرجع [٦٨].
- ه يعبر عن حد نشاط الحرجة  $C_A$  من حيث نشاط اليورانيوم - ٢٣٥. ومجموع نشاط كل وحدة من كتلة اليورانيوم المثير يشمل اليورانيوم - ٢٣٤ الذي يتم تركيزه في أثناء عملية الإثراء، فضلاً عن نشاط اليورانيوم - ٢٣٨ على النحو المبين في المرجع [٣٥].
- و بيانات الفلزات الواردة في الجدول ١ من المرجع [٦٩].
- ز بيانات المحاليل المائية لنويديات الأكتينيات غير الانشطارية الواردة في الجدول ١ من المرجع [٦٩].
- ح بيانات المحاليل المائية لنويديات الأكتينيات الانشطارية الواردة في الجدول ٢ من المرجع [٦٩].
- ط القيمة المحددة مقدماً للناظر التي يكون عددها الذري  $Z \geq 95 > 99$ .

## ثامناً-٥. السمية الكيميائية

يُحثّت السمية الكيميائية للمصادر المشتتة بمقارنة التركيزات التي تشكل خطراً مباشراً يحدق بالحياة أو الصحة [٧٢] مع التركيزات العالقة في الهواء الناجمة عن إطلاق مادة تعادل كتلتها قيمة  $D_2$  في غرفة وتحسب قيمتها باستعمال المعادلة التالية:

$$(٨٤) C = \frac{D_2 \times RRF}{SA \times V}$$

حيث:

$C$  التركيز العالق في الهواء من المادة المشتتة،  $\text{غم}/\text{م}^3$ ؛

$D_2$  هي قيمة  $D_2$  بالبكريل وترد في الجدول ١؛

$SA$  هو النشاط النوعي للنوبيدة المشعة (بكريل/غرام)، ويرد في الجدول ٢٦؛

$V$  هو حجم الغرفة التي انطلقت فيها المادة،  $1000 \text{ م}^3$ ؛

$RRF$  هو الجزء الكسري من الإطلاق القابل للاستنشاق من النشاط الأولي في مصدر ويساوي ٠,١ على النحو المبين في السيناريو الثالث (التذليل الثاني).

وتعتبر التركيزات التي تشكل خطراً مباشراً يحدق بالصحة أو الحياة (أو التركيزات التي حددتها المعهد الوطني للأمان والصحة المهنية بأنها تشكل خطراً مباشراً يحدق بالحياة أو الصحة) الحد الذي لا يقدر الفرد بعده على تلافي الوفاة أو حدوث إصابة دائمة بدون الحصول على مساعدة في أقل من ثلاثين دقيقة. وحيثما تعذر الحصول على التركيزات التي تشكل خطراً مباشراً يحدق بالحياة أو الصحة من المرجع [٧٢]، افترض أن تلك التركيزات تبلغ  $10 \text{ ملغ}/\text{م}^3$ ، ويمثل ذلك أقل حد للتركيزات التي تشكل خطراً مباشراً يحدق بالحياة أو الصحة. وتبيّن أن التركيزات العالقة في الهواء  $C$  المشتقة من قيمة  $D_2$  لكل النويديات المشعة تقريباً على النحو المبين في المعادلة (٨٤) تقل  $10$  أضعاف عن التركيزات التي تشكل خطراً مباشراً يحدق بالحياة أو الصحة وتقل في معظم الحالات بمقدار  $1000$  ضعف أو أكثر عن التركيزات التي تشكل خطراً مباشراً يحدق بالحياة أو الصحة. وفي حالة النويديات المشعة لليورانيوم (وربما الثوريوم) التي لها قيمة  $D_2$  غير محدودة فإن السمية الكيميائية الناجمة عن التشتت يمكن أن تشكل مصدراً للقلق. وأضيفت ملاحظات احترازية في قائمة قيم  $D$  في الجدول ١ للنويديات المشعة التي تقارب أو تتجاوز تركيزاتها العالقة في الهواء المحسوبة بالمعادلة [٨٤] التركيزات التي تشكل خطراً مباشراً يحدق بالحياة أو الصحة أو  $10 \text{ ملغ}/\text{م}^3$  (عند الاقضاء).



## المراجع

- [١] منظمة الأغذية والزراعة للأمم المتحدة، والوكالة الدولية للطاقة الذرية، ومنظمة العمل الدولية، ووكالة الطاقة النووية التابعة لمنظمة التعاون والتنمية في الميدان الاقتصادي، ومنظمة الصحة للبلدان الأمريكية، ومكتب الأمم المتحدة لتنسيق الشؤون الإنسانية، ومنظمة الصحة العالمية، التأهب للطوارئ النووية أو الإشعاعية والتصدي لها، متطلبات الأمان، سلسلة معايير الأمان، رقم GS-R-2، الوكالة الدولية للطاقة الذرية، فيينا (٢٠٠٢).
- [http://www-pub.iaea.org/MTCD/publications/PDF/Pub1133a\\_web.pdf](http://www-pub.iaea.org/MTCD/publications/PDF/Pub1133a_web.pdf)
- [٢] الوكالة الدولية للطاقة الذرية، طريقة لوضع ترتيبات التصدي للطوارئ النووية أو الإشعاعية، EPR- METHOD ، الوكالة الدولية للطاقة الذرية، فيينا (٢٠٠٩).
- [http://www-pub.iaea.org/MTCD/publications/PDF/Method2003\\_a\\_web.pdf](http://www-pub.iaea.org/MTCD/publications/PDF/Method2003_a_web.pdf)
- [٣] INTERNATIONAL ATOMIC ENERGY AGENCY, Arrangements for Preparedness for a Nuclear or Radiological Emergency. Safety Standards Series No GS-G-2.1, IAEA, Vienna, (2006).
- [http://www-pub.iaea.org/MTCD/publications/PDF/Pub1265\\_web.pdf](http://www-pub.iaea.org/MTCD/publications/PDF/Pub1265_web.pdf)
- [٤] الوكالة الدولية للطاقة الذرية، تصنيف المصادر المشعة، سلسلة معايير الأمان، رقم RS-G-1.9، الوكالة الدولية للطاقة الذرية، فيينا، (٢٠٠٩)
- [http://www-pub.iaea.org/MTCD/publications/PDF/Pub1227a\\_web.pdf](http://www-pub.iaea.org/MTCD/publications/PDF/Pub1227a_web.pdf)
- [٥] الوكالة الدولية للطاقة الذرية، مدونة قواعد السلوك بشأن أمان المصادر الإشعاعية وأمنها، الوكالة الدولية للطاقة الذرية، فيينا، (٢٠٠٤)
- [http://www-pub.iaea.org/MTCD/publications/PDF/Code-2004\\_web.pdf](http://www-pub.iaea.org/MTCD/publications/PDF/Code-2004_web.pdf)
- [٦] الوكالة الدولية للطاقة الذرية، لائحة النقل المأمون للمواد المشعة: طبعة ٢٠٠٩، - سلسلة معايير الأمان، رقم TS-R-1، الوكالة الدولية للطاقة الذرية، فيينا (٢٠٠٩).
- [http://www-pub.iaea.org/MTCD/publications/PDF/Pub1384a\\_web.pdf](http://www-pub.iaea.org/MTCD/publications/PDF/Pub1384a_web.pdf)
- [٧] INTERNATIONAL COMMISSION ON RADIOLOGICAL PROTECTION. Age-dependent Doses to member of the Public from Intake of Radionuclides: Part 4 Inhalation Dose Coefficients. Annals of the ICRP, v. 25 no. 3-4. ICRP publication 71. Pergamon Press, Oxford: ICRP, 1995
- [٨] INTERNATIONAL ATOMIC ENERGY AGENCY, The radiological accident at the irradiation facility in Nesvizh. IAEA, Vienna (1996).
- [http://www-pub.iaea.org/MTCD/publications/PDF/Pub1010\\_web.pdf](http://www-pub.iaea.org/MTCD/publications/PDF/Pub1010_web.pdf)
- [٩] INTERNATIONAL ATOMIC ENERGY AGENCY, Report on the preliminary fact finding mission following the accident at the nuclear fuel processing facility in Tokaimura, Japan. IAEA, Vienna (1999).
- [http://www-pub.iaea.org/MTCD/publications/PDF/TOAC\\_web.pdf](http://www-pub.iaea.org/MTCD/publications/PDF/TOAC_web.pdf)
- [١٠] INTERNATIONAL ATOMIC ENERGY AGENCY, Intervention Criteria in a Nuclear or Radiation Emergency, Safety Series No. 109. IAEA, Vienna (1994).

[١١] منظمة الأمم المتحدة للأغذية والزراعة، والوكالة الدولية للطاقة الذرية، ومنظمة العمل الدولية، ووكالة الطاقة النووية التابعة لمنظمة التعاون والتنمية في الميدان الاقتصادي، ومنظمة الصحة للبلدان الأمريكية، ومنظمة الصحة العالمية، معايير الأمان الأساسية الدولية للوقاية من الإشعاعات المؤينة وأمان المصادر الإشعاعية، سلسلة وثائق الأمان – العدد رقم ١١٥ ، الوكالة الدولية للطاقة الذرية، فيينا، (١٩٩٦).

[http://www-pub.iaea.org/MTCD/publications/PDF/SS-115a-Web/Pub996a\\_web-1.pdf](http://www-pub.iaea.org/MTCD/publications/PDF/SS-115a-Web/Pub996a_web-1.pdf)

- [12] U.S. NUCLEAR REGULATORY COMMISSION, Abrahamson, S., Bender, M., Book, S., Buncher, C., Denniston, C., Gilbert, E., Hahn, F., Hertzberg, V., Maxon, H., Scott, B., Schull, W., and Thomas, S. Health Effects Models for Nuclear Power Plant Accident Consequence Analysis, Low LET Radiation, NUREG/CR-4214, Rev.1, Part II SAND85-7185 (1989).
- [13] U.S. NUCLEAR REGULATORY COMMISSION, Evans, J.S., Abrahamson, S., Bender, M.A., Boecker, B.B., Gilbert, E.S. and Scott, B.R. Health Effects Models for Nuclear Power Accident Consequence Analysis. Part I: Introduction, Integration, and Summary. NUREG/CR-4214 Rev. 2, Part I ITRI-141 (1993).
- [14] U.S. NUCLEAR REGULATORY COMMISSION, Abrahamson, S., Bender, M.A., Boecker, B.B., Gilbert, E.S. and Scott, B.R. Health Effects Models for Nuclear Power Accident Consequence Analysis. Modification of Models Resulting From Addition of Effects of Exposure to Alpha-Emitting Radionuclides. Part II: Scientific Bases for Health Effects Models. NUREG/CR-4214 Rev. 1, Part II Addendum 2 LFM-136 (1993).
- [15] INTERNATIONAL ATOMIC ENERGY AGENCY, WORLD HEALTH ORGANIZATION, Development of extended framework for emergency response criteria. Interim report for comments, IAEA TECDOC-1432, IAEA, Vienna (2004).  
[http://www-pub.iaea.org/MTCD/publications/PDF/TE\\_1432\\_web.pdf](http://www-pub.iaea.org/MTCD/publications/PDF/TE_1432_web.pdf)
- [16] INTERNATIONAL COMMISSION ON RADIOLOGICAL PROTECTION, Human Respiratory Tract Model for Radiological Protection. ICRP Publication 66, Ann ICRP Vol. 24, No 1-3. Pergamon Press, Oxford, UK (1994).
- [17] INTERNATIONAL COMMISSION ON RADIOLOGICAL PROTECTION, The Biological Basis for Dose Limitation in the Skin. ICRP Publication 59, Ann ICRP Vol. 22, No 2. Pergamon Press, Oxford, UK (1991).
- [18] INTERNATIONAL COMMISSION ON RADIATION UNITS AND MEASUREMENTS, Dosimetry of External Beta Rays for Radiation Protection, ICRU Report 56, ICRU, Bethesda (1996).
- [19] Hopewell, J.W. Biological Effects of Irradiation on Skin and Recommendation Dose Limits, Radiation Protection Dosimetry, Vol 39, No. 1/3 pp 11-24 (1991).
- [20] INTERNATIONAL COMMISSION ON RADIOLOGICAL PROTECTION, 1990 Recommendations of the International Commission on Radiological Protection. ICRP Publication No 60. Ann ICRP Vol. 21 No. 1-3. Pergamon Press, Oxford, UK (1991).

- [21] INTERNATIONAL ATOMIC ENERGY AGENCY, WORLD HEALTH ORGANIZATION, Generic procedures for medical response during nuclear and radiological emergency. EPR-MEDICAL, IAEA, Vienna (2005).  
[http://www-pub.iaea.org/MTCD/publications/PDF/EPR-MEDICAL-2005\\_web.pdf](http://www-pub.iaea.org/MTCD/publications/PDF/EPR-MEDICAL-2005_web.pdf)
- [22] INTERNATIONAL COMMISSION ON RADIOLOGICAL PROTECTION. Relative Biological Effectiveness (RBE), Quality Factor (Q) and Radiation Weighting Factor ( $w_R$ ). ICRP Publication 92. Ann ICRP Vol.33 No.4. Pergamon Press, Oxford, UK (2003).
- [23] INTERNATIONAL COMMISSION ON RADIOLOGICAL PROTECTION. MEMORANDUM. The evolution of the system of radiological protection: the justification for new ICRP recommendations. J. Radiol. Prot. 23 (2003) 129–142.
- [24] INTERNATIONAL COMMISSION ON RADIOLOGICAL PROTECTION, RBE for Deterministic Effects, Publication No. 58, Pergamon Press, Oxford, New York (1989).
- [25] INTERNATIONAL ATOMIC ENERGY AGENCY, Diagnosis and Treatment of Radiation Injuries, Safety Reports Series, No. 2, IAEA, Vienna (1998)  
[http://www-pub.iaea.org/MTCD/publications/PDF/P040\\_scr.pdf](http://www-pub.iaea.org/MTCD/publications/PDF/P040_scr.pdf)
- [26] INTERNATIONAL ATOMIC ENERGY AGENCY, Follow-up of Delayed Health Consequences of Acute Accidental Radiation Exposure. Lessons to be Learned from Their Medical Management, IAEA-TECDOC 1300, IAEA, Vienna (2002).  
[http://www-pub.iaea.org/MTCD/publications/PDF/te\\_1300\\_web.pdf](http://www-pub.iaea.org/MTCD/publications/PDF/te_1300_web.pdf)
- [27] INTERNATIONAL ATOMIC ENERGY AGENCY, The Radiological Accident in Lilo, IAEA, Vienna (2000). [http://www-pub.iaea.org/MTCD/publications/PDF/Pub1097\\_web.pdf](http://www-pub.iaea.org/MTCD/publications/PDF/Pub1097_web.pdf)
- [28] U.S. ENVIRONMENTAL PROTECTION AGENCY, Federal Guidance Report 11 Limiting-values of radionuclide intake and air concentration and dose conversion factors for inhalation, submersion, and ingestion. Eckerman, K. F., Wolbarst, A. B. and Richardson, A. C.B. EPA-520/1-88-020. Oak Ridge National Laboratory, Oak Ridge, TN; U.S. Environmental Protection Agency, Washington, DC. (1988).
- [29] Scott B. R. Proposed estimates of the probability of inducing pulmonary injury sufficient to cause death from radiation pneumonitis and pulmonary fibrosis after briefly inhaling a mixture of insoluble  $\beta$ -emitting particles. Health Phys 38: 635-642 (1980).
- [30] Scott B. R., and Hahn F. F. A model that leads to the Weibull distribution function to characterize early radiation response probabilities. Health Phys 39:521-530 (1980).
- [31] INTERNATIONAL ATOMIC ENERGY AGENCY, The Radiological Accident in Yanango, IAEA, Vienna (2000).  
[http://www-pub.iaea.org/MTCD/publications/PDF/Pub1101\\_web.pdf](http://www-pub.iaea.org/MTCD/publications/PDF/Pub1101_web.pdf)
- [32] INTERNATIONAL ATOMIC ENERGY AGENCY, The Radiological Accident in Gilan, IAEA, Vienna (2002)  
[http://www-pub.iaea.org/MTCD/publications/PDF/Pub1123\\_scr.pdf](http://www-pub.iaea.org/MTCD/publications/PDF/Pub1123_scr.pdf)

- [33] U.S. NUCLEAR REGULATORY COMMISSION, A Regulatory Analysis on Emergency Preparedness for Fuel Cycle and Other Radioactive Material Licensees, US Nuclear Power Plants, NUREG-1140, USNRC, Washington, DC (1988)
- [34] U.S. DEPARTMENT OF ENERGY, DOE Handbook, Airborne Release Fractions/Rates and Respirable Fractions for Non-reactor Nuclear Facilities, DOE-HDBK-3010-94 (1994)
- [35] INTERNATIONAL ATOMIC ENERGY AGENCY, Advisory Material for the IAEA Regulations for the Safe Transport of Radioactive Materials, Safety Standards Series No. TS-G-1.1, (ST-2) IAEA, Vienna (2002)  
[http://www-pub.iaea.org/MTCD/publications/PDF/Pub1109\\_scr.pdf](http://www-pub.iaea.org/MTCD/publications/PDF/Pub1109_scr.pdf)
- [36] INTERNATIONAL ATOMIC ENERGY AGENCY, The Radiological Accident in Goiânia, IAEA, Vienna (1988)  
[http://www-pub.iaea.org/MTCD/publications/PDF/Pub815\\_web.pdf](http://www-pub.iaea.org/MTCD/publications/PDF/Pub815_web.pdf)
- [37] Gus'kova, A.K., Nadezhina, N.M., Barabanova, A.V., et al. Acute effects of radiation exposure following the Chernobyl accident: immediate results of radiation sickness and outcome of treatment. In Medical aspects of the Chernobyl accident (Proceedings of the conference in Kiev 11-13 May, 1988) IAEA-TECDOC-516: 233-256. Vienna, IAEA (1989).  
[http://www-pub.iaea.org/MTCD/publications/PDF/te\\_516\\_web.pdf](http://www-pub.iaea.org/MTCD/publications/PDF/te_516_web.pdf)
- [38] INTERNATIONAL COMMISSION ON RADIOLOGICAL PROTECTION, Radionuclide Transformations. Energy and Intensity of Emission. ICRP Publication 38, Ann ICRP Ann ICRP Vol. 11-13. Pergamon Press, Oxford, UK (1984).
- [39] Dillman, L.T., and Eckerman, K.F. Electron External and Internal Bremsstrahlung Spectra, ORNL/TM-12451 (1994) (unpublished).
- [40] U.S. ENVIRONMENTAL PROTECTION AGENCY, Federal Guidance Report 12 External Exposure to Radionuclides in Air, Water, and Soil. Keith F. Eckerman and Jeffrey C. EPA-402-R-93-081. Oak Ridge National Laboratory, Oak Ridge, TN; U.S. Environmental Protection Agency, Washington, DC. (1993).
- [41] INTERNATIONAL COMMISSION ON RADIATION UNITS AND MEASUREMENTS, Tissue Substitutes in Radiation Dosimetry and Measurement. ICRU Report 44, Bethesda, MD (1989).
- [42] U.S. SECRETARY OF COMMERCE, Hubbell, J. H. and Seltzer, S. M. Tables of X-Ray Mass Attenuation Coefficients and Mass Energy-Absorption Coefficients. Ionizing Radiation Division, Physics Laboratory National Institute of Standards and Technology Gaithersburg, MD. NISTIR 5632. U.S. Secretary of Commerce on behalf of the United States of America. (1996) ([www//physics.nist.gov/PhysData/XrayMassCoef/cover.html](http://physics.nist.gov/PhysData/XrayMassCoef/cover.html) Online: May 1996 Last update: July 2004).
- [43] INTERNATIONAL COMMISSION ON RADIOLOGICAL PROTECTION Conversion Coefficients for use in Radiological Protection against External Radiation. ICRP Publication No 74. Ann ICRP Vol. 26, No. 3/4, Pergamon Press, Oxford, UK (1996).
- [44] Shults, J.K., Faw, R.E., Radiation shielding. Prentice Hall PTR, NJ, USA (1996).

- [45] Eckerman, K.F. RADiation SUMmary Code - RadSum 32 Code: A Win 32 version. In package ICRP38 v. 1.0 (3/25/2003). Free download provided by Centre for Biokinetic and Dosimetric Research, Oak Ridge National Laboratory, Oak Ridge, TN 37831. Available at: <http://ordose.ornl.gov/downloads.html>. Accessed 01 March 2006.
- [46] Eckerman, K.F., Rawl, R., Hughes, J.S. and Bolgona, L. Type A package limits of spontaneous fission radionuclides. In PATRAM-2001. Proceedings of the 13<sup>th</sup> International symposium on packaging and transportation of radioactive materials (Chicago, IL USA, September 3-7 2001), U.S. DOE (2002).
- [47] Shleien, B. The Health Physics and Radiation Protection Health Handbook, Scinta Inc., Silver Spring MD, USA, 1992.
- [48] INTERNATIONAL ATOMIC ENERGY AGENCY, Compendium of Neutron Spectra and Detector Responses for Radiation Protection Purposes. Supplement to Technical Reports Series No. 318. Technical Reports Series No 403. IAEA, Vienna, 2001.  
[http://www-pub.iaea.org/MTCD/publications/PDF/TRS403\\_scr.pdf](http://www-pub.iaea.org/MTCD/publications/PDF/TRS403_scr.pdf)
- [49] U.S. ENVIRONMENTAL PROTECTION AGENCY, Federal Guidance Report 13 Cancer Risk Coefficients for Environmental Exposure to Radionuclides: CD Supplement, EPA 402-C-99-001 Oak Ridge National Laboratory, Oak Ridge, TN; U.S. Environmental Protection Agency, Washington, DC (1999).
- [50] INTERNATIONAL COMMISSION ON RADIOLOGICAL PROTECTION, The ICRP Database of Dose Coefficients: Workers and Members of the Public, version 1.0. An extension of ICRP Publications 68 and 72, developed by Task Group on Dose Calculations on Committee 2 of the International Commission on Radiological Protection. CDROM. Pergamon Press, Oxford, UK (1998).
- [51] U.S. DEPARTMENT OF ENERGY Eckerman, K. F., Sjoreen A. L. Radiological Toolbox User's Manual, ORNL/TM-2004/27 Oak Ridge National Laboratory, Oak Ridge, TN (2004). The "Radiological Toolbox" can be download from official ORNL Web site <http://ordose.ornl.gov/downloads.html>
- [52] Aleksankin V.G., Rodichev S.V., Rubtsov P.M., Hezhansky G.A., and Chukreev F.E. Beta- and antineutrino radiation of radioactive nuclei. Energoatomizdat: Moscow (1989).
- [53] Rohlogg F., Heinzelmann M. Dose rate by photons radiation to the basal layer of the dermis in case of skin contamination. Rad. Prot. Dosim. 63: 15-28 (1996).
- [54] Faw, R.E. Absorbed doses to skin from radionuclide sources on the body surface. Health Phys., 63: 442-448 (1992).
- [55] Delacroix D., Guerre J. P., Leblanc P., and Hickman C. Radionuclide and radiation protection data handbook. 2nd Edition (2002). Rad. Prot. Dosim. 98: 1-168 (2002).
- [56] Kocher D.C., and Eckerman K.F., Electron dose-rate conversion factors for external exposure of the skin from uniformly deposited activity on the body surface. Health Phys. 53: 135-141 (1987).

- [57] Cross W.G., Freedman N.O., and Wong P.Y. Beta ray dose distributions from skin contamination. *Rad. Prot. Dosim.* 40: 149-168 (1992).
- [58] U.S. NUCLEAR REGULATORY COMMISSION Durham, J. S. VARSKIN MOD2 and SADDE MOD2: Computer Codes for Assessing Skin Dose from Skin Contamination NUREG/CR-5873. U.S. NRC, Washington (1992).
- [59] U.S. NUCLEAR REGULATORY COMMISSION, Loss of an Iridium-192 Source and Therapy Misadministration at Indiana, Pennsylvania, on November 16, 1992, NUREG-1480, USNRC, Washington, DC (1992).
- [60] INTERNATIONAL ATOMIC ENERGY AGENCY, Lessons Learned from Accidents in Industrial Radiography, Safety Report Series, No 7, IAEA, Vienna (1998).
- [61] INTERNATIONAL ATOMIC ENERGY AGENCY, The Radiological Accident in Istanbul, IAEA, Vienna (2000).  
[http://www-pub.iaea.org/MTCD/publications/PDF/Pub1102\\_web.pdf](http://www-pub.iaea.org/MTCD/publications/PDF/Pub1102_web.pdf)
- [62] INTERNATIONAL ATOMIC ENERGY AGENCY, The Radiological Accident in Samut Prakarn, IAEA, Vienna (2002).  
[http://www-pub.iaea.org/MTCD/publications/PDF/Pub1124\\_scr.pdf](http://www-pub.iaea.org/MTCD/publications/PDF/Pub1124_scr.pdf)
- [63] INTERNATIONAL ATOMIC ENERGY AGENCY, The radiological accident in Tammiku, IAEA, Vienna (1998).  
[http://www-pub.iaea.org/MTCD/publications/PDF/Pub1053\\_web.pdf](http://www-pub.iaea.org/MTCD/publications/PDF/Pub1053_web.pdf)
- [64] Hübner, K.F; Fry, S.A, The Medical Basis for Radiation Accident Preparedness Elsevier/North Holand. NY, (1980).
- [65] Dillman, L., T., Jones, T., D. Internal dosimetry of spontaneously fissioning radionuclides. *Health Physics* 29: 111-123 (1975).
- [66] Croft, S. The use of neutron intensity calibrated  $^9\text{Be}(\alpha, n)$  sources as 4438 keV gamma-ray reference standards. *Nucl. Instr. Meth. A*281: 103-116 (1989).
- [67] INTERNATIONAL ATOMIC ENERGY AGENCY, Tables of recommended standard data: neutron yields from alpha particle induced reactions on lithium, beryllium, boron, carbon, oxygen and fluorine nuclei for energies up to 10 MeV. Vukolov, V.A. and Chukreev, F.E. International Nuclear Data Committee Report INDC(CCP)-331, IAEA, Vienna (1991).  
<http://www-nds.iaea.org/reports-new/indc-reports/indc-ccp/indc-ccp-0331.pdf>
- [68] AMERICAN NATIONAL STANDARD, Nuclear criticality safety in operations with fissionable materials outside reactors, ANSI N16.1-1975, Hinsdale, USA (1975).
- [69] AMERICAN NUCLEAR SOCIETY, Nuclear criticality control of special actinide elements, an American national standard, ANSI/ANS-8.15-1981, La Grange, USA (1981).
- [70] Criticality Safety. Document 20.6. Environment, Safety and Health manual Vol. II: Health & Safety – Controls and Hazards. Part 20: Ionizing Radiation/Nonionizing Radiation. University of California Lawrence Livermore National Laboratory, UCRL-AM-133867. (2005).
- [٧١] الوكالة الدولية للطاقة الذرية، الحماية المادية للمواد النووية والمرافق النووية، الوثيقة INF/CIRC/225/Rev.4، الوكالة الدولية للطاقة الذرية، فيينا، (١٩٩٩).

- [72] UNITED STATES CENTERS FOR DISEASE CONTROL AND PREVENTION (CDC), National Institute for Occupational Safety and Health (NIOSH), Oct 2002, web site: [www.cdc.gov/niosh/idlh/intridl4.html](http://www.cdc.gov/niosh/idlh/intridl4.html)
- [73] INTERNATIONAL COMMISSION ON RADIOLOGICAL PROTECTION, Basic Anatomical and Physiological Data for Use in Radiological Protection: Reference-values. ICRP Publication 89. Annals of the ICRP 32 No. 3-4. Pergamon Press, Oxford, UK (2002).



## التعريف

الكمية الأساسية لقياس الجرعة D، وتعرف بأنها:	<b>absorbed dose, D.</b>	جرعة ممتصة
$D = \frac{d\bar{\epsilon}}{dm}$		
حيث $d\bar{\epsilon}$ هي الطاقة المنقولة من الإشعاع المؤين للمادة في عنصر حجمي، و dm هي كتلة المادة في هذا العنصر الحجمي. ووحدة قياس الجرعة الممتصة هي جول/كيلوغرام، وتسمى غراي (Gy).		
تعرض يحدث خلال فترة وجيزة.	<b>acute exposure</b>	تعرض حاد
(أ) يستخدم في العادة للإشارة إلى تعرض خلال مدة قصيرة بما يكفي للتعامل مع الجرعات الناشئة باعتبارها فورية (أقل من ساعة مثلاً).		
أخذ داخلي يحدث في غضون فترة زمنية قصيرة بما يكفي للتعامل معه باعتباره أخذًا داخليًا فوريًا لأغراض تقدير الجرعة المودعة الناتجة.	<b>acute intake</b>	أخذ داخلي حاد
الكم $D_T(\Delta)$ يميز التعرض الداخلي ويعرف بأنه:	<b>committed absorbed dose, <math>D_T(\Delta)</math></b>	جرعة ممتصة مودعة
$D_T^R(\Delta) = \int_{t_0}^{t_0 + \Delta} \dot{D}_T^R(t) dt$		
حيث $t_0$ هو زمن الأخذ الداخلي، و $\dot{D}_T(t)$ هو معدل جرعة العضو عند الزمن t، في عضو أو نسيج T، و $\Delta$ هو الزمن المنقضي بعد حدوث أخذ داخلي للمادة المشعة.		
(أ) الجرعة الممتصة المودعة نتيجة لأخذ داخلي لمادة مشعة يتسبب في تشعيق داخلي لأعضاء وأنسجة الشخص تبعاً لتوزيعها في جسم الإنسان المرجعي، ويحدث ذلك بعد نفس الأخذ الداخلي.	<b>committed RBE-weighted dose, <math>AD_T(\Delta)</math></b>	الجرعة المودعة المرجحة بالفعالية البيولوجية النسبية
الكمية $AD_T(\Delta)$ تميز التعرض الداخلي وتعرف على النحو التالي:		
$AD_T(\Delta) = \int_{t_0}^{t_0 + \Delta} AD_T(t) dt$		
حيث $t_0$ هو زمن الأخذ الداخلي، و $\dot{AD}_T(t)$ هو معدل الجرعة المرجحة بالفعالية البيولوجية النسبية عند الزمن t، في عضو أو نسيج T، و $\Delta$ هو المدة الزمنية المنقضية بعد حدوث أخذ داخلي للمادة المشعة.		
(أ) في حالة حدوث أخذ داخلي لمادة مشعة فإن الجرعة المودعة المرجحة بالفعالية البيولوجية النسبية تتسبب تشعيقاً داخلياً لأعضاء وأنسجة الشخص تبعاً للكمية الإشعاع وتوزيعها في جسم الإنسان المرجعي، ويحدث ذلك بعد نفس الأخذ الداخلي.		
كمية المادة المشعة التي يمكن، إذا خرجت عن نطاق السيطرة، أن تسفر عن موت الشخص الذي يتعرض لها أو تسبب إصابة دائمة تت notch من نوعية حياة ذلك الشخص. ولأغراض تحديد قيمة D، تقسم سيناريوهات التعرض	<b>D-value</b>	القيمة D

المستخدمة إلى مجموعتين، إحداها للمواد غير المشتقة والأخرى للمواد المشتقة. وتعد قيم عديدة مختلفة لكل مجموعة من هاتين المجموعتين:

(أ) قيمة  $D_1$  هي نشاط<sup>٤</sup> نوبيدة مشعة في مصدر قد يسفر، إذا خرج عن نطاق السيطرة ولكنه لم يتشتت (أي إذا ظل مغلفاً)، عن حالة طوارئ يمكن أن ينشأ في حدود التوقعات المعقولة آثار صحية قطعية عنيفة؛

(ب) قيمة  $D_2$  هي نشاط<sup>٤</sup> نوبيدة مشعة في مصدر قد يتسبب، إذا خرج عن نطاق السيطرة وتشتت، في حدوث حالة طوارئ يمكن أن تنشأ عنها في حدود التوقعات المعقولة آثار صحية قطعية عنيفة.

(ج) قيمة D لنوبيدة مشعة هي أقل قيمة للقيمتين  $D_1$  و  $D_2$ .

مصدر يمكن، إذا كان دون رفاهية، أن يؤدي إلى تعرض يكفي للتبسيب في آثار صحية قطعية عنيفة. وهذا التصنيف يستخدم في تحديد مدى الحاجة إلى ترتيبات التصدي للطوارئ وينبغي عدم الخلط بينه وبين تصنيف المصادر لأغراض أخرى.

أثر صحي إشعاعي توجد له عموماً عتبة حدية لمستوى الجرعة تزداد حنته إذا تجاوزتها الجرعة. ويوصف هذا الأثر بأنه "أثر قطعي عنيف" إذا كان مميتاً أو يتهدد الحياة أو إذا كان يسبب إصابة دائمة تتৎقص من نوعية الحياة.

(١) مقياس للطاقة المودعة في هدف عن طريق الإشعاع. (٢) مصطلح عام يستخدم لتعيين كميات من قبل الجرعة المودعة، والجرعة المرجحة بالفعالية البيولوجية النسبية، والجرعة المرجحة بالإشعاع، والجرعة الفعلية.

ال فعل أو الطرف المؤدي إلى التعرض لإشعاع. والتعرض يمكن أن يكون خارجياً من مصدر خارج الجسم أو تعرضاً داخلياً (من مادة مشعة داخل الجسم).

مسلك يمكن من خلاله للإشعاعات أو النوبيادات المشعة أن تصل إلى البشر وتسبب تعريضهم. وقد يكون مسار التعرض بسيطاً جداً، مثل التعرض الخارجي الناجم عن نوبيادات محمولة في الهواء، أو يكون سلسلة أكثر تعقيداً، مثل التعرض الداخلي من جراء شرب حليب أبقار أكلت عشبًا ملوثاً بنوبيادات مشعة مترسبة.

اسم وحدة قياس الجرعة الممتصنة المرجحة بالفعالية البيولوجية النسبية.

(١) ابتلاع أو استنشاق مادة مشعة. (٢) مقدار المادة المشعة (النشاط بالبكريل) الذي يدخل الجسم عن طريق الاستنشاق أو الابتلاع أو عبر الجلد أو عن طريق الحقن أو من خلال جرح.

تعرض للإشعاع من مصدر داخل الجسم (بسبب ترسب نوبيادات مشعة في أنسجة الجسم).

طارئ يتضمن، أو من المتصور أنه يتضمن، مخاطر تعزى إلى ما يلي:

(أ) الطاقة الناتجة عن تفاعل متسلسل نووي أو عن اضمحلال نووي تفاعل متسلسل؛

(ب) أو تعرض إشعاعي.

متوسط الجرعة الممتصنة في عضو أو نسيج T في جسم الإنسان، ويتم

**dangerous source**

**مصدر خطير**

**deterministic effect**

**أثر قطعي**

**dose**

**جرعة**

**exposure**

**تعرض**

**exposure pathway**

**مسار تعرض**

**gray-equivalent, Gy-Eq**

**مكافئ غرافي**

**intake**

**أخذ داخلي**

**internal exposure**

**تعرض داخلي**

**nuclear or radiological emergency**

**طارئ نووي أو إشعاعي**

**organ dose, D<sub>T</sub><sup>R</sup>**

**جرعة العضو**

٤ يراعي احتمال ازدياد خطورة المصادر في وقت لاحق من عمرها (خلال مدة تصل إلى ١٠ سنوات) بسبب النمو الداخلي لنوافتها، على أن قيم D يغير عنها من حيث نشاط النوبيادات المشعة الأم قبل اضمحلالها، أي عند تصنيعها على النحو المبين في التذييل الثامن.

الحصول عليه بالمعادلة التالية:

$$D_T^R = \frac{\Delta E_R}{m_T}$$

حيث  $m_T$  هي كتلة العضو أو النسيج T، و  $\Delta E_R$  هي طاقة الإشعاع المؤين R المنقول إلى كتلة العضو أو النسيج المعين. ولا تؤخذ نوعية الإشعاع في الاعتبار عند تقدير الجرعة الممتصة في العضو.

ناتج من الجرعة الممتصة في عضو أو نسيج وفعالية البيولوجية النسبية للإشعاع الناقل للجرعة:

$$AD_T = \sum_R D_T^R \times RBE_T^R$$

**RBE-weighted dose,  $AD_T$**  **الجرعة المرجحة بالفعالية البيولوجية النسبية**

حيث  $D_T^R$  هي جرعة العضو من الإشعاع R في النسيج T، و  $RBE_T^R$  هي الفعالية البيولوجية النسبية للإشعاع R عند إحداث أثر محدد في عضو أو نسيج معين T. ووحدة قياس الجرعة الممتصة المرجحة بالفعالية البيولوجية النسبية هي جول × كيلوغرام<sup>-1</sup>، وتسمى مكافئ الغرافي (Gy-Eq).

(أ) يقصد بالجرعة الممتصة المرجحة بالفعالية البيولوجية النسبية حساب الفروق في الفعالية البيولوجية في إحداث آثار صحية قطعية في أعضاء أو أنسجة الإنسان المرجعي بسبب نوعية الإشعاع.

**RDD** **جهاز نشر إشعارات**

إنسان بالغ له خصائص تشريحية وفسيولوجية محددة في تقرير فريق العمل المعني بالإنسان المارجي [٧٣].

**reference man** **إنسان مرجعي**

عامل بالغ له خصائص تشريحية وفسيولوجية محددة في تقرير فريق العمل المعني بالإنسان المارجي [٧٣].

**reference worker** **عامل مرجعي**

الفعالية البيولوجية النسبية في عضو أو نسيج معين T هي نسبة الجرعة الممتصة من إشعاع مرجعي يسبب أثراً بيولوجياً معيناً بالنسبة للجرعة الممتصة من الإشعاع المعني (R) الذي يتسبب في إحداث نفس الأثر البيولوجي. وتتوقف عموماً قيمة الفعالية البيولوجية النسبية للأثار البيولوجي للإشعاع على عوامل من قبيل نوعية الإشعاع والعضو أو النسيج المشعّ والأثر الذي يسببه ومعدل الجرعة. وترد في الجدولين ٨ و ٩ القيم المستخدمة في هذا الدليل للفعالية البيولوجية النسبية التي تنشأ عنها آثار صحية قطعية عنيفة.

**relative biological effectiveness,  $RBE_T$**  **فعالية بيولوجية نسبية**

أثر إشعاعي صحي مميت أو يتهدد الحياة أو يؤدي إلى إصابة دائمة تنتقص من نوعية الحياة.

**severe deterministic effect** **أثر قطعي عنيف**

أثر صحي مستحدث إشعاعياً يزداد احتمال حدوثه مع ارتفاع الجرعة الإشعاعية ولا تتوقف حتى (إذا حدث) على مقدار الجرعة. وقد تكون الآثار العشوائية جسدية أو وراثية، وهي تحدث عموماً دون وجود عتبة لمستوى الجرعة. ومن أمثلتها سرطان الغدة الدرقية وإبيضاض الدم (اللوكيميا).

**stochastic effect (of radiation)** **أثر عشوائي متربّب على الإشعاع**



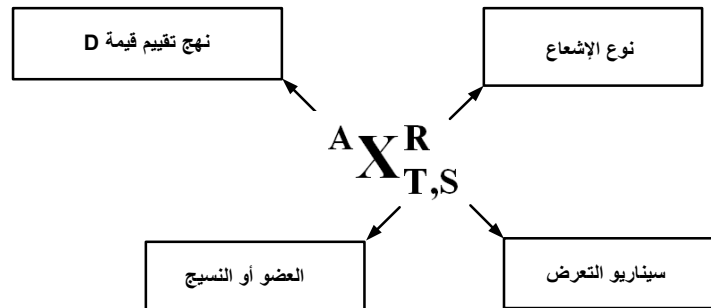
## **المرفقات**



## المرفق الأول

### الرموز وشكل المؤشرات القياسية

يتبيّن من الشكل ١١ أن الرموز وكثيّرات قياس الجرعة المستخدمة في كل من النهج المبني على الخبرة والنهج القائم على المخاطر قد يكون لها عموماً أربعة مؤشرات قياسية.



**الشكل ١١: تحديد المؤشرات القياسية لكميات قياس الجرعات المؤشرات القياسية هي:**

“A” تشير إلى النهج المستخدم:

- (أ) “E” - النهج المبني على الخبرة؛
- (ب) “R” - النهج القائم على المخاطر.

“R” تشير إلى نوع الإشعاع:

- (أ) “L” - إشعاع ذو انتقال خطى منخفض للطاقة؛
- (ب) “H” - إشعاع ذو انتقال خطى مرتفع للطاقة؛
- (ج) “H + L” - أي إشعاع؛
- (د) “S” - قد تدرج للإشارة إلى مركب ذي امتصاص رئوي من النوع s.

“S” تشير إلى سيناريو التعرض:

- (أ) “I” (الأول) - سيناريو “الجيب”؛
- (ب) “II” (الثاني) - سيناريو “الغرفة”؛
- (ج) “III” (الثالث) - سيناريو “الاستنشاق”؛
- (د) “IV” (الرابع) - سيناريو “الابتلاع”؛
- (ه) “V” (الخامس) - سيناريو “تلوث الجلد”؛
- (و) “VI” (ال السادس) - سيناريو “الغمر”.

يشير الرمز “T” إلى عضو أو نسيج على النحو الوارد في الجدول أدناه:

الرقم المرجعي للنسيج	النهج المبني على الخبرة	مسار التعرض	العضو أو النسيج
النهج القائم على المخاطر	نهج المبني على الخبرة		
1	1	مصدر خارجي قريب	النسيج الرخو
2	2	داخلي	النخاع الأحمر
3R	3E	داخلي	مناطق الرئة
4	4	داخلي	القولون أو الأمعاء الدقيقة
5	5	داخلي	الغدة الدرقية
6R	6E	لامسة الجلد	مناطق الجلد
7	7	مصدر خارجي بعيد	الجزع

## المرفق الثاني

### الرموز النوعية

١٠ القاعدة العامة لتحديد المؤشرات القياسية لكميات قياس الجرعات المستخدمة في هذا التقرير.

الوصف	الوحدة	الرمز
حد نشاط نويدة مشعة معينة استناداً إلى اعتبارات الحرجية. الجرعة (الممتصة) المرجحة بالفعالية البيولوجية النسبية في عضو أو نسيج T.	بكريل مكافى غراري	$A_C$ $AD_T$
الجرعة المرجحة بالفعالية البيولوجية النسبية التي تودع في عضو أو نسيج T في الزمن $\Delta$ بعد أخذ داخلي لنويدة مشعة.	مكافى غراري	$AD_T(\Delta)$
معامل لتحويل الجرعة يساوي معدل الجرعة المرجحة بالفعالية البيولوجية النسبية التي يتلقاها النسيج T من 1 بكريل من نويدة مشعة وفقاً للسيناريو S.	(مكافى غراري) (بكريل × ثانية)	$AF_{T,S}$
معامل لتحويل الجرعة يساوي الجرعة المرجحة بالفعالية البيولوجية المودعة في عضو أو نسيج T في الزمن $\Delta$ بعد أخذ داخلي قدره 1 بكريل من نويدة مشعة وفقاً للسيناريو S.	(مكافى غراري) (بكريل)	$AF_{T,S}(\Delta)$
معامل لتحويل الجرعة يساوي معدل الجرعة المرجحة بالفعالية البيولوجية النسبية التي يتلقاها النسيج 1 (النسيج الرخو) من 1 بكريل من نويدة مشعة وفقاً للسيناريو الأول.	(مكافى غراري) (بكريل × ثانية)	$AF_{I,I}$
معامل لتحويل الجرعة يساوي معدل الجرعة المرجحة بالفعالية البيولوجية النسبية التي يتلقاها النسيج 7 (الجزع) من 1 بكريل من نويدة مشعة وفقاً للسيناريو الثاني.	(مكافى غراري) (بكريل × ثانية)	$AF_{7,II}$
معامل لتحويل الجرعة يساوي الجرعة المرجحة بالفعالية البيولوجية المودعة لمدة ٣٠ يوماً في النسيج ٢ (النخاع الأحمر) نتيجة لأخذ داخلي بسبب استنشاق 1 بكريل من نويدة مشعة وفقاً للسيناريو الثالث R.	(مكافى غراري) بكريل	$AF_{2,III,R}$
معامل لتحويل الجرعة يساوي الجرعة المرجحة بالفعالية البيولوجية النسبية المودعة لمدة ٣٠ يوماً في النسيج ٣ (المنطقة السنخية من الجهاز التنفسي) بسبب أخذ داخلي ناتج عن استنشاق 1 بكريل من نويدة مشعة وفقاً للسيناريو الثالث R.	مكافى غراري بكريل	$AF_{3R,III,R}$
معامل لتحويل الجرعة يساوي الجرعة المرجحة بالفعالية البيولوجية النسبية المودعة لمدة ٣٠ يوماً في النسيج ٤ (الفولون) بسبب أخذ داخلي ناتج عن استنشاق 1 بكريل من نويدة مشعة وفقاً للسيناريو الثالث R.	(مكافى غراري) بكريل	$AF_{4,III,R}$
معامل لتحويل الجرعة يساوي الجرعة المرجحة بالفعالية البيولوجية النسبية المودعة لمدة ٣٦٥ يوماً في النسيج ٥ (العدة الدرقية) بسبب أخذ داخلي ناتج عن استنشاق 1 بكريل من نويدة مشعة وفقاً للسيناريو الثالث R.	(مكافى غراري) بكريل	$AF_{5,III,R}$
معامل لتحويل الجرعة يساوي الجرعة المرجحة بالفعالية البيولوجية النسبية المودعة لمدة ٣٠ يوماً في النسيج ٢ (النخاع الأحمر) بسبب أخذ داخلي ناتج عن ابتلاع 1 بكريل من نويدة مشعة وفقاً للسيناريو الرابع.	(مكافى غراري) بكريل	$AF_{2,IV}$
معامل لتحويل الجرعة يساوي الجرعة المرجحة بالفعالية البيولوجية النسبية المودعة لمدة ٣٠ يوماً في النسيج ٤ (الفولون) بسبب أخذ داخلي ناتج عن ابتلاع 1 بكريل من نويدة مشعة وفقاً للسيناريو الرابع.	(مكافى غراري) بكريل	$AF_{4,IV}$
معامل لتحويل الجرعة يساوي الجرعة المرجحة بالفعالية البيولوجية النسبية المودعة لمدة ٣٦٥ يوماً في النسيج ٥ (العدة الدرقية) بسبب أخذ داخلي ناتج عن ابتلاع 1 بكريل من نويدة مشعة وفقاً للسيناريو الرابع.	(مكافى غراري) بكريل	$AF_{5,IV}$

الوصف	الوحدة	الرمز
معامل لتحويل الجرعة يساوي معدل الجرعة المرجحة بالفعالية البيولوجية النسبية في النسيج R٦ (أدمة الجلد) نتيجة لوحدة نشاط سطحي من نوعية مشعة وفقاً للسيناريو الخامس.	(مكافئ غراري)/ (بكريل × ثانية/ سم <sup>٣</sup> )	AF <sub>6R,V</sub>
معامل لتحويل الجرعة يساوي معدل الجرعة المرجحة بالفعالية البيولوجية النسبية في النسيج ٢ (النخاع الأحمر) بسبب الغمر في غاز خامل مشع ذي وحدة تركيز.	(مكافئ غراري)/ (بكريل × ثانية/م <sup>٣</sup> )	AF <sub>2,VI</sub>
النشاط الأولي لنوعية مشعة في مصدر غير مشتت يعتبر، وفقاً للنهج المبني على الخبرة، خطيراً إذا تعرض له شخص في السيناريو الأول.	بكريل	<sup>E</sup> A <sub>I</sub>
النشاط الأولي لنوعية مشعة في مصدر غير مشتت يعتبر، وفقاً للنهج المبني على الخبرة، خطيراً إذا تعرض له شخص في السيناريو الثاني.	بكريل	<sup>E</sup> A <sub>II</sub>
النشاط الأولي المعين لغاز خامل مشع في مصدر مشتت يعتقد، وفقاً للنهج المبني على الخبرة، بأنه يسبب آثاراً صحية قطعية عنيفة في النسيج ٧ (الجذع) إذا تعرض له شخص في السيناريو السادس.	بكريل	<sup>E</sup> A <sub>7,VI</sub>
النشاط الأولي لنوعية مشعة في مصدر مشتت يعتبر، وفقاً للنهج المبني على الخبرة، خطيراً إذا تعرض له شخص في السيناريو الثالث E.	بكريل	<sup>E</sup> A <sub>III,E</sub>
النشاط الأولي المعين لنوعية مشعة في مصدر مشتت يعتقد، وفقاً للنهج المبني على الخبرة، أنه يسبب آثاراً صحية قطعية عنيفة في النسيج ٢ (النخاع الأحمر) إذا تعرض له شخص في السيناريو الثالث E.	بكريل	<sup>E</sup> A <sub>2,III,E</sub>
النشاط الأولي المعين لنوعية مشعة في مصدر مشتت يعتقد، وفقاً للنهج المبني على الخبرة، أنه يسبب آثاراً صحية قطعية عنيفة في النسيج ٣ (المنطقة الصدرية من الجهاز التنفسي) إذا تعرض له شخص في السيناريو الثالث E.	بكريل	<sup>E</sup> A <sub>3E,III,E</sub>
النشاط الأولي المعين لنوعية مشعة في مصدر مشتت يعتقد، وفقاً للنهج المبني على الخبرة، أنه يسبب آثاراً صحية قطعية عنيفة في النسيج ٥ (الغدة الدرقية) إذا تعرض له شخص في السيناريو الثالث E.	بكريل	<sup>E</sup> A <sub>5,III,E</sub>
النشاط الأولي المعين لنوعية مشعة في مصدر مشتت يعتقد، وفقاً للنهج المبني على الخبرة، أنه يسبب آثاراً صحية قطعية عنيفة في النسيج ٦ (العشاء القاعدي للجلد) إذا تعرض له شخص في السيناريو الخامس.	بكريل	<sup>E</sup> A <sub>6E,V</sub>
النشاط الأولي لنوعية مشعة في مصدر غير مشتت يعتبر، وفقاً للنهج القائم على المخاطر، خطيراً إذا تعرض له شخص في السيناريو الأول.	بكريل	<sup>R</sup> A <sub>I</sub>
النشاط الأولي لنوعية مشعة في مصدر غير مشتت يعتبر، حسب النهج القائم على المخاطر، خطيراً إذا تعرض له شخص في السيناريو الثاني.	بكريل	<sup>R</sup> A <sub>II</sub>
النشاط الأولي لنوعية مشعة في مصدر مشتت يعتبر، وفقاً للنهج القائم على المخاطر، خطيراً إذا تعرض له شخص في السيناريو الثالث R.	بكريل	<sup>R</sup> A <sub>IIIR</sub>
النشاط الأولي المعين لنوعية مشعة في مصدر مشتت يعتقد، وفقاً للنهج القائم على المخاطر، أنه يسبب آثاراً صحية قطعية عنيفة في النسيج T إذا تعرض له شخص في السيناريو الثالث R.	بكريل	<sup>R</sup> A <sub>T,IIIR</sub>
النشاط الأولي لنوعية مشعة في مصدر مشتت يعتبر، وفقاً للنهج القائم على المخاطر، خطيراً إذا تعرض له شخص في السيناريو الرابع.	بكريل	<sup>R</sup> A <sub>IV</sub>
النشاط الأولي المعين لنوعية مشعة في مصدر مشتت يعتقد، وفقاً للنهج القائم على المخاطر، أنه يسبب آثاراً صحية قطعية عنيفة في النسيج T إذا تعرض له شخص في السيناريو الرابع.	بكريل	<sup>R</sup> A <sub>T,IV</sub>
النشاط الأولي لنوعية مشعة في مصدر مشتت يعتبر، وفقاً للنهج القائم على المخاطر خطيراً إذا تعرض له شخص في السيناريو الخامس.	بكريل	<sup>R</sup> A <sub>V</sub>

الوصف	الوحدة	الرمز
النشاط الأوّلي المعين لنويدة مشعة في مصدر مشتت يعتقد، وفقاً للنهج القائم على المخاطر، أنه يسبب آثاراً صحية قطعية عنيفة في النسيج ٦ (أدمة الجلد) إذا تعرض له شخص في السيناريو الخامس.	بكريل	<sup>R</sup> A <sub>6R,V</sub>
النشاط الأوّلي لغاز خامل مشع في مصدر مشتت يعتبر، وفقاً للنهج القائم على المخاطر، خطيراً إذا تعرض له شخص في السيناريو السادس.	بكريل	<sup>R</sup> A <sub>VI</sub>
النشاط الأوّلي المعين لغاز خامل مشع في مصدر مشتت يعتقد، وفقاً للنهج القائم على المخاطر، أنه يسبب آثار صحية قطعية عنيفة في النسيج ٧ (الجزع) إذا تعرض له شخص في السيناريو السادس.	بكريل	<sup>R</sup> A <sub>7,VI</sub>
القطر الذي يتساوى فوقه وتحته مجموع حجم النشاط في التوزيع الحركي الهوائي لأحجام الجسيمات. ويفترض في العادة توزيع لوغاريتمي طبعي لأحجام الجسيمات. ويقرن ٥٠ في المائة من نشاط الهباء الجوي (الأيروسول) بجسيمات يزيد قطرها الحركي الهوائي على قيمة قطر النشاط الحركي الهوائي الوسطي (AMAD).	ميكرون	قطر النشاط
الجرعة الممتصة من الإشعاع R في عضو أو نسيج T.	غراي	D <sub>T</sub> <sup>R</sup>
الجرعة الممتصة من الإشعاع R في عضو أو نسيج T والمودعة خلال فترة زمنية $\Delta$ بعد حدوث أخذ داخلي لمقدار يبلغ ١ بكريل من نويدة مشعة.	غراي	D <sub>T</sub> <sup>R</sup> ( $\Delta$ )
مدة التكامل الزمني بعد أخذ داخلي لمادة مشعة، ويستخدم في حساب الجرعة الممتصة المودعة والجرعة المودعة المرجحة بالفعالية البيلولوجية النسبية، والجرعة المودعة المرجحة بالإشعاع.	يوم	$\Delta$
معامل لتحويل الجرعة يساوي معدل الجرعة الممتصة من الإشعاع R الذي يترسب في النسيج T من ١ بكريل من نويدة مشعة وفقاً للسيناريو S.	غراي/(بكريل × ثانية)	DF <sub>T,S</sub> <sup>R</sup>
معامل لتحويل الجرعة يساوي معدل الجرعة الممتصة من أي مجموعة من الإشعاعات ذات الانتقال الخطي المنخفض للطاقة والانتقال الخطى المرتفع للطاقة.	غراي/(بكريل × ثانية)	DF <sub>1,I</sub> <sup>L+H</sup>
معامل لتحويل الجرعة يساوي معدل الجرعة الممتصة من أي مجموعة من الإشعاعات ذات الانتقال الخطي المنخفض للطاقة والانتقال الخطى المرتفع للطاقة التي ينقاها النسيج ٢ (النخاع الأحمر) من ١ بكريل من نويدة مشعة وفقاً للسيناريو الثاني.	غراي/(بكريل × ثانية)	DF <sub>2,II</sub> <sup>L+H</sup>
معامل لتحويل الجرعة يساوي معدل الجرعة الممتصة من الإشعاع R التي تودع في العضو أو النسيج T في الزمن $\Delta$ بعد أخذ داخلي لمقدار يبلغ ١ بكريل من نويدة مشعة وفقاً للسيناريو S.	غراي/بكريل	DF <sub>T,S</sub> <sup>R</sup> ( $\Delta$ )
معامل لتحويل الجرعة يساوي الجرعة الممتصة ذات الانتقال الخطي المنخفض للطاقة والانتقال الخطى المرتفع للطاقة في العضو أو النسيج ٢ (النخاع الأحمر) بسبب أخذ داخلي ناتج عن استنشاق ١ بكريل من نويدة مشعة وفقاً للسيناريو الثالث E.	غراي/بكريل	DF <sub>2,III,E</sub> <sup>L+H</sup> ( $\Delta$ )
معامل لتحويل الجرعة يساوي الجرعة الممتصة المودعة لمدة يومين من إشعاع ذي انتقال خطى مرتفع للطاقة في العضو أو النسيج E٣ (المنطقة الصدرية من الجهاز التنفسي) بسبب أخذ داخلي لمقدار يبلغ ١ بكريل من هباء (أيروسول) نويدة مشعة طويلة العمر معينة للاستنشاق من النوع S وفقاً للسيناريو الثالث E.	غراي/بكريل	DF <sub>3E,III,E</sub> <sup>HS</sup> ( $\Delta$ )
معامل لتحويل الجرعة يساوي الجرعة الممتصة المودعة لمدة يومين من إشعاع ذي انتقال خطى منخفض للطاقة في النسيج E٣ (المنطقة الصدرية من الجهاز التنفسي) بسبب أخذ داخلي لمقدار يبلغ ١ بكريل من أيروسول نويدة مشعة لم يكن بالإمكان تعينه للاستنشاق من النوع S وفقاً للسيناريو الثالث E.	غراي/بكريل	DF <sub>3E,III,E</sub> <sup>L</sup> ( $\Delta$ )

الوصف	الوحدة	الرمز
معامل لتحويل الجرعة يساوي الجرعة الممتصة المودعة لمدة ٣٦٥ يوماً من إشعاع ذي انتقال خطى منخفض للطاقة في النسيج E <sup>٣</sup> (المنطقة الصدرية من الجهاز التفصي) بسبب أخذ داخلي لمقدار يبلغ ١ بكريل من أيروسول غير قابل للذوبان من نويدة مشعة طويلة العمر وفقاً للسيناريو الثالث E.	غراء/بكريل	DF <sub>3E,III</sub> <sup>LS</sup> (Δ)
معامل لتحويل الجرعة يساوي الجرعة الممتصة المودعة لمدة ٣٦٥ يوماً من إشعاع ذي انتقال خطى منخفض للطاقة في النسيج ٥ (الغدة الدرقية) بسبب أخذ داخلي لمقدار يبلغ ١ بكريل من نويدة مشعة مترببة في الغدة الدرقية وفقاً للسيناريو الثالث E.	غراء/بكريل	DF <sub>5,III</sub> <sup>L</sup> (Δ)
معامل لتحويل الجرعة يساوي معدل الجرعة الممتصة من إشعاع ذي انتقال خطى منخفض للطاقة في النسيج ٦ (الغشاء القاعدي للجلد) وفقاً للسيناريو الخامس بسبب وحدة تلوث سطحي من نويدة مشعة.	غراء/(بكريل × ثانية/سم <sup>٢</sup> )	DF <sub>6E,V</sub> <sup>L</sup>
معامل لتحويل الجرعة يساوي معدل الجرعة الممتصة من إشعاع ذي انتقال خطى منخفض للطاقة في النسيج ٢ (النخاع الأحمر) بسبب العمر في وحدة تركيز من غاز خامل مشع وفقاً للسيناريو السادس.	غراء/(بكريل × ثانية/م <sup>٢</sup> )	DF <sub>2,VI</sub> <sup>L</sup>
معامل لتحويل الجرعة يساوي الجرعة الممتصة المودعة من الإشعاع R في عضو أو نسيج T بسبب أخذ داخلي لمقدار يبلغ ١ بكريل من نويدة مشعة وفقاً للسيناريو S.	غراء/بكريل	DF <sub>T,S</sub> <sup>R</sup> (Δ)
القيمة D <sub>١</sub> لنويدة مشعة محسوبة باستخدام النهج المبني على الخبرة.	بكريل	E D <sub>1</sub>
القيمة D <sub>٢</sub> لنويدة مشعة محسوبة باستخدام النهج المبني على الخبرة.	بكريل	E D <sub>2</sub>
القيمة D <sub>١</sub> لنويدة مشعة محسوبة باستخدام النهج القائم على المخاطر.	بكريل	R D <sub>1</sub>
القيمة D <sub>٢</sub> لنويدة مشعة محسوبة باستخدام النهج القائم على المخاطر.	بكريل	R D <sub>2</sub>
الجرعة الفعالة.	سيفرت	E
الجزء الكسري المستتر من المادة المشعة المشتبأة وفقاً للسيناريو الثالث.		F <sub>III</sub>
الجزء الكسري المبتلع من المادة المشعة المشتبأة وفقاً للسيناريو الرابع.		F <sub>IV</sub>
الجزء الكسري المشتبأ من المادة المشعة وفقاً للسيناريو الخامس.		F <sub>V</sub>
الجزء الكسري المشتبأ من المادة المشعة وفقاً للسيناريو السادس.		F <sub>VI</sub>
الجرعة (الممتصة) المرجحة بالإشعاع في عضو أو نسيج.	سيفرت	H <sub>T</sub>
الجرعة المرجحة بالإشعاع المودعة في عضو أو نسيج T بعد أخذ داخلي لنويدة مشعة.	سيفرت	H <sub>T</sub> (τ)
كمية الأخذ الداخلي من نويدة مشعة.	بكريل	I
مجموع متوسط انتقال الطاقة الخطى للإشعاع المؤين في الماء السائل.	كيلو إلكترون فولط/ميكون	LET
حد لكتلة المادة المشعة في السيناريو S. وإذا تجاوزت كتلة المادة ذات النشاط المعين هذا الحد، تعتبر النويدة المشعة غير محدودة.	غرام (غم)	M <sub>S</sub>
نسبة تلوث الجلد والتلوث الأولى لشيء أو سطح وفقاً للسيناريو الخامس.		R <sub>V</sub>
معامل الفعالية البيولوجية النسبية، وهو نسبة الجرعة الممتصة من إشعاع مرجعي ينتج أثراً بيولوجياً محدداً في عضو أو نسيج معين T بالنسبة للجرعة الممتصة من الإشعاع المعنى (R) الذي يتولد عنه نفس الأثر البيولوجي.	(مكافئ غرائي)/غراء	RBE <sub>T</sub> <sup>R</sup>
مستوى مرجعي للجرعة الممتصة من أي إشعاع في النسيج ١ (النسيج الرخو) الذي ينشأ عنها ظهور آثار صحية قطعية عنيفة بسبب التعرض الموضعي الخارجي.	غراء	RD <sub>1</sub> <sup>L+H</sup>

الوصف	الوحدة	الرمز
مستوى مرجعي للجرعة الممتصة من أي إشعاع في النسيج ٧ (الجزع) لحدوث آثار صحية قطعية عنيفة من تعرض الجسم بأكمله لمصدر خارجي بعيد.	غراي	RD <sub>7</sub> <sup>L+H</sup>
مستوى مرجعي للجرعة الممتصة المودعة لمدة يومين من أي إشعاع في النسيج ٢ (النخاع الأحمر) لحدوث آثار صحية قطعية عنيفة بسبب تعرض داخلي.	غراي	RD <sub>2</sub> <sup>L+H</sup> (Δ)
مستوى مرجعي للجرعة الممتصة المودعة في النسيج ٣ (المنطقة الصدرية من الجهاز التنفسي) لحدوث آثار صحية قطعية عنيفة بسبب أخذ داخلي ناتج عن استنشاق نويدة مشعة طويلة العمر تبتعد إشعاعاً ذا انتقال خطى مرتفع للطاقة وخروج بطيء من الرئة.	غراي	RD <sub>3E</sub> <sup>HS</sup> (Δ)
مستوى مرجعي للجرعة الممتصة المودعة لمدة يومين في النسيج ٣ (المنطقة الصدرية من الجهاز التنفسي) لحدوث آثار صحية قطعية عنيفة بسبب أخذ داخلي ناتج عن استنشاق نويدة مشعة مبتاعدة لإشعاع ذي انتقال خطى منخفض للطاقة لا يمكن تعينه لمجموعة الخروج البطيء.	غراي	RD <sub>3E</sub> <sup>L</sup> (Δ)
مستوى مرجعي للجرعة الممتصة المودعة لمدة ٣٦٥ يوماً في النسيج ٣ (المنطقة الصدرية من الجهاز التنفسي) لحدوث آثار صحية قطعية عنيفة بسبب أخذ داخلي ناتج عن استنشاق نويدة مشعة طويلة العمر تبتعد إشعاعاً ذا انتقال خطى منخفض للطاقة وخروج بطيء من الرئة.	غراي	RD <sub>3E</sub> <sup>LS</sup> (Δ)
مستوى مرجعي للجرعة الممتصة المودعة لمدة ٣٦٥ يوماً في النسيج ٥ (الغدة الدرقية) لحدوث آثار صحية قطعية عنيفة بسبب أخذ داخلي ناتج عن استنشاق نويدة مشعة مترببة في الغدة الدرقية وتبتعد إشعاعاً ذا انتقال خطى منخفض للطاقة.	غراي	RD <sub>5</sub> <sup>L</sup> (Δ)
مستوى مرجعي للجرعة الممتصة من إشعاع ذي انتقال خطى منخفض للطاقة في النسيج ٦ (الغشاء القاعدي للجلد) لحدوث آثار صحية قطعية عنيفة نتيجة لتلوث الجلد.	غراي	RD <sub>6E</sub> <sup>L</sup>
مساحة التلوث الأولى بسبب تشتت مادة مشعة وفقاً للسيناريو الخامس. مستوى عتبة الجرعة المرجحة بالفعالية البيولوجية النسبية في النسيج ١ (النخاع الرخو) لحدوث آثار صحية قطعية عنيفة بسبب التعرض الموضعي الخارجي في النسيج الرخو.	مكافئ غراي	S <sub>V</sub> TD <sub>1</sub>
مستوى عتبة الجرعة المرجحة بالفعالية البيولوجية النسبية في النسيج ٧ (الجزع) لحدوث آثار صحية قطعية عنيفة نتيجة لposure الممتصة المودعة لمدة ٣٠ يوماً في النسيج ٢ (النخاع الأحمر) والتي تحدث عندها آثار صحية قطعية عنيفة بسبب أخذ داخلي لنويدة مشعة.	مكافئ غراي	TD <sub>7</sub>
مستوى عتبة الجرعة المرجحة بالفعالية البيولوجية النسبية المودعة لمدة ٣٠ يوماً في النسيج R٣ (المنطقة السنخية من الجهاز التنفسي) التي تحدث عندها آثار صحية قطعية عنيفة بسبب أخذ داخلي لنويدة مشعة.	مكافئ غراي	TD <sub>3R</sub> (Δ)
مستوى عتبة الجرعة المرجحة بالفعالية البيولوجية النسبية المودعة لمدة ٣٠ يوماً في النسيج ٤ (القولون) وتحدث عندها آثار صحية قطعية عنيفة بسبب أخذ داخلي لنويدة مشعة.	مكافئ غراي	TD <sub>4</sub> (Δ)
مستوى عتبة الجرعة المرجحة بالفعالية البيولوجية النسبية المودعة لمدة ٣٦٥ يوماً في النسيج ٥ (الغدة الدرقية) وتحدث عندها آثار صحية قطعية عنيفة بسبب أخذ داخلي لنويدة مشعة.	مكافئ غراي	TD <sub>5</sub> (Δ)

الوصف	الوحدة	الرمز
مستوى عنبة الجرعة المرجحة بالفعالية البيولوجية النسبية في النسيج R <sub>6</sub> (أدمة الجلد) وتحدث عنها آثار صحية قطعية عنيفة نتيجة لتلوث الجلد عن طريق تعرضه بالتلامس.	مكافئ غراري	TD <sub>6R</sub>
زمن التعرض الذي يساوي فترة التشيع المحددة في السيناريو S. حجم الغرفة التي ينطلق فيها الغاز الخامل المشع وفقاً للسيناريو السادس. المعامل الإشعاعي الترجيحي.	ثانية (ث) متر مكعب (م <sup>3</sup> ) سيفرت/غراري	T <sub>S</sub> V <sub>VI</sub> W <sub>R</sub>



## المساهمون في الصياغة والاستعراض

Buglova, E.	International Atomic Energy Agency
Dodd, B.	BD Consulting, Las Vegas, NV, United States of America
Eckerman, K.	Oak Ridge National Laboratory, Oak Ridge, TN, United States of America
Koukhta, B.	State Research Centre “Institute of Biophysics”, Moscow, Russian Federation
Kutkov, V.	Russian Research Centre “Kurchatov Institute”, Moscow, Russian Federation
McKenna T.	International Atomic Energy Agency
Wheatley, J.	International Atomic Energy Agency







EPR-D-  
VALUES

2006

الوكالة الدولية للطاقة الذرية  
فيينا